

Algorithmische Geometrie

1	Konvexe Hüllen	1
1.1	Konstruktion einer konvexen Hülle einer Punktmenge im \mathbb{R}^2	1
1.1.1	Definition (<i>konvexe Menge/ konvexe Hülle</i>)	1
1.1.2	Satz	1
1.1.3	Korollar	1
1.1.4	Beispiel	1
1.1.5	Wiederholung	1
1.2	Algorithmus I: Gift Wrapping	2
1.2.1	Idee	2
1.2.2	Korrektheit	2
1.2.3	Laufzeit	2
1.2.4	Satz	2
1.2.5	Bemerkung	2
1.2.6	Details der Implementierung	2
1.2.6.1	Satz	3
1.2.6.2	Definition (<i>orientation(a,b,c)</i>)	3
1.2.7	Übertragung auf höhere Dimensionen	3
1.2.7.1	Satz	3
1.3	Algorithmus II: Graham's Scan	4
1.3.1	Idee	4
1.3.2	Algorithmus	4
1.3.3	Beispiel	5
1.3.4	Korrektheit	5
1.3.5	Laufzeit	6
1.3.6	Satz	7
1.3.7	Bemerkung	7
1.3.8	Varianten von Graham's Scan	7
1.4	Algorithmus III: Divide and Conquer	7
1.4.1	Spezialfall	7
1.4.2	Allgemein	8
1.4.3	Laufzeit	8
1.5	Eine Anwendung von Convex Hull	8
1.5.1	Problem (<i>Schnitt von zwei Halbebenen mit Dualitätsalgorithmus</i>)	8
1.5.1.1	Definition (<i>abgeschlossene Halbebene</i>)	8
1.5.1.2	Anmerkung	8
1.5.1.3	Ziel und Lösungsansatz	8
1.5.1.4	Definition (<i>dualer Punkt/ duale Gerade</i>)	8
1.5.1.5	Lemma	8
1.5.1.6	Folgerung	9
1.5.1.7	Betrachte folgendes Problem	9
1.5.1.8	Beobachtung	9
1.5.1.9	Definition (<i>redundant</i>)	9
1.5.1.10	Lemma	9

1.5.1.11	<u>Lemma</u>	11
1.5.1.12	<u>Algorithmus</u>	11
1.5.1.13	<u>Zwischenresultat</u>	12
1.5.1.14	<u>Berechne S</u>	12
1.5.1.15	<u>Satz (Zusammenfassung)</u>	13
1.5.1.16	<u>Bemerkungen</u>	13
1.5.2	<u>Schnitt von n Halbebenen mit Divide & Conquer</u>	13
1.5.2.1	<u>Beispiel</u>	13
1.5.2.2	<u>Idee</u>	13
1.5.2.3	<u>Definition (Region)</u>	13
1.5.2.4	<u>Algorithmus</u>	14
1.5.2.5	<u>Implementierungsdetails</u>	14
1.5.2.6	<u>Satz</u>	14
1.5.2.7	<u>Fragen</u>	14
1.5.2.8	<u>D & C – Algorithmus für Schnitt von Halbebenen</u>	14
1.5.2.9	<u>Laufzeit</u>	14
1.5.2.10	<u>Frage</u>	14

2 Konvexe Polygone.....15

2.1 Einführung.....15

2.1.1	<u>Ziel</u>	15
2.1.2	<u>Idee</u>	15
2.1.3	<u>Definition (hierarchische Darstellung)</u>	15
2.1.4	<u>Beispiel</u>	15
2.1.5	<u>Bemerkung</u>	15
2.1.6	<u>Eigenschaften</u>	15
2.1.7	<u>Beispiel</u>	15
2.1.8	<u>Alternative Darstellung</u>	16
2.1.9	<u>Beispiel</u>	16
2.1.10	<u>Lemma</u>	16

2.2 Anwendung der hierarchischen Darstellung.....16

2.2.1	<u>Strategie</u>	16
2.2.2	<u>Darstellung im Rechner</u>	17
2.2.3	<u>Beispiel</u>	17
2.2.4	<u>Anwendung : Schnitt mit einer Geraden</u>	17
2.2.4.1	<u>Ziel</u>	17
2.2.4.2	<u>Idee für Algorithmus</u>	17
2.2.4.3	<u>Laufzeit</u>	18
2.2.4.4	<u>Satz</u>	19
2.2.4.5	<u>Bemerkung</u>	19

2.3 Weiteres Problem auf konvexen Polygonen.....19

2.3.1	<u>Ziel</u>	19
2.3.2	<u>Idee</u>	19
2.3.3	<u>Laufzeit</u>	21

3	Das Plane Sweep Verfahren	22
3.1	Einführung	22
3.1.1	<u>Idee</u>	22
3.1.2	<u>Bemerkung</u> ... <i>Sl, S_e, S_a</i>	22
3.1.3	<u>Bemerkung</u> ... <i>sonstige Varianten von Sl-Verfahren</i>	22
3.2	Erste Anwendung: Line Segment Intersection	22
3.2.1	<u>Problem</u>	22
3.2.2	<u>Triviale Lösung</u>	22
3.2.3	<u>Ziel</u>	22
3.2.4	<u>Idee für einen Plane Sweep Algorithmus</u>	22
3.2.4.1	<u>Beobachtung</u>	23
3.2.4.2	<u>Bemerkung/Definition (Event)</u>	23
3.2.4.3	<u>Events beim Segmentschnitt</u>	23
3.2.5	<u>Plane Sweep allgemein</u>	23
3.2.5.1	<u>X-Struktur</u>	23
3.2.5.2	<u>Y-Struktur</u>	23
3.2.6	<u>Operationen beim Segmentschnitt</u>	24
3.2.6.1	<u>Auf Y-Struktur</u>	24
3.2.6.2	<u>Auf X-Struktur</u>	24
3.2.7	<u>Implementierung von X-/Y-Struktur</u> ... <i>lexikante + Annahmen</i>	24
3.2.8	<u>Bemerkung</u> ... <i>Altkbedarf</i>	24
3.2.9	<u>Sweep Algorithmus für Segmentschnitt</u>	26
3.2.10	<u>Laufzeit</u>	27
3.2.11	<u>Geometrische Primitive</u>	27
3.2.12	<u>Bemerkung</u> ... <i>wenn keine Annahmen</i>	27
3.2.13	<u>Varianten des Problems</u>	27
3.2.13.1	<u>Red/Black Intersection Problem</u>	27
3.2.13.2	<u>Kurvensegmente</u>	27
3.2.13.3	<u>Berechnung der planaren Unterteilung der Ebene</u>	27
3.3	Zweite Anwendung: Schnitt von beliebigen Polygonen	27
3.4	Dritte Anwendung: Post Office Problem	28
3.4.1	<u>Einführung</u>	28
3.4.1.1	<u>Voronoi-Diagramm</u>	28
3.4.1.2	<u>Problem</u>	28
3.4.1.3	<u>Mögliche Varianten</u>	28
3.4.1.4	<u>Idee</u>	28
3.4.2	<u>Erster Schritt: Voronoi-Diagramm</u>	28
3.4.2.1	<u>Definition (Voronoi-Region)</u>	28
3.4.2.2	<u>Beispiel</u>	28
3.4.2.3	<u>Bemerkung</u> ... <i>VR(x) := ∩ H</i>	28
3.4.2.4	<u>Definition (Voronoi-Diagramm)</u>	29
3.4.2.5	<u>Definition (Voronoi-Knoten/-Kanten)</u>	29
3.4.2.6	<u>Bemerkung</u> ... <i>VR (Menge S)</i>	29
3.4.2.7	<u>Beispiel</u>	29
3.4.2.8	<u>Definition (Voronoi-Diagramm der Ordnung k)</u>	29
3.4.2.9	<u>Beispiel</u>	29
3.4.2.10	<u>Spezialfälle</u>	30
3.4.2.11	<u>Lemma</u>	30
3.4.2.12	<u>Bemerkung</u> ... <i>Delaunay: Triangulierung</i>	31

3.4.3	<u>Konstruktion von Voronoi-Diagramm</u>	32
3.4.3.1	<u>Ziel</u>	32
3.4.3.2	<u>Problem</u>	32
3.4.3.3	<u>Idee</u>	32
3.4.3.4	<u>Beobachtung</u> <i>Wie kommt man auf L-2 & Planung hier</i>	32
3.4.3.5	<u>Frage</u>	32
3.4.3.6	<u>Beispiel</u>	32
3.4.3.7	<u>Beobachtung</u>	33
3.4.3.8	<u>Idee</u> <i>Y-SH</i>	33
3.4.3.9	<u>Fragen</u>	33
3.4.3.10	<u>Zwei Arten von Events</u>	33
3.4.3.11	<u>Lemma</u>	33
3.4.3.12	<u>Implementierungsdetails</u>	34
3.4.3.13	<u>Ausgabe</u>	35
3.4.3.14	<u>Übung</u> <i>Wichtig</i>	35
3.4.3.15	<u>Satz</u> <i>Langzeit</i>	35
3.4.3.16	<u>Bemerkung</u> <i>Vermutung</i>	36
3.4.3.17	<u>Beispiel</u>	36
3.4.3.18	<u>Bemerkung</u>	36
3.4.4	<u>Zweiter Schritt: Point Location</u>	36
3.4.4.1	<u>Aufgabe</u>	36
3.4.4.2	<u>Idee</u>	36
3.4.4.3	<u>Ziel</u>	36
3.4.5	<u>Point Location allgemein (unabhängig von Voronoi-Diagramm)</u>	37
3.4.5.1	<u>Problem</u>	37
3.4.5.2	<u>Streifenmethode: allgemein</u>	37
3.4.5.3	<u>Streifenmethode: Idee</u>	37
3.4.5.4	<u>Streifenmethode: Ergebnis</u>	38
3.4.5.5	<u>Triangulierungsmethode: allgemein</u>	38
3.4.5.6	<u>Triangulierungsmethode: Idee</u>	38
3.4.5.7	<u>Triangulierungsmethode: Fragen und Antworten</u>	39
3.4.5.8	<u>Triangulierungsmethode: Definition (unabhängig)</u>	39
3.4.5.9	<u>Triangulierungsmethode: Lemma</u>	39
3.4.5.10	<u>Triangulierungsmethode: Lemma</u>	40
3.4.5.11	<u>Triangulierungsmethode: Algorithmus</u>	40
3.4.5.12	<u>Beispiel</u>	41
3.4.5.13	<u>Zusammenfassung</u>	42
3.4.5.14	<u>Algorithmus für Point Location</u>	43

4 Bewegungsplanung in der Ebene

4.1 Einführung.....

4.1.1	<u>Allgemeines Problem</u>	44
4.1.2	<u>Bemerkungen</u>	44

4.2 Problem 1: R ist Kreis und S Menge von Segmenten.....

4.2.1	<u>Idee</u>	44
4.2.2	<u>Frage</u>	44
4.2.3	<u>Antwort</u>	44
4.2.4	<u>Voronoi-Diagramm von Segmenten in der Praxis</u>	44
4.2.5	<u>Definition (Freiheit, frei, FP)</u>	44
4.2.6	<u>Idee für Algorithmus</u>	44
4.2.7	<u>Beispiel</u>	44
4.2.8	<u>Algorithmus</u>	45

4.2.9	<u>Beispiel</u>	46
4.2.10	<u>Lemma</u>	46
4.2.11	<u>Laufzeit</u>	46
4.2.12	<u>Satz</u>	46
4.3	<u>Problem 2: R ist konvexes Polygon und S Menge von konvexen Polygonen</u>	47
4.3.1	<u>Problem</u>	47
4.3.2	<u>Anmerkung</u>	47
4.3.3	<u>Idee</u> ... <i>Reduktion</i>	47
4.3.4	<u>Konstruktion von aufgeblähten Hindernis</u>	47
4.3.5	<u>Beispiel</u>	48
4.3.6	<u>Anmerkung</u> ... <i>Grenze von FP</i>	48
4.3.7	<u>Satz</u> ... <i>über #. Piken von Konv</i>	48
4.3.8	<u>Algorithmus</u> ... <i>Berechnung einzelner Konturen</i>	48
4.3.9	<u>Laufzeit</u>	48
4.3.10	<u>Plane Sweep-Algorithmus zum Mischen von zwei Konturen A und B</u>	49
4.3.10.1	<u>Problem</u>	49
4.3.10.2	<u>Definition</u> (<i>sichtbar</i>).....	49
4.3.10.3	<u>Idee</u> ... <i>Modifikation</i>	49
4.3.10.4	<u>Aktionen</u>	49
4.3.10.5	<u>Bemerkung</u>	50
4.3.10.6	<u>Lemma</u> ... <i>Laufzeit</i>	50
4.3.10.7	<u>Bemerkung</u> ... <i>$s = O(n^2)$ i.d.</i>	50
4.3.10.8	<u>Beispiel</u>	50
4.3.11	<u>Analyse der Laufzeit</u>	50
4.3.11.1	<u>Idee</u>	50
4.3.11.2	<u>Definition</u> (<i>Int(γ), usw.</i>).....	50
4.3.11.3	<u>Satz</u> ... <i>E(n), S</i>	51
4.3.11.4	<u>Bemerkung</u>	53
4.3.11.5	<u>Beispiel</u>	53
4.3.11.6	<u>Satz</u>	53
4.3.12	<u>Lösung des Bewegungsplanungsproblems</u>	53
4.3.13	<u>Grober Algorithmus</u>	54
4.3.14	<u>Satz</u> (<i>Zusammenfassung</i>).....	54
4.3.15	<u>Bemerkung</u> ... <i>i.d. Praxis</i>	54

5 Geometrische Datenstrukturen.....55

5.1	<u>Segmentbaum</u>	55
5.1.1	<u>Definitionen und Bemerkungen</u> (<i>Segmentbaum</i>).....	55
5.1.2	<u>Beispiele</u>	55
5.1.3	<u>Lemma</u> ... <i>Komplexität beim Segmentbaum</i>	56
5.1.4	<u>Suche in Segmentbäumen</u>	56
5.1.5	<u>Laufzeit</u>	57
5.1.6	<u>Problem</u>	57
5.1.7	<u>Algorithmus zur Berechnung des Problems</u>	57
5.1.8	<u>Laufzeit</u>	57
5.1.9	<u>Realisierung der Knotenlisten</u>	58
5.1.10	<u>Satz</u> ... <i>Zusammenfassung</i>	58
5.1.11	<u>Bemerkungen</u> ... <i>∃ voll dynamische Bäume</i>	58

5.2	Range-Tree (Bereichsabfrage-Baum)	58
5.2.1	Definition (<i>Range-Tree</i>)	58
5.2.2	Beispiele	58
5.2.2.1	Dimension = 1	} jeweils mit Komplexitätsbehandlung
5.2.2.2	Dimension = 2	
5.2.3	Verallgemeinerung für beliebige Dimensionen	60
5.2.4	Bemerkungen	60
5.3	Priority-Search-Tree	61
5.3.1	Definition (<i>Priority-Search-Tree</i>)	61
5.3.2	Speichern der Punkte	61
5.3.3	Beispiel	61
5.3.4	Problem1 und Lösung	61
5.3.5	Problem2 und Lösung	62
5.3.6	Satz (<i>Zusammenfassung</i>)	62
5.3.7	Anwendung	62
5.4	Das Maßproblem für achsenparallele Rechtecke	63
5.4.1	Problem	63
5.4.2	Idee	63
5.4.3	Beispiel	64
5.4.4	Beobachtung	64
5.4.5	Genauere Betrachtung der Aktionen	65
5.4.6	Satz	65
6	Drei-dimensionale konvexe Hüllen	66
6.1	Einführung	66
6.1.1	Problem	66
6.1.2	Darstellung des planaren Oberflächengraphen	66
6.1.3	Beispiel	66
6.1.4	Geometrische Prädikate	66
6.2	Algorithmen	67
6.2.1	Inkrementeller Algorithmus	67
6.2.1.1	Algorithmus	67
6.2.1.2	Beispiel	67
6.2.1.3	Bemerkung	68
6.2.1.4	Laufzeit	68
6.2.1.5	Bemerkung	68
6.2.2	Divide & Conquer-Algorithmus	68
6.2.2.1	Algorithmus	68
6.2.2.2	Situation	69
6.2.2.3	Problem	69
6.2.2.4	Beobachtungen	69
6.2.2.5	Satz	70
6.3	Anwendung von 3-D konvexen Hülle (<i>Delaney-Triangulierung</i>)	70
6.3.1	Einführung	70
6.3.2	Idee	70
6.3.3	Umsetzung	70

6.3.4	<u>Geometrisches Prädikat</u>	71
6.4	<u>Arrangements und Dualität</u>	71
6.4.1	<u>Problem1</u>	71
6.4.1.1	<u>Problem</u>	71
6.4.1.2	<u>Einfache Lösung</u>	71
6.4.1.3	<u>Bessere Lösung</u>	71
6.4.1.4	<u>Dualität</u>	71
6.4.1.5	<u>Algorithmus</u>	71
6.4.1.6	<u>Laufzeit</u>	72
6.4.1.7	<u>Bemerkung</u>	72
6.4.2	<u>Problem2</u>	72
6.4.2.1	<u>Problem</u>	72
6.4.2.2	<u>Einfache Lösung</u>	72
6.4.2.3	<u>Bessere Lösung</u>	72
6.4.2.4	<u>Dualität</u>	72
6.4.2.5	<u>Laufzeit</u>	73
6.4.2.6	<u>Beispiel</u>	73
6.4.2.7	<u>Berechnung des Arrangements von n Geraden</u>	73
6.4.2.8	<u>Laufzeit</u>	74
6.4.2.9	<u>Lemma</u>	74
6.4.2.10	<u>Beispiel</u>	74
6.4.2.11	<u>Satz (Arrangements)</u>	75
6.4.2.12	<u>Folgerungen</u>	75

Gesellschaft für Informatik - Fachgruppe 0.1.2 Algorithmische Geometrie



Was ist Algorithmische Geometrie?

Bereits im Altertum haben sich Wissenschaftler wie Pythagoras und Euklid mit geometrischen Problemen beschäftigt. Ihr Interesse galt der Entdeckung geometrischer Sachverhalte und deren Beweis. Sie operierten ausschließlich mit geometrischen Figuren (Punkten, Geraden, Kreisen etc.). Erst die Einführung von Koordinaten durch Descartes machte es möglich, geometrische Objekte durch Zahlen zu beschreiben.

Heute gibt es in der Geometrie verschiedene Richtungen, deren unterschiedliche Ziele man vielleicht an folgendem Beispiel verdeutlichen kann. Denken wir uns eine Fläche im Raum, etwa das Paraboloid, das durch Rotation einer Parabel um seine Symmetrieachse entsteht. In der *Differentialgeometrie* werden mit analytischen Methoden Eigenschaften wie die Krümmung der Fläche an einem Punkt definiert und untersucht.

Die *Algebraische Geometrie* faßt das Paraboloid als *Nullstellenmenge* des Polynoms $p(X,Y,Z) = X^2 + Y^2 - Z$ auf; hier würde man zum Beispiel den Durchschnitt mit einer anderen algebraischen Menge, etwa dem senkrechten Zylinder $(X - x_0^2) + (Y - y_0^2) - r^2$ betrachten und sich fragen, durch welche Gleichungen der Durchschnitt beschrieben wird.

Aus der Mathematik sind uns solche Fragestellungen von einfachen Beispielen vertraut: In der Analysis werden Tangenten an Kurven betrachtet, und in der linearen Algebra immerhin Durchschnitte von Objekten, die sich durch *lineare Gleichungen* beschreiben lassen.

Die *Algorithmische Geometrie*, verfolgt andere Ziele. Ihre Aufgaben bestehen in

- der Entwicklung von *effizienten und praktikablen Algorithmen zur Lösung geometrischer Probleme*, und in Existenz v. effiz. Lösungsverfahren + Konkrete Angabe der Algorithmen.
- der Bestimmung der *algorithmischen Komplexität* geometrischer Probleme. Angabe der unteren Schranke + Konstr. v. Alg., die diese Schranke nicht überschreitet.

Die untersuchten Probleme haben meistens sehr *reale Anwendungshintergründe*. Bei der *Bahnplanung für Roboter* geht es darum, eine Bewegung von einer Anfangskonfiguration in eine Endkonfiguration zu planen, die Kollisionen mit der Umgebung vermeidet und außerdem möglichst effizient ist. Wer je eine Leiter durch verwinkelte Korridore getragen hat, kann sich ein Bild von der Schwierigkeit dieser Aufgabe machen. Sie wächst noch, wenn der Roboter seine Umgebung noch gar nicht kennt, sondern sie während der Ausführung erkunden muß.

Beim *computer aided geometric design (CAGD)* kommt es unter anderem darauf an, *Durchschnitt und Vereinigung von dreidimensionalen Körpern schnell zu berechnen*. Oder es sollen interpolierende Flächen durch vorgegebene Stützpunkte konstruiert werden.

Bei der Arbeit mit *geographischen Daten*, die in der Regel in Datenbanken gespeichert sind, müssen

Zusammenfassung von Algorithmische Geometrie.

Kapitel 0: Vorbemerkungen:

Inhalt der Vorlesung: Algorithmen und Datenstrukturen zur Lösung geometrischer Probleme.

Beispiele: Robotik / Bewegungsplanung, Computergrafik, CAD, VLSI

- Typische Probleme:
- konvexe Hülle
 - Zerlegung in einfache konvexe Teile (z.B. Triangulierung).
 - Schnittprobleme (z.B. Segmente, Polygone)
 - Suchprobleme (Memberanfrage in Pktmenge, Nearest-Neighbor, Range-Abfragen).
 - Bewegungsplanung (Roboter)
 - Hidden Line / Surface (Elimination).

Grundlegende Ansätze bzw. Vorgehensweisen:

- Divide & Conquer
- Plane Sweep.
- Hierarchische Darstellung
- Dualität
- Randomisierte Algorithmen.
- Rundungsfehler u. degenerierte Eingaben.

Kapitel I: Konvexe Hüllen.

1.1. Konstruktion der konvexen Hülle einer Pktmenge im \mathbb{R}^2 - Grundlagen.

1.1.1. Def: Sei $S \subset \mathbb{R}^2$ Pktmenge.

S heißt konvex: $\Leftrightarrow \forall p, q \in S$ gilt: $\overline{pq} \subset S$.

Konvexe Hülle einer Menge $S \subset \mathbb{R}^2$ ($CH(S)$) ist die kleinste konvexe Menge, die S enthält.

Wir betrachten nun endliche Pktmengen, d.h. $|S| = n \in \mathbb{N}$.

Ann: Der Rand von $CH(S)$ ist ein konvexes Polygon mit Ecken aus S .

Bew. Übung.

Konvexe Hülle-Problem für endl. Menge $S \subset \mathbb{R}^2$:

Berechne die Folge der Ecken von $CH(S)$ gg. den Uhrzeigersinn (pos. orientiert).

$\rightarrow q_1, \dots, q_k \in S$. (Anordnung definiert Kanten der Fläche).

Degenerierte Fälle: $P=2$ (alle Pkte sind colinear)

$P=1$ (alle Pkte in S sind gleich).

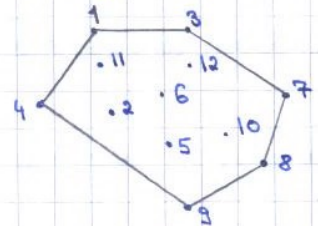
Problem im \mathbb{R}^3 analog, $CH(S)$ ist konvexes Polyeder mit Ecken aus S .

1.1.2. Satz: Berechnung der konvexen Hülle von n Pkten. im \mathbb{R}^2 ist mind. so schwer wie das Sortieren von n Zahlen.

Bew. siehe ÜB. (Idee: Fahre Sortieren von $x_1 \dots x_n$ zurück auf $CH(\{p_1 \dots p_n\})$).

1.1.3. Korollar: Im Allgemeinen braucht die Berechnung von $CH(S)$ Zeit $\Omega(n \log n)$.

1.1.4. Bsp:



$S = \{1..12\}$, $CH(S) = 8, 7, 3, 1, 4, 9$
(Jedes zyklische Shift)

1.1.5. Wohl: Lexikografische Ordnung (siehe Strings) für Pkte im \mathbb{R}^2 :

Lexikogr. Sortierung nach Kartesischen (x, y) -Koordinaten, d.h. für zwei Pkte in der Ebene, also $p, q \in \mathbb{R}^2$ gilt: $p < q \Leftrightarrow p_x < q_x \vee (p_x = q_x \wedge p_y < q_y)$

D.h. Sortierung von links nach rechts bzw. von unten nach oben (bei gleichem x -Koordinate).

Zusammenfassung von Algorithmische Geometrie.

Kapitel 0: Vorbemerkungen:

Inhalt der Vorlesung: Algorithmen und Datenstrukturen zur Lösung geometrischer Probleme.

Beispiele: Robotik / Bewegungsplanung, Computergrafik, CAD, VLSI

- Typische Probleme:
- konvexe Hülle
 - Zerlegung in einfache konvexe Teile (z.B. Triangulierung).
 - Schnittprobleme (z.B. Segmente, Polygone)
 - Suchprobleme (Memberanfrage in Pktmenge, Nearest-Neighbor, Range-Abfragen).
 - Bewegungsplanung (Roboter)
 - Hidden Line / Surface (Elimination).

Grundlegende Ansätze bzw. Vorgehensweisen:

- Divide & Conquer
- Plane Sweep.
- Hierarchische Darstellung
- Dualität
- Randomisierte Algorithmen.
- Rundungsfehler u. degenerierte Eingaben.

Kapitel I: Konvexe Hüllen.

1.1. Konstruktion der konvexen Hülle einer Pktmenge im \mathbb{R}^2 - Grundlagen.

1.1.1. Def: Sei $S \subset \mathbb{R}^2$ Pktmenge.

S heißt konvex: $\Leftrightarrow \forall p, q \in S$ gilt: $\overline{pq} \subset S$.

Konvexe Hülle einer Menge $S \subset \mathbb{R}^2$ ($CH(S)$) ist die kleinste konvexe Menge, die S enthält.

Wir betrachten nun endliche Pktmengen, d.h. $|S| = n \in \mathbb{N}$.

Ann: Der Rand von $CH(S)$ ist ein konvexes Polygon mit Ecken aus S .

Bew. Übung.

Konvexe Hülle-Problem für endl. Menge $S \subset \mathbb{R}^2$:

Berechne die Folge der Ecken von $CH(S)$ gg. den Uhrzeigersinn (pos. orientiert).

$\rightarrow q_1, \dots, q_k \in S$. (Anordnung definiert Kanten der Fläche).

Degenerierte Fälle: $P=2$ (alle Pkte sind colinear)

$P=1$ (alle Pkte in S sind gleich).

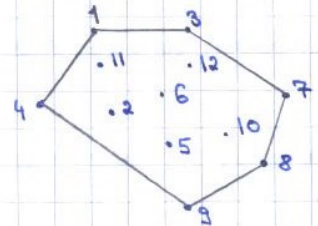
Problem im \mathbb{R}^3 analog, $CH(S)$ ist konvexes Polyeder mit Ecken aus S .

1.1.2. Satz: Berechnung der konvexen Hülle von n Pkten. im \mathbb{R}^2 ist mind. so schwer wie das Sortieren von n Zahlen.

Bew. siehe ÜB. (Idee: Fahre Sortieren von $x_1 \dots x_n$ zurück auf $CH(\{p_1 \dots p_n\})$).

1.1.3. Korollar: Im Allgemeinen braucht die Berechnung von $CH(S)$ Zeit $\Omega(n \log n)$.

1.1.4. Bsp:



$S = \{1..12\}$, $CH(S) = 8, 7, 3, 1, 4, 9$
(Jedes zyklische Shift)

1.1.5. Wohl: Lexikografische Ordnung (siehe Strings) für Pkte im \mathbb{R}^2 :

Lexikogr. Sortierung nach Kartesischen (x, y) -Koordinaten, d.h. für zwei Pkte in der Ebene, also $p, q \in \mathbb{R}^2$ gilt: $p < q \Leftrightarrow p_x < q_x \vee (p_x = q_x \wedge p_y < q_y)$

D.h. Sortierung von links nach rechts bzw. von unten nach oben (bei gleichem x -Koordinate).

1.2 Algorithmus I: Gift Wrapping.

Intuition: Pktmenge wird mit Geschenkpapier eingewickelt.

Zusatz: $S \subset \mathbb{R}^2$. Voraussetzung: $|S| < \infty$

Ges: $CH(S) = p_1 \dots p_n$.

1.2.1. Idee: 1) Startpkt p_1 : Pkt mit der kleinsten y-Koordinate.

(falls mehrere wähle den linkensten. D.h. Minimum in p_n -lexikogr. Ordnung.)

(Übung: p_1 ist Ecke der konvexen Hülle.)

2) Wie findet man p_2 ? (Nachfolger von p_1 auf Konv. Hülle).

Betrachte horizontalen Strahl l durch p_1 (nach rechts). Drehe den Strahl gg. der Uhrzeigersinn bis wir einen weiteren Pkt von S treffen. (Ann. $|S| > 1$).

So erhalten wir p_2 .

Genauer: $\forall q \in S \setminus \{p_1\}$ sei α_q der Winkel zwischen l und $\overrightarrow{p_1q}$.

Wähle p_2 so, dass α_{p_2} minimal. Falls mehrere Pkte mit minimalen Winkel, wähle den Pkt mit maximaler Entfernung zu p_1 .

\rightarrow Lineare Suche in S nach Minimum bzgl. oben definierter Ordnung.

3) Setze Algor. bei p_2 fort, d.h. l wird nun der Strahl, der

- in p_2 beginnt.
- in Richtung p_1p_2 zeigt

\rightarrow Suche Minimum in $S \setminus \{p_1, p_2\}$.

4) Wiederhole bis p_1 wieder erreicht wird.

1.2.2 Korrektheit: Übung.

1.2.3 Laufzeit: $CH(S) = p_1 \dots p_n$, $|S| = n$.

p_1 : Lineare Suche in S kostet $O(n)$ (lin. Suche nach Min. bzgl. p_y)

$p_2 \dots p_n$: lin. Suche in S kostet $O(n)$ (lin. Suche nach Winkelordnung).

\Rightarrow Gesamtlaufzeit: $O(n \cdot n)$.

1.2.4 Satz: Sei S eine Menge von n Pkten im \mathbb{R}^2 und R die Zahl der Ecken der konvexen Hülle $CH(S)$. Dann kann $CH(S)$ in Zeit $O(R \cdot n)$ berechnet werden. Bew. siehe oben.

1.2.5 Bem: $R \in \{1, \dots, n\}$

Worst Case: $R = n$ (z.B. alle Pkte aus S liegen auf einem gemeinsamen Kreis, das Innere ist leer). \Rightarrow Laufzeit: $O(n^2)$.

Beste Fall: $R = \text{const.}$ \Rightarrow Laufzeit: $O(R \cdot n) = O(n)$.

1.2.6 Details der Implementierung:

1) Wie findet man Pkt q so, dass α_q minimal ist?

\rightarrow Wir müssen Winkel vergleichen.

$q \leftarrow$ undefiniert

$\alpha_q \leftarrow \infty$

forall $p \in S \setminus \{p_1\}$ do

if $\alpha_p < \alpha_q$ then

$q \leftarrow p$

$\alpha_q \leftarrow \alpha_p$

fi

od

Im Alg. 3 Pkte $p, q, r \rightarrow$ vergleiche Winkel

Naiv: Berechne Winkel aus Koordinaten der Pkte mit trigonometrischen Fktren.

- \rightarrow Nachteile:
- Langsam
 - Präzisionsprobleme
 - Robustheitsproblem (Definitionsbereich der trigonometrischen Fktren ist eingeschränkt).

\rightarrow Bemerkung: Andere Betrachtungsweise:

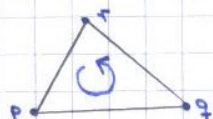
Dazu betrachte Dreieck p, q, r

Drei mögliche Orientierungen:

a) positiv orientiert

(left-turn)

$\Rightarrow \alpha_q < \alpha_r$



b) Orientierung 0

(collinear)

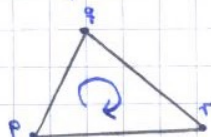
$\Rightarrow \alpha_q = \alpha_r$



c) negativ orientiert

(right-turn)

$\Rightarrow \alpha_q > \alpha_r$



Allgemein: Seien $p = (p_x, p_y)$, $q = (q_x, q_y)$ und $r = (r_x, r_y)$ drei Pkte im \mathbb{R}^2 . (3)

Sei \vec{p} der Vektor, der vom Nullpunkt ausgeht und in Richtung p zeigt. Und seien \vec{q} und \vec{r} Vektoren, die von p ausgehen und in Richtung q bzw. r zeigen. Betrachte nun das Parallelogramm, welches durch die Vektoren \vec{q} und \vec{r} aufgespannt wird. Sei $V(P) =$ die Fläche des Parallelogramms.

Beh: $V(P) = |\det A|$, wobei $A = \begin{pmatrix} q_x - p_x & q_y - p_y \\ r_x - p_x & r_y - p_y \end{pmatrix}$

Bem: diese Beh. überträgt sich auch auf \mathbb{R}^n .

Man betrachte hierbei $u_1, \dots, u_n \in \mathbb{R}^n$ und $P = \{u_1 a_1 + \dots + u_n a_n : 0 \leq a_i \leq 1, i \in \{1, \dots, n\}\}$.
 $\Rightarrow V(P) = |\det A|$, A entsprechend.

Wir betrachten Δpqr :

1.2.6.1 Satz: $p, q, r \in \mathbb{R}^2$, $A = \begin{pmatrix} q_x - p_x & q_y - p_y \\ r_x - p_x & r_y - p_y \end{pmatrix}$

\Rightarrow (i) $|\det A| = 2 \cdot$ Fläche von Δpqr .

(ii) $\text{sign}(\det A)$ gibt die Orientierung an:

-1: neg. orientiert (right turn)

0: kollinear.

+1: pos. orientiert (left turn).

Bew. siehe Lernordner.

1.2.6.2 Def: Wir definieren das geometrische Prädikat:

$$\text{orientation}(p, q, r) = \text{sign} \begin{vmatrix} p_x & p_y & 1 \\ q_x & q_y & 1 \\ r_x & r_y & 1 \end{vmatrix} = \text{sign}((q_x - p_x)(r_y - p_y) - (r_x - p_x)(q_y - p_y)).$$

D.h. $\text{orientation}(p, q, r)$ und damit der Test $dr < dq$ kann mit zwei Multiplikationen und fünf Subtraktionen berechnet werden.

2) Falls $dr = dq$ (d.h. $\text{orientation}(p, q, r) = 0$) müssen wir herausfinden, welcher der Pkte q oder r weiter von p entfernt liegt.

Natur: Berechne Distanzen (mit eukl. Metrik):

$$\text{dist}(p, q) = \sqrt{(p_x - q_x)^2 + (p_y - q_y)^2}$$

\leadsto Nachteil: Wurzel!

\Rightarrow Besser: Vergleiche Quadrate der Distanzen:

$$(p_x - q_x)^2 + (p_y - q_y)^2 \stackrel{?}{<} (p_x - r_x)^2 + (p_y - r_y)^2 ?$$

(\leadsto 4 Subtraktionen, 4 Multiplikationen, 2 Additionen).

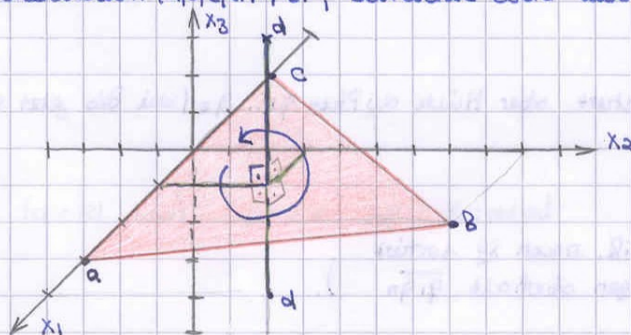
1.2.7. Übertragung auf höhere Dimensionen:

Das Orientierungsprädikat kann auf höhere Dimensionen verallgemeinert werden.

Insbesondere im \mathbb{R}^3 : seien $a, b, c, d \in \mathbb{R}^3$

$\text{orientation}(a, b, c, d) \in \{-1, 0, 1\}$

Sei $\text{orientation}(a, b, c, d) \neq 0$, betrachte Ebene durch a, b, c .



1.2.7.1 Satz: Für $a, b, c, d \in \mathbb{R}^3$ betrachte Ebene durch a, b, c .

Falls $\text{orientation} \neq 0$, so gilt:

(i) $\text{orientation}(a, b, c, d) = -1$, wenn von d aus $\Delta a, b, c$ negativ orientiert ist.
 $\text{orientation}(a, b, c, d) = +1$, wenn von d aus $\Delta a, b, c$ positiv orientiert ist.

(ii) $\text{orientation}(a, b, c, d) = \text{sign} \begin{vmatrix} a_{x_1} & a_{x_2} & a_{x_3} & 1 \\ b_{x_1} & b_{x_2} & b_{x_3} & 1 \\ c_{x_1} & c_{x_2} & c_{x_3} & 1 \\ d_{x_1} & d_{x_2} & d_{x_3} & 1 \end{vmatrix}$

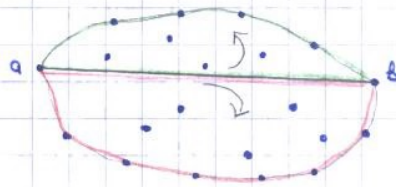
1.3 Algorithmus II: Graham's Scan.

1.3.1. Idee: Berechne "obere" und "untere" Hülle getrennt.

Sei a der linkeste und b der rechteste Pkte von S , d.h. $a = \text{Minimum bzgl. } x\text{-y-Sortierung}$ und $b = \text{Maximum bzgl. } x\text{-y-Sortierung}$.

Obere Hülle = Der Teil von $CH(S)$, der oberhalb von \overline{ab} liegt (inclusive a, b). $= CH(S_1), S_1 \subset S$.

Untere Hülle = Der Teil von $CH(S)$, der unterhalb von \overline{ab} liegt (incl. a, b) $= CH(S_2), S_2 \subset S$.



Beobachtung: $S_1 = \{p \in S : \text{orientation}(a, b, p) \geq 0\}$
und $S_2 = \{p \in S : \text{orientation}(a, b, p) < 0\}$.

Sei S_1 lexikografisch nach xy -Sortiert ($\Rightarrow n \log n$)

\leadsto sortierte Folge $q_1 \dots q_n = S_1$

$\Rightarrow a = q_1$ und $b = q_n$

Berechne obere Hülle als Teilfolge $x_1 \dots x_m$ von $q_1 \dots q_n$ (d.h. im Uhrzeigersinn).



Beobachtung:

1. Jeweils drei aufeinanderfolgende Ecken x_i, x_{i+1}, x_{i+2} bilden einen Rightturn, d.h. $\text{orientation}(x_i, x_{i+1}, x_{i+2}) < 0$.

2. (b, a, p) ist Rightturn $\forall p \in S_1$.

(d.h. $\forall p \in S_1 : \text{orientation}(q_n, q_1, p) < 0$).

1.3.2 Algorithmus:

verwalte stack $x_0, x_1 \dots x_t$ von potentiellen Ecken der oberen Hülle.

Am Ende: genau die Ecken der oberen Hülle.

Initialisierung: stack $S = q_n, q_1, q_2$. Bem: alle drei Pkte wg. lexik. Sort. genau festgelegt und müssen nicht gesucht werden.

Schleife: Betrachte nur $q_3 \dots q_{n-1}$.

Sei q_s aktueller Pkte

Invariante: $x_0, x_1 \dots x_t$ ist Teilfolge von $q_n, q_1 \dots q_s$

mit: $t \geq 2, x_0 = q_n, x_1 = q_1, x_t = q_s$

besser x_1 statt x_0 $x_0, x_1 \dots x_t$ ist konvexes Polygon

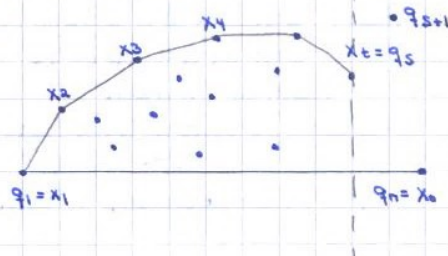
2) obere Hülle von S ist Teilfolge von $x_1 \dots x_t q_{s+1} \dots q_n$.

Schritt: $s \mapsto s+1$

while (x_{t-1}, x_t, q_{s+1}) nicht Rightturn do
pop (x_t)

od

push (q_{s+1}) .



Beobachtung: stack speichert obere Hülle der Pkte $q_1 \dots q_s$ (die bis jetzt gewesen).

Die Funktion:

UPPER_HULL($q_1 \dots q_n$) bessers: $q_1 \dots q_m \Rightarrow b = q_m$ (weil $|S| = n$)

(Vorb. 1) $q_1 \dots q_n$ lexik. nach xy sortiert
2) $q_2 \dots q_{n-1}$ liegen oberhalb $q_1 q_n$).

Stack von Pkten. S

(stack $\langle \text{point} \rangle S;$)

$S.$ push (q_n) ;

$S.$ push (q_1) ;

$S.$ push (q_2) ;

(Ann. $n \geq 2$).



```

for s=3 to n-1 do
  x ← S.top();      gibt das oberste Element an.
  y ← S.top_pred();  eins unter dem obersten auf dem Stack
  while orientation(y, x, q_s) ≥ 0 do
    S.pop();
    x ← y;
    y ← S.top_pred();
  od
  S.push(q_s);
od
return S.
  
```

While-Schleife terminiert spätestens, wenn S nur noch die Pkte q_n, q_1 enthält. (weil alle Pkte $q_2 \dots q_{n-1}$ oberhalb von $\overline{q_1 q_n}$ liegen.).

1.3.3. Beispiel für die Pkt.

Anfang: Stack $q_6 q_1 q_2$.

s=3

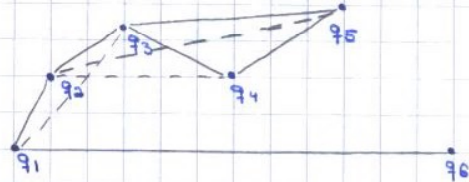
$x = q_2 \wedge y = q_1$
 $orientation(q_1, q_2, q_2) = -1$
 \Rightarrow Stack $q_6 q_1 q_2 q_3$

s=4

$x = q_2 \wedge y = q_2$
 $orientation(q_2, q_3, q_4) = -1 \Rightarrow$ Stack $q_6 q_1 q_2 q_3 q_4$

s=5

$x = q_4 \wedge y = q_3$
 $orientation(q_3, q_4, q_5) = +1 \Rightarrow$ Stack $q_6 q_1 q_2 q_3$, $x = q_3, y = q_2$
 $orientation(q_2, q_3, q_5) = -1 \Rightarrow$ Stack $q_6 q_1 q_2 q_3 q_5$



Fertig!

1.3.4. Korrektheit.

(1) Invariante ist stets erfüllt.

Zeige mit Induktion, dass Invariante stets erfüllt ist.

Ind.anf.: $S = q_n q_1 q_2$

- 1) $t = 2, q_n = x_0, q_1 = x_1, q_2 = x_2$
- 2) $x_0 x_1 x_2$ konv. Polygon
- 3) obere Hülle von S ist TF von $x_0 x_1 x_2 q_2 \dots q_{n-1}$.

Indann: die Invariante sei für $x_0 x_1 \dots x_t$ erfüllt ($t \in \mathbb{N}$).

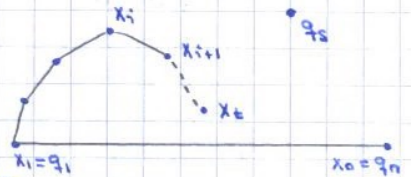
Indbeh: Sei q_s der nächste Pkt bzgl. der lexikogr. Sortierung.

Wenn $orientation(x_{t-1}, x_t, q_s) = -1$ dann ist die Beh. trivialerweise erfüllt.

Sei also $orientation(x_{t-1}, x_t, q_s) \in \{1, 0\}$

z.z. $x_0 \dots x_t$ ist TF von $q_n q_1 \dots q_s$ mit

- 1) $t \geq 2, x_0 = q_n, x_1 = q_1, x_t = q_s$
- 2) $x_0 \dots x_t$ konv. Polygon
- 3) obere Hülle von S ist TF von $x_1 \dots x_t q_{s+1} \dots q_n$.



überall x_1 .

$\Rightarrow S = x_0 x_1 \dots x_{t-1}$

... wird solange gepopt bis $orientation(y, x, q_s) < 0$.

$\Rightarrow S = x_0 x_1 \dots x_i$

$S.push(q_s) \Rightarrow S = x_0 x_1 \dots x_i x_t$, wobei $x_t = q_s$

$\Rightarrow x_0 x_1 \dots x_i x_t$ ist TF von $q_n q_1 \dots q_s$

zu 1) $t \geq 2, x_0 = q_n, x_1 = q_1$ und $x_t = q_s$ nach Def. \Rightarrow ok.

weil $(x_0 x_1 q_s)$ Rightturn $\Rightarrow i \geq 1 \Rightarrow t \geq 2$.

zu 2) Folge $x_0 \dots x_i$ unverändert und (x_{i-1}, x_i, q_s) bilden Rightturn

$\Rightarrow x_0 \dots x_i x_t$ auch konvexes Polygon.

zu 3) Pkte $x_{i+1} \dots x_{t-1}$ wurden entfernt. Sie gehören nicht zu oberen Hülle, da sie rechts von (oder auf) Strecke $\overline{x_i q_s}$ liegen. \Rightarrow ok.

\Rightarrow Beh.

(2) Bei Termination erhält Stack S die obere Hülle.

Voraussetzung: die Invariante ist für den letzten Pkt ($s=n$) erfüllt.

d.h. alle Pkte sind abgearbeitet.

Wissen also: $x_1 \dots x_t$ ist TF von $q_1 \dots q_n$ mit $\text{bea: } \text{lauf} \geq 1$, weil $x_0 = x_t = q_n$.

1) $t \geq 2$, $x_0 = q_n$, $x_1 = q_1$ und $x_t = q_n$

2) $x_1 \dots x_t$ konv. Polygon

3) obere Hülle ist TF von $x_1 \dots x_t$.

Z.Z. obere Hülle = $x_1 \dots x_t$ also nicht echte Teilmenge.

Ann: nein, obere Hülle $\subset x_1 \dots x_t$

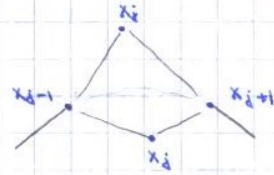
$\Rightarrow \exists x_j \in \{x_1 \dots x_t\}$ mit $x_j \notin$ obere Hülle

\Rightarrow 1. Fall: $\text{orientation}(x_{j-1}, x_j, x_{j+1}) = +1 \Rightarrow \checkmark$ zu 2)

2. Fall: $\text{orientation}(x_{j-1}, x_j, x_{j+1}) = -1 \Rightarrow \checkmark$ zu 2)

\Rightarrow Ann. falsch

\Rightarrow Beh.



13.5 Laufzeit:

Beobachtung: Jeder Pkt kann höchstens einmal aus S entfernt werden.

Rumpf hat Kosten $O(1)$ (Orientierung, konstante Zahl von Stack-Operationen).

Da jeder Pkt höchstens einmal aus S entfernt werden kann \Rightarrow

\Rightarrow while-Schleife wird höchstens n mal eingehalten \Rightarrow forschleife kostet $uns O(n)$.

In der while-Schleife konst. Operationen, außerhalb auch

\Rightarrow Gesamtkosten der UPPER-Pkt: $O(n)$.

(Analog berechnet man die untere Hülle).

Die Funktion insgesamt:

CONVEX_HULL(S)

1. $S \leftarrow \text{sort}(x_j)$;

$a \leftarrow S.\text{min}()$;

$b \leftarrow S.\text{max}()$;

2. for all $p \in S$ do eigentlich $S \setminus \{a, b\}$

3. if ($\text{orientation}(a, b, p) > 0$) $S_1.\text{append}(p)$

4. if ($\text{orientation}(a, b, p) < 0$) $S_2.\text{append}(p)$

5. od

6. $S_1.\text{push}(a)$;

$S_1.\text{append}(b)$;

7. $S_2.\text{push}(a)$;

$S_2.\text{append}(b)$;

8. $H_1 \leftarrow \text{UPPER_HULL}(S_1)$

9. $H_2 \leftarrow \text{LOWER_HULL}(S_2)$

10. H_1 umdrehen

11. H_2 an H_1 anhängen

12. doppeltes Vorkommen von a / b löschen.

$O(n \log n)$ ($|S| = n$)

$O(1)$

$O(1)$

$O(n)$

(S_1, S_2 Listen \Rightarrow append kostet $O(1)$, $n \times \Rightarrow O(n)$)

$O(n)$

(falls S_1 Liste \Rightarrow

$O(1)$

einfügen am Ende kostet $O(n)$)

$O(n)$

$O(1)$

$O(m) = O(n)$

$O(n-m) = O(n)$

$O(n)$

$O(1)$

$O(n)$

Zusammenfassung:

CONVEX_HULL(S)

1) Sortiere S lexik.

2) $a \leftarrow \min$ \wedge $b \leftarrow \max$

3) $S_1 \leftarrow \{p \in S : b, a, p \text{ Rightturn}\} \cup \{a, b\}$

4) $S_2 \leftarrow \{p \in S : b, a, p \text{ Leftturn}\} \cup \{a, b\}$

5) UPPER_HULL(S_1)

6) LOWER_HULL(S_2)

7) " Zusammenkleben

Zeit:

$O(n \log n)$

$O(1)$

$O(n)$

$O(n)$

$O(n)$

$O(n)$

$O(n)$

Allgemein: Seien $p = (p_x, p_y)$, $q = (q_x, q_y)$ und $r = (r_x, r_y)$ drei Pkte im \mathbb{R}^2 . (3)

Sei \vec{p} der Vektor, der vom Nullpunkt ausgeht und in Richtung p zeigt. Und seien \vec{q} und \vec{r} Vektoren, die von p ausgehen und in Richtung q bzw. r zeigen.

Betrachte nun das Parallelogramm, welches durch die Vektoren \vec{q} und \vec{r} aufgespannt wird. Sei $V(P) =$ die Fläche des Parallelogramms.

Beh: $V(P) = |\det A|$, wobei $A = \begin{pmatrix} q_x - p_x & q_y - p_y \\ r_x - p_x & r_y - p_y \end{pmatrix}$

Bem: diese Beh. überträgt sich auch auf \mathbb{R}^n .

Man betrachte hierbei $u_1, \dots, u_n \in \mathbb{R}^n$ und $P = \{u_1 a_1 + \dots + u_n a_n : 0 \leq a_i \leq 1, i \in \{1, \dots, n\}\}$.

$\Rightarrow V(P) = |\det A|$, A entsprechend.

Wir betrachten Δpqr :

\rightarrow 1.2.6.1 Satz: $p, q, r \in \mathbb{R}^2$, $A = \begin{pmatrix} q_x - p_x & q_y - p_y \\ r_x - p_x & r_y - p_y \end{pmatrix}$.

\Rightarrow (i) $|\det A| = 2 \cdot$ Fläche von Δpqr .

(ii) $\text{sign}(\det A)$ gibt die Orientierung an:

-1: neg. orientiert (right turn)

0: kollinear.

+1: pos. orientiert (left turn).

Bew. siehe Lernordner.

\rightarrow 1.2.6.2 Def: Wir definieren das geometrische Prädikat:

orientation $(p, q, r) = \text{sign} \begin{vmatrix} p_x & p_y & 1 \\ q_x & q_y & 1 \\ r_x & r_y & 1 \end{vmatrix} = \text{sign}((q_x - p_x)(r_y - p_y) - (r_x - p_x)(q_y - p_y))$.

D.h. orientation (p, q, r) und damit der Test $dr < dq$ kann mit zwei Multiplikationen und fünf Subtraktionen berechnet werden.

2) Falls $dr = dq$ (d.h. orientation $(p, q, r) = 0$) müssen wir herausfinden, welcher der Pkte q oder r weiter von p entfernt liegt.

Natur: Berechne Distanzen (mit eukl. Metrik):

$$\text{dist}(p, q) = \sqrt{(p_x - q_x)^2 + (p_y - q_y)^2}$$

\leadsto Nachteil: Wurzel!

\Rightarrow Besser: Vergleiche Quadrate der Distanzen:

$$(p_x - q_x)^2 + (p_y - q_y)^2 \stackrel{?}{<} (p_x - r_x)^2 + (p_y - r_y)^2 \quad ?$$

(\leadsto 4 Subtraktionen, 4 Multiplikationen, 2 Additionen).

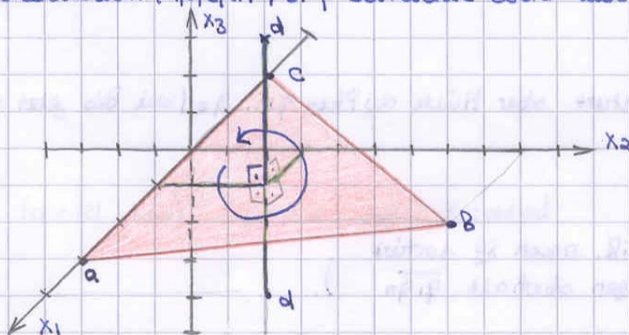
1.2.7. Übertragung auf höhere Dimensionen:

Das Orientierungsprädikat kann auf höhere Dimensionen verallgemeinert werden.

Insbesondere im \mathbb{R}^3 : seien $a, b, c, d \in \mathbb{R}^3$

orientation $(a, b, c, d) \in \{-1, 0, 1\}$

Sei orientation $(a, b, c, d) \neq 0$, betrachte Ebene durch a, b, c .



\rightarrow 1.2.7.1 Satz: Für $a, b, c, d \in \mathbb{R}^3$ betrachte Ebene durch a, b, c .

Falls orientation $\neq 0$, so gilt:

(i) orientation $(a, b, c, d) = -1$, wenn von d aus $\Delta a, b, c$ negativ orientiert ist.
orientation $(a, b, c, d) = +1$, wenn von d aus $\Delta a, b, c$ positiv orientiert ist.

(ii) orientation $(a, b, c, d) = \text{sign} \begin{vmatrix} a_{x_1} & a_{x_2} & a_{x_3} & 1 \\ b_{x_1} & b_{x_2} & b_{x_3} & 1 \\ c_{x_1} & c_{x_2} & c_{x_3} & 1 \\ d_{x_1} & d_{x_2} & d_{x_3} & 1 \end{vmatrix}$

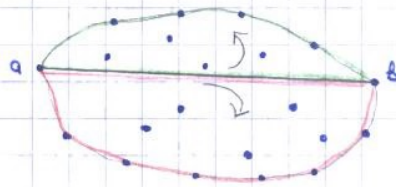
1.3 Algorithmus II: Graham's Scan.

1.3.1. Idee: Berechne "obere" und "untere" Hülle getrennt.

Sei a der linkeste und b der rechteste Pkte von S , d.h. $a = \text{Minimum bzgl. } x\text{-y-Sortierung}$ und $b = \text{Maximum bzgl. } x\text{-y-Sortierung}$.

Obere Hülle = Der Teil von $CH(S)$, der oberhalb von \overline{ab} liegt (inclusive a, b). $= CH(S_1), S_1 \subset S$.

Untere Hülle = Der Teil von $CH(S)$, der unterhalb von \overline{ab} liegt (incl. a, b) $= CH(S_2), S_2 \subset S$.



Beobachtung: $S_1 = \{p \in S : \text{orientation}(a, b, p) \geq 0\}$
und $S_2 = \{p \in S : \text{orientation}(a, b, p) \leq 0\}$.

Sei S_1 lexikografisch nach $x\text{-y}$ -Sortiert ($\Rightarrow n \log n$)

\leadsto sortierte Folge $q_1 \dots q_n = S_1$

$\Rightarrow a = q_1$ und $b = q_n$

Berechne obere Hülle als Teilfolge $x_1 \dots x_m$ von $q_1 \dots q_n$ (d.h. im Uhrzeigersinn).



Beobachtung:

1. Jeweils drei aufeinanderfolgende Ecken x_i, x_{i+1}, x_{i+2} bilden einen Rightturn, d.h. $\text{orientation}(x_i, x_{i+1}, x_{i+2}) < 0$.

2. (b, a, p) ist Rightturn $\forall p \in S_1$.

(d.h. $\forall p \in S_1 : \text{orientation}(q_n, q_1, p) < 0$).

1.3.2 Algorithmus:

verwalte stack $x_0, x_1 \dots x_t$ von potentiellen Ecken der oberen Hülle.

Am Ende: genau die Ecken der oberen Hülle.

Initialisierung: stack $S = q_n, q_1, q_2$. Bem: alle drei Pkte wg. lexik. Sort. genau festgelegt und müssen nicht gesucht werden.

Schleife: Betrachte nur $q_3 \dots q_{n-1}$.

Sei q_s aktueller Pkte

Invariante: $x_0, x_1 \dots x_t$ ist Teilfolge von $q_n, q_1 \dots q_s$

mit: $t \geq 2, x_0 = q_n, x_1 = q_1, x_t = q_s$

besser x_1 statt x_0 $x_0, x_1 \dots x_t$ ist konvexes Polygon

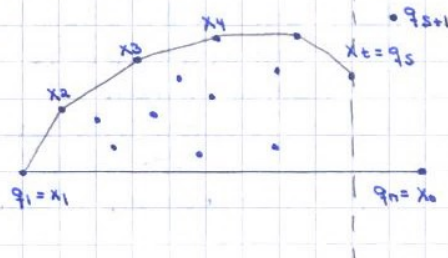
2) obere Hülle von S ist Teilfolge von $x_1 \dots x_t q_{s+1} \dots q_n$.

Schritt: $s \mapsto s+1$

while (x_{t-1}, x_t, q_{s+1}) nicht Rightturn do
pop (x_t)

od

push (q_{s+1}) .



Beobachtung: stack speichert obere Hülle der Pkte $q_1 \dots q_s$ (die bis jetzt gewesen).

Die Funktion:

UPPER_HULL($q_1 \dots q_n$) bessers: $q_1 \dots q_m \Rightarrow b = q_m$ (weil $|S| = n$)

(Vorb. 1) $q_1 \dots q_n$ lexik. nach $x\text{-y}$ sortiert
2) $q_2 \dots q_{n-1}$ liegen oberhalb $\overline{q_1 q_n}$).

Stack von Pkten. S

(stack $\langle \text{point} \rangle S;$)

$S.$ push (q_n) ;

$S.$ push (q_1) ;

$S.$ push (q_2) ;

(Ann. $n \geq 2$).



```

for s=3 to n-1 do
  x ← S.top();      gibt das oberste Element an.
  y ← S.top_pred();  eins unter dem obersten auf dem Stack
  while orientation(y, x, q_s) ≥ 0 do
    S.pop();
    x ← y;
    y ← S.top_pred();
  od
  S.push(q_s);
od
return S.
  
```

While-Schleife terminiert spätestens, wenn S nur noch die Pkte q_n, q_1 enthält. (weil alle Pkte $q_2 \dots q_{n-1}$ oberhalb von $\overline{q_1 q_n}$ liegen.).

1.3.3. Beispiel für die Pkt:

Anfang: Stack $q_6 q_1 q_2$.

s=3

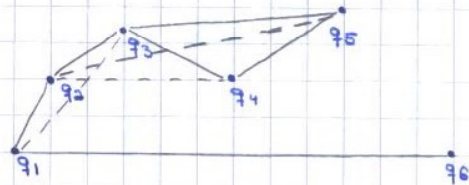
$x = q_2 \wedge y = q_1$
 $orientation(q_1, q_2, q_3) = -1$
 \Rightarrow Stack $q_6 q_1 q_2 q_3$

s=4

$x = q_3 \wedge y = q_2$
 $orientation(q_2, q_3, q_4) = -1 \Rightarrow$ Stack $q_6 q_1 q_2 q_3 q_4$

s=5

$x = q_4 \wedge y = q_3$
 $orientation(q_3, q_4, q_5) = +1 \Rightarrow$ Stack $q_6 q_1 q_2 q_3$, $x = q_3, y = q_2$
 $orientation(q_2, q_3, q_5) = -1 \Rightarrow$ Stack $q_6 q_1 q_2 q_3 q_5$



Fertig!

1.3.4. Korrektheit.

(1) Invariante ist stets erfüllt.

Zeige mit Induktion, dass Invariante stets erfüllt ist.

Ind.anf.: $S = q_n q_1 q_2$

- 1) $t = 2, q_n = x_0, q_1 = x_1, q_2 = x_2$
- 2) $x_0 x_1 x_2$ konv. Polygon
- 3) obere Hülle von S ist TF von $x_0 x_1 x_2 q_2 \dots q_{n-1}$.

Indann: die Invariante sei für $x_0 x_1 \dots x_t$ erfüllt ($t \in \mathbb{N}$).

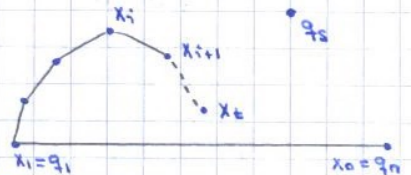
Indbeh: Sei q_s der nächste Pkt bzgl. der lexikogr. Sortierung.

Wenn $orientation(x_{t-1}, x_t, q_s) = -1$ dann ist die Beh. trivialerweise erfüllt.

Sei also $orientation(x_{t-1}, x_t, q_s) \in \{1, 0\}$

z.z. $x_0 \dots x_t$ ist TF von $q_n q_1 \dots q_s$ mit

- 1) $t \geq 2, x_0 = q_n, x_1 = q_1, x_t = q_s$
- 2) $x_0 \dots x_t$ konv. Polygon
- 3) obere Hülle von S ist TF von $x_1 \dots x_t q_{s+1} \dots q_n$.



überall x_1 .

$\Rightarrow S = x_0 x_1 \dots x_{t-1}$

... wird solange gepopt bis $orientation(y, x, q_s) < 0$.

$\Rightarrow S = x_0 x_1 \dots x_i$

$S.push(q_s) \Rightarrow S = x_0 x_1 \dots x_i x_t$, wobei $x_t = q_s$

$\Rightarrow x_0 x_1 \dots x_i x_t$ ist TF von $q_n q_1 \dots q_s$

zu 1) $t \geq 2, x_0 = q_n, x_1 = q_1$ und $x_t = q_s$ nach Def. \Rightarrow ok.

weil $(x_0 x_1 q_s)$ Rightturn $\Rightarrow i \geq 1 \Rightarrow t \geq 2$.

zu 2) Folge $x_0 \dots x_i$ unverändert und (x_{i-1}, x_i, q_s) bilden Rightturn

$\Rightarrow x_0 \dots x_i x_t$ auch konvexes Polygon.

zu 3) Pkte $x_{i+1} \dots x_{t-1}$ wurden entfernt. Sie gehören nicht zu oberen Hülle, da sie rechts von (oder auf) Strecke $\overline{x_i q_s}$ liegen. \Rightarrow ok.

\Rightarrow Beh.

(2) Bei Termination erhält Stack S die obere Hülle.

Voraussetzung: die Invariante ist für den letzten Pkt ($s=n$) erfüllt.

d.h. alle Pkte sind abgearbeitet.

Wissen also: $x_1 \dots x_t$ ist TF von $q_1 \dots q_n$ mit $\text{lea: } \text{lauf} \geq 1$, weil $x_0 = x_t = q_n$.

1) $t \geq 2$, $x_0 = q_n$, $x_1 = q_1$ und $x_t = q_n$

2) $x_1 \dots x_t$ konv. Polygon

3) obere Hülle ist TF von $x_1 \dots x_t$.

Z.Z. obere Hülle = $x_1 \dots x_t$ also nicht echte Teilmenge.

Ann: nein, obere Hülle $\subset x_1 \dots x_t$

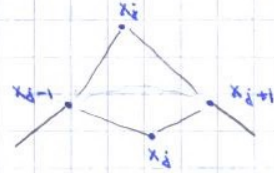
$\Rightarrow \exists x_j \in \{x_1 \dots x_t\}$ mit $x_j \notin$ obere Hülle

\Rightarrow 1. Fall: $\text{orientation}(x_{j-1}, x_j, x_{j+1}) = +1 \Rightarrow \checkmark$ zu 2)

2. Fall: $\text{orientation}(x_{j-1}, x_j, x_{j+1}) = -1 \Rightarrow \checkmark$ zu 2)

\Rightarrow Ann. falsch

\Rightarrow Beh.



13.5 Laufzeit:

Beobachtung: Jeder Pkt kann höchstens einmal aus S entfernt werden.

Rumpf hat Kosten $O(1)$ (Orientierung, konstante Zahl von Stack-Operationen).

Da jeder Pkt höchstens einmal aus S entfernt werden kann \Rightarrow

\Rightarrow while-Schleife wird höchstens n mal eingehalten \Rightarrow forschleife kostet $uns O(n)$.

In der while-Schleife konst. Operationen, außerhalb auch

\Rightarrow Gesamtkosten der UPPER-Pkt: $O(n)$.

(Analog berechnet man die untere Hülle).

Die Funktion insgesamt:

CONVEX_HULL(S)

1. S.sort(x_y);

a \leftarrow S.min();

b \leftarrow S.max();

2. forall p \in S do eigentlich S \ {a, b}

3. if (orientation(a, b, p) > 0) S₁.append(p)

4. if (orientation(a, b, p) < 0) S₂.append(p)

5. od

6. S₁.push(a);

S₁.append(b);

7. S₂.push(a);

S₂.append(b);

8. H₁ \leftarrow UPPER_HULL(S₁)

9. H₂ \leftarrow LOWER_HULL(S₂)

10. H₁ umdrehen

11. H₂ an H₁ anhängen

12. doppeltes Vorkommen von a/b löschen.

$O(n \log n)$ ($|S|=n$)

$O(1)$

$O(1)$

$O(n)$

(S₁, S₂ Listen \Rightarrow append kostet $O(1)$, $n \times \Rightarrow O(n)$)

$O(n)$

(falls S₁ Liste \Rightarrow

$O(1)$

einfügen am Ende kostet $O(n)$)

$O(n)$

$O(1)$

$O(m) = O(n)$

$O(n-m) = O(n)$

$O(n)$

$O(1)$

$O(n)$

Zusammenfassung:

CONVEX_HULL(S)

1) Sortiere S lexik.

2) a \leftarrow min \wedge b \leftarrow max

3) S₁ \leftarrow {p \in S: b, a, p Rightturn} \cup {a, b}

4) S₂ \leftarrow {p \in S: b, a, p Leftturn} \cup {a, b}

5) UPPER_HULL(S₁)

6) LOWER_HULL(S₂)

7) " Zusammenkleben

Zeit:

$O(n \log n)$

$O(1)$

$O(n)$

$O(n)$

$O(n)$

$O(n)$

$O(1)$

$O(n)$

1.3.6. Satz: Sei S Menge von n Pkten im \mathbb{R}^2

- a) CH(S) kann in Zeit $O(n \log n)$ berechnet werden (worst case)
- b. Falls S lexik. nach xy-Koord. sortiert ist, dann kann CH(S) in Zeit $O(n)$ berechnet werden.

Bew. siehe oben.

1.3.7. Bemerkung:

- 1) Alg. optimal, da CH-Problem (i.a.) genauso schwierig ist wie sortieren.
Bew. Übung.
- 2). obere bzw. untere Hülle sind auch für sich alleine wichtig (für bestimmte Probleme)
- 3). Optimalität gilt für worst case; es gibt Situationen, in denen Alg. I. besser ist (wenn #Ecken von CH(S) $< \log n$).

1.3.8. Varianten von Graham's Scan:

- a) siehe Übung
- b). untere u. obere Hülle gleichzeitig berechnen
- c). Berechnung der gesamten Hülle in einer Phase.

Idee: 1. sortiere $S = p_1 \dots p_n$.
 2. Allgemeiner Schritt:

Bearbeite $p_i, i = 4 \dots n$.
 Situation: $C_{i-1} := CH(\{p_1 \dots p_{i-1}\})$ ist berechnet.
 p_{i-1} ist maximal in $\{p_1 \dots p_{i-1}\}$
 $\Rightarrow p_{i-1}$ ist die rechteste Ecke von C_{i-1} .
 $\Rightarrow \overline{p_{i-1} p_i} \cap C_{i-1} = \{p_{i-1}\}$.

Der eigentliche Schritt:

Berechne Berührungspkte t und b der beiden Tangenten von p_i an C_{i-1} .

Genauer: $t \leftarrow p_{i-1}$ dh. orientation($p_i, t, succ(t)$) ≤ 0
 while ($p_i, t, succ(t)$) nicht rightturn do
 $t \leftarrow succ(t)$
 od
 $b \leftarrow p_{i-1}$ dh. orientation($p_i, b, pred(b)$) ≥ 0
 while ($p_i, b, pred(b)$) nicht rightturn do
 $b \leftarrow pred(b)$
 od

Bem.: hier ähnliche Argumentation:
 die # unterwegs besuchten Pkte kann in $\Omega(n)$ liegen,
 aber jeder von ihnen wird anschließend aus
 der konvexen Hülle entfernt und kann danach
 nie wieder als Eckpt in Erscheinung treten
 Also wird er auch nie wieder besucht
 \Rightarrow Es kann insgesamt höchstens n Besuche geben
 $\Rightarrow O(n \log n)$ Laufzeit

Nachdem wir nun b und t berechnet haben:
 • Entferne alle Pkte zwischen b und t
 • Füge p_i nach C_i ein.

Weitere Implementierungsdetails und Laufzeitanalyse siehe 3. Übung.
 Bsp. zu c) siehe Lemoralner.

1.4. Algorithmus III: Divide & Conquer

Triangulierung schauen

1.4.1. Spezialfall: Konvexe Hülle von zwei konvexen Polygonen P und Q.

$P = p_1 \dots p_m, Q = q_1 \dots q_n$, Ecken gg. Uhrzeigersinn sortiert.

Aufgabe: Berechne $CH(P \cup Q)$

Triviale Lsg: Graham's Scan auf die Menge aller Ecken. $O(n \log n)$

Bessere Lsg: Ausnutzen der Polygonstruktur. $O(n)$

- 1) Finde Sortierung aller Ecken in Zeit $O(n)$
- 2) Berechne die Hülle in Zeit $O(n)$ (siehe S.1.3.6. 8).

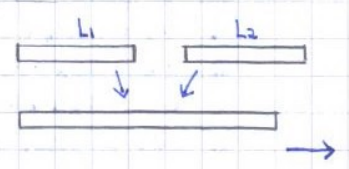
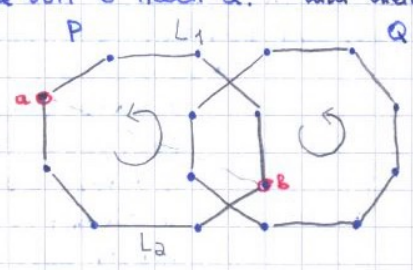
zu 1): Betrachte P:

1) Finde extreme Ecken a und b in Zeit $O(m)$

L_2 := untere Polygonzug
 starte bei a und Laufe gg. Uhrzeigersinn über P bis b erreicht ist.

L_1 := obere Polygonzug

Laufe von b nach a. und drehe um.



(ii) Mische L_1 und L_2 zu einer sortierten Gesamtliste L_p zusammen in Zeit $O(m)$ (\rightarrow siehe Mergesort)

Analog: Sortiere Folge L_2 der Ecken von Q in Zeit $O(p)$.

(iii) Mische L_p und L_2 in Zeit $O(m+p) = O(n)$ (wobei $n := m+p$) zu einer sortierten Gesamtfolge zusammen.

\rightarrow dann Graham's Scan.

1.4.2 Allgemein: Sei $S \subset \mathbb{R}^2$, $|S|=n$.

CONVEX_HULL(S).

if $|S|=1$ then

output S

else

teile S in zwei möglichst gleich große Teile S_1 und S_2 } DEVIDE

(z.B. $|S_1| = \lceil |S|/2 \rceil$ und $|S_2| = \lfloor |S|/2 \rfloor$)

$P \leftarrow \text{CONVEX_HULL}(S_1)$

$Q \leftarrow \text{CONVEX_HULL}(S_2)$

berechne $\text{CH}(P \cup Q)$ wie in letzter Vorlesung gezeigt } MISCHSCHRITT

fi.

\uparrow
hier wird die eigentliche
Rechnung durchgeführt.

1.4.3 Laufzeit:

Teilen: $O(n)$

Mischen: $O(n)$

Merge auf Listen

Graham's Scan (ohne Sortieren).

$$\Rightarrow T(n) = \begin{cases} c_0, & n=1 \\ c_1 \cdot n + 2 \cdot T(n/2), & n>1 \end{cases}$$

Das ist also dieselbe Rekursion wie für Mergesort (aber mit anderen Konstanten natürlich).

\Rightarrow Gesamtlaufzeit des Verfahrens ist $O(n \log n)$ (siehe Analyse von Mergesort).

1.5 Eine Anwendung vom CONVEX HULL

1.5.1 Problem: Geg. sind n Halbebenen $H_1 \dots H_n$ von \mathbb{R}^2

Berechne $P = \bigcap_{i=1}^n H_i$

1.5.2 Def: Eine abgeschlossene Halbebene = $\{ \text{alle Pkte auf gleicher Seite einer Geraden } k \} \cup k$.

1.5.3 Ann: Schnitt P ist konvexes (möglicherweise unbeschränktes) Polygon, da der Schnitt konvexer Mengen wieder konvex ist.

1.5.4 Ziel und Lösungsansatz:

Ziel: Berechne die Folge der Ecken von P gg. den Uhrzeigersinn.

Lösung: Zurückführung auf konvexe Hülle einer geeigneten Pktmenge.

Dazu transformieren wir die definierenden Geraden in "duale" Pkte.

1.5.5 Definition: (Geometr. Transformation)

a. Sei $L = \{ y : y = ax + b, x \text{ bel.}, a, b \text{ fest} \}$ eine nicht vertikale Gerade.
Geradengleichung von L .

Der Punkt $D(L) := (a, b)$ heißt der duale Punkt zu L .

b. Sei $p = (a, b) \in \mathbb{R}^2$ ein Pkt. Die Gerade $D(p) = \{ y : y = -ax + b, x \text{ beliebig} \}$ heißt die duale Gerade zu p .

Abbildung D erlaubt die relative Lage von Objekten.

1.5.5 Lemma: Pkt p liegt auf (oberhalb / unterhalb) einer Geraden L

\Leftrightarrow Gerade $D(p)$ liegt auf (oberhalb / unterhalb) Pkt $D(L)$.

Beweis: Sei $p = (p_x, p_y)$, $L = \{ y \in \mathbb{R} : y = ax + b, x \in \mathbb{R} \}$ (a, b fest).

$\Rightarrow D(L) = (a, b)$ und $D(p) = \{ y : y = -p_x x + p_y, x \in \mathbb{R} \}$

• sei p gelegen auf L

$\Leftrightarrow p_y = a \cdot p_x + b$

$\Leftrightarrow -b = ap_x - p_y$

$\Leftrightarrow b = -ap_x + p_y$

$\Leftrightarrow D(p)$ liegt auf $D(L)$.

• sei p gelegen oberhalb L

$\Leftrightarrow ax + b < p_y \quad \forall x \in \mathbb{R}$

Bzw. sogar $ap_x + b < p_y$.

$\Leftrightarrow -ap_x - b > -p_y$

$\Leftrightarrow -ap_x + p_y > b$

$\Leftrightarrow D(p)$ liegt oberhalb $D(L)$.

(unterhalb analog).

1.3.6. Satz: Sei S Menge von n Pkten im \mathbb{R}^2

- a) CH(S) kann in Zeit $O(n \log n)$ berechnet werden (worst case)
- b. Falls S lexik. nach xy-Koord. sortiert ist, dann kann CH(S) in Zeit $O(n)$ berechnet werden.

Bew. siehe oben.

1.3.7. Bemerkung:

- 1) Alg. optimal, da CH-Problem (i.a.) genauso schwierig ist wie sortieren.
Bew. Übung.
- 2). obere bzw. untere Hülle sind auch für sich alleine wichtig (für bestimmte Probleme)
- 3). Optimalität gilt für worst case; es gibt Situationen, in denen Alg. I. besser ist (wenn #Ecken von CH(S) $< \log n$).

1.3.8. Varianten von Graham's Scan:

- a) siehe Übung
- b). untere u. obere Hülle gleichzeitig berechnen
- c). Berechnung der gesamten Hülle in einer Phase.

Idee: 1. sortiere $S = p_1 \dots p_n$.
 2. Allgemeiner Schritt:

Bearbeite $p_i, i = 4 \dots n$.
 Situation: $C_{i-1} := CH(\{p_1 \dots p_{i-1}\})$ ist berechnet.
 p_{i-1} ist maximal in $\{p_1 \dots p_{i-1}\}$
 $\Rightarrow p_{i-1}$ ist die rechteste Ecke von C_{i-1} .
 $\Rightarrow \overline{p_{i-1} p_i} \cap C_{i-1} = \{p_{i-1}\}$.

Der eigentliche Schritt:

Berechne Berührungspkte t und b der beiden Tangenten von p_i an C_{i-1} .

Genauer: $t \leftarrow p_{i-1}$ dk. orientation($p_i, t, succ(t)$) ≤ 0
 while ($p_i, t, succ(t)$) nicht rightturn do
 $t \leftarrow succ(t)$
 od
 $b \leftarrow p_{i-1}$ dk. orientation($p_i, b, pred(b)$) ≥ 0
 while ($p_i, b, pred(b)$) nicht rightturn do
 $b \leftarrow pred(b)$
 od

Bem.: hier ähnliche Argumentation:
 die # unterwegs besuchten Pkte kann in $\Omega(n)$ liegen,
 aber jeder von ihnen wird anschließend aus
 der konvexen Hülle entfernt und kann danach
 nie wieder als Eckpt in Erscheinung treten
 Also wird er auch nie wieder besucht
 \Rightarrow Es kann insgesamt höchstens n Besuche geben
 $\Rightarrow O(n \log n)$ Laufzeit

Nachdem wir nun b und t berechnet haben:
 • Entferne alle Pkte zwischen b und t
 • Füge p_i nach C_i ein.

Weitere Implementierungsdetails und Laufzeitanalyse siehe 3. Übung.
 Bsp. zu c) siehe Lemorden.

1.4. Algorithmus III: Divide & Conquer

Triangulierung schauen

1.4.1. Spezialfall: Konvexe Hülle von zwei konvexen Polygonen P und Q.

$P = p_1 \dots p_m, Q = q_1 \dots q_r$, Ecken gg. Uhrzeigersinn sortiert.

Aufgabe: Berechne $CH(P \cup Q)$

Triviale Lsg: Graham's Scan auf die Menge aller Ecken. $O(n \log n)$

Bessere Lsg: Ausnutzen der Polygonstruktur. $O(n)$

- 1) Finde Sortierung aller Ecken in Zeit $O(n)$
- 2) Berechne die Hülle in Zeit $O(n)$ (siehe S.1.3.6. 8).

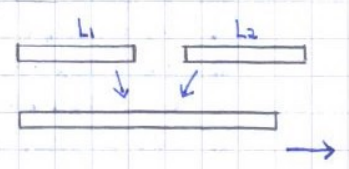
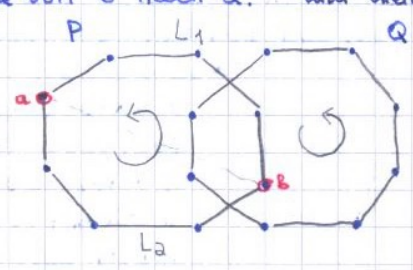
zu 1): Betrachte P:

1) Finde extreme Ecken a und b in Zeit $O(m)$

L_2 := untere Polygonzug
 starte bei a und laufe gg. Uhrzeigersinn über P bis b erreicht ist.

L_1 := obere Polygonzug

laufe von b nach a. und drehe um.



(ii) Mische L_1 und L_2 zu einer sortierten Gesamtliste L_p zusammen in Zeit $O(m)$ (\rightarrow siehe Mergesort)

Analog: Sortiere Folge L_2 der Ecken von Q in Zeit $O(p)$.

(iii) Mische L_p und L_2 in Zeit $O(m+p) = O(n)$ (wobei $n := m+p$) zu einer sortierten Gesamtfolge zusammen.

\rightarrow dann Graham's Scan.

1.4.2 Allgemein: Sei $S \subset \mathbb{R}^2$, $|S|=n$.

CONVEX_HULL(S).

if $|S|=1$ then

output S

else

teile S in zwei möglichst gleich große Teile S_1 und S_2 } DEVIDE

(z.B. $|S_1| = \lceil |S|/2 \rceil$ und $|S_2| = \lfloor |S|/2 \rfloor$)

$P \leftarrow \text{CONVEX_HULL}(S_1)$

$Q \leftarrow \text{CONVEX_HULL}(S_2)$

berechne $\text{CH}(P \cup Q)$ wie in letzter Vorlesung gezeigt } MISCHSCHRITT

fi.

\uparrow
hier wird die eigentliche
Rechnung durchgeführt.

1.4.3 Laufzeit:

Teilen: $O(n)$

Mischen: $O(n)$

Merge auf Listen

Graham's Scan (ohne Sortieren).

$$\Rightarrow T(n) = \begin{cases} c_0, & n=1 \\ c_1 \cdot n + 2 \cdot T(n/2), & n>1 \end{cases}$$

Das ist also dieselbe Rekursion wie für Mergesort (aber mit anderen Konstanten natürlich).

\Rightarrow Gesamtlaufzeit des Verfahrens ist $O(n \log n)$ (siehe Analyse von Mergesort).

1.5 Eine Anwendung vom CONVEX HULL

1.5.1 Problem: Geg. sind n Halbebenen $H_1 \dots H_n$ von \mathbb{R}^2

Berechne $P = \bigcap_{i=1}^n H_i$

1.5.2 Def: Eine abgeschlossene Halbebene = $\{ \text{alle Pkte auf gleicher Seite einer Geraden } k \} \cup k$.

1.5.3 Ann: Schnitt P ist konvexes (möglicherweise unbeschränktes) Polygon, da der Schnitt konvexer Mengen wieder konvex ist.

1.5.4 Ziel und Lösungsansatz:

Ziel: Berechne die Folge der Ecken von P gg. den Uhrzeigersinn.

Lösung: Zurückführung auf konvexe Hülle einer geeigneten Pktmenge.

Dazu transformieren wir die definierenden Geraden in "duale" Pkte.

1.5.5 Definition: (Geometr. Transformation)

a. Sei $L = \{ y : y = ax + b, x \text{ bel.}, a, b \text{ fest} \}$ eine nicht vertikale Gerade.
Geradengleichung von L .

Der Punkt $D(L) := (a, b)$ heißt der duale Punkt zu L .

b. Sei $p = (a, b) \in \mathbb{R}^2$ ein Pkt. Die Gerade $D(p) = \{ y : y = -ax + b, x \text{ beliebig} \}$ heißt die duale Gerade zu p .

Abbildung D erlaubt die relative Lage von Objekten.

1.5.5 Lemma: Pkt p liegt auf (oberhalb / unterhalb) einer Geraden L

\Leftrightarrow Gerade $D(p)$ liegt auf (oberhalb / unterhalb) Pkt $D(L)$.

Beweis: Sei $p = (p_x, p_y)$, $L = \{ y \in \mathbb{R} : y = ax + b, x \in \mathbb{R} \}$ (a, b fest).

$\Rightarrow D(L) = (a, b)$ und $D(p) = \{ y : y = -p_x x + p_y, x \in \mathbb{R} \}$

• sei p gelegen auf L

$$\Leftrightarrow p_y = a \cdot p_x + b$$

$$\Leftrightarrow -b = ap_x - p_y$$

$$\Leftrightarrow b = -p_x a + p_y$$

$$\Leftrightarrow D(p) \text{ liegt auf } D(L).$$

• sei p gelegen oberhalb L

$$\Leftrightarrow ax + b < p_y \quad \forall x \in \mathbb{R}$$

Bzw. sogar $ap_x + b < p_y$.

$$\Leftrightarrow -ap_x - b > -p_y$$

$$\Leftrightarrow -ap_x + p_y > b$$

$$\Leftrightarrow D(p) \text{ liegt oberhalb } D(L).$$

(unterhalb analog).

1.5.7 Folgerung: Wenn $p = \sum \lambda_i p_i \rightarrow D(p_1), D(p_2) \in D(p)$.

Bew. siehe Korollarier.

↑
eigentlich " \Leftrightarrow "

1.5.8. Betrachte folgendes Problem:

Seien P_1, \dots, P_n n nicht vertikale Geraden im \mathbb{R}^2 .

$P_i^+ :=$ Halbraum oberhalb von P_i ($i \in \{1, \dots, n\}$)

$P_i^- :=$ Halbraum unterhalb von P_i ($i \in \{1, \dots, n\}$).

Sei weiter $m \leq n$.

Nun berechne: $S := P_1^+ \cap \dots \cap P_m^+ \cap P_{m+1}^- \cap \dots \cap P_n^-$.

→ 1.5.8.1 Beobachtung: Unser ursprüngliches Problem kann in dieser Weise formuliert werden.

Sei $S^+ := \bigcap_{i=1}^m P_i^+$ und $S^- := \bigcap_{j=m+1}^n P_j^-$

$\Rightarrow S = S^+ \cap S^-$

Wir berechnen S^+ und S^- getrennt.

Zunächst S^+ (S^- analog):

S^+ ist ein nach oben unbeschränktes konvexes Polygon.

→ 1.5.8.2 Def: Eine Gerade P_i , $1 \leq i \leq m$ heißt redundant, falls sie nicht zum Rand von S^+ beiträgt, d.h. es gibt keine Kante von S^+ auf P_i .

Beobachtung: Redundante Geraden können ignoriert werden.

Frage: Wie findet man sie? → Dualität.

→ 1.5.8.3 Lemma: P_i ist redundant ($i \in \{1, \dots, m\}$)

$\Leftrightarrow P_i \cap D(p_i)$ ist keine Ecke der oberen konvexen Hülle von $\{D(p_1), \dots, D(p_m)\}$.

Beweis:

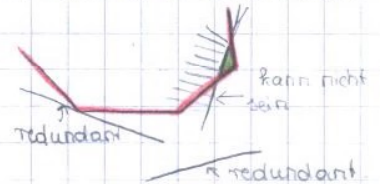
Vorbemerkung:

Sei P_i redundant

$\Rightarrow S^+ \cap P_i = \emptyset$ oder Ecke von S^+

Sei v die Ecke von S^+ , die P_i am nächsten liegt.

Bea: Zwei ecken kann es im Schnitt nicht geben, denn:



Beobachtung:

1) \exists zwei nicht redundante Geraden P_j und P_k mit $v = P_j \cap P_k$.

Skizze:

2) Steigung von P_i liegt zw. Steigungen von P_j und P_k , da sonst entweder P_i nicht redundant oder eine andere Ecke als v näher zu P_i liegt.

3) $P_i \cap D(p_i)$ liegt auf oder unterhalb der Geraden $D(v)$

Bea: v ist auf oder oberhalb P_i

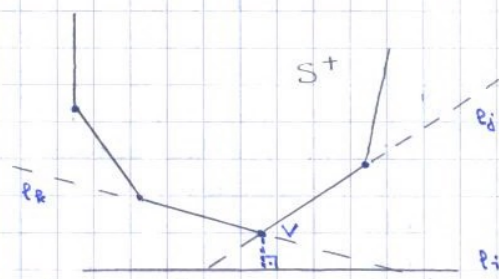
$\Leftrightarrow D(v)$ auf oder oberhalb $D(p_i)$

$\Leftrightarrow D(p_i)$ auf oder unterhalb $D(p_i)$

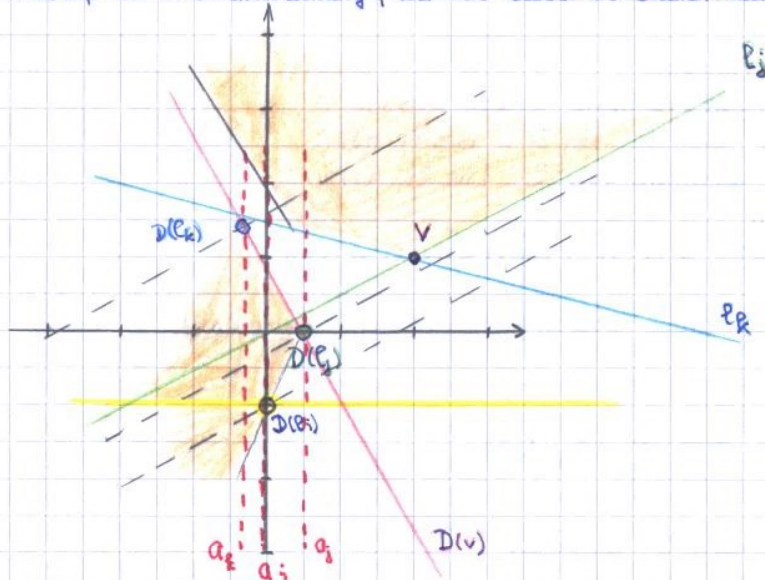
4) $D(p_j)$ und $D(p_k)$ liegen auf der Geraden $D(v)$

Bea: v liegt auf P_j und P_k

$\Leftrightarrow D(v)$ liegt auf $D(p_j)$ und $D(p_k)$

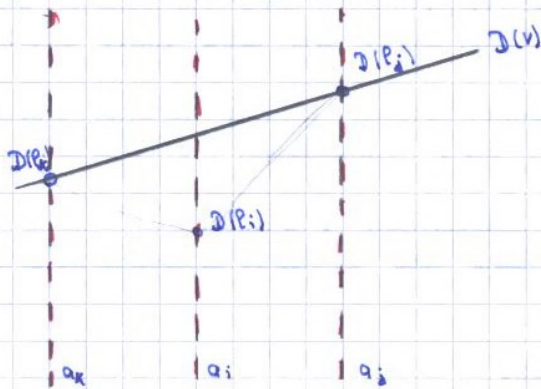


Kleines Bsp zur Veranschaulichung, wie das Ganze im Dualen aussieht:



$$\begin{aligned}
 P_j &= \{y : y = \frac{1}{2}x\} \\
 &\Rightarrow D(P_j) = (\frac{1}{2}, 0) \\
 P_k &= \{y : y = -\frac{1}{4}x + \frac{3}{2}\} \\
 &\Rightarrow D(P_k) = (-\frac{1}{4}, \frac{3}{2}) \\
 v &= (2, 1) \\
 &\Rightarrow D(v) = \{y : y = -2x + 1\} \\
 P_i &= \{y : y = -1\} \\
 &\Rightarrow D(P_i) = (0, -1)
 \end{aligned}$$

D.h. also: Situation im Dualen:



Der eigentliche Beweis:

" \Rightarrow " sei P_i redundant

z.z. $D(P_i)$ ist keine Ecke der oberen CH $\{D(P_1) \dots D(P_m)\}$

Setze: $D(P_i) = (a_i, b_i)$

$D(P_j) = (a_j, b_j)$

$D(P_k) = (a_k, b_k)$

dh. a_i, a_j und a_k sind Steigungen von P_i, P_j und P_k

Beob. 2) $\Rightarrow a_k \leq a_i \leq a_j \Rightarrow D(P_j)$ ist weiter rechts als $D(P_i) \Rightarrow D(P_i)$ kann nicht mehr die rechteste Ecke der ober. Hülle sein!

Beob. 3) $\Rightarrow D(P_i)$ liegt auf oder unterhalb $D(v)$

$D(P_k)$ ist weiter links $\Rightarrow D(P_i)$ nicht die linkeste Ecke

$\rightarrow D(P_i)$ auf oder unterhalb $D(v) \Rightarrow D(P_i)$ ist nicht Ecke der oberen Hülle.

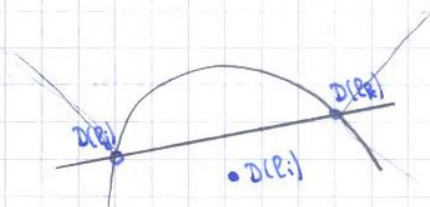
" \Leftarrow " (rückwärts lesen von " \Rightarrow ")

Sei $D(P_i)$ nicht Ecke der oberen Hülle.

z.z. P_i redundant

$D(P_i)$ nicht Ecke der oberen Hülle $\Rightarrow \exists D(P_j)$ und $D(P_k)$ so, dass

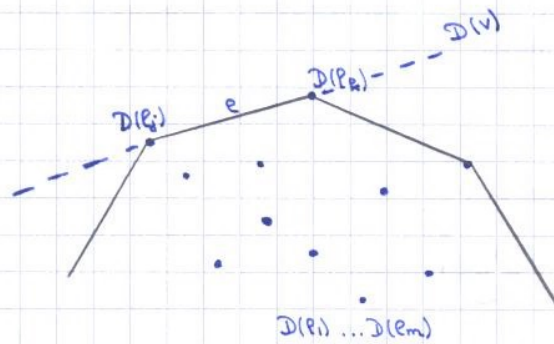
$D(P_i)$ auf oder unterhalb der Geraden durch $D(P_j)$ und $D(P_k)$ liegt.



→ 1.5.8.4. Lemma: $v \in \mathbb{R}^2$ ist Ecke von S^+

⇔ Die Gerade $D(v)$ enthält eine Kante der oberen Hülle von $\{D(p_1) \dots D(p_m)\}$.

11



Beweis:

⇐: $D(v)$ enthält eine Kante e der oberen Hülle von $\{D(p_1) \dots D(p_m)\}$.

z.z. v ist Ecke von S^+

Sei $e = (D(p_j), D(p_k))$

Dualität: $v \in p_j \cap p_k$

obere Hülle ⇒ alle Punkte $D(p_i)$, $i \in \{1, \dots, m\}$ liegen unterhalb oder auf $D(v)$

Dualität ⇒ Gerade p_i ($1 \leq i \leq m$) liegt unterhalb oder auf v
d.h. v liegt über oder auf p_i .

⇒ $v \in S^+$

$v =$ Schnittpunkt zweier Geraden ⇒ v ist Ecke von S^+

(Bea: p_j und p_k sind nicht redundant

denn wenn sie es wären ⇒ $D(p_j)$ und $D(p_k)$ wären nicht Ecken von $CH(D(p_1) \dots D(p_m))$ nach 1.5.8.3 ⇒ z)

⇒ v ist Ecke von S^+

⇒ $v = p_j \cap p_k$

1.5.7 ⇒ $D(p_j), D(p_k) \in D(v)$

⇒ $D(v)$ enthält also die Kante $e := (D(p_j), D(p_k))$ } CH

bleibt z.z.: diese Kante ist die Kante der konvexen Hülle.

Es gilt: $v \in S^+$

⇒ v liegt über oder auf p_i $\forall i \in \{1, \dots, m\}$

⇒ $D(p_i)$ liegt unter oder auf $D(v)$ $\forall i \in \{1, \dots, m\}$

⇒ $D(v)$ enthält eine Kante der oberen Hülle oder $D(v)$ ist redundant

Wegen (*) kann $D(v)$ nicht redundant sein

⇒ $D(v)$ enthält eine Kante der oberen Hülle.

Dieses Lemma liefert einen Algorithmus zur Berechnung von $S^+ = \bigcap_{i=1}^m p_i^+$

→ 1.5.8.5. Algorithmus:

1. Berechne die dualen Punkte $p_i = D(p_i)$, $i = 1, \dots, m$ $O(m)$

2. Berechne die obere konvexe Hülle H von $\{p_1, \dots, p_m\}$ $O(m \log m)$

Seien e_1, \dots, e_r die Kanten von H von links nach rechts

3. Berechne die Folge der Geraden L_1, \dots, L_r so, dass $e_i \subset L_i$ $O(m)$

4. Ausgabe:

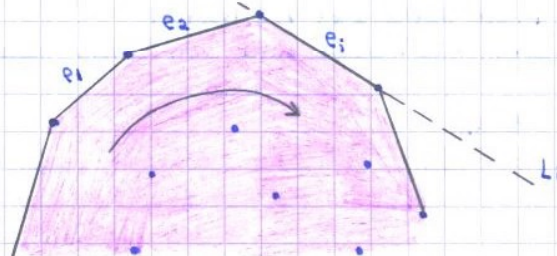
$D^{-1}(L_1) \dots D^{-1}(L_r)$ (= Eckenfolge von S^+)

$O(m)$

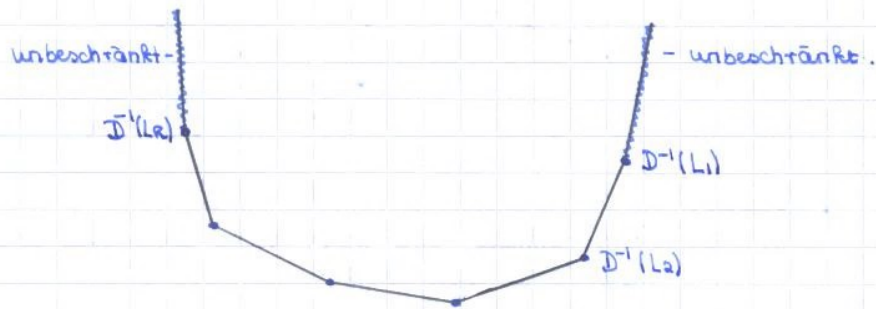
Achtung: $D^{-1} \neq D$.

$L_i: y = ax + b$

⇒ $D^{-1}(L_i) = (-a, b)$



- e_1, \dots, e_k Kanten von H von links nach rechts.
- $\Rightarrow L_1, \dots, L_k$ nach Steigungen absteigend sortiert. (siehe Skizze \Rightarrow klar!)
- \Rightarrow Ecken von S^+ sind nach x -Koordinaten absteigend sortiert, dh. von rechts nach links.



Frage: Wie finden wir die beiden unbeschränkten Kanten?
 Antwort: Linke Gerade mit minimaler Steigung.
 Rechte Gerade mit maximaler Steigung.

1.5.8.6. Zwischenresultat:

$S^+ = \bigcap_{i=1}^n P_i^+$ kann in Zeit $O(m \log m)$ berechnet werden.

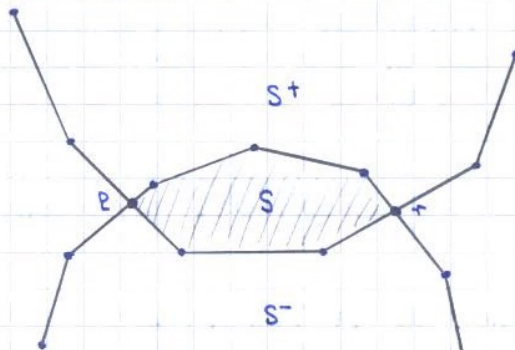
$O(m) + O(m \log m)$
 $D, D^{-1} \dots$ Graham's Scan.

Falls P_1, \dots, P_m nach Steigung sortiert gegeben sind, dann Laufzeit $O(m)$ (\leadsto Graham's Scan)

$S^- = \bigcap_{i=m+1}^n P_i^-$ kann genauso (symmetrisch) berechnet werden.

Es bleibt noch $S = S^+ \cap S^-$ auszurechnen.

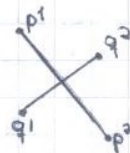
1.5.8.7. Berechne S.



Finde Schnittpkte p und r der Ränder von S^+ und S^-

Achtung: Sonderfälle:

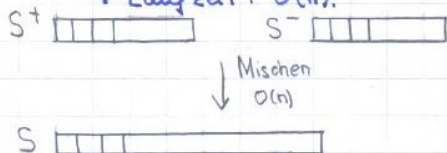
- ex. nicht ($S = \emptyset$)
- $p = r$ ($S = \{p\} = \{r\}$)
- p, r Ecken von S^+, S^-



Allgemein: Innere Schnittpkte von Kanten

Voraussetzung: Die Ränder sind von links nach rechts sortiert.

\Rightarrow Laufzeit: $O(n)$.



und gleichzeitig jeweils das P_i , welches eingefügt wird, in S^+ und S^- schreiben und vergleichen.
 Sobald Änderung \Rightarrow Kante gefunden. \Rightarrow Schnittpkt. berechnen
 \Rightarrow Gesamtlaufzeit: $O(n)$.

(ii) Mische L_1 und L_2 zu einer sortierten Gesamtliste L_p zusammen in Zeit $O(m)$ (\rightarrow siehe Mergesort)

Analog: Sortiere Folge L_2 der Ecken von Q in Zeit $O(p)$.

(iii) Mische L_p und L_2 in Zeit $O(m+p) = O(n)$ (wobei $n := m+p$) zu einer sortierten Gesamtfolge zusammen.

\rightarrow dann Graham's Scan.

1.4.2 Allgemein: Sei $S \subset \mathbb{R}^2$, $|S|=n$.

CONVEX_HULL(S).

if $|S|=1$ then

output S

else

teile S in zwei möglichst gleich große Teile S_1 und S_2 } DEVIDE

(z.B. $|S_1| = \lceil |S|/2 \rceil$ und $|S_2| = \lfloor |S|/2 \rfloor$)

$P \leftarrow \text{CONVEX_HULL}(S_1)$

$Q \leftarrow \text{CONVEX_HULL}(S_2)$

berechne $\text{CH}(P \cup Q)$ wie in letzter Vorlesung gezeigt } MISCHSCHRITT

fi.

\uparrow
hier wird die eigentliche Rechnung durchgeführt.

1.4.3 Laufzeit:

Teilen: $O(n)$

Mischen: $O(n)$

Merge auf Listen

Graham's Scan (ohne Sortieren).

$$\Rightarrow T(n) = \begin{cases} c_0, & n=1 \\ c_1 \cdot n + 2 \cdot T(n/2), & n>1 \end{cases}$$

Das ist also dieselbe Rekursion wie für Mergesort (aber mit anderen Konstanten natürlich).

\Rightarrow Gesamtlaufzeit des Verfahrens ist $O(n \log n)$ (siehe Analyse von Mergesort).

1.5 Eine Anwendung vom CONVEX HULL

1.5.1 Problem: Geg. sind n Halbebenen $H_1 \dots H_n$ von \mathbb{R}^2

Berechne $P = \bigcap_{i=1}^n H_i$

1.5.2 Def: Eine abgeschlossene Halbebene = $\{ \text{alle Pkte auf gleicher Seite einer Geraden } k \} \cup k$.

1.5.3 Ann: Schnitt P ist konvexes (möglicherweise unbeschränktes) Polygon, da der Schnitt konvexer Mengen wieder konvex ist.

1.5.4 Ziel und Lösungsansatz:

Ziel: Berechne die Folge der Ecken von P gg. den Uhrzeigersinn.

Lösung: Zurückführung auf konvexe Hülle einer geeigneten Pktmenge.

Dazu transformieren wir die definierenden Geraden in "duale" Pkte.

1.5.5 Definition: (Geometr. Transformation)

a. Sei $L = \{ y : y = ax + b, x \text{ bel.}, a, b \text{ fest} \}$ eine nicht vertikale Gerade.
Geradengleichung von L .

Der Punkt $D(L) := (a, b)$ heißt der duale Punkt zu L .

b. Sei $p = (a, b) \in \mathbb{R}^2$ ein Pkt. Die Gerade $D(p) = \{ y : y = -ax + b, x \text{ beliebig} \}$ heißt die duale Gerade zu p .

Abbildung D erlaubt die relative Lage von Objekten.

1.5.5 Lemma: Pkt p liegt auf (oberhalb / unterhalb) einer Geraden L

\Leftrightarrow Gerade $D(p)$ liegt auf (oberhalb / unterhalb) Pkt $D(L)$.

Beweis: Sei $p = (p_x, p_y)$, $L = \{ y \in \mathbb{R} : y = ax + b, x \in \mathbb{R} \}$ (a, b fest).

$\Rightarrow D(L) = (a, b)$ und $D(p) = \{ y : y = -p_x x + p_y, x \in \mathbb{R} \}$

• sei p gelegen auf L

$\Leftrightarrow p_y = a \cdot p_x + b$

$\Leftrightarrow -b = ap_x - p_y$

$\Leftrightarrow b = -p_x a + p_y$

$\Leftrightarrow D(p)$ liegt auf $D(L)$.

• sei p gelegen oberhalb L

$\Leftrightarrow ax + b < p_y \quad \forall x \in \mathbb{R}$

Bzw. sogar $ap_x + b < p_y$.

$\Leftrightarrow -ap_x - b > -p_y$

$\Leftrightarrow -ap_x + p_y > b$

$\Leftrightarrow D(p)$ liegt oberhalb $D(L)$.

(unterhalb analog).

1.5.7 Folgerung: Wenn $p = \sum \lambda_i p_i \rightarrow D(p_1), D(p_2) \in D(p)$.

Bew. siehe Korollarier.

↑
eigentlich " \Leftrightarrow "

1.5.8. Betrachte folgendes Problem:

Seien P_1, \dots, P_n n nicht vertikale Geraden im \mathbb{R}^2 .

$P_i^+ :=$ Halbraum oberhalb von P_i ($i \in \{1, \dots, n\}$)

$P_i^- :=$ Halbraum unterhalb von P_i ($i \in \{1, \dots, n\}$).

Sei weiter $m \leq n$.

Nun berechne: $S := P_1^+ \cap \dots \cap P_m^+ \cap P_{m+1}^- \cap \dots \cap P_n^-$.

→ 1.5.8.1 Beobachtung: Unser ursprüngliches Problem kann in dieser Weise formuliert werden.

Sei $S^+ := \bigcap_{i=1}^m P_i^+$ und $S^- := \bigcap_{j=m+1}^n P_j^-$

$\Rightarrow S = S^+ \cap S^-$

Wir berechnen S^+ und S^- getrennt.

Zunächst S^+ (S^- analog):

S^+ ist ein nach oben unbeschränktes konvexes Polygon.

→ 1.5.8.2 Def: Eine Gerade P_i , $1 \leq i \leq m$ heißt redundant, falls sie nicht zum Rand von S^+ beiträgt, d.h. es gibt keine Kante von S^+ auf P_i .

Beobachtung: Redundante Geraden können ignoriert werden.

Frage: Wie findet man sie? → Dualität.

→ 1.5.8.3 Lemma: P_i ist redundant ($i \in \{1, \dots, m\}$)

$\Leftrightarrow P_i \cap D(p_i)$ ist keine Ecke der oberen konvexen Hülle von $\{D(p_1), \dots, D(p_m)\}$.

Beweis:

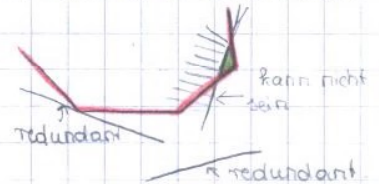
Vorbemerkung:

Sei P_i redundant

$\Rightarrow S^+ \cap P_i = \emptyset$ oder Ecke von S^+

Sei v die Ecke von S^+ , die P_i am nächsten liegt.

Bea: Zwei ecken kann es im Schnitt nicht geben, denn:



Beobachtung:

1. \exists zwei nicht redundante Geraden P_j und P_k mit $v = P_j \cap P_k$.

Skizze:

2. Steigung von P_i liegt zw. Steigungen von P_j und P_k , da sonst entweder P_i nicht redundant oder eine andere Ecke als v näher zu P_i liegt.

3. $P_i \cap D(p_i)$ liegt auf oder unterhalb der Geraden $D(v)$

Bea: v ist auf oder oberhalb P_i

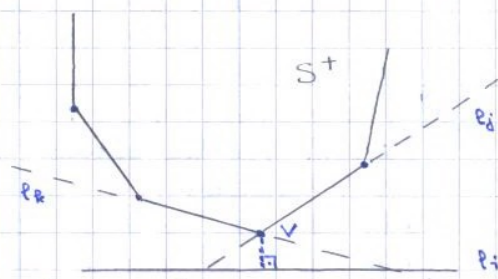
$\Leftrightarrow D(v)$ auf oder oberhalb $D(p_i)$

$\Leftrightarrow D(p_i)$ auf oder unterhalb $D(p_i)$

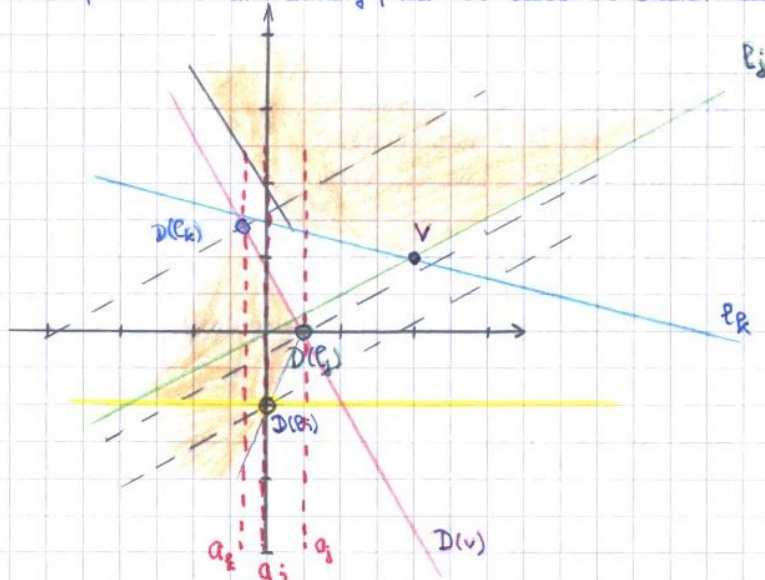
4. $D(p_j)$ und $D(p_k)$ liegen auf der Geraden $D(v)$

Bea: v liegt auf P_j und P_k

$\Leftrightarrow D(v)$ liegt auf $D(p_j)$ und $D(p_k)$



Kleines Bsp zur Veranschaulichung, wie das Ganze im Dualen aussieht:



$$P_j = \{y : y = \frac{1}{2}x\}$$

$$\Rightarrow D(P_j) = (\frac{1}{2}, 0)$$

$$P_k = \{y : y = -\frac{1}{4}x + \frac{3}{2}\}$$

$$\Rightarrow D(P_k) = (-\frac{1}{4}, \frac{3}{2})$$

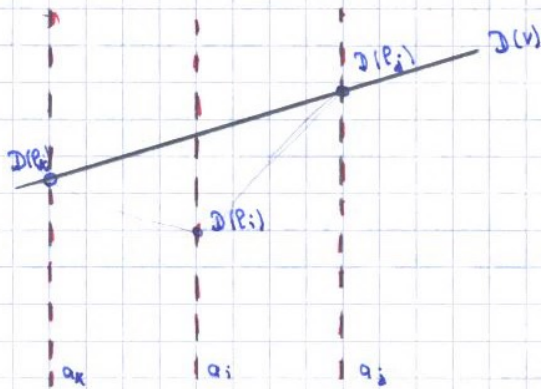
$$v = (2, 1)$$

$$\Rightarrow D(v) = \{y : y = -2x + 1\}$$

$$P_i = \{y : y = -1\}$$

$$\Rightarrow D(P_i) = (0, -1)$$

D.h. also: Situation im Dualen:



Der eigentliche Beweis:

" \Rightarrow " sei P_i redundant

z.z. $D(P_i)$ ist keine Ecke der oberen CH $\{D(P_j), \dots, D(P_k)\}$

Setze: $D(P_i) = (a_i, b_i)$

$D(P_j) = (a_j, b_j)$

$D(P_k) = (a_k, b_k)$

dh. a_i, a_j und a_k sind Steigungen von P_i, P_j und P_k

Beob. 2) $\Rightarrow a_k \leq a_i \leq a_j \Rightarrow D(P_j)$ ist weiter rechts als $D(P_i) \Rightarrow D(P_i)$ kann nicht mehr die rechte Ecke der ober. Hülle sein!

Beob. 3) $\Rightarrow D(P_i)$ liegt auf oder unterhalb $D(v)$

$D(P_k)$ ist weiter links $\Rightarrow D(P_i)$ nicht die linke Ecke

$\rightarrow D(P_i)$ auf oder unterhalb $D(v) \Rightarrow D(P_i)$ ist nicht Ecke der oberen Hülle.

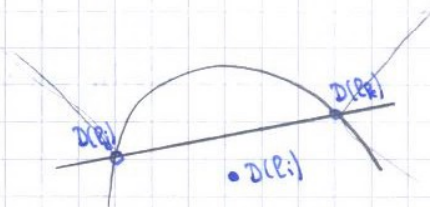
" \Leftarrow " (rückwärts lesen von " \Rightarrow ")

Sei $D(P_i)$ nicht Ecke der oberen Hülle.

z.z. P_i redundant

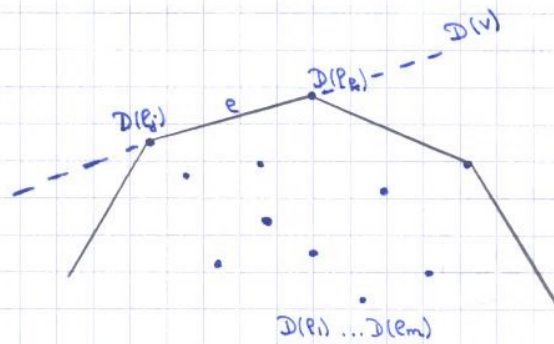
$D(P_i)$ nicht Ecke der oberen Hülle $\Rightarrow \exists D(P_j)$ und $D(P_k)$ so, dass

$D(P_i)$ auf oder unterhalb der Geraden durch $D(P_j)$ und $D(P_k)$ liegt.



→ 1.5.8.4. Lemma: $v \in \mathbb{R}^2$ ist Ecke von S^+

⇔ Die Gerade $D(v)$ enthält eine Kante der oberen Hülle von $\{D(p_1) \dots D(p_m)\}$.



Beweis:

⇐: $D(v)$ enthält eine Kante e der oberen Hülle von $\{D(p_1) \dots D(p_m)\}$.

z.z. v ist Ecke von S^+

Sei $e = (D(p_j), D(p_k))$

Dualität: $v \in p_j \cap p_k$

obere Hülle ⇒ alle Punkte $D(p_i)$, $i \in \{1 \dots m\}$ liegen unterhalb oder auf $D(v)$

Dualität ⇒ Gerade p_i ($1 \leq i \leq m$) liegt unterhalb oder auf v
d.h. v liegt über oder auf p_i .

⇒ $v \in S^+$

$v =$ Schnittpunkt zweier Geraden ⇒ v ist Ecke von S^+

(Bea: p_j und p_k sind nicht redundant

denn wenn sie es wären ⇒ $D(p_j)$ und $D(p_k)$ wären nicht Ecken von $CH(D(p_1) \dots D(p_m))$ nach 1.5.8.3 ⇒ z)

⇒ v ist Ecke von S^+

⇒ $v = p_j \cap p_k$

1.5.7 ⇒ $D(p_j), D(p_k) \in D(v)$

⇒ $D(v)$ enthält also die Kante $e := (D(p_j), D(p_k))$ } CH

bleibt z.z.: diese Kante ist die Kante der konvexen Hülle.

Es gilt: $v \in S^+$

⇒ v liegt über oder auf p_i $\forall i \in \{1 \dots m\}$

⇒ $D(p_i)$ liegt unter oder auf $D(v)$ $\forall i \in \{1 \dots m\}$

⇒ $D(v)$ enthält eine Kante der oberen Hülle oder $D(v)$ ist redundant

Wegen (*) kann $D(v)$ nicht redundant sein

⇒ $D(v)$ enthält eine Kante der oberen Hülle.

Dieses Lemma liefert einen Algorithmus zur Berechnung von $S^+ = \bigcap_{i=1}^m p_i^+$

→ 1.5.8.5. Algorithmus:

1. Berechne die dualen Punkte $p_i = D(p_i)$, $i = 1 \dots m$ $O(m)$

2. Berechne die obere konvexe Hülle H von $\{p_1 \dots p_m\}$ $O(m \log m)$

Seien $e_1 \dots e_r$ die Kanten von H von links nach rechts

3. Berechne die Folge der Geraden $L_1 \dots L_r$ so, dass $e_i \subset L_i$ $O(m)$

4. Ausgabe:

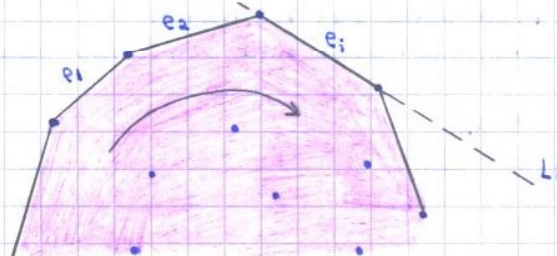
$D^{-1}(L_1) \dots D^{-1}(L_r)$ (= Eckenfolge von S^+)

$O(m)$

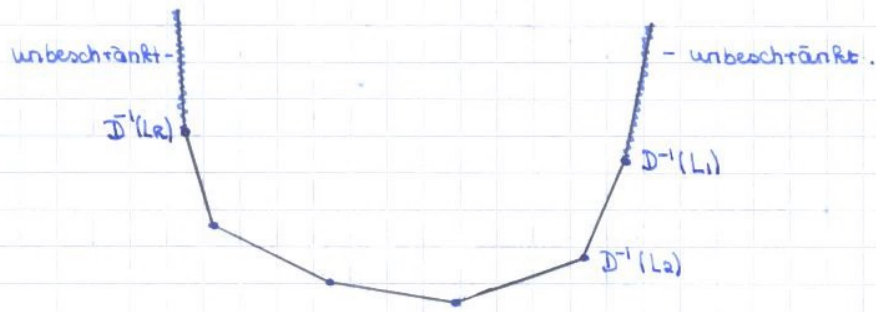
Achtung: $D^{-1} \neq D$.

$L_i: y = ax + b$

⇒ $D^{-1}(L_i) = (-a, b)$



- e_1, \dots, e_k Kanten von H von links nach rechts.
- $\Rightarrow L_1, \dots, L_k$ nach Steigungen absteigend sortiert. (siehe Skizze \Rightarrow klar!)
- \Rightarrow Ecken von S^+ sind nach x -Koordinaten absteigend sortiert, dh. von rechts nach links.



Frage: Wie finden wir die beiden unbeschränkten Kanten?
 Antwort: Linke Gerade mit minimaler Steigung.
 Rechte Gerade mit maximaler Steigung.

1.5.8.6. Zwischenresultat:

$S^+ = \bigcap_{i=1}^n P_i^+$ kann in Zeit $O(m \log m)$ berechnet werden.

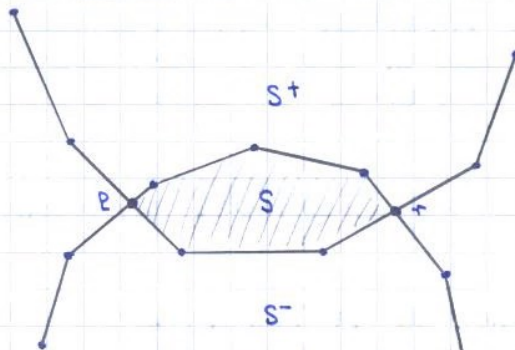
$O(m) + O(m \log m)$
 $D, D^{-1} \dots$ Graham's Scan.

Falls P_1, \dots, P_m nach Steigung sortiert gegeben sind, dann Laufzeit $O(m)$ (\leadsto Graham's Scan)

$S^- = \bigcap_{i=m+1}^n P_i^-$ kann genauso (symmetrisch) berechnet werden.

Es bleibt noch $S = S^+ \cap S^-$ auszurechnen.

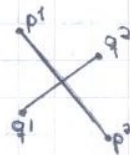
1.5.8.7. Berechne S.



Finde Schnittpunkte p und r der Ränder von S^+ und S^-

Achtung: Sonderfälle:

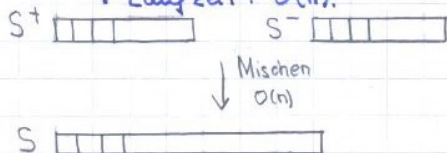
- ex. nicht ($S = \emptyset$)
- $p = r$ ($S = \{p\} = \{r\}$)
- p, r Ecken von S^+, S^-



Allgemein: Innere Schnittpunkte von Kanten

Voraussetzung: Die Ränder sind von links nach rechts sortiert.

\Rightarrow Laufzeit: $O(n)$.



und gleichzeitig jeweils das P_i , welches eingefügt wird, in S^+ und S^- schreiben und vergleichen.
 Sobald Änderung \Rightarrow Kante gefunden. \Rightarrow Schnittpkt. berechnen
 \Rightarrow Gesamtlaufzeit: $O(n)$.

1.5.9. Satz (Zusammenfassung)

- 1) Der Schnitt von n Halbebenen kann in Zeit $O(n \log n)$ berechnet werden.
- 2) Falls die affinen Geraden nach Steigung sortiert gegeben sind, dann ist die Laufzeit $O(n)$.

1.5.10 Bemerkungen:

- 1) Die geometrische Transformation der Dualität wird auch noch für andere Probleme dieser Vorlesung wichtig sein.
- 2) Der Schnitt von n Halbebenen kann auch direkt berechnet werden.
 → Divide & Conquer.

1.5.11. Schnitt von Halbebenen durch Divide and Conquer

Schnitt von zwei konvexen Polygonen.

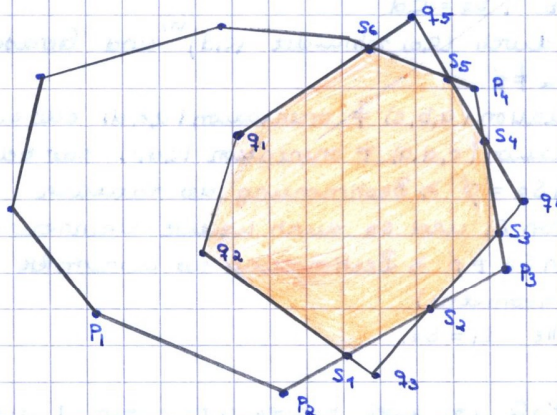
Hier abgeschlossen (offen → Übung, voriger Abschnitt)

Gegeben: Seien $P = (p_1 \dots p_m)$, $Q = (q_1 \dots q_n)$ konvexe abgeschlossene Polygone, geg. durch Eckenfolge gg. den Uhrzeigersinn.

Ausgabe: Eckenfolge von $P \cap Q$ gegen Uhrzeigersinn.

→ 1.5.11.1. Beispiel.

Mögliche Ausgabe:
 $q_1 q_2 s_1 s_2 s_3 s_4 s_5 s_6$

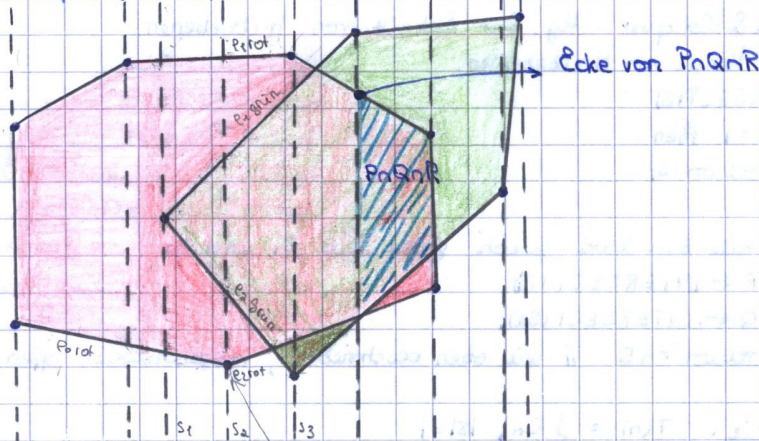


→ 1.5.11.2. Idee:

Zerlege Ebene in Regionen so, dass für jede Region R $(P \cap Q) \cap R$ einfach zu berechnen ist.

→ 1.5.11.3. Regionen: vertikale Streifen.

Zeichne durch jede Ecke von P und Q eine senkrechte Gerade.
 Jeweils zwei benachbarte Senkrechten definieren eine Region, nämlich den vertikalen Streifen dazwischen.
 Dann ist für jeden Streifen R $R \cap P$ und $R \cap Q$ ein Trapezoid, d.h. haben konstante Größe. (4-Eck).



Es gilt $P \cap Q \cap R = (P \cap R) \cap (Q \cap R)$
 wegen konst. Größe braucht Zeit $O(1)$

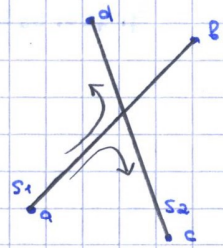
→ 1.5.11.4 Algorithmus:

1. Berechne Streifen von links nach rechts sortiert in Zeit $O(n)$, wobei $n = m + p$.
Gesamtzahl der Ecken, durch Mischen der Eckenfolgen von P und Q.
(siehe D&C für CH.)
2. Berechne für jeden Streifen R Trapezoid $P_n R$ und $Q_n R$. Das geht auch in $O(n)$, da wir Eckenfolgen (siehe 1) von links nach rechts sortiert haben.
3. Berechne für jeden Streifen R $P_n Q_n R := (P_n R) \cap (Q_n R)$
Zeit $O(l)$ pro Streifen.
4. Zusammen kleben des Teile aus 3)
insbesondere Eliminierung von Ecken, die nicht zur Ausgabe gehören.
Laufzeit: $O(n)$ (Durchlaufen der Senkrechten von links nach rechts).
→ Eckenfolge von $P \cap Q$ gg. Uhrzeigersinn.

→ 1.5.11.5 Implementierungsdetails:

Teilprobleme:

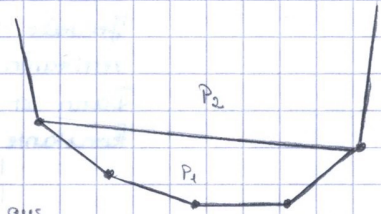
- Test ob Segmente s_1 ein anderes schneidet.
 $s_1 = \overline{a,b}$, $s_2 = \overline{c,d}$
Gerade durch (a,b) schneidet (c,d) ⁽¹⁾ und Gerade durch (c,d) schneidet (a,b) ⁽²⁾
 $\Leftrightarrow s_1 \cap s_2 \neq \emptyset$
(1) orientation $(a,b,c) \neq$ orientation (a,b,d) oder beide 0.
(2) orientation $(c,d,a) \neq$ orientation (c,d,b) oder beide 0.
- falls $s_1 \cap s_2 = \emptyset \Rightarrow$ Bestimmung der relativen Lage von s_1 und s_2 durch weitere Orientierungstests.
- falls $s_1 \cap s_2 \neq \emptyset \Rightarrow$ Bestimmung des Schnittpunktes (anal. Geometrie)
- Sonderfälle: $s_1 = s_2$.



1.5.12 Satz: Der Schnitt $P \cap Q$ von zwei konvexen Polygonen P und Q kann in Zeit $O(n)$ berechnet werden, wobei $n =$ Summe der Ecken von P und Q.
Mischschnitt

1.5.13 Fragen:

- 1) Geht das schneller, wenn alle Polygone im Voraus geg. sind, für die man evtl. Schnittoperationen ausführt.
- 2) Existiert Algorithmus, der output-sensitiv ist?
D.h. Laufzeit hängt von Größe der Ausgabe ab.
→ siehe nächster Abschnitt über konvexe Polygone.



1.5.14 Divide & Conquer - Alg für Schnitt von Halbebenen.

Sei S Menge von Halbebenen.

INTERSECT(S)

if $|S| = 1$ then
return S_1

else

teile S in zwei gleich große Teile S_1 und S_2 6 Geraden in $O(9) = O(1)$

$P \leftarrow$ INTERSECT(S_1);

$Q \leftarrow$ INTERSECT(S_2);

return $P \cap Q$ // wie oben beschrieben, möglicherweise offen \rightarrow Übung.

- Ein unbeschr. Polygon besteht aus
• einem beschr. Pol. P_1 und unbeschr. Pol. $P_2 \Rightarrow P = P_1 \cup P_2$
Berechne $P_1 \cap Q_2$ mit D&C und Mischschnitt von oben $\Rightarrow O(n \log n)$
Berechne $P_2 \cap Q_1$ und $P_2 \cap Q_2$ als Schnitt von Polygon mit drei Geraden in Zeit $3 \cdot O(n \log n) = O(n \log n)$. Anschließend berechne $P_2 \cap Q_2$ als Schnitt von
 \Rightarrow Gesamtlaufzeit: $O(n \log n)$.

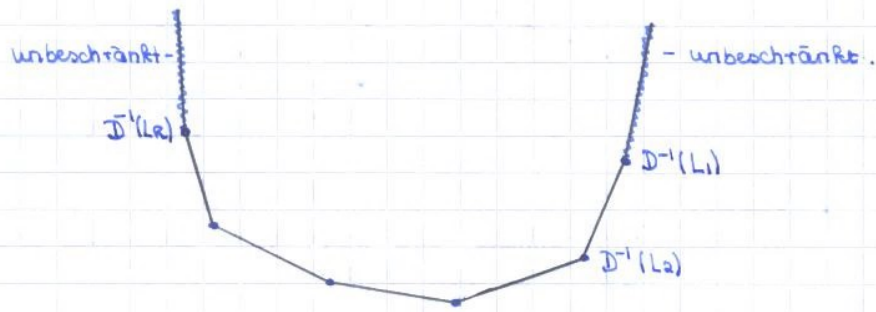
1.5.15 Laufzeit: $T(n) = \begin{cases} c_0, & |S| = 1 \\ c_1 n + 2T(n/2), & |S| > 1 \end{cases}$

$\Rightarrow T(n) = O(n \log n)$

Alternative zu Dualitätsalgorithmus

1.5.16 Frage: Welcher Algorithmus ist in welchen Fällen schneller? Wahrscheinlich Divide & Conquer

- e_1, \dots, e_k Kanten von H von links nach rechts.
- $\Rightarrow L_1, \dots, L_k$ nach Steigungen absteigend sortiert. (siehe Skizze \Rightarrow klar!)
- \Rightarrow Ecken von S^+ sind nach x -Koordinaten absteigend sortiert, dh. von rechts nach links.



Frage: Wie finden wir die beiden unbeschränkten Kanten?
 Antwort: Linke Gerade mit minimaler Steigung.
 Rechte Gerade mit maximaler Steigung.

1.5.8.6. Zwischenresultat:

$S^+ = \bigcap_{i=1}^n P_i^+$ kann in Zeit $O(m \log m)$ berechnet werden.

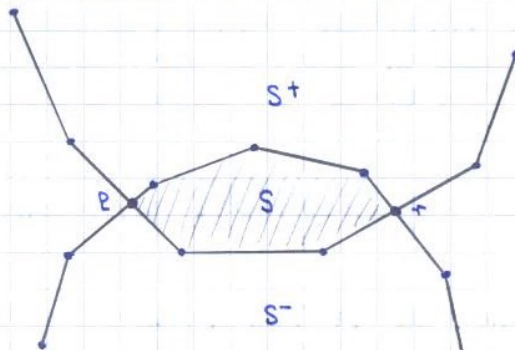
$O(m) + O(m \log m)$
 $D, D^{-1} \dots$ Graham's Scan.

Falls P_1, \dots, P_m nach Steigung sortiert gegeben sind, dann Laufzeit $O(m)$ (\leadsto Graham's Scan)

$S^- = \bigcap_{i=m+1}^n P_i^-$ kann genauso (symmetrisch) berechnet werden.

Es bleibt noch $S = S^+ \cap S^-$ auszurechnen.

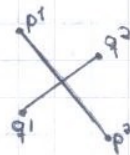
1.5.8.7. Berechne S.



Finde Schnittpkte p und r der Ränder von S^+ und S^-

Achtung: Sonderfälle:

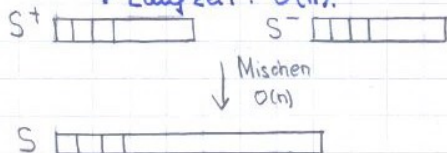
- ex. nicht ($S = \emptyset$)
- $p = r$ ($S = \{p\} = \{r\}$)
- p, r Ecken von S^+, S^-



Allgemein: Innere Schnittpkte von Kanten

Voraussetzung: Die Ränder sind von links nach rechts sortiert.

\Rightarrow Laufzeit: $O(n)$.



und gleichzeitig jeweils das P_i , welches eingefügt wird, in S^+ und S^- schreiben und vergleichen.
 Sobald Änderung \Rightarrow Kante gefunden. \Rightarrow Schnittpkt. berechnen
 \Rightarrow Gesamtlaufzeit: $O(n)$.

1.5.9. Satz (Zusammenfassung)

- 1) Der Schnitt von n Halbebenen kann in Zeit $O(n \log n)$ berechnet werden.
- 2) Falls die affinen Geraden nach Steigung sortiert gegeben sind, dann ist die Laufzeit $O(n)$.

1.5.10 Bemerkungen:

- 1) Die geometrische Transformation der Dualität wird auch noch für andere Probleme dieser Vorlesung wichtig sein.
- 2) Der Schnitt von n Halbebenen kann auch direkt berechnet werden.
 → Divide & Conquer.

1.5.11. Schnitt von Halbebenen durch Divide and Conquer

Schnitt von zwei konvexen Polygonen.

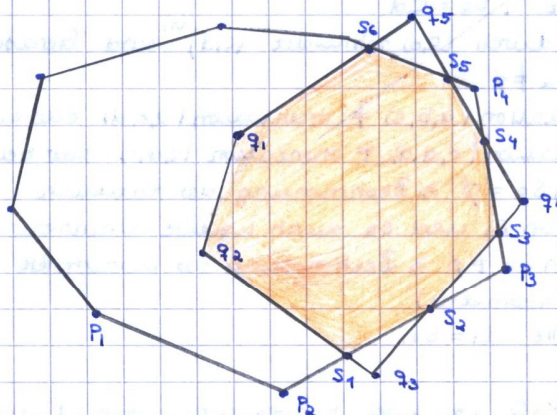
Hier abgeschlossen (offen → Übung, voriger Abschnitt)

Gegeben: Seien $P = (p_1 \dots p_m)$, $Q = (q_1 \dots q_n)$ konvexe abgeschlossene Polygone, geg. durch Eckenfolge gg. den Uhrzeigersinn.

Ausgabe: Eckenfolge von $P \cap Q$ gegen Uhrzeigersinn.

→ 1.5.11.1. Beispiel.

Mögliche Ausgabe:
 $q_1 q_2 s_1 s_2 s_3 s_4 s_5 s_6$

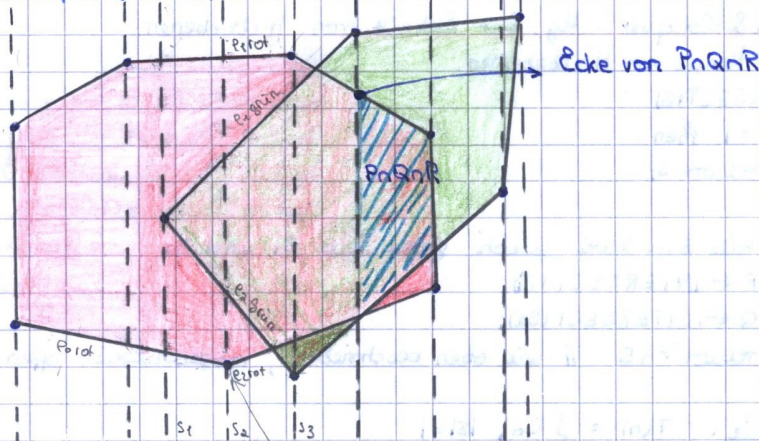


→ 1.5.11.2. Idee:

Zerlege Ebene in Regionen so, dass für jede Region R $(P \cap Q) \cap R$ einfach zu berechnen ist.

→ 1.5.11.3. Regionen: vertikale Streifen.

Zeichne durch jede Ecke von P und Q eine senkrechte Gerade.
 Jeweils zwei benachbarte Senkrechten definieren eine Region, nämlich den vertikalen Streifen dazwischen.
 Dann ist für jeden Streifen R $R \cap P$ und $R \cap Q$ ein Trapezoid, d.h. haben konstante Größe. (4-Eck).



Es gilt $P \cap Q \cap R = (P \cap R) \cap (Q \cap R)$
 wegen konst. Größe braucht Zeit $O(1)$

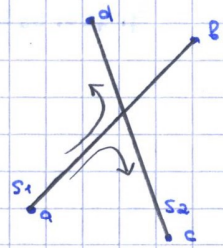
→ 1.5.11.4 Algorithmus:

1. Berechne Streifen von links nach rechts sortiert in Zeit $O(n)$, wobei $n = m + p$.
Gesamtzahl der Ecken, durch Mischen der Eckenfolgen von P und Q.
(siehe D&C für CH.)
2. Berechne für jeden Streifen R Trapezoid $P_n R$ und $Q_n R$. Das geht auch in $O(n)$, da wir Eckenfolgen (siehe 1) von links nach rechts sortiert haben.
3. Berechne für jeden Streifen R $P_n Q_n R := (P_n R) \cap (Q_n R)$
Zeit $O(l)$ pro Streifen.
4. Zusammen kleben des Teile aus 3)
insbesondere Eliminierung von Ecken, die nicht zur Ausgabe gehören.
Laufzeit: $O(n)$ (Durchlaufen der Senkrechten von links nach rechts).
→ Eckenfolge von $P \cap Q$ gg. Uhrzeigersinn.

→ 1.5.11.5 Implementierungsdetails:

Teilprobleme:

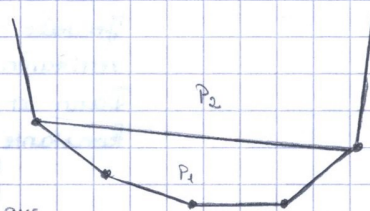
- Test ob Segmente s_1 ein anderes schneidet.
 $s_1 = \overline{a,b}$, $s_2 = \overline{c,d}$
Gerade durch (a,b) schneidet (c,d) ⁽¹⁾ und Gerade durch (c,d) schneidet (a,b) ⁽²⁾
 $\Leftrightarrow s_1 \cap s_2 \neq \emptyset$
(1) orientation $(a,b,c) \neq$ orientation (a,b,d) oder beide 0.
(2) orientation $(c,d,a) \neq$ orientation (c,d,b) oder beide 0.
- falls $s_1 \cap s_2 = \emptyset \Rightarrow$ Bestimmung der relativen Lage von s_1 und s_2 durch weitere Orientierungstests.
- falls $s_1 \cap s_2 \neq \emptyset \Rightarrow$ Bestimmung des Schnittpunktes (anal. Geometrie)
- Sonderfälle: $s_1 = s_2$.



1.5.12 Satz: Der Schnitt $P \cap Q$ von zwei konvexen Polygonen P und Q kann in Zeit $O(n)$ berechnet werden, wobei $n =$ Summe der Ecken von P und Q.
Mischschnitt

1.5.13 Fragen:

- 1) Geht das schneller, wenn alle Polygone im Voraus geg. sind, für die man evtl. Schnittoperationen ausführt.
- 2) Existiert Algorithmus, der output-sensitiv ist?
D.h. Laufzeit hängt von Größe der Ausgabe ab.
→ siehe nächster Abschnitt über konvexe Polygone.



1.5.14 Divide & Conquer - Alg für Schnitt von Halbebenen.

Sei S Menge von Halbebenen.

INTERSECT(S)

if $|S| = 1$ then

return S_1

else

teile S in zwei gleich große Teile S_1 und S_2 6 Geraden in $O(9) = O(1)$

$P \leftarrow$ INTERSECT(S_1);

$Q \leftarrow$ INTERSECT(S_2);

return $P \cap Q$ // wie oben beschrieben, möglicherweise offen \rightarrow Übung.

- Ein unbeschr. Polygon besteht aus einem beschr. Pol. P_1 und unbeschr. Pol. $P_2 \Rightarrow P = P_1 \cup P_2$
Berechne $P_1 \cap Q_2$ mit D&C und Mischschnitt von oben $\Rightarrow O(n \log n)$
Berechne $P_2 \cap Q_1$ und $P_1 \cap Q_2$ als Schnitt von Polygon mit drei Geraden in Zeit $3 \cdot O(n \log n) = O(n \log n)$. Anschließend berechne $P_2 \cap Q_2$ als Schnitt von 6 Geraden in $O(9) = O(1)$.
 \Rightarrow Gesamtlaufzeit: $O(n \log n)$.

1.5.15 Laufzeit: $T(n) = \begin{cases} c_0, & |S| = 1 \\ c_1 n + 2T(n/2), & |S| > 1 \end{cases}$

$\Rightarrow T(n) = O(n \log n)$

Alternative zu Dualitätsalgorithmus

1.5.16 Frage: Welcher Algorithmus ist in welchen Fällen schneller? Wahrscheinlich Divide & Conquer

Kapitel II: Konvexe Polygone

2.1 Einführung:

2.1.1 Ziel: Datenstruktur für Konvexe Polygone, die verschiedene Operationen effizient unterstützt. → Hierarchische Darstellung.

2.1.2 Idee: Investiere Zeit und Platz $O(n)$ in Aufbau dieser Struktur, um nachfolgende Operationen billig zu machen.

Wohnt sich nur, wenn mit demselben Polygon viele Operationen durchgeführt werden.

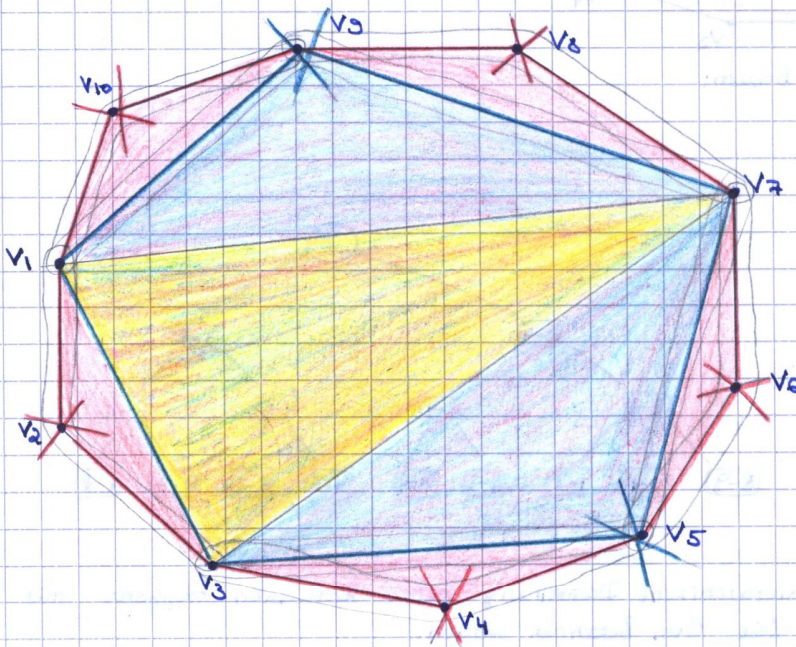
Hierarchische Darstellung: Konstruiere Folge von Teilpolygone, die das Polygon immer genauer beschreiben.

2.1.3 Def: Sei P konvexes Polygon mit n Ecken $v_1 \dots v_n$.

Eine Folge P_0, P_1, \dots, P_R von konvexen Polygonen heißt (innere) Hierarchische Darstellung von P , wenn gilt:

- 1) P_0 hat ≤ 4 Ecken
- 2) $P_R = P$, $P_i \neq P_{i+1} \forall i \in \{0, \dots, R-1\}$
- 3) Jede Ecke von P_i ist Ecke von P_{i+1} und von vier aufeinanderfolgenden Ecken von P_{i+1} ist mindestens eine und höchstens drei von P_i (für $0 \leq i < R$).

2.1.4 Beispiel:



$P = v_1 \dots v_{10} = P_2$
 $P_1 = v_1 v_8 v_5 v_7 v_3$
 $P_0 = v_1 v_3 v_7$
 $\Rightarrow \{P_i\}_{i=0}^2$ ist die hierarchische Darstellung von P .

Bea: P_0 kann auch $v_1 v_3$ sein.

Dann wäre die Darstellung bzgl der Hierarchie noch tiefer.

$P_R = P$, $|P_2| = 10$
 $|P_{R-1}| = |P_1| = 5$

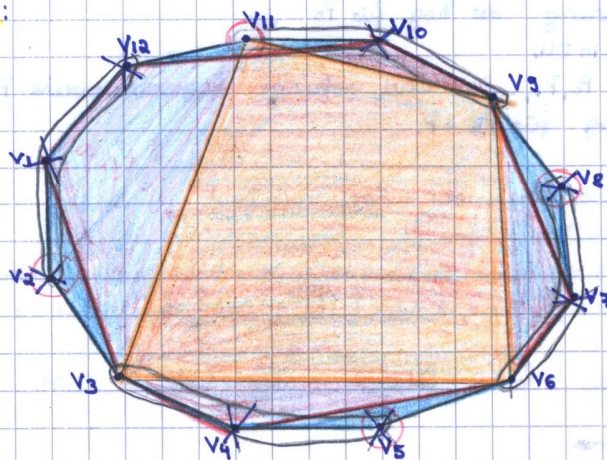
2.1.5 Bemerkung: P_{i-1} entsteht also aus P_i durch Entfernen einiger Ecken.

- von jeweils drei aufeinanderfolgenden Ecken von P_i wird mindestens eine entfernt.
- es werden nie vier aufeinanderfolgende entfernt.

2.1.6 Eigenschaften:

- 1) Beim Übergang von $P_{i+1} \rightarrow P_i$ verlieren wir mindestens einen konstanten Bruchteil der Ecken ($1/3$)
- 2) P_{i+1} ist ähnlich zu P_i , da wir nie mehr als drei aufeinanderfolgende Ecken entfernen.

2.1.7 Beispiel:



Blau: P_0 , $|P_0| = 12$

rot: P_{R-1} : es werden möglichst wenig Ecken entfernt.

$|P_{R-1}| = 8$

$P_R \rightarrow P_{R-1}$ werden $\frac{1}{3} \cdot |P_R| = \frac{1}{3} \cdot 12 = 4$ entfernt!

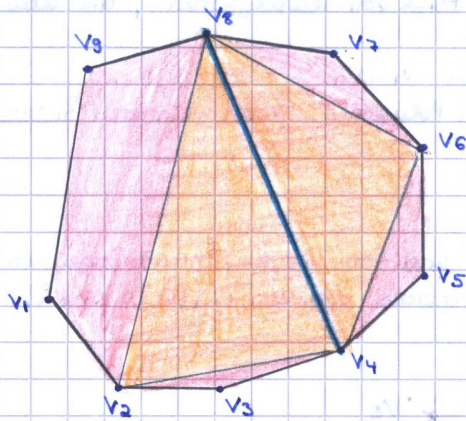
orange: P_{R-1} : es werden möglichst viele Ecken entfernt.

$|P_{R-1}| = 4$

$P_R \rightarrow P_{R-1}$ werden 8 Ecken entfernt!

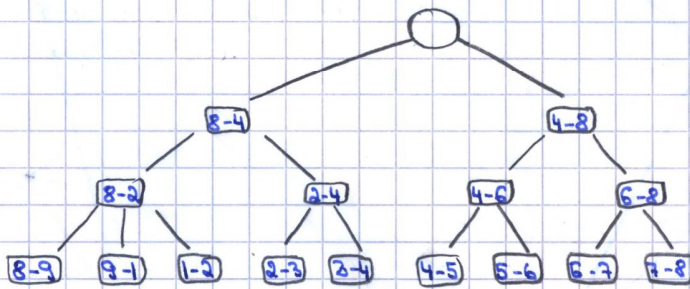
2.1.8 Alternative Darstellung beim Zeichnen:
 balancierter Baum über Kanten von P_i ($0 \leq i \leq n$).
 (muss kein binärer Baum sein).

2.1.9 Beispiel:
 1) wie vorher:



- █ $P_0 = v_4 v_8$, $|P_0| = 2$
- █ $P_1 = v_8 v_2 v_4 v_6$, $|P_1| = 4$
- █ $P_2 = P = v_1 \dots v_8$, $|P| = 8$.

2) durch balancierten Baum:



2.1.10 Lemma: könnte man zB mit ähnlichem Alg wie bei Triangulierungsmethode machen.

- 1) Eine balancierte hierarchische Darstellung eines konvexen Polygons mit n Ecken kann in Zeit $O(n)$ berechnet werden.
- 2) benötigt Speicherplatz $O(n)$
- 3) die Tiefe k dieser Darstellung ist $O(\log n)$

Bew: Alle Teile folgen unmittelbar aus 2.1.6. 1). bzw. Baumdarstellung.

zu 2) von $P_i \rightarrow P_{i-1}$ verliert mind $\frac{1}{3}$ der Knoten

$$\begin{aligned} \Rightarrow \# \text{Knoten} &\leq n + \frac{2}{3}n + \frac{2}{3}\left(\frac{2}{3}n\right) + \dots = n \left(1 + \frac{2}{3} + \left(\frac{2}{3}\right)^2 + \dots\right) = n \cdot \sum_{v=0}^{\infty} \left(\frac{2}{3}\right)^v \leq n \cdot \sum_{v=0}^{\infty} \left(\frac{1}{3}\right)^v = \\ &= n \cdot \frac{\left(\frac{1}{3}\right)^{n+1} - 1}{\frac{1}{3} - 1} = n \cdot \frac{\left(\frac{1}{3}\right)^{n+1} - 1}{-\frac{2}{3}} = n \cdot \frac{1 - \left(\frac{1}{3}\right)^{n+1}}{\frac{2}{3}} \leq n \cdot \frac{1}{\frac{2}{3}} \leq 3 \cdot n = O(n) \end{aligned}$$

2.2. Anwendungen der hierarchischen Darstellung.

verwenden immer dieselbe Strategie:

2.2.1 Strategie:

- 1) Wir berechnen eine Annäherung der \log für P_0
 Da P_0 maximal 4 Ecken \Rightarrow in $O(1)$
- 2) Dann durchlaufe die Folge P_0, P_1, \dots, P_k und verfeinere \log schrittweise $P_i \rightarrow P_{i+1}$.
- 3) Am Ende haben wir die \log für $P_k = P$.

zu 2.1.10 3): $\text{Höhe}(T) \leq \text{Höhe}(\tilde{T})$, wobei \tilde{T} binärer Baum mit entspr. Hiera. Darst.
 $\Rightarrow O(\log n) \Rightarrow \text{Höhe}(T) = O(\log n)$

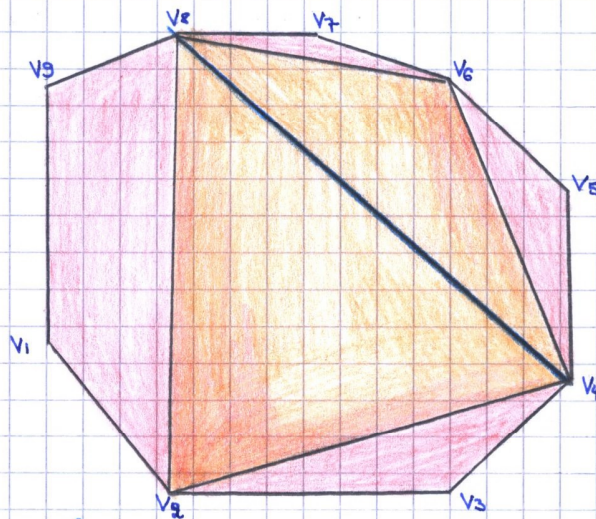
zu 2.1.10. 1) Sei $c_1 :=$ Arbeit, um einen Knoten in den Baum zu schreiben, $c_2 :=$ Arbeit, um einen Knoten zu streichen
 $\Rightarrow \text{Arbeit} \leq c_1 \cdot n + c_2 \cdot \frac{1}{3}n + c_1 \cdot \frac{2}{3}n + c_2 \cdot \left(\frac{2}{3}\right)^2 n + c_1 \cdot \left(\frac{2}{3}\right)^3 n + \dots \leq n \cdot c_1 \cdot \sum_{v=0}^{\infty} \left(\frac{2}{3}\right)^v + c_2 \cdot n \cdot \sum_{v=0}^{\infty} \left(\frac{1}{3}\right)^v \leq 3c_1 \cdot n + \frac{2}{3}c_2 n = O(n)$

Aus Listen dann in Baum einfügen \Rightarrow kostet #Element in allen Listen $\Rightarrow O(n)$.

2.1.8. Alternative Darstellung:

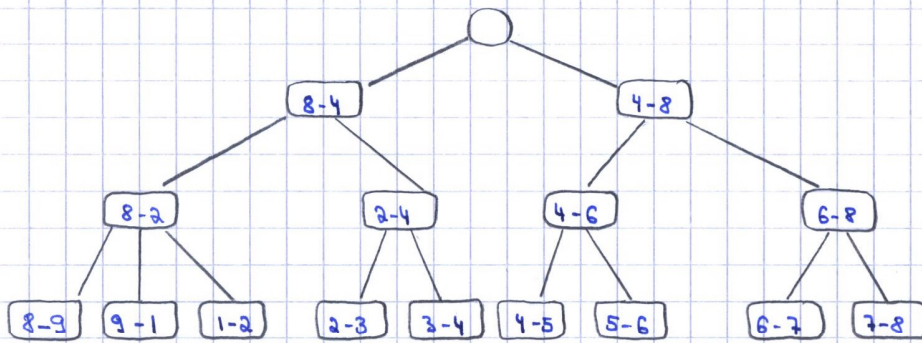
→ balancierter Baum über Kanten von P ($0 \leq i \leq n$)
(muss kein binärer Baum sein.)

2.1.9. Beispiel:



- $P_0 = \{v_4, v_8\}$, $|P_0| = 2$ ■
- $P_1 = \{v_2, v_4, v_6, v_8\}$, $|P_1| = 4$ ■
- $P_2 = \{v_1, \dots, v_3\}$, $|P_2| = 3$ ■

Darstellung durch einen balancierten Baum:



2.1.10. Lemma:

1. Eine balancierte hierarchische Darstellung eines konvexen Polygons mit n Ecken kann in Zeit $O(n)$ berechnet werden.
2. Benötigte Speicherplatz $O(n)$
3. die Tiefe k dieser Darstellung ist $O(\log n)$.

Beweis: Alle Teile folgen unmittelbar aus 2.1.8 i) bzw. Baumdarstellung.

Beachte:

Zu 1):

→ könnte man z.B. mit ähnlichem Alg. wie bei der Triangulierungsmethode machen

$$\begin{aligned}
 & c \cdot n + c \cdot \left(\frac{2}{3}\right) \cdot n + c \cdot \left(\frac{2}{3}\right)^2 \cdot n + \dots = \\
 & = c \cdot n \cdot \sum_{v=0}^{\log n} \left(\frac{2}{3}\right)^v \leq c \cdot n \cdot \sum_{v=0}^{\infty} \left(\frac{2}{3}\right)^v = c \cdot n \cdot \frac{1 - \left(\frac{2}{3}\right)^{n+1}}{1 - \frac{2}{3}} = \\
 & = c \cdot n \cdot 3 \cdot \underbrace{\left(1 - \left(\frac{2}{3}\right)^{n+1}\right)}_{\xrightarrow{n \rightarrow \infty} 1} \leq \underbrace{M}_{\text{const}} \cdot n = O(n).
 \end{aligned}$$

Zu 2):

Knoten = $O(n)$

Zu 3): $\text{Höhe}(T) \leq \text{Höhe}(\tilde{T})$, wobei \tilde{T} binärer Baum
= $O(\log n)$.

2.2 Anwendung der Hierarchischen Darstellung:

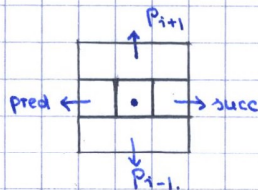
→ verwenden immer dieselbe Strategie:

2.2.1 Strategie:

- 1) Wir berechnen eine Annäherung der Lösung für P_0 .
Da P_0 maximal vier Ecken \Rightarrow in $O(1)$.
- 2) Dann durchlaufe die Folge P_0, P_1, \dots, P_k und verfeinere die Lösung schrittweise $P_i \rightarrow P_{i+1}$.
- 3) Am Ende haben wir die Lsg für $P_k = P$.

2.2.2 Darstellung im Rechner:

- $P_i, 0 \leq i \leq k$ als doppelt verkettete Liste der Ecken und jede Ecke von P_i zeigt zusätzlich auf ihre Kopie in P_{i+1} und umgekehrt.

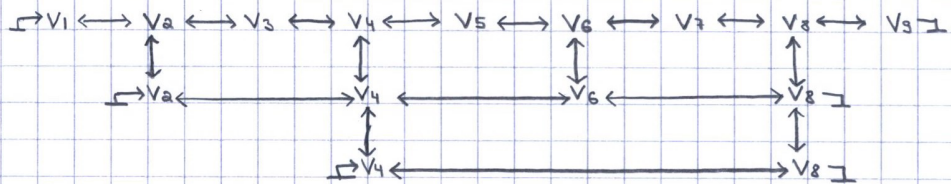


- explizite Synchronisierung des Kantenbaumes
→ Dynamisierung (Ecken einfügen / löschen)
(wie bei Suchbäumen).

2.2.3 Beispiel:

Sei P gegeben wie in 2.1.9.

⇒



2.2.4 Anwendung: Schnitt mit einer Geraden:

2.2.4.1 Ziel:

Geg: Hierarchische Darstellung P_0, \dots, P_k eines konvexen Polygons P und eine Gerade g

Ausgabe: $P \cap g$

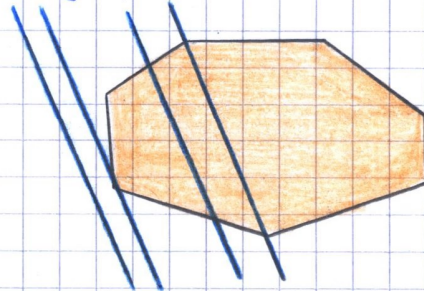
Konvexität $\Rightarrow P \cap g =$ Strecke (wenn nicht leer und Ecke)

\Rightarrow Es genügt Schnittpkte a, b mit den Randsegmenten zu berechnen.

Fälle: 1) $a \neq b$ (allg. Fall, Ecken möglich)

2) $a = b$ (eine Ecke)

3) ex. nicht! $P \cap g = \emptyset$.



2.2.4.2 Idee für Algorithmus:

1) Schnitttest mit P_0 :

2 Fälle: a) $P_0 \cap g = \emptyset$

b) $P_0 \cap g \neq \emptyset$

Im Fall B) \rightarrow STOP

Im Fall a):

set $g_0 \in P_0$ mit minimalen Abstand zu g .

Kapitel II: Konvexe Polygone

2.1 Einführung:

2.1.1 Ziel: Datenstruktur für Konvexe Polygone, die verschiedene Operationen effizient unterstützt. → Hierarchische Darstellung.

2.1.2 Idee: Investiere Zeit und Platz $O(n)$ in Aufbau dieser Struktur, um nachfolgende Operationen billig zu machen.

Wohnt sich nur, wenn mit demselben Polygon viele Operationen durchgeführt werden.

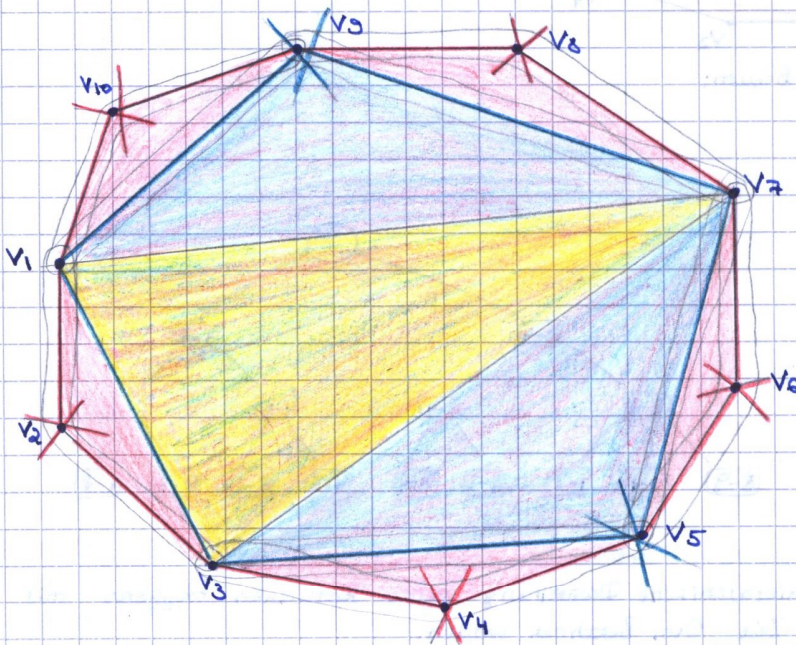
Hierarchische Darstellung: Konstruiere Folge von Teilpolygone, die das Polygon immer genauer beschreiben.

2.1.3 Def: Sei P konvexes Polygon mit n Ecken $v_1 \dots v_n$.

Eine Folge P_0, P_1, \dots, P_R von konvexen Polygonen heißt (innere) Hierarchische Darstellung von P , wenn gilt:

- 1) P_0 hat ≤ 4 Ecken
- 2) $P_R = P$, $P_i \neq P_{i+1} \forall i \in \{0, \dots, R-1\}$
- 3) Jede Ecke von P_i ist Ecke von P_{i+1} und von vier aufeinanderfolgenden Ecken von P_{i+1} ist mindestens eine und höchstens drei von P_i (für $0 \leq i < R$).

2.1.4 Beispiel:



$P = v_1 \dots v_{10} = P_2$
 $P_1 = v_1 v_8 v_5 v_7 v_3$
 $P_0 = v_1 v_3 v_7$
 $\Rightarrow \{P_i\}_{i=0}^2$ ist die hierarchische Darstellung von P .

Bea: P_0 kann auch $v_1 v_3$ sein.

Dann wäre die Darstellung bzgl der Hierarchie noch tiefer.

$P_R = P$, $|P_R| = 10$
 $|P_{R-1}| = |P_1| = 5$

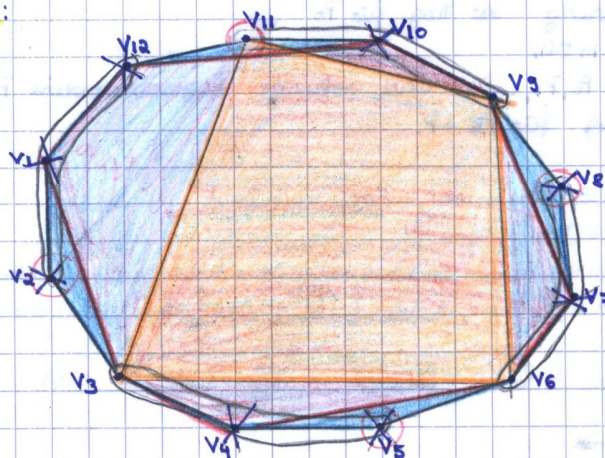
2.1.5 Bemerkung: P_{i-1} entsteht also aus P_i durch Entfernen einiger Ecken.

- von jeweils drei aufeinanderfolgenden Ecken von P_i wird mindestens eine entfernt.
- es werden nie vier aufeinanderfolgende entfernt.

2.1.6 Eigenschaften:

- 1) Beim Übergang von $P_{i+1} \rightarrow P_i$ verlieren wir mindestens einen konstanten Bruchteil der Ecken ($1/3$)
- 2) P_{i+1} ist ähnlich zu P_i , da wir nie mehr als drei aufeinanderfolgende Ecken entfernen.

2.1.7 Beispiel:



Blau: P_0 , $|P_0| = 12$

rot: P_{R-1} : es werden möglichst wenig Ecken entfernt.

$|P_{R-1}| = 8$

$P_R \rightarrow P_{R-1}$ werden $\frac{1}{3} \cdot |P_R| = \frac{1}{3} \cdot 12 = 4$ entfernt!

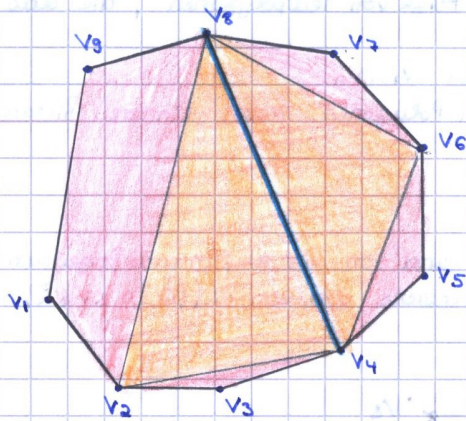
orange: P_{R-1} : es werden möglichst viele Ecken entfernt.

$|P_{R-1}| = 4$

$P_R \rightarrow P_{R-1}$ werden 8 Ecken entfernt!

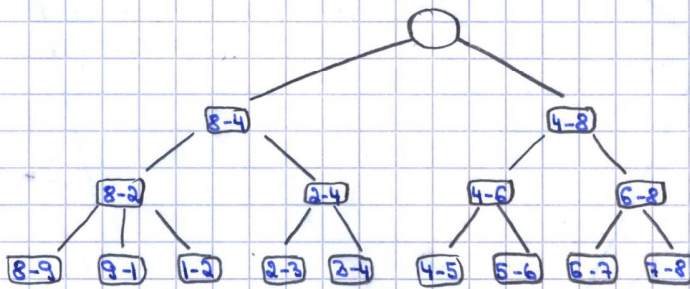
2.1.8 Alternative Darstellung beim Zeichnen:
 balancierter Baum über Kanten von P_i ($0 \leq i \leq n$).
 (muss kein binärer Baum sein).

2.1.9 Beispiel:
 1) wie vorher:



- █ $P_0 = v_4 v_8$, $|P_0| = 2$
- █ $P_1 = v_8 v_2 v_4 v_6$, $|P_1| = 4$
- █ $P_2 = P = v_1 \dots v_8$, $|P| = 8$.

2) durch balancierten Baum:



- 2.1.10 Lemma: könnte man zB mit ähnlichem Alg wie bei Triangulierungsmethode machen.
- 1) Eine balancierte hierarchische Darstellung eines konvexen Polygons mit n Ecken kann in Zeit $O(n)$ berechnet werden.
 - 2) benötigt Speicherplatz $O(n)$
 - 3) die Tiefe k dieser Darstellung ist $O(\log n)$

Bew: Alle Teile folgen unmittelbar aus 2.1.6. i). bzw. Baumdarstellung.

zu 2): von $P_i \rightarrow P_{i-1}$ verliert mind $\frac{1}{3}$ der Knoten

$$\Rightarrow \# \text{Knoten} \leq n + \frac{2}{3}n + \frac{2}{3}\left(\frac{2}{3}n\right) + \dots = n \left(1 + \frac{2}{3} + \left(\frac{2}{3}\right)^2 + \dots\right) = n \cdot \sum_{v=0}^{\infty} \left(\frac{2}{3}\right)^v \leq n \cdot \sum_{v=0}^{\infty} \left(\frac{1}{3}\right)^v =$$

$$= n \cdot \frac{\left(\frac{1}{3}\right)^{n+1} - 1}{\frac{1}{3} - 1} = n \cdot \frac{\left(\frac{1}{3}\right)^{n+1} - 1}{-\frac{2}{3}} = n \cdot \frac{1 - \left(\frac{1}{3}\right)^{n+1}}{\frac{2}{3}} \leq n \cdot \frac{1 - \left(\frac{1}{3}\right)^{n+1}}{\frac{1}{3}} \leq 3 \cdot n = O(n)$$

2.2. Anwendungen der hierarchischen Darstellung.

verwenden immer dieselbe Strategie:

2.2.1. Strategie:

- 1) Wir berechnen eine Annäherung der \log für P_0
 Da P_0 maximal 4 Ecken \Rightarrow in $O(1)$
- 2) Dann durchlaufe die Folge P_0, P_1, \dots, P_k und verfeinere \log schrittweise $P_i \rightarrow P_{i+1}$.
- 3) Am Ende haben wir die \log für $P_k = P$.

zu 2.1.10 3): $\text{Höhe}(T) \leq \text{Höhe}(\tilde{T})$, wobei \tilde{T} binärer Baum mit entspr. Hiera. Darst.
 $\Rightarrow O(\log n) \Rightarrow \text{Höhe}(T) = O(\log n)$

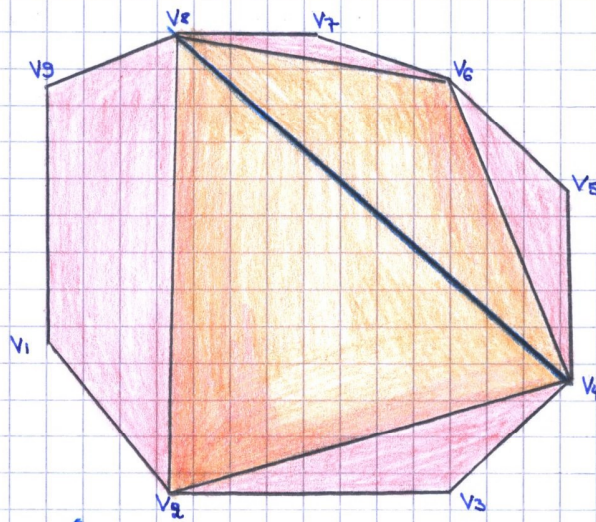
zu 2.1.10. 1) Sei $c_1 :=$ Arbeit, um einen Knoten in den Baum zu schreiben, $c_2 :=$ Arbeit, um einen Knoten zu streichen
 $\Rightarrow \text{Arbeit} \leq c_1 \cdot n + c_2 \cdot \frac{1}{3}n + c_1 \cdot \frac{2}{3}n + c_2 \cdot \left(\frac{2}{3}\right)^2 n + c_1 \cdot \left(\frac{2}{3}\right)^3 n + \dots \leq n \cdot c_1 \cdot \sum_{v=0}^{\infty} \left(\frac{2}{3}\right)^v + c_2 \cdot n \cdot \sum_{v=0}^{\infty} \left(\frac{1}{3}\right)^v \leq 3c_1 \cdot n + \frac{2}{3}c_2 n = O(n)$

Aus Listen dann in Baum einfügen \Rightarrow kostet #Element in allen Listen $\Rightarrow O(n)$.

2.1.8. Alternative Darstellung:

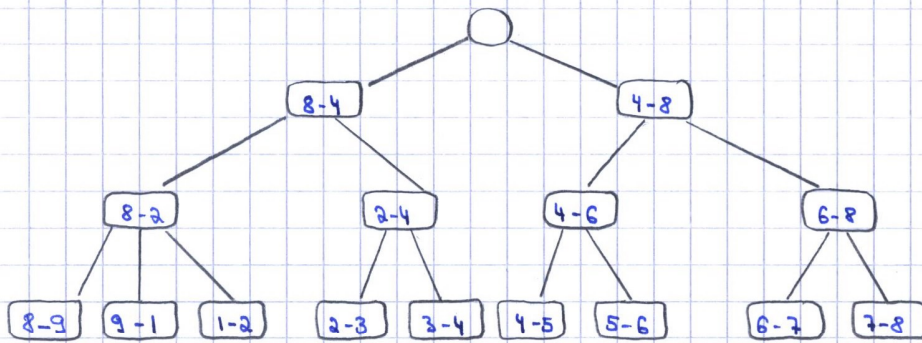
→ balancierter Baum über Kanten von P ($0 \leq i \leq n$)
(muss kein binärer Baum sein.)

2.1.9. Beispiel:



- $P_0 = \{v_4, v_8\}$, $|P_0| = 2$ ■
- $P_1 = \{v_2, v_4, v_6, v_8\}$, $|P_1| = 4$ ■
- $P_2 = \{v_1, \dots, v_9\}$, $|P_2| = 9$ ■

Darstellung durch einen balancierten Baum:



2.1.10. Lemma:

1. Eine balancierte hierarchische Darstellung eines konvexen Polygons mit n Ecken kann in Zeit $O(n)$ berechnet werden.
2. Benötigte Speicherplatz $O(n)$
3. die Tiefe k dieser Darstellung ist $O(\log n)$.

Beweis: Alle Teile folgen unmittelbar aus 2.1.8 i) bzw. Baumdarstellung.

Beachte:

Zu 1):

→ könnte man z.B. mit ähnlichem Alg. wie bei der Triangulierungsmethode machen

$$\begin{aligned}
 & c \cdot n + c \cdot \left(\frac{2}{3}\right) \cdot n + c \cdot \left(\frac{2}{3}\right)^2 \cdot n + \dots = \\
 & = c \cdot n \cdot \sum_{v=0}^{\log n} \left(\frac{2}{3}\right)^v \leq c \cdot n \cdot \sum_{v=0}^{\infty} \left(\frac{2}{3}\right)^v = c \cdot n \cdot \frac{1 - \left(\frac{2}{3}\right)^{n+1}}{1 - \frac{2}{3}} = \\
 & = c \cdot n \cdot 3 \cdot \left(1 - \left(\frac{2}{3}\right)^{n+1}\right) \stackrel{n \rightarrow \infty}{\approx} \underbrace{M}_{const} \cdot n = O(n).
 \end{aligned}$$

Zu 2):

Knoten = $O(n)$

Zu 3): $\text{Höhe}(T) \leq \text{Höhe}(\tilde{T})$, wobei \tilde{T} binärer Baum
= $O(\log n)$.

2.2 Anwendung der Hierarchischen Darstellung:

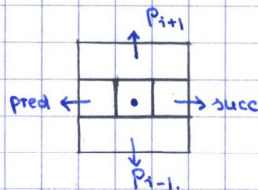
→ verwenden immer dieselbe Strategie:

2.2.1 Strategie:

- 1) Wir berechnen eine Annäherung der Lösung für P_0 .
Da P_0 maximal vier Ecken \Rightarrow in $O(1)$.
- 2) Dann durchlaufe die Folge P_0, P_1, \dots, P_k und verfeinere die Lösung schrittweise $P_i \rightarrow P_{i+1}$.
- 3) Am Ende haben wir die Lsg für $P_k = P$.

2.2.2 Darstellung im Rechner:

- $P_i, 0 \leq i \leq k$ als doppelt verkettete Liste der Ecken und jede Ecke von P_i zeigt zusätzlich auf ihre Kopie in P_{i+1} und umgekehrt.

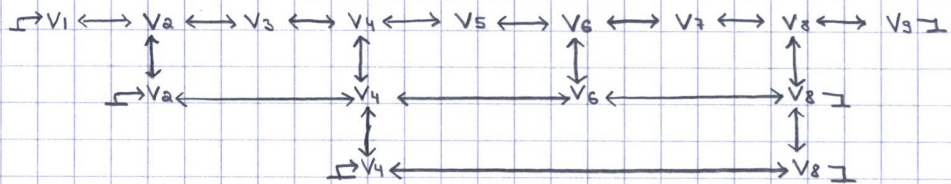


- explizite Synchronisierung des Kantenbaumes
→ Dynamisierung (Ecken einfügen / löschen)
(wie bei Suchbäumen).

2.2.3 Beispiel:

Sei P gegeben wie in 2.1.9.

⇒



2.2.4 Anwendung: Schnitt mit einer Geraden:

2.2.4.1 Ziel:

Geg: Hierarchische Darstellung P_0, \dots, P_k eines konvexen Polygons P und eine Gerade g

Ausgabe: $P \cap g$

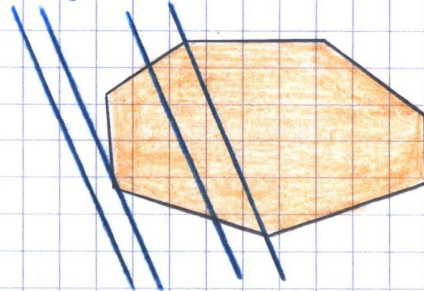
Konvexität $\Rightarrow P \cap g =$ Strecke (wenn nicht leer und Ecke)

\Rightarrow Es genügt Schnittpkte a, b mit den Randsegmenten zu berechnen.

Fälle: 1) $a \neq b$ (allg. Fall, Ecken möglich)

2) $a = b$ (eine Ecke)

3) ex. nicht! $P \cap g = \emptyset$.



2.2.4.2 Idee für Algorithmus:

1) Schnitttest mit P_0 :

2 Fälle: a) $P_0 \cap g = \emptyset$

b) $P_0 \cap g \neq \emptyset$

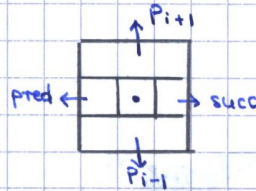
Im Fall B) \rightarrow STOP

Im Fall a):

set $g_0 \in P_0$ mit minimalen Abstand zu g .

2.2.2. Darstellung im Rechner:

- $P_i, 0 \leq i \leq R$ als doppelt verkettete Liste der Ecken + jede Ecke von P_i zeigt zusätzlich auf ihre Kopie in P_{i+1} und umgekehrt

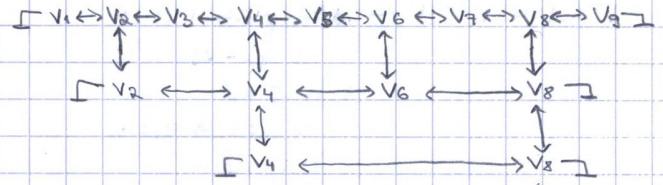
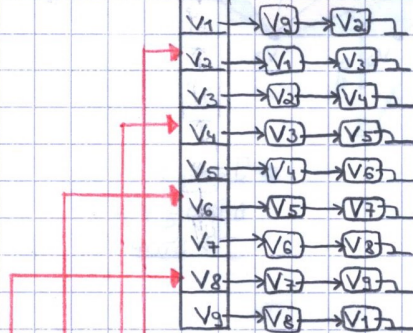


- explizite Speicherung des Kantensbaums
→ Dynamisierung (Ecken einfügen/löschen)
(wie bei Suchbäumen)

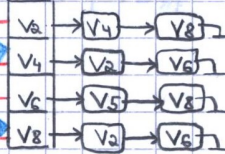
2.2.3 Beispiel:

Sei P gegeben wie in 2.1.9.

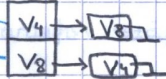
P_0 als verkettete Liste:



P_1 als verkettete Liste:



P_0 als verkettete Liste:



2.2.4. Anwendung: Schnitt mit einer Geraden:

→ 2.2.4.1 Ziel:

Geg: Hierarchische Darstellung $P_0 \dots P_R$ eines konvexen Polygons P und eine Gerade g .

Ausgabe: $P \cap g$

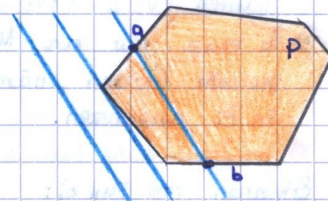
Konvexität $\Rightarrow P \cap g =$ Strecke

\Rightarrow Es genügt Schnittpunkte a, b mit den Randsegmenten zu berechnen.

Fälle: 1) $a \neq b$ (allg. Fall, Ecken möglich)

2) $a = b$ (eine Ecke)

3) ex. nicht!, Schnitt = \emptyset



2.2.4.2. Idee für Algorithmus:

1) Schnitttest mit P_0 :

2 Fälle: a) $P_0 \cap g = \emptyset$

konst. Operationen, weil $|P_0| \leq 4$

b) $P_0 \cap g \neq \emptyset$

Ann: wir haben Fall a)

\Rightarrow sei $q_0 \in P_0$ mit minimalen Abstand zu g

Im Fall b \rightarrow STOP

d) Durchlaufe die hierarchische Darstellung P_1, P_2, \dots und finde entweder:

a) $q_i \in P_i$ mit minimalen Abstand, falls $P_i \cap g = \emptyset$

oder

b) Schnittpkte a_i, b_i von P_i mit g .

Im Fall b) \rightarrow STOP.

Bsp: $P = V_1 \dots V_9 = P_2$

$P_1 = V_1 V_2 V_8 V_7 V_9$

$P_0 = V_2 V_7 V_9$

Im Alg:

1) $P_0 \cap g = \emptyset$

$\Rightarrow q_0 = V_9$

2) $P_1 \cap g \neq \emptyset$

\Rightarrow Fall b) \rightarrow finde a_1, b_1

STOP

Im Alg:

1) $P_0 \cap g = \emptyset$

$\Rightarrow q_0 = V_9$

2) $P_1 \cap g = \emptyset$

\Rightarrow Teil a) $\Rightarrow q_1 = V_1$

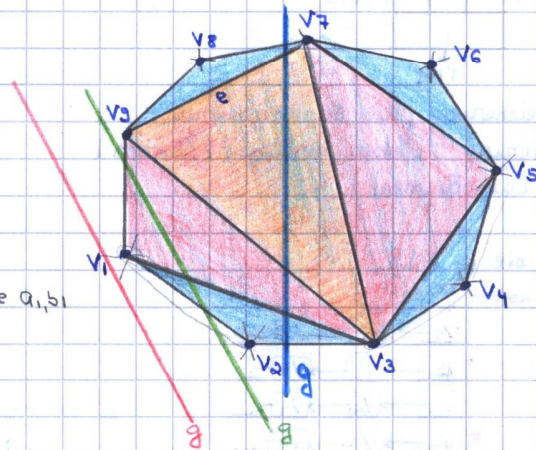
$P_2 \cap g = \emptyset$

\Rightarrow Teil a) $\Rightarrow q_2 = V_1$

Im Alg:

1) $P_0 \cap g \neq \emptyset$

\Rightarrow STOP



Zwei mögliche Ausgänge: (wenn $i = k$)

a) $P_k \cap g = P_n \cap g = \emptyset$ und wir kennen Ecke $q_k \in P$, die g am nächsten

b) $P_i \cap g = (a_i, b_i)$ für $0 \leq i \leq k$

Im Bsp:

\rightarrow Ausgang b) $\Rightarrow P_i \cap g = (a_i, b_i)$ für $i = 1$.

\rightarrow Ausgang a) $\Rightarrow P_n \cap g = \emptyset$, $q_2 = V_1 \in P$.

\rightarrow Ausgang b) $\Rightarrow P_0 \cap g = (a_0, b_0)$ für $i = 0$.

Ausgang a) \Rightarrow fertig, $P_n \cap g = \emptyset$

Ausgang b) \Rightarrow Wir müssen Schnittpkte (a_i, b_i) später verfeinern bis (a_k, b_k) } Phase 2 gefunden.

Nun: Übergang von $q_i \rightarrow q_{i+1}$ (Fall a) bzw. Test, ob Fall b) gilt.

\rightarrow 2.2.4.3 Laufzeit:

Phase 1: Kandidaten für nächsten Pkt q_{i+1} sind schon genau die Ecken von P_{i+1} die Verfeinerungen der Nachbarkanten von q_i in P_i

Das folgt unmittelbar aus der Konvexität.

Im Bsp: $i = 0$, $q_0 = V_9$, Kand. für q_1 ist Ecke von P_1 nämlich V_1

Dies ist die Ecke der Verfeinerungen der Nachbarkanten von $q_0 = V_9$, nämlich der Kanten $(V_9, V_1) \wedge (V_9, V_3)$

\Rightarrow Es muß nur ein Minimum in einer konstanten Zahl von Kandidaten gesucht werden, nämlich in den Verfeinerungen der Kanten, die an q_i in P_i angrenzen.

Im Bsp: Suche Min. in $(V_9, V_1), (V_9, V_3)$

Erkennen von Fall b):

Teste in der Kandidatenmenge, ob ein Pkt auf der anderen Seite von g liegt. (Orientierung)

$\Rightarrow (a_{i+1}, b_{i+1})$ in konst. Zeit denn konst viele Kand.

(Schnittberechnung mit Verfeinerungskanten).

Im Bsp: $i = 0$, $q_0 = V_9 \Rightarrow$ Kandidatenmenge: (V_9, V_1) und (V_9, V_3)

V_1 liegt auf der anderen Seite von g , denn $\text{orient}(V_9, V_1, g) > 0$

\Rightarrow Teil b) erkannt

(bea: $\text{orient}(V_9, V_3, g) \leq 0$)

- Laufzeit:
- $O(1)$ pro Hierarchiestufe
 - Haben nur $O(\log n)$ Stufen
- $\Rightarrow O(\log n)$ für die erste Phase.

Nach Phase 1 haben wir zwei Fälle:

Fall a) \Rightarrow fertig.

Fall b) \Rightarrow machen weiter zu Phase 2.

Phase 2: Geg: $\{a_i, b_i\} = P \cap g$ für $i < k$ (sonst fertig) und es sind keine Ecken (sonst ebenfalls fertig).

Betrachte a_i (b_i analog):

a_{i+1} muss Schnittpunkt sein mit einer Verfeinerungskante von e , wobei $a_i = \text{eng}$

• Bsp: Betrachte $a_0, i=0 < 2$

a_1 ist Schnittpunkt mit Verfeinerungskante von e , wobei $a_0 = \text{eng}$ und der Geraden g .

Die Verfeinerungskanten von e sind (v_s, v_e) und (v_e, v_r)

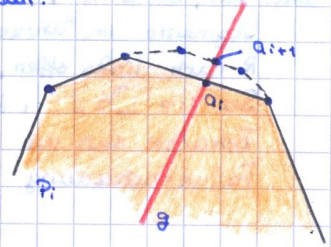
$\Rightarrow a_{i+1}$ kann in Zeit $O(1)$ aus a_i berechnet werden.

(b_{i+1} analog aus b_i)

Weil #Verf.kanten konst. Genauw. ≤ 4 .

\Rightarrow Laufzeit von Phase 2 auch $O(\log n)$.

\Rightarrow Gesamte Laufzeit also $O(\log n)$!



2.2.5 Satz: Für ein konvexes Polygon P kann:

1) die hierarchische Darstellung in Zeit $O(n)$ aufgebaut werden.

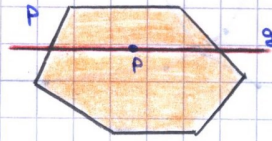
2) braucht Platz $O(n)$

3) für beliebige Gerade g kann $P \cap g$ mit Hilfe der hierarchischen Darstellung in Zeit $O(\log n)$ berechnet werden.

2.2.6 Bem.

1) Teil 3) \Rightarrow Alternativer $\log n$ -Alg. zum Test, ob $P \cap g \neq \emptyset$ ist.

Idee:



$$P \cap g \neq \emptyset \Leftrightarrow P \cap P \cap g$$

- Betr. Gerade g durch p parallel zu x -Achse
- Berechne hieras. Darst.
- Berechne Schnittpunkte
- Schau ob $p_x \in [a_x, b_x]$

\Rightarrow Zeit: $O(1) + O(n) + O(\log n) + O(1) = O(n)$!

2) Hieras. Darstellung auch im \mathbb{R}^3 möglich, dh. für konvexe Polyeder.
(dazu später mehr...)

2.3 Weiteres Problem auf konvexen Polygonen: Schnitt von zwei konvexen Polygonen.

2.3.1. Ziel: Geg: zwei konvexe Polygone P, Q

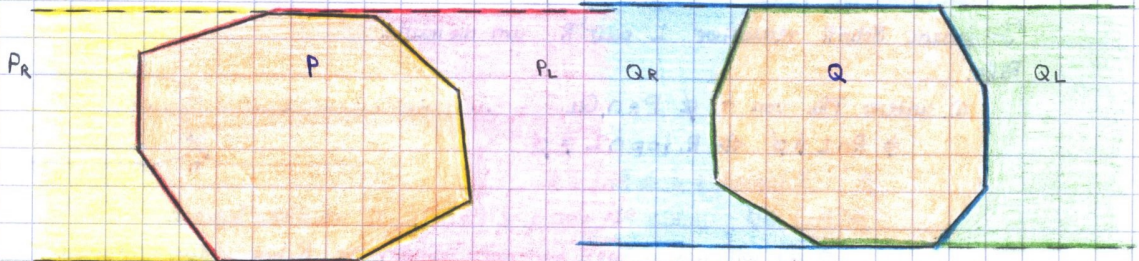
Test ob $P \cap Q \neq \emptyset$

Ann. Wir wissen schon, wie man $P \cap Q$ in Zeit $O(n)$ berechnet, wobei n = Gesamtzahl der Ecken.

2.3.2. Idee:

1) Betrachte ein einfacheres Problem: Test, ob sich zwei polygonale Ketten schneiden.

- Zerlege P in linken (P_L) & rechten (P_R) Rand durch Zerschneiden an Extrempunkten gemäß y_x -Sortierung der Ecken.
- Erweitere durch entsprechende horizontale Strahlen.



Beobachtung: $P \cap Q \neq \emptyset \Leftrightarrow P \cap Q \cap R \neq \emptyset \wedge P \cap R \cap Q \neq \emptyset$

Beweis: $P \cap Q \neq \emptyset \Rightarrow P \cap R \cap Q \neq \emptyset \wedge P \cap Q \cap R \neq \emptyset$ klar.

Für P mit $P \cap R \cap Q \neq \emptyset \Leftrightarrow P \cap Q \neq \emptyset$
(hierbei gilt auch $P \cap Q \cap R \neq \emptyset$)

Für Q mit $Q \cap R \cap P \neq \emptyset \Leftrightarrow P \cap Q \neq \emptyset$
(hierbei gilt auch $Q \cap L \cap P \neq \emptyset$)

\Rightarrow Falls $P \cap R \cap Q \neq \emptyset \wedge P \cap Q \cap R \neq \emptyset \Rightarrow P \cap Q \neq \emptyset$

2). Lösung des einfacheren Problems:

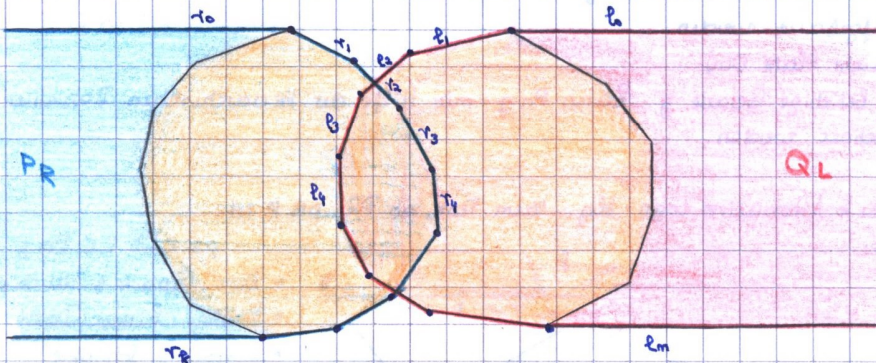
Bea: Wir wissen nicht, ob P linkes und Q rechtes Polygon oder umgekehrt.

Idee: Test, ob $L \cap R \neq \emptyset$ in Zeit $O(\log n)$, wobei $R = r_0 \dots r_k$ gegeben durch die Segmente im Uhrzeigersinn (r_0, r_k Strahlen) und $L = l_0 \dots l_m$ analog gg. Uhrzeigersinn. R nach links offen, L nach rechts offen.

Sei $i := \lfloor \frac{m}{2} \rfloor, j := \lfloor \frac{k}{2} \rfloor$

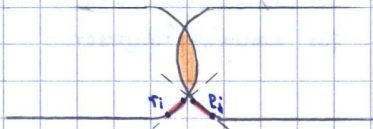
Betrachte nun die mittleren Segmente r_i und l_j .

Fallunterscheidung gemäß der Lage von l_j und r_i auf Geraden R_i und L_j .



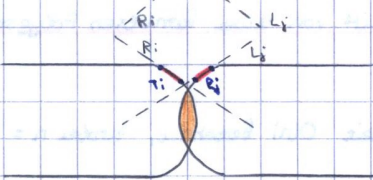
Es gibt nun mehrere Fälle:

1)



← $P \cap Q$ oberhalb von den unteren Endpunkten von r_i und l_j

2)



← $P \cap Q$ unterhalb von den oberen Endpunkten von r_i und l_j

3)



← Endpunkte von r_i und $l_j \in P \cap Q$
(Bea: Hierbei müssen sich die Polygone nicht notw. schneiden!)

Wir betrachten hier Fall 1

In jedem Schritt reduziere L oder R um die Hälfte.

Fälle:

a). unterer Pkt von $r_i \notin P \cap Q$

$\Rightarrow R \cap L \neq \emptyset \Leftrightarrow R \cdot \text{top} \cap L \neq \emptyset$

\Leftarrow : $R \cdot \text{top} \cap L \neq \emptyset \Rightarrow R \cap L \neq \emptyset$

\Rightarrow " $P \cap L \neq \emptyset$, unterer Pkt von $r_i \notin P \cap Q$, r_i mittleres Segment

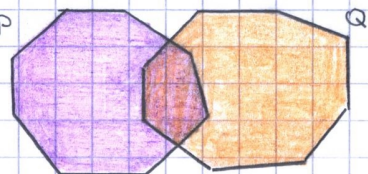
\Rightarrow da wir uns im Fall 1 befinden, können wir $R \cdot \text{bot}$ tauschmüssen.

$\Rightarrow R \cdot \text{top} \cap L \neq \emptyset$



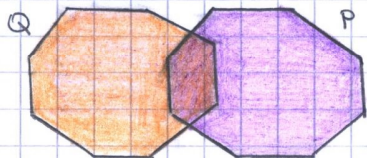
Beobachtung: $P \cap Q \neq \emptyset \Leftrightarrow P \cap Q \neq \emptyset \wedge P \cap Q \neq \emptyset$.

Denn:



Hier: $P \cap Q \neq \emptyset \Leftrightarrow P \cap Q \neq \emptyset$

Bea: Man weiß in der Regel nicht, welches Polygon rechts und welches links liegt.



Hier: $P \cap Q \neq \emptyset \Leftrightarrow P \cap Q \neq \emptyset$

\Rightarrow insgesamt gilt also: falls $P \cap Q \neq \emptyset \wedge P \cap Q \neq \emptyset \Rightarrow P \cap Q \neq \emptyset$

" \Leftarrow " klar

\Rightarrow die obige Beh.

2) Lösung des einfacheren Problems:

Idee: Test, ob $L \cap R \neq \emptyset$ in Zeit $O(\log n)$, wobei $R = \{r_0 \dots r_n\}$ und $L = \{l_0 \dots l_m\}$ gegeben durch die Segmente im Uhrzeigersinn (für R) und gegen Uhrzeigersinn (für L).

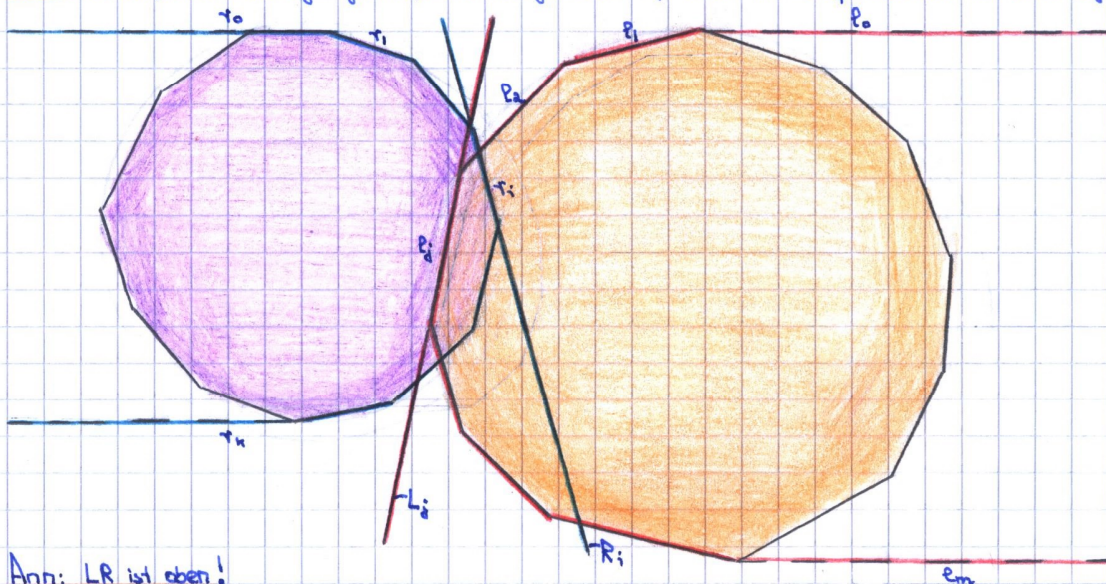
(r_0 und r_n bzw. l_0 und l_m sind Strahlen).

R ist nach links offen und L nach rechts offen.

Sei $i := \lfloor m/2 \rfloor$ und $j := \lfloor n/2 \rfloor$

Betrachte nun die mittleren Segmente r_i und l_j

Nun: Fallunterscheidung gemäß der Lage von l_j und r_i auf Geraden R_i und L_j :



Ann: $L \cap R$ ist oben!

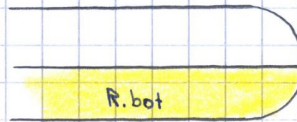
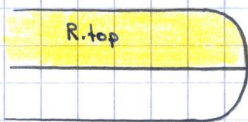
In jedem Schritt reduziere L oder R um die Hälfte.

Fälle:

a) unterer Pkte von r_i ist nicht in L

$\Rightarrow R \cap L \neq \emptyset \Leftrightarrow R \cdot \text{top} \cap L \neq \emptyset$

wobei:



b) unterer Pkte von l_j ist nicht in R .

$\Rightarrow R \cap L \neq \emptyset \Leftrightarrow R \cdot L \cdot \text{top} \neq \emptyset$

c) beide unteren Pkte sind in L

vi) falls u_{r_i} unterhalb von u_{l_j}

$\Rightarrow R \cap L \neq \emptyset \Leftrightarrow R \cdot \text{top} \cap L \neq \emptyset$

lii) falls u_{l_j} unterhalb von u_{r_i}

$\Rightarrow R \cap L \neq \emptyset \Leftrightarrow R \cap L \cdot \text{top} \neq \emptyset$

Hierbei: $u_{r_i} \hat{=}$ unterer Endpunkte von r_i
 $u_{l_j} \hat{=}$ unterer Endpunkte von l_j .

⇒ In Zeit $O(i)$ wird entweder L oder R auf die Hälfte reduziert.
Wiederhole nun bis l_j sich mit r_i überschneidet oder bis nur noch konstante Größe von L und R.

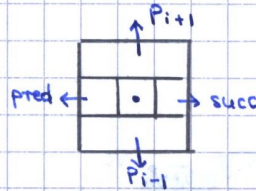
2.3.3. Laufzeit: sei $R + m + 2 =: n$

⇒ der eigentliche Test, ob $L \cap R \neq \emptyset$ in Zeit $O(\log n)$.

Kleines Beispiel zur Veranschaulichung:

2.2.2. Darstellung im Rechner:

- P_i , $0 \leq i \leq R$ als doppelt verkettete Liste der Ecken + jede Ecke von P_i zeigt zusätzlich auf ihre Kopie in P_{i+1} und umgekehrt

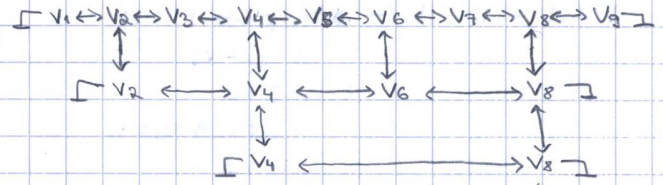
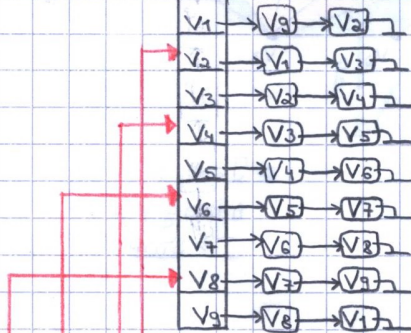


- explizite Speicherung des Kantensbaumers
→ Dynamisierung (Ecken einfügen/löschen)
(wie bei Suchbäumen)

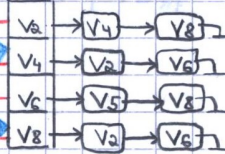
2.2.3 Beispiel:

Sei P gegeben wie in 2.1.9.

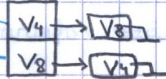
P_0 als verkettete Liste:



P_1 als verkettete Liste:



P_0 als verkettete Liste:



2.2.4. Anwendung: Schnitt mit einer Geraden:

→ 2.2.4.1 Ziel:

Geg: Hierarchische Darstellung $P_0 \dots P_R$ eines konvexen Polygons P und eine Gerade g .

Ausgabe: $P \cap g$

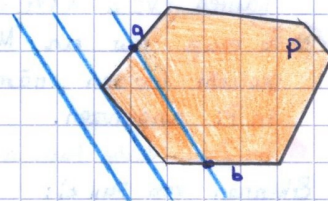
Konvexität $\Rightarrow P \cap g =$ Strecke

\Rightarrow Es genügt Schnittpunkte a, b mit den Randsegmenten zu berechnen.

Fälle: 1) $a \neq b$ (allg. Fall, Ecken möglich)

2) $a = b$ (eine Ecke)

3) ex. nicht!, Schnitt = \emptyset



2.2.4.2. Idee für Algorithmus:

1) Schnitttest mit P_0 :

2 Fälle: a) $P_0 \cap g = \emptyset$

konst. Operationen, weil $|P_0| \leq 4$

b) $P_0 \cap g \neq \emptyset$

Ann: wir haben Fall a)

\Rightarrow sei $q_0 \in P_0$ mit minimalen Abstand zu g

Im Fall b \rightarrow STOP

d) Durchlaufe die hierarchische Darstellung P_1, P_2, \dots und finde entweder:

a) $q_i \in P_i$ mit minimalen Abstand, falls $P_i \cap g = \emptyset$

oder

b) Schnittpkte a_i, b_i von P_i mit g .

Im Fall b) \rightarrow STOP.

Bsp: $P = V_1 \dots V_9 = P_2$

$P_1 = V_1 V_2 V_8 V_7 V_9$

$P_0 = V_2 V_7 V_9$

Im Alg:

1) $P_0 \cap g = \emptyset$

$\Rightarrow q_0 = V_9$

2) $P_1 \cap g \neq \emptyset$

\Rightarrow Fall b) \rightarrow finde a_1, b_1

STOP

Im Alg:

1) $P_0 \cap g = \emptyset$

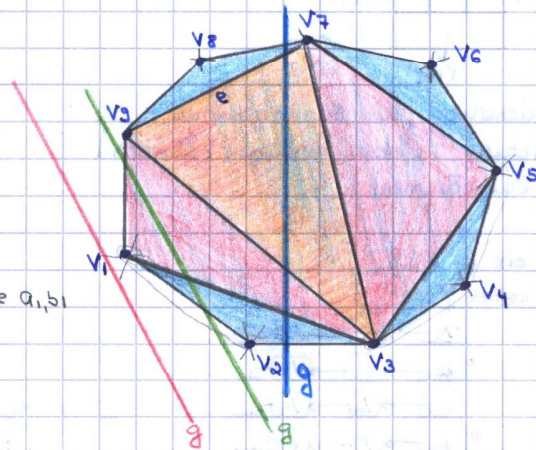
$\Rightarrow q_0 = V_9$

2) $P_1 \cap g = \emptyset$

\Rightarrow Teil a) $\Rightarrow q_1 = V_1$

$P_2 \cap g = \emptyset$

\Rightarrow Teil a) $\Rightarrow q_2 = V_1$.



Im Alg:

1) $P_0 \cap g \neq \emptyset$

\Rightarrow STOP

Zwei mögliche Ausgänge: (wenn $i = k$)

a) $P_k \cap g = P_n \cap g = \emptyset$ und wir kennen Ecke $q_k \in P$, die g am nächsten

b) $P_i \cap g = (a_i, b_i)$ für $0 \leq i \leq k$

Im Bsp:

\rightarrow Ausgang b) $\Rightarrow P_i \cap g = (a_i, b_i)$ für $i = 1$.

\rightarrow Ausgang a) $\Rightarrow P_n \cap g = \emptyset$, $q_2 = V_1 \in P$.

\rightarrow Ausgang b) $\Rightarrow P_0 \cap g = (a_0, b_0)$ für $i = 0$.

Ausgang a) \Rightarrow fertig, $P_n \cap g = \emptyset$

Ausgang b) \Rightarrow Wir müssen Schnittpkte (a_i, b_i) später verfeinern bis (a_k, b_k) } Phase 2 gefunden.

Nun: Übergang von $q_i \rightarrow q_{i+1}$ (Fall a) bzw. Test, ob Fall b) gilt.

\rightarrow 2.2.4.3 Laufzeit:

Phase 1: Kandidaten für nächsten Pkt q_{i+1} sind schon genau die Ecken von P_{i+1} die Verfeinerungen der Nachbarkanten von q_i in P_i

Das folgt unmittelbar aus der Konvexität.

Im Bsp: $i = 0$, $q_0 = V_9$, Kand. für q_1 ist Ecke von P_1 nämlich V_1

Dies ist die Ecke der Verfeinerungen der Nachbarkanten von $q_0 = V_9$, nämlich der Kanten $(V_9, V_1) \wedge (V_9, V_3)$

\Rightarrow Es muß nur ein Minimum in einer konstanten Zahl von Kandidaten gesucht werden, nämlich in den Verfeinerungen der Kanten, die an q_i in P_i angrenzen.

Im Bsp: Suche Min. in $(V_9, V_1), (V_9, V_3)$

Erkennen von Fall b):

Teste in der Kandidatenmenge, ob ein Pkt auf der anderen Seite von g liegt. (Orientierung)

$\Rightarrow (a_{i+1}, b_{i+1})$ in konst. Zeit denn konst. viele Kand.

(Schnittberechnung mit Verfeinerungskanten).

Im Bsp: $i = 0$, $q_0 = V_9 \Rightarrow$ Kandidatenmenge: (V_9, V_1) und (V_9, V_3)

V_1 liegt auf der anderen Seite von g , denn $\text{orient}(V_9, V_1, g) > 0$

\Rightarrow Teil b) erkannt

(bea: $\text{orient}(V_9, V_3, g) \leq 0$)

- Laufzeit:
- $O(1)$ pro Hierarchiestufe
 - Haben nur $O(\log n)$ Stufen
- $\Rightarrow O(\log n)$ für die erste Phase.

Nach Phase 1 haben wir zwei Fälle:

Fall a) \Rightarrow fertig.

Fall b) \Rightarrow machen weiter zu Phase 2.

Phase 2: Geg: $\{a_i, b_i\} = P \cap g$ für $i < k$ (sonst fertig) und es sind keine Ecken (sonst ebenfalls fertig).

Betrachte a_i (b_i analog):

a_{i+1} muss Schnittpunkt sein mit einer Verfeinerungskante von e , wobei $a_i = \text{eng}$

• Bsp: Betrachte $a_0, i=0 < 2$

a_1 ist Schnittpunkt mit Verfeinerungskante von e , wobei $a_0 = \text{eng}$ und der Geraden g .

Die Verfeinerungskanten von e sind (v_s, v_e) und (v_e, v_r)

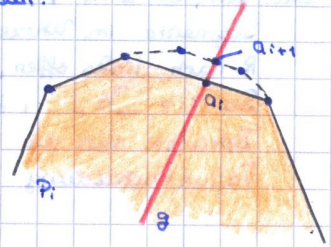
$\Rightarrow a_{i+1}$ kann in Zeit $O(1)$ aus a_i berechnet werden.

(b_{i+1} analog aus b_i)

Weil #Verf.kanten konst. Genauer ≤ 4 .

\Rightarrow Laufzeit von Phase 2 auch $O(\log n)$.

\Rightarrow Gesamte Laufzeit also $O(\log n)$!



2.2.5 Satz: Für ein konvexes Polygon P kann:

1) die hierarchische Darstellung in Zeit $O(n)$ aufgebaut werden.

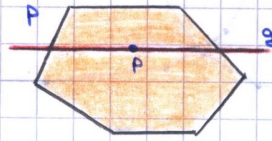
2) braucht Platz $O(n)$

3) für beliebige Gerade g kann $P \cap g$ mit Hilfe der hierarchischen Darstellung in Zeit $O(\log n)$ berechnet werden.

2.2.6 Bem.

1) Teil 3) \Rightarrow Alternativer $\log n$ -Alg. zum Test, ob $P \cap g \neq \emptyset$ ist.

Idee:



$$P \cap g \neq \emptyset \Leftrightarrow P \cap P \cap g$$

- Betr. Gerade g durch p parallel zu x -Achse
- Berechne hieras. Darst.
- Berechne Schnittpunkte
- Schau ob $p_x \in [a_x, b_x]$

\Rightarrow Zeit: $O(1) + O(n) + O(\log n) + O(1) = O(n)$!

2) Hieras. Darstellung auch im \mathbb{R}^3 möglich, dh. für konvexe Polyeder. (dazu später mehr...)

2.3 Weiteres Problem auf konvexen Polygonen: Schnitt von zwei konvexen Polygonen.

2.3.1. Ziel: Geg: zwei konvexe Polygone P, Q

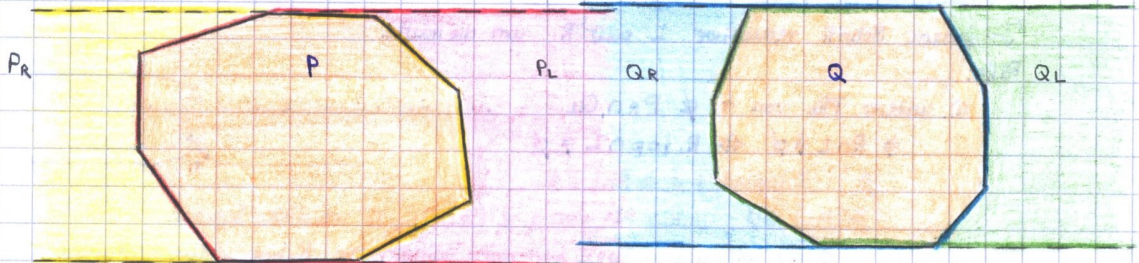
Test ob $P \cap Q \neq \emptyset$

Ann. Wir wissen schon, wie man $P \cap Q$ in Zeit $O(n)$ berechnet, wobei n = Gesamtzahl der Ecken.

2.3.2. Idee:

1) Betrachte ein einfacheres Problem: Test, ob sich zwei polygonale Ketten schneiden.

- Zerlege P in linken (P_L) & rechten (P_R) Rand durch Zerschneiden an Extrempunkten gemäß y_x -Sortierung der Ecken.
- Erweitere durch entsprechende horizontale Strahlen.



Beobachtung: $P \cap Q \neq \emptyset \Leftrightarrow P \cap Q \cap R \neq \emptyset \wedge P \cap R \cap Q \neq \emptyset$

Beweis: $P \cap Q \neq \emptyset \Rightarrow P \cap R \cap Q \neq \emptyset \wedge P \cap Q \cap R \neq \emptyset$ klar.

Für P mit $P \cap R \cap Q \neq \emptyset \Leftrightarrow P \cap Q \neq \emptyset$
(hierbei gilt auch $P \cap Q \cap R \neq \emptyset$)

Für Q mit $Q \cap R \cap P \neq \emptyset \Leftrightarrow P \cap Q \neq \emptyset$
(hierbei gilt auch $Q \cap L \cap P \neq \emptyset$)

\Rightarrow Falls $P \cap R \cap Q \neq \emptyset \wedge P \cap Q \cap R \neq \emptyset \Rightarrow P \cap Q \neq \emptyset$

2). Lösung des einfacheren Problems:

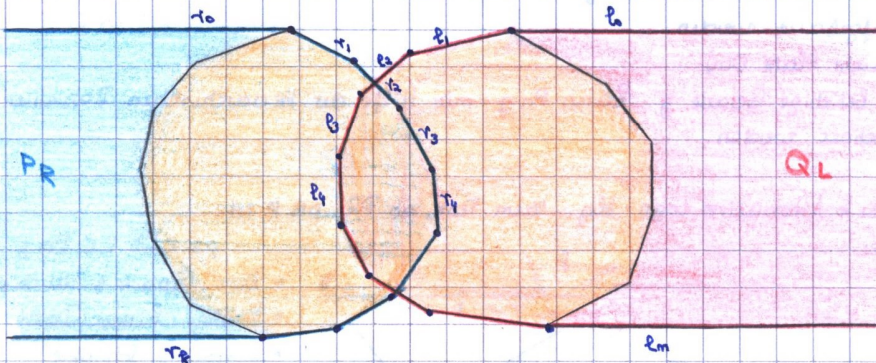
Bea: Wir wissen nicht, ob P linkes und Q rechtes Polygon oder umgekehrt.

Idee: Test, ob $L \cap R \neq \emptyset$ in Zeit $O(\log n)$, wobei $R = r_0 \dots r_k$ gegeben durch die Segmente im Uhrzeigersinn (r_0, r_k Strahlen) und $L = l_0 \dots l_m$ analog gg. Uhrzeigersinn. R nach links offen, L nach rechts offen.

Sei $i := \lfloor \frac{m}{2} \rfloor, j := \lfloor \frac{k}{2} \rfloor$

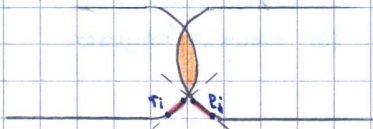
Betrachte nun die mittleren Segmente r_i und l_j .

Fallunterscheidung gemäß der Lage von l_j und r_i auf Geraden R_i und L_j .



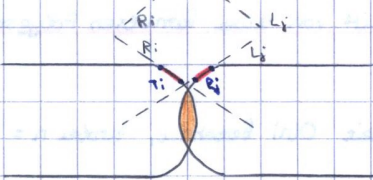
Es gibt nun mehrere Fälle:

1)



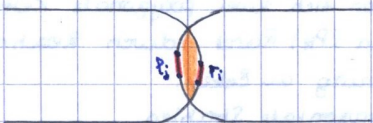
$\leftarrow P \cap Q$ oberhalb von den unteren Endpunkten von r_i und l_j

2)



$\leftarrow P \cap Q$ unterhalb von den oberen Endpunkten von r_i und l_j

3)



\leftarrow Endpunkte von r_i und $l_j \in P \cap Q$
(Bea: Hierbei müssen sich die Polygone nicht notw. schneiden!)

Wir betrachten hier Fall 1

In jedem Schritt reduziere L oder R um die Hälfte.

Fälle:

a). unterer Pkt von $r_i \notin P \cap Q$

$\Rightarrow R \cap L \neq \emptyset \Leftrightarrow R \cdot \text{top} \cap L \neq \emptyset$

\Leftarrow " : $R \cdot \text{top} \cap L \neq \emptyset \Rightarrow R \cap L \neq \emptyset$

\Rightarrow " $P \cap L \neq \emptyset$, unterer Pkt von $r_i \notin P \cap Q$, r_i mittleres Segment

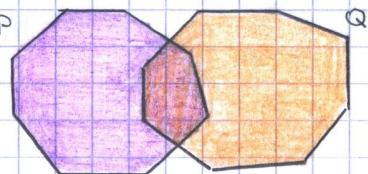
\Rightarrow da wir uns im Fall 1 befinden, können wir $R \cdot \text{bot}$ tauschmüssen.

$\Rightarrow R \cdot \text{top} \cap L \neq \emptyset$.



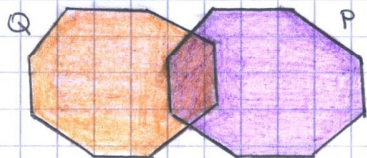
Beobachtung: $P \cap Q \neq \emptyset \Leftrightarrow P \cap Q \neq \emptyset \wedge P \cap Q \neq \emptyset$.

Denn:



Hier: $P \cap Q \neq \emptyset \Leftrightarrow P \cap Q \neq \emptyset$

Bea: Man weiß in der Regel nicht, welches Polygon rechts und welches links liegt.



Hier: $P \cap Q \neq \emptyset \Leftrightarrow P \cap Q \neq \emptyset$

\Rightarrow insgesamt gilt also: falls $P \cap Q \neq \emptyset \wedge P \cap Q \neq \emptyset \Rightarrow P \cap Q \neq \emptyset$

" \Leftarrow " klar

\Rightarrow die obige Beh.

2) Lösung des einfacheren Problems:

Idee: Test, ob $L \cap R \neq \emptyset$ in Zeit $O(\log n)$, wobei $R = \{r_0 \dots r_n\}$ und $L = \{l_0 \dots l_m\}$ gegeben durch die Segmente im Uhrzeigersinn (für R) und gegen Uhrzeigersinn (für L).

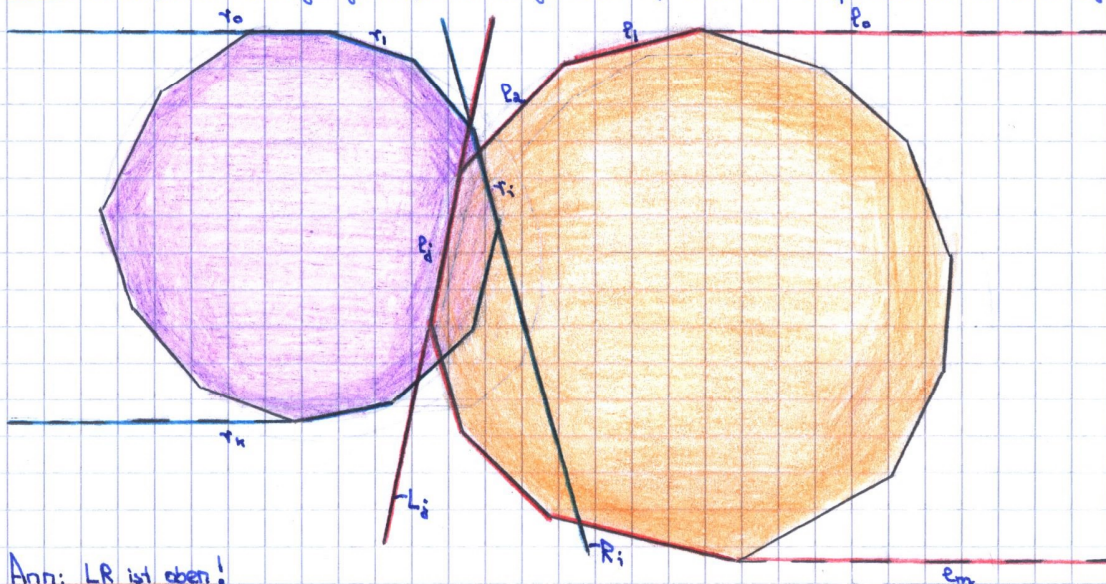
(r_0 und r_n bzw. l_0 und l_m sind Strahlen).

R ist nach links offen und L nach rechts offen.

Sei $i := \lfloor m/2 \rfloor$ und $j := \lfloor n/2 \rfloor$

Betrachte nun die mittleren Segmente r_i und l_j

Nun: Fallunterscheidung gemäß der Lage von l_j und r_i auf Geraden R_i und L_j :



Ann: LR ist oben!

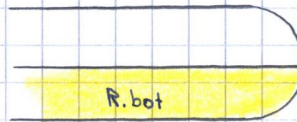
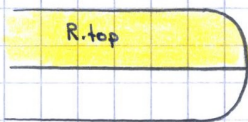
In jedem Schritt reduziere L oder R um die Hälfte.

Fälle:

a) unterer Pkte von r_i ist nicht in LR

$\Rightarrow R \cap L \neq \emptyset \Leftrightarrow R.top \cap L \neq \emptyset$

wobei:



b) unterer Pkte von l_j ist nicht in LR.

$\Rightarrow R \cap L \neq \emptyset \Leftrightarrow R.L.top \neq \emptyset$

c) beide unteren Pkte sind in LR

vi) falls u_{r_i} unterhalb von u_{l_j}

$\Rightarrow R \cap L \neq \emptyset \Leftrightarrow R.top \cap L \neq \emptyset$

lii) falls u_{l_j} unterhalb von u_{r_i}

$\Rightarrow R \cap L \neq \emptyset \Leftrightarrow R \cap L.top \neq \emptyset$

Hierbei: $u_{r_i} \hat{=}$ unterer Endpunkte von r_i
 $u_{l_j} \hat{=}$ unterer Endpunkte von l_j .

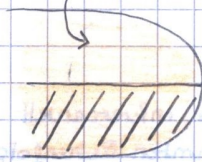
⇒ In Zeit $O(i)$ wird entweder L oder R auf die Hälfte reduziert.
Wiederhole nun bis l_j sich mit r_i überschneidet oder bis nur noch konstante Größe von L und R.

2.3.3. Laufzeit: sei $R + m + 2 =: n$

⇒ der eigentliche Test, ob $L \cap R \neq \emptyset$ in Zeit $O(\log n)$.

Kleines Beispiel zur Veranschaulichung:

bea: R.top:



R.bot:



B. unterer Pkt von P_j nicht $\in L \cap L$

$\Rightarrow R \cap L \neq \emptyset \Leftrightarrow R \cap L.top \neq \emptyset$

\Rightarrow Man teilt also so weiter bis nur ein Segment übrig bleibt.

c) beide unteren Pkte $\in L \cap L$

\Rightarrow Ketten schneiden sich.

\Rightarrow In Zeit $O(1)$ wird entweder L oder R auf die Hälfte reduziert.

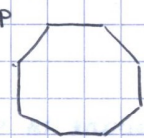
Niederhole bis r_i sich mit P_j schneiden oder bis nur noch konstante Größe von L und R also bis nur jeweils ein Segment übrig geblieben ist.

2.3.3. Laufzeit:

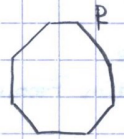
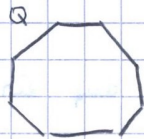
Sei $k+m =: n \Rightarrow$ Test ob $L \cap R \neq \emptyset$ in Zeit $O(\log n)$.

Zusatz: bea: $P_n Q \neq \emptyset \Leftrightarrow P_L \cap Q_R \neq \emptyset \wedge P_R \cap Q_L \neq \emptyset$

Skizze:



$\Rightarrow P_n Q \neq \emptyset \Leftrightarrow P_R \cap Q_L \neq \emptyset$



$\Rightarrow P_n Q \neq \emptyset \Leftrightarrow Q_R \cap P_L \neq \emptyset$

$\Rightarrow P_n Q \neq \emptyset \Leftrightarrow P_R \cap Q_L \neq \emptyset \wedge Q_R \cap P_L \neq \emptyset$

Ferner: $P_n Q \neq \emptyset \Leftrightarrow L \cap R \neq \emptyset$

\Rightarrow Haben unser Problem auf ein einfacheres zurückgeführt und es mit Zeit $O(\log n)$ gelöst.

Wg. Äquivalenz \Rightarrow Test ob $P_n Q \neq \emptyset$ in Zeit $O(\log n)$.

Kapitel III: Das Plane Sweep Verfahren.

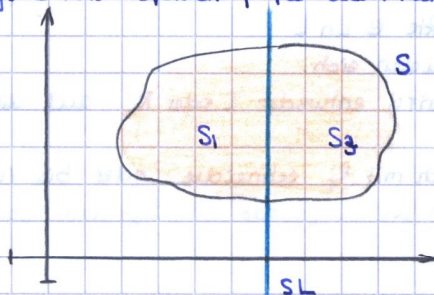
3.1. Einführung:

3.1.1. Idee:

Allg. Ansatz zw. log. geom. Probleme in der Ebene, die inkrementell durch schrittweises Betrachten der Eingabedaten in einer bestimmten Reihenfolge gelöst werden können.

dh. meistens von links nach rechts (x-Ordnung).

Genauer: Man schiebt / bewegt eine sog. Sweepline, also eine vertikale Gerade SL über die Menge S von Objekten, für die man ein Problem lösen möchte.



Im Allg. zerlegen wir S in drei Mengen:

- S_1 links von SL
(Teilproblem für S ist gelöst).
- S_2 rechts von SL
Objekte, die wir noch nicht kennen.
- $S_2 = S \cap SL$
alle Objekte die von SL geschnitten werden.

3.1.2. Bem: S_2 stellt den Teil der Eingabe dar, der noch relevant ist zur Berechnung restlicher Log. (für S_2)

S_2 ist eine dynamische 1-dim. Menge.

⇒ Reduzierung eines statischer 2-dim. Problems auf ein dynamisches 1-dim. Problem.

(dies dynam. 1-dim. Probleme werden balancierte Suchbäume sein.).

3.1.3. Bem:

Wir haben spezielle Varianten des SL -Verfahrens kennen gelernt:

- inkrementelle konv. Hülle
13.8. Graham's Scan für beide Hüllen gleichzeitig
- Triangulierung.
Übung.

3.2. Line Segment Intersection

Schnitt von Geradensegmenten / Strecken.

3.2.1. Problem:

Geg: Menge S von n Segmenten

Ges: alle Schnittpunkte.

(Bzw. Unterteilung der Ebene in Graph)

Grundoperation: $s_i \cap s_j \quad \forall s_i, s_j \in S$

(dies geht in konst. Zeit $O(1)$ mit Orientierungstest).

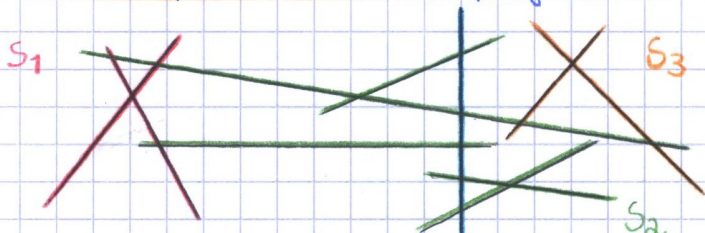
3.2.2. Triviale Log:

Teste alle Paare nacheinander

⇒ Laufzeit $O(n^2)$.

3.2.3. Ziel: outputsensitiver Algorithmus, dh. Laufzeit hängt von Zahl der Schnittpunkte ab.

3.2.4. Idee für einen Plane Sweep Algorithmus:



3. Das "Plane-Sweep" Verfahren

3.1 Einleitung

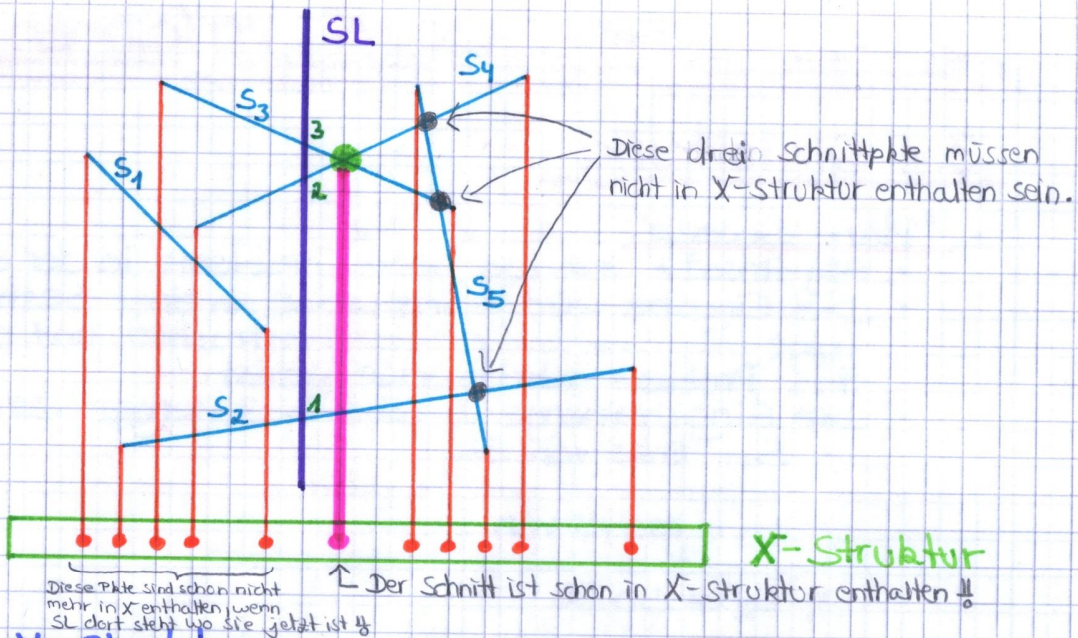
- "Plane Sweep":
 - Allg Ansatz zur Lsg geom Probleme in der Ebene.
 - Die Eingabe wird schrittweise in einer bestimmten Reihenfolge (meist von links nach rechts) betrachtet und dabei wird das Problem schrittweise gelöst.
 - Die Eingabemenge S wird in 3 Mengen zerlegt:
 - S_1 : links von SL
Teilproblem ist für S_1 gelöst
 - S_3 : rechts von SL
Objekte die wir noch nicht kennen
 - $S_2 = S \cap SL$
dynamische 1-dim Menge \Rightarrow Lösen des Problems für $S_1 \cup (S \cap SL)$

\Rightarrow Reduzierung eines statischen 2-dim Problems auf ein dynamisches 1-dim.
- Schon mit Plane Sweep berechnet:
 - Inkrementelle konv Hülle \leadsto Graham's Scan
 - Triangulierung

3.2 Anwendung I: Schnitt von Segmenten

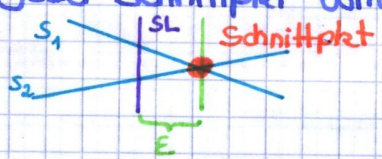
Geg.: Menge S von n Segmenten
Ges.: Alle Schnittpkte

- Trivialer Algorithmus:
Teste alle Paare $\leadsto O(n^2)$ schlecht!!
- Ziel:
Output-sensitiver Algorithmus, dh Laufzeit abhängig von # Schnittpkte
- Da man bei Plane Sweep Verfahren allgemein Events von links nach rechts verarbeitet, benötigt man Datenstrukturen für diese Events: X-Struktur und Y-Struktur
- X-Struktur:
Verwaltung aller Positionen von SL an denen sich $S \cap SL = S_2$ verändert. ($S_2 =$ Folge der von SL geschnittenen Segmente, sortiert nach y -Koord der Schnittpkte mit SL)
 S_2 verändert sich wenn neue Segmente anfangen, alte aufhören oder wenn man einen Schnittpkt von 2 Segmenten erreicht.
Diese Stellen nennt man Events
 - Statische X-Struktur: (einfache Liste)
Dh alle Events sind bekannt zB bei konvexe Hülle, Closest Pair, ...
X-Struktur = sortierte Liste der Eingabepkte
 - Dynamische X-Struktur: (dynamische Warteschlange)
Dh Events sind nicht alle bekannt, sie werden (zum Teil) während des Sweeps berechnet. zB Segmentschnitt



- Y-Struktur:
 Verwaltung der Menge ~~der~~ ^{Segmente welche aktuell einen} ~~der~~ ^{aktuellen} Schnittpunkte mit SL haben
 Diese Segmente sollen von unten nach oben (dh gem ihrem Schnittpunkt mit SL) entlang der SL sortiert werden.

- Dadurch können Schnitttests auf benachbarte Segmente beschränkt werden, nur diese müssen in X-Struktur enthalten sein.
 ⇒ Jeder Schnittpunkt wird E vor ihm erkannt



• Operationen auf X- bzw Y-Struktur beim Segmentschnitt:

- X-Struktur:
 - X.insert (p) // p = Event-Pkt $O(\log n)$
 - X.delete (p) $O(\log n)$
 - X.findmin () // nächstes Event $O(1)$
- Y-Struktur:
 - Y.insert (s) $O(\log n)$
 - Y.delete (s) $O(\log n)$
 - Y.swap (s1, s2) $O(1)$
 - Y.succ (s) // Nachfolger $O(1)$
 - Y.pred (s) // Vorgänger $O(1)$

- Implementierung von X- und Y-Struktur:
 - balancierter, blattorientierter binärer Baum
 - Für Y-Struktur: zusätzliche Verkettung der Blätter

- Invariante:
 X-Struktur enthält zu jedem Zeitpunkt:
 - alle Endpunkte rechts von SL
 - alle Schnittpunkte von in Y benachbarten Segmenten rechts von SL
 ⇒ max n-1 Schnittpunkte in X-Struktur (∃ n Segmente)
 ⇒ Platzbedarf: $O(n)$ wir speichern am Anfang alle linken & rechten Endpunkte, das sind aber auch nur linear viele
 Ohne Invariante bis zu n^2 Schnittpunkte ⇒ Platzbedarf quadratisch, wäre schlecht!!

• Algorithmus:

SWEEP(S)

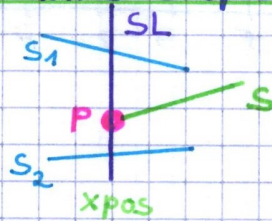
- X-Struktur $X \leftarrow \emptyset$ $O(1)$
- Y-Struktur $Y \leftarrow \emptyset$ $O(1)$
- double $xpos \leftarrow -\infty$ // $xpos$ ist die Position der SL $O(1)$
- forall $s \in S$ do
 - X.insert(s.left) $O(1)$
 - X.insert(s.right) $O(1)$



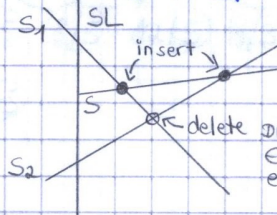
- od
- while $(X \neq \emptyset)$ {
 - $p \leftarrow X.findmin()$
 - $xpos \leftarrow p.xcoord()$ // schiebt SL zum Pkt p

Fallunterscheidungen gemäß der verschiedenen Events:

- switch (p) {
 - case linker Endpkt von s: { 6

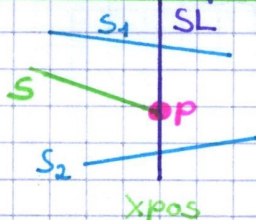


- Y.insert(s)
- $S_1 \leftarrow Y.succ(s)$ S_1 exist nicht immer
- $S_2 \leftarrow Y.pred(s)$ S_2 " "
- X.delete($S_1 \cap S_2$) $S_1 \cap S_2$ " "
- X.insert($S_1 \cap s$) $S_1 \cap s$ " "
- X.insert($s \cap S_2$) $s \cap S_2$ " "



Dieser Schnittpkt wird jetzt gelöscht um Platz zu sparen. Er wird aber später (wenn die SL nahe genug ist) wieder entdeckt.

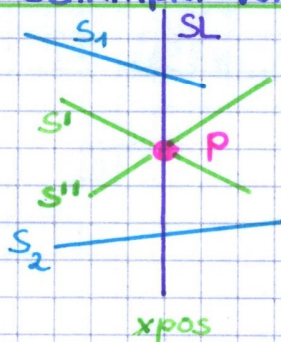
- case rechter Endpkt von s: { 4



- Y.delete(s)
- $S_1 \leftarrow Y.succ(s_2)$
- $S_2 \leftarrow Y.pred(s_1)$
- Y.delete(s)
- X.insert($S_1 \cap S_2$) $S_1 \cap S_2$ liegt recht von SL !!

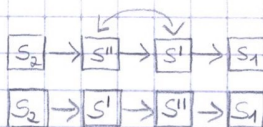


- case schnittpkt von s' und s'': { 8



Geht nicht !!
Weil man in der Y-Strukt. nur Vorgänger & Nachf. kennt. Und wenn s weg ist, weiß man nicht mehr dass es zw. s_1 und s_2 war, dass man diese beiden jetzt neu "verbinden" muss.

$S_1 \leftarrow Y.\text{succ}(s')$
 $S_2 \leftarrow Y.\text{pred}(s'')$
 $Y.\text{swap}(s', s'')$
 $X.\text{delete}(S_1, s')$
 $X.\text{delete}(S_2, s'')$
 $X.\text{insert}(S_1, s'')$
 $X.\text{insert}(S_2, s')$
 Ausgabe: "p = s' n s"



}
 end switch } X.delete(p)
 end while }

• Annahmen:

- Alle x-Koordinaten von Segment-Anf-, -End- und -Schnittpktn sind paarweise verschieden dh in einem Pkt schneiden sich höchstens 2 Segmente
- ~~A~~ vertikalen Segmente

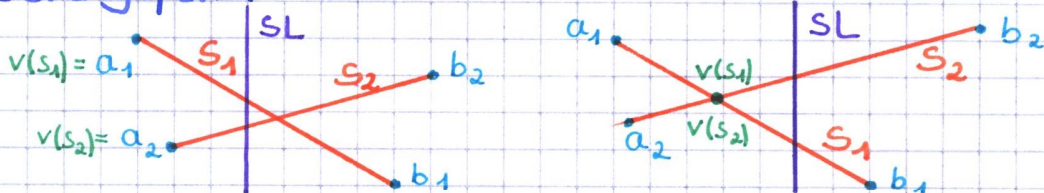
• Laufzeit:

- Alle Operationen auf X und Y benötigen höchstens Zeit $O(\log n)$ (siehe: Operationen auf X bzw Y-Struktur, 2 Seiten vorher)
 - Die Initialisierung vor der while-Schleife benötigt Zeit $O(n \log n)$ Einfügen von 2n Anfangs- bzw Endpktn
 - Die while-Schleife wird $2n + s$ $s \hat{=} \#$ Schnittpkte mal ausgeführt. Jeder Schleifendurchlauf kostet $O(\log n)$ da in jedem Fall konstant viele Operationen auf X und Y und konstant viele Schnitttests ausgeführt werden
- \Rightarrow insgesamt: $O((n+s) \log n) = O(n \cdot \log n + s \cdot \log n)$
 Dies ist wie gewünscht output-sensitiv!

3.2.1 1. Modifikation

orientation-Tests statt "compare" Fkt

- Zur Definition der linearen Ordnung in der Y-Struktur wurde im obigen Algorithmus die "compare"-Fkt verwendet. Anstelle dieser Fkt werden jetzt nur noch orientation-Tests durchgeführt.



Für jedes Segment s in Y werden der letzte Schnittpkt bzw der linke Endpkt als $v(s)$ gespeichert.

1. Fall: orientation($v(s_1), b_1, v(s_2)$) > 0

$\Rightarrow S_1 < S_2$

2. Fall: orientation($v(s_1), b_1, v(s_2)$) < 0

$\Rightarrow S_1 > S_2$

3. Fall: orientation($v(s_1), b_1, v(s_2)$) = 0

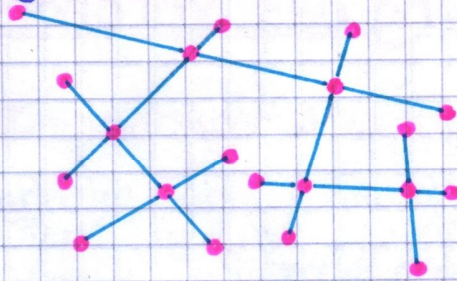
$\Rightarrow v(s_1) = v(s_2)$

$< 0 \Rightarrow S_1 > S_2$
 $= 0 \Rightarrow$ collinear
 $> 0 \Rightarrow S_1 < S_2$

3.2.2 2. Modifikation

Ausgabe des planaren Graphen

- Ausgabe des planaren Graphen:



$$G = (V, E)$$

V : Anf-, End- und Schnittpkte

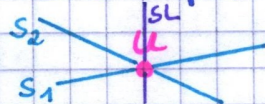
E : Intervalle durch Zerlegung der Segmente durch V

- Erzeugung von Knoten:

- für jeden Anf- und Endpkt der Segmente
- für jeden Schnittpkt der Segmente

- Erzeugung von Kanten:

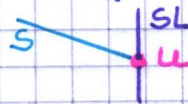
- bei Schnittpkt:



2 neue Kanten entstehen:

$v(s_1) \leftrightarrow u$ und $v(s_2) \leftrightarrow u$ (jeweils 2 fach gerichtet)

- bei Endpkt:



1 neue Kante entsteht:

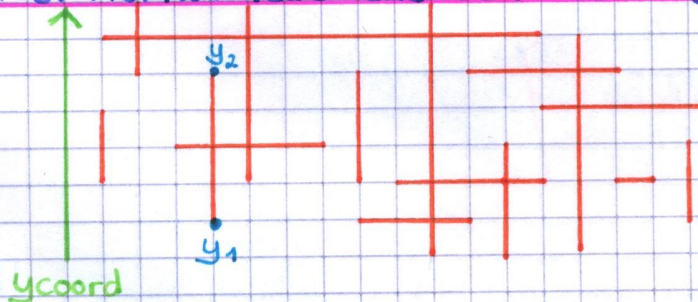
$v(s) \leftrightarrow u$

(2 fach gerichtet)

3.2.3 3. Modifikation

nur horizontale und vertikale Segmente

- Nur horizontale und vertikale Segmente:



$n = 16$ (# Segmente)

$s = 10$ (# Schnittpkte)

$l = 9$ (# vertikale Segmente)

- Events:

- linker Endpkt von Horizontalen
- rechter Endpkt von Horizontalen
- vertikales Segment

} Einfügen und löschen

} Test ob Schnittpkte exist

- 1-dim Bereichsabfrage: hat immer Zeit $O(\log n + s)$ $s =$ Ausgabe
Welche horizontalen Segmente in Y drinstehen

$$\sum_{i=1}^l \log n + k_i \text{ für } l \text{ vertikale Segmente}$$

$$\text{Hier: } \log n + 0 + \log n + 1 + \log n + 1 + \log n + 2 + \log n + 0 + \log n + 3 + \log n + 1 + \log n + 2 + \log n + 0 = 9 \cdot \log n + 10$$

$$\Rightarrow O(n \cdot \log n + s)$$

hier zwar $q = l \neq n$ aber es könnte ja sein, dass nur vertikale Segmente existieren! (dann wäre $l = n$)

- Laufzeit:
 $O(n \cdot \log n + s)$

• Algorithmus:

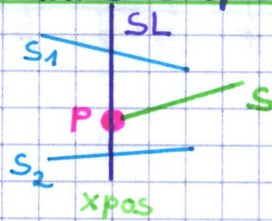
SWEEP(S)

- X-Struktur $X \leftarrow \emptyset$ $O(1)$
- Y-Struktur $Y \leftarrow \emptyset$ $O(1)$
- double $xpos \leftarrow -\infty$ // $xpos$ ist die Position der SL $O(1)$
- forall $s \in S$ do
 - X.insert(s.left)
 - X.insert(s.right)

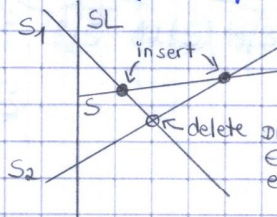


- od
 - while ($X \neq \emptyset$) {
 - $p \leftarrow X.findmin()$
 - $xpos \leftarrow p.xcoord()$ // schiebt SL zum Pkt p
- Fallunterscheidungen gemäß der verschiedenen Events:

• case linker Endpkt von s: { 6

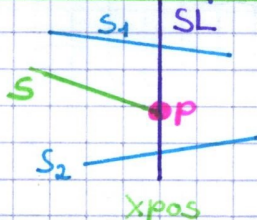


- Y.insert(s)
- $S_1 \leftarrow Y.succ(s)$ S_1 exist nicht immer
- $S_2 \leftarrow Y.pred(s)$ S_2 " " "
- X.delete($S_1 \cap S_2$) $S_1 \cap S_2$ " " "
- X.insert($S_1 \cap s$) $S_1 \cap s$ " " "
- X.insert($s \cap S_2$) $s \cap S_2$ " " "



dieser Schnittpkt wird jetzt gelöscht um Platz zu sparen. Er wird aber später (wenn die SL nahe genug ist) wieder entdeckt.

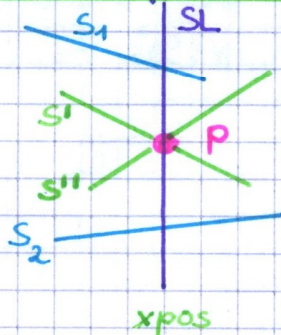
• case rechter Endpkt von s: { 4



- Y.delete(s)
- $S_1 \leftarrow Y.succ(S_2)$
- $S_2 \leftarrow Y.pred(S_1)$
- Y.delete(s)
- X.insert($S_1 \cap S_2$) $S_1 \cap S_2$ liegt recht von SL !!

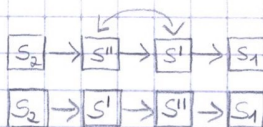


• case schnittpkt von s' und s'': { 8



Geht nicht !!
Weil man in der Y-Strukt. nur Vorgänger & Nachf. kennt. Und wenn s weg ist, weiß man nicht mehr dass es zw. s_1 und s_2 war, dass man diese beiden jetzt neu "verbinden" muss.

$S_1 \leftarrow Y.\text{succ}(s')$
 $S_2 \leftarrow Y.\text{pred}(s'')$
 $Y.\text{swap}(s', s'')$
 $X.\text{delete}(S_1, s')$
 $X.\text{delete}(S_2, s'')$
 $X.\text{insert}(S_1, s'')$
 $X.\text{insert}(S_2, s')$
 Ausgabe: "p = s' n s"



} end switch } X.delete(p)
 end while }

• Annahmen:

- Alle x-Koordinaten von Segment-Anf-, -End- und -Schnittpktn sind paarweise verschieden dh in einem Pkt schneiden sich höchstens 2 Segmente
- ~~A~~ vertikalen Segmente

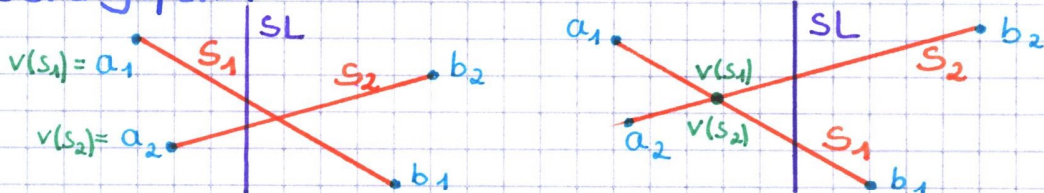
• Laufzeit:

- Alle Operationen auf X und Y benötigen höchstens Zeit $O(\log n)$ (siehe: Operationen auf X bzw Y-Struktur, 2 Seiten vorher)
 - Die Initialisierung vor der while-Schleife benötigt Zeit $O(n \log n)$ Einfügen von 2n Anfangs- bzw Endpktn
 - Die while-Schleife wird $2n + s$ $s \hat{=} \# \text{ Schnittpkte}$ mal ausgeführt. Jeder Schleifendurchlauf kostet $O(\log n)$ da in jedem Fall konstant viele Operationen auf X und Y und konstant viele Schnitttests ausgeführt werden
- \Rightarrow insgesamt: $O((n+s) \log n) = O(n \cdot \log n + s \cdot \log n)$
 Dies ist wie gewünscht output-sensitiv!

3.2.1 1. Modifikation

orientation-Tests statt "compare" Fkt

- Zur Definition der linearen Ordnung in der Y-Struktur wurde im obigen Algorithmus die "compare"-Fkt verwendet. Anstelle dieser Fkt werden jetzt nur noch orientation-Tests durchgeführt.



Für jedes Segment s in Y werden der letzte Schnittpkt bzw der linke Endpkt als $v(s)$ gespeichert.

1. Fall: orientation($v(s_1), b_1, v(s_2)$) > 0

$\Rightarrow S_1 < S_2$

2. Fall: orientation($v(s_1), b_1, v(s_2)$) < 0

$\Rightarrow S_1 > S_2$

3. Fall: orientation($v(s_1), b_1, v(s_2)$) = 0

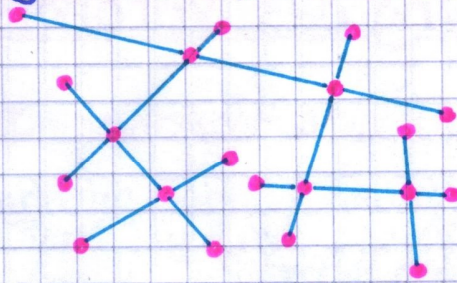
$\Rightarrow v(s_1) = v(s_2)$

$< 0 \Rightarrow S_1 > S_2$
 $= 0 \Rightarrow \text{collinear}$
 $> 0 \Rightarrow S_1 < S_2$

3.2.2 2. Modifikation

Ausgabe des planaren Graphen

Ausgabe des planaren Graphen:



$$G = (V, E)$$

V : Anf-, End- und Schnittpkte

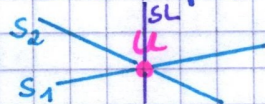
E : Intervalle durch Zerlegung der Segmente durch V

Erzeugung von Knoten:

- für jeden Anf- und Endpkt der Segmente
- für jeden Schnittpkt der Segmente

Erzeugung von Kanten:

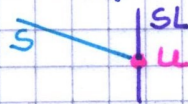
- bei Schnittpkt:



2 neue Kanten entstehen:

$$v(s_1) \leftrightarrow u \text{ und } v(s_2) \leftrightarrow u \quad (\text{jeweils 2 fach gerichtet})$$

- bei Endpkt:



1 neue Kante entsteht:

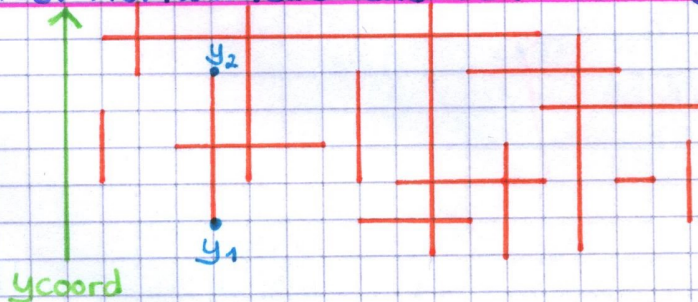
$$v(s) \leftrightarrow u$$

(2 fach gerichtet)

3.2.3 3. Modifikation

nur horizontale und vertikale Segmente

Nur horizontale und vertikale Segmente:



$$n = 16 \quad (\# \text{ Segmente})$$

$$s = 10 \quad (\# \text{ Schnittpkte})$$

$$l = 9 \quad (\# \text{ vertikale Segmente})$$

Events:

- linker Endpkt von Horizontalen
- rechter Endpkt von Horizontalen
- vertikales Segment

} Einfügen und löschen

} Test ob Schnittpkte exist

- 1-dim Bereichsabfrage: hat immer Zeit $O(\log n + s)$ $s =$ Ausgabe
Welche horizontalen Segmente in Y drinstehen

$$\sum_{i=1}^l \log n + k_i \quad \text{für } l \text{ vertikale Segmente}$$

$$\text{Hier: } \log n + 0 + \log n + 1 + \log n + 1 + \log n + 2 + \log n + 0 + \log n + 3 + \log n + 1 + \log n + 2 + \log n + 0 =$$

$$= 9 \cdot \log n + 10$$

$$\Rightarrow O(n \cdot \log n + s)$$

hier zwar $q = l \neq n$ aber es könnte ja sein, dass nur vertikale Segmente existieren! (dann wäre $l = n$)

Laufzeit:

$$O(n \cdot \log n + s)$$

3.3 Anwendung II: Post Office Probleme

3.3.1 Definition des Voronoi-Diagramms

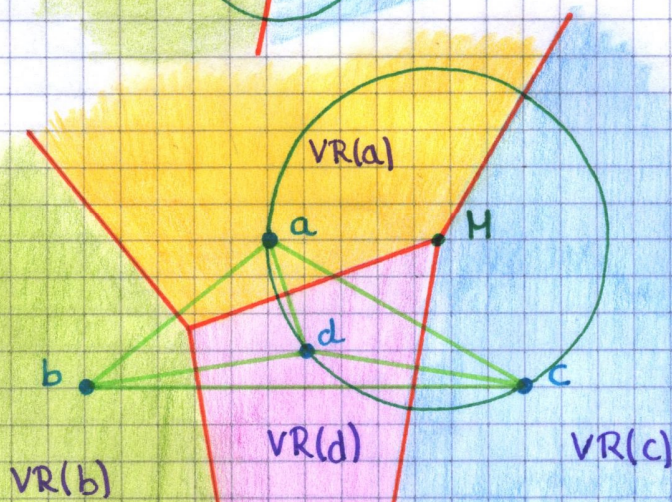
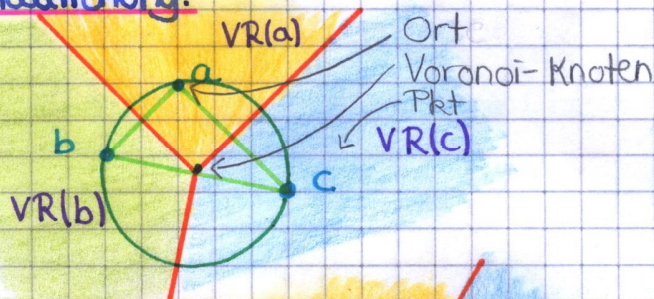
- Das Voronoi-Diagramm ist eine wichtige geometrische Datenstruktur zur Lsg der sog. "Post Office Probleme"
 Geg.: Menge S von n Orten (z.B. Postämter)
 Ges.: Ort $x \in S$, sodass $\text{dist}(p, x)$ minimal für $p \in \mathbb{R}^2$ bel
- Idee:
 - Berechne für jeden Ort $x \in S$ das Gebiet aller Pkte, deren Abstand zu x kleiner (gleich) ist, als zu allen anderen Orten $\in S$.
 → planare Unterteilung: Voronoi-Diagramm von S
 - Teste für Eingabepkt $p \in \mathbb{R}^2$ in welchem Gebiet des VD(S) er liegt.
 → Teilproblem: Point Location

- Definition:
 Voronoi-Region für Ort $x \in S$:

$$VR(x) := \{p \in \mathbb{R}^2 : \text{dist}(x, p) \leq \text{dist}(y, p) \text{ für } x \neq y\}_{y \in S, y \text{ Ort}}$$

$$= \bigcap_{y \in S \setminus \{x\}} H(x, y)$$
 ⇒ $VR(x)$ ist konvexes Polygon als Schnitt von $n-1$ Halbebenen

Veranschaulichung:

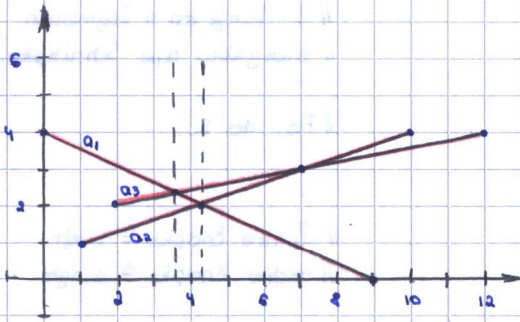


$M =$ Mittelpunkt des Umkreises durch a, d, c
 = Schnittpkt der Mittelsenkrechten

dualer Graph = hellgrün (Kreiseigenschaft muss dabei erfüllt sein !!)

planarer Graph = orange aber auch = hellgrün

Beispiel zum Alg.:



$$X = \{(0,4), (1,1), (2,2), (3,0), (10,4), (12,4)\}$$

$p = (0,4)$, linker Endpunkt

$$\Rightarrow Y = \{a_1\}, s_1 = s_2 = \emptyset, X \leftarrow \{(1,1), (2,2), (3,0), (10,4), (12,4)\}$$

$p = (1,1)$, linker Endpunkt

$$\Rightarrow Y = \{a_2, a_1\}, s_1 = a_1, s_2 = \emptyset, X \leftarrow s_1 \cap s_2 = a_1 \cap a_2 \approx (4,2)$$

$$\Rightarrow X = \{(2,2), (4,2,2), (3,0), (10,4), (12,4)\}$$

$p = (2,2)$, linker Endpunkt

$$\Rightarrow Y = \{a_2, a_3, a_1\}, s_1 = a_1, s_2 = a_2, X \leftarrow X \setminus (4,2,2), X \leftarrow a_1 \cap a_3 \approx (3,5,2,5), X \leftarrow a_2 \cap a_3 \approx (7,3)$$

$$\Rightarrow X = \{(3,5,2,5), (7,3), (3,0), (10,4), (12,4)\}$$

$p = (3,5,2,5)$ Schnittpunkt von a_1 und a_3

$$\Rightarrow s'_1 = a_1, s'_2 = a_3, s_1 = \emptyset, s_2 = a_2, Y = \{a_2, a_1, a_3\}$$

$$X \leftarrow X \setminus a_2 \cap a_3, X \leftarrow a_1 \cap a_2 \approx (4,2,2)$$

$$\Rightarrow X = \{(4,2,2), (3,0), (10,4), (12,4)\}$$

"Ausgabe: $p = a_1 \cap a_3$ "

$p = (4,2,2)$ Schnittpunkt von a_1 und a_2

$$\Rightarrow s'_1 = a_1, s'_2 = a_2, s_1 = a_3, s_2 = \emptyset, Y = \{a_1, a_2, a_3\}$$

$$X \leftarrow X \setminus a_1 \cap a_3, X \leftarrow a_2 \cap a_3 \approx (7,3)$$

$$\Rightarrow X = \{(7,3), (3,0), (10,4), (12,4)\}$$

"Ausgabe: $p = a_1 \cap a_2$ "

$p = (7,3)$ Schnittpunkt von a_3 und a_2

$$\Rightarrow s'_1 = a_3, s'_2 = a_2, s_1 = \emptyset, s_2 = a_1, Y = \{a_1, a_3, a_2\}$$

$$X \leftarrow X \setminus a_1 \cap a_2 \quad // \text{ ist links von } s_L, \text{ also nicht mehr in } X$$

$$X \leftarrow a_1 \cap a_3 \quad // \text{ links von } s_L \Rightarrow \text{ nicht einfügen}$$

$$\Rightarrow X = \{(9,0), (10,4), (12,4)\}$$

"Ausgabe: $p = a_3 \cap a_2$ "

$p = (9,0)$ rechter Endpunkt

$$\Rightarrow s_2 = a_3, s_1 = \emptyset, Y = \{a_3, a_2\}$$

$$\Rightarrow X = \{(10,4), (12,4)\}$$

$p = (10,4)$ rechter Endpunkt

$$\Rightarrow s_2 = \emptyset, s_1 = a_3, Y = \{a_3\}$$

$$\Rightarrow X = \{(12,4)\}$$

$p = (12,4)$ rechter Endpunkt

$$\Rightarrow s_1 = s_2 = \emptyset, Y = \emptyset, X = \emptyset$$

3.2.11. Geometrische Primitive (Prädikate Operatoren).

1. Schritt von zwei Segmenten:

• Test + Berechnung

2. Lineare Ordnung auf Y-Struktur.

• abh. von xpos der SL

• Datenstruktur (binärer blatt orientierter Suchbaum)

verwendet eine Fkt. compare zum Vergleich von zwei Segmenten.

Suchbaum: $(lookup(s), compare(s, s'))$

Mögl. Implementierung:

$compare(s_1, s_2)$ // berechne y-Koordinaten der Schnittpunkte der Geradengleichungen v. s_1 und s_2 mit SL.

$$y_1 \leftarrow f_1(x_{pos})$$

$$y_2 \leftarrow f_2(x_{pos})$$

wobei $f_1(x) = a_1x + b_1 \wedge f_2(x) = a_2x + b_2$ Keine Vertikalen.

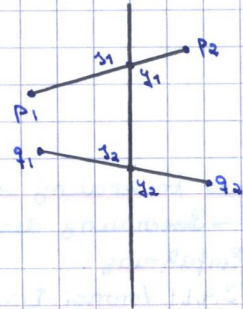
return $compare(y_1, y_2)$

Übung: verwende nur orientation-Aufrufe.

Lsg: $if(orientation(p_1, p_2, s_2) > 0) \Rightarrow y_1 > y_2$

$if(orientation(q_1, q_2, s_1) > 0) \Rightarrow y_2 > y_1$

"=" gibt es nicht...



3. Lineare Ordnung auf X-Struktur.

= lexik. xy-Ordnung von Pkten.

(Vergleich zweier Pkte p und q)

→ $compare(p, q)$

$$\Delta x \leftarrow |q.x_{coord}() - p.x_{coord}();$$

$if(\Delta x \neq 0) then$

return $sign(\Delta x)$

else

return $sign(q.y_{coord}() - p.y_{coord}());$

4. Test, ob Pkt p rechts von SL

Initial

$if(SL, p, p.x_{coord}) < 0 \Rightarrow$ rechts von SL

> 0 links

$= 0$ auf.

3.2.12 Bem:

Bisher Segmente in allgemeiner Lage

a) keine drei Segmente schneiden sich in einem Pkt

b) Alle Endpunkte haben verschiedene x-Koordinaten.

c) keine vertikalen Segmente.

In der Praxis unrealistisch!

→ Lsg: Modifizierter Alg., der mit degenerierten Eingaben umgehen kann.

→ siehe Übung dazu.

3.2.13 Varianten des Problems:

→ 3.2.13.1. Red/Black-Intersection Problem:

Haben zwei Mengen von Segmenten S_1 und S_2

Aufgabe ist: Berechne Schnittpkte $s_1 s_2 \forall s_1 \in S_1 \wedge \forall s_2 \in S_2$

→ 3.2.13.2 Kurvensegmente:

z.B. Kreisbögen

→ Übung

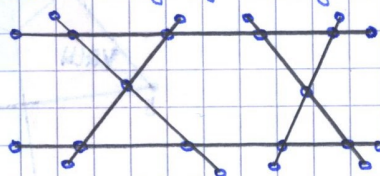
→ 3.2.13.3 Berechnung der planaren Unterteilung der Ebene

→ planarer Graph.

$$G = (V, E)$$

V = Endpunkte und Schnittpkte

E = Intervalle durch Zerlegung der Segmente durch V



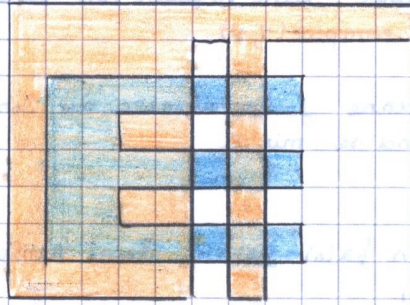
3.3 Erste Anwendung von Plane Sweep:

→ Schnitt von beliebigen Polygonen.

- setzt sich zusammen aus Flächen der planaren Unterteilung.
- Flächen können best. boolesche Operationen zugeordnet werden.

→ Bestimmung der planaren Unterteilung

→ Übung (Konstruktion des Graphen...)



3.4 Zweite Anwendung von Plane Sweep:

→ Berechnung des Voronoi-Diagramms.

3.4.1 Einführung:

→ 3.4.1.1. Voronoi-Diagramm:

- (wichtigste geom. Struktur)
- $\subseteq \mathbb{R}^2$
- Datenstr. zur Lsg. des sog. "Post Office P"

→ 3.4.1.2. Problem:

Geg: Menge S von n Orten in einer Ebene (z.B. Postämter)

Aufgabe: Finde $\forall p \in \mathbb{R}^2$ den Ort $x \in S$, so, dass $\text{dist}(p, x)$ minimal.

→ 3.4.1.3. Mögl. Variationen:

Orte: Pkte, Segmente, Kreise, Polygone

Abstand: • Euklidischer

- Manhattan-Metrik
- L_∞
- gewichtet

...

Wir betrachten hier pktförmige Orte mit dem eukl. Abstand im \mathbb{R}^2 .

→ 3.4.1.4. Idee:

1) Berechne für jeden Ort $x \in S$ das Gebiet aller Pkte, deren Abstand zu x kleiner oder gleich ist als zu allen anderen Orten.

→ man bekommt eine planare Unterteilung und diese heißt Voronoi-Diagramm von S .

2) Teste für Eingabepkt $p \in \mathbb{R}^2$, in welchem Gebiet des Voronoi-Diagramms er liegt

→ Teilproblem: Point-Location.

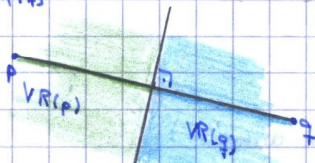
3.4.2. Voronoi-Diagramm:

→ 3.4.2.1. Definition: Geg $S = \{x_1, \dots, x_n\}$.

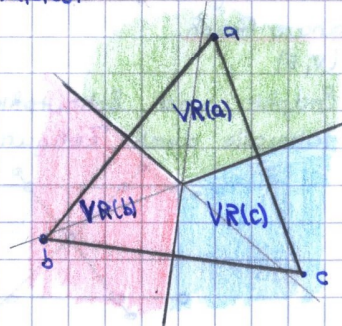
$VR(x_i) := \{p \in \mathbb{R}^2 : \text{dist}(p, x_i) \leq \text{dist}(p, x_j), \forall x_i \neq x_j\}$ heißt Voronoi-Region für x_i ($i \in \{1, \dots, n\}$)

→ 3.4.2.2. Beispiele:

a) $S = \{p, q\}$



b) $S = \{a, b, c\}$



→ 3.4.2.3 Bem: Allgemein für $x, y \in S$ ist $H(x, y) := \{p \in \mathbb{R}^2 : \text{dist}(p, x) \leq \text{dist}(p, y)\}$ ein Halbraum bzw. Halbebene definiert durch Mittelsenkrechte.
 Dann ist \forall Orte $x \in S: VR(x) = \bigcap_{y \in S, y \neq x} H(x, y)$ Schnitt von Halbkreisen.

⇒ $VR(x)$ ist konvexes Polygon.

→ 3.4.2.4 Definition: Das Voronoi-Diagramm für eine Menge S von n Orten $VD(S)$ ist die planare Unterteilung der Ebene, die durch die Menge der Voronoi-Regionen $VR(x), x \in S$, definiert wird.

→ Graph dessen Flächen die Voronoi-Regionen darstellen.

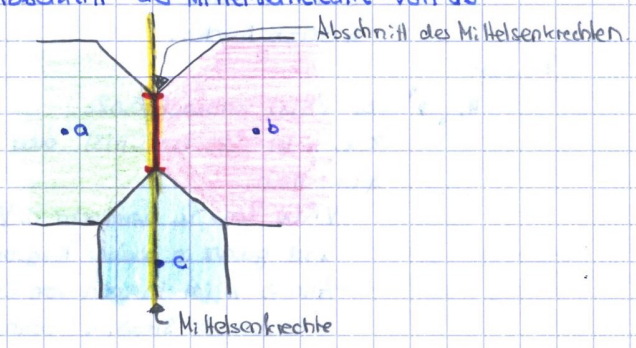
→ 3.4.2.5 Def: Voronoi-Knoten:

def. durch mind. drei Orte a, b, c zu denen sie gleichen Abstand haben

⇒ sie sind Mittelpkte von Kreisen durch a, b, c .

Voronoi-Kanten:

def. durch zwei Orte a, b ; Abschnitt der Mittelsenkrechte von \overline{ab}

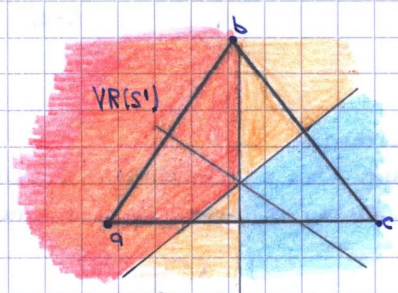


→ 3.4.2.6 Bem:

Verallgemeinerung für Mengen $S' \subseteq S$:

$$VR(S') = \{p \in \mathbb{R}^2 : \text{dist}(p, x) \leq \text{dist}(p, y) \forall x \in S' \wedge y \in S \setminus S'\} = \bigcap_{x \in S'} H(x, y)$$

→ 3.4.2.7 Bsp: $S = \{a, b, c\}, S' = \{a, b\}$.



$$VR(S') = \{p : \text{dist}(p, x) \leq \text{dist}(p, c), x \in S'\}$$

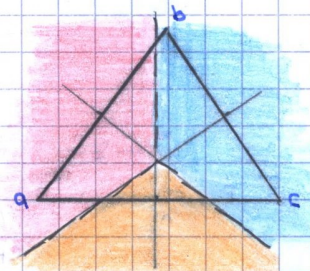
→ 3.4.2.8 Def:

Voronoi-Diagramm der Ordnung k $k \leq n$

$$VD_k(S) := \{VR(S') : S' \subseteq S \text{ mit } |S'| = k\}$$

→ 3.4.2.9 Bsp:

$S = \{a, b, c\}$
 $k = 2$



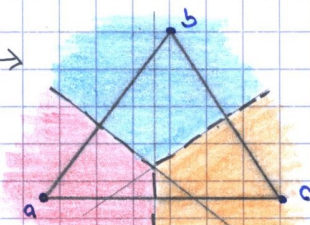
$$\Rightarrow VD_2(S) := \{VR(S') : S' \subseteq \{a, b, c\}, |S'| = 2\}$$

← $VD_2(S)$

$VD_2(S) = \{\text{Mengen } VR(S')\}$

beachte den Unterschied!

Dies ist $VD_1(S)$!



← VR 'en

Jede einzelne $VR = \{Pkte p, \dots\}$

→ 3.4.2.10 Spezialfälle:

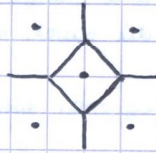
1) "normales" Voronoi-Diagramm: $VD(S) = VD_1(S)$. [closest point VD]

2) VD_{n-1} [farthest point VD]

↑ Voronoi-Regionen sind hier Mengen von Pkten, die von einem Ort weitest entfernt sind als von allen anderen.

Ab jetzt: $VD(S) = VD_1(S)$

Typisches Bsp:



→ 3.4.2.11 Lemma:

a) \forall Orte $x \in S$ gilt: $VR(x)$ ist unbeschränkt $\Leftrightarrow x$ ist Ecke von $CH(S)$ oder auf dem Rand von $CH(S)$

b) Voronoi-Diagramm für n Orte hat:

$\leq 2n-4$ Knoten

$\leq 3n-6$ Kanten.

(?)

Beweis:

a) \Rightarrow " sei $VR(x)$ unbeschränkt.

z.z. x ist Ecke von $CH(S)$ oder auf Rand von $CH(S)$

Ann.: nein.

$VR(x)$ konv u. unbeschr. n.V. $\Rightarrow \exists$ Strahl s , der in x startet

hier notwendig, dass x nicht auf Kante! \rightarrow und ganz in dieser Region $VR(x)$ verläuft.

\rightarrow Ann $\Rightarrow x$ im Inneren von $CH(S)$

S endlich \Rightarrow Strahl s schneidet den Rand von $CH(S)$ in einer Kante (y,z) oder in Pkt $z=y$. (da $CH(S)$ auch dann endlich)

$\exists p \in s$ (genügend weit entfernt von x), der näher zu y oder z ist als zu x

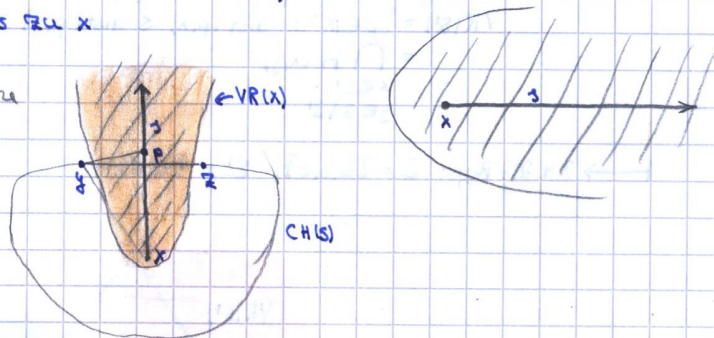
$\Rightarrow z$ zu $p \in VR(x)$

dh. z zu $VR(x)$ ist näher

ist $VR(x)$

dh. z zu $VR(x)$ ist

unbeschränkt.



\Rightarrow Beh

" \Leftarrow Sei nun x Ecke von $CH(S)$.

Betrachte Kegel K zwischen den Senkrechten auf dem zu x betrachteten Kanten.

Alle Pkte in K liegen näher zu x als zu allen anderen Orten.

$\Rightarrow K \subseteq VR(x)$

$\Rightarrow VR(x)$ unbeschränkt

(da K unbeschränkt)

Sei nun x auf dem Rand von $CH(S)$

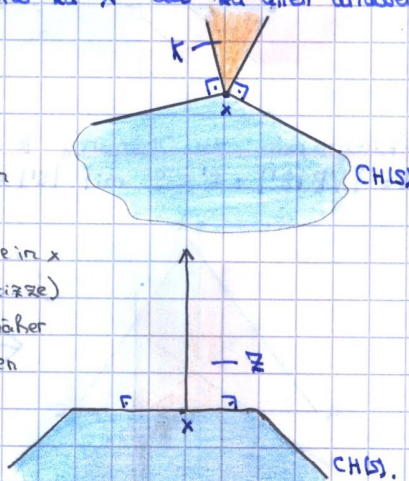
Betrachte senkrechte Gerade die in x startet und hoch zeigt (wie Skizze)

Alle Pkte auf Gerade G liegen näher zu x als zu allen anderen Orten

$\Rightarrow G \subseteq VR(x)$

$\rightarrow VR(x)$ unbeschränkt

(da G unbeschränkt)

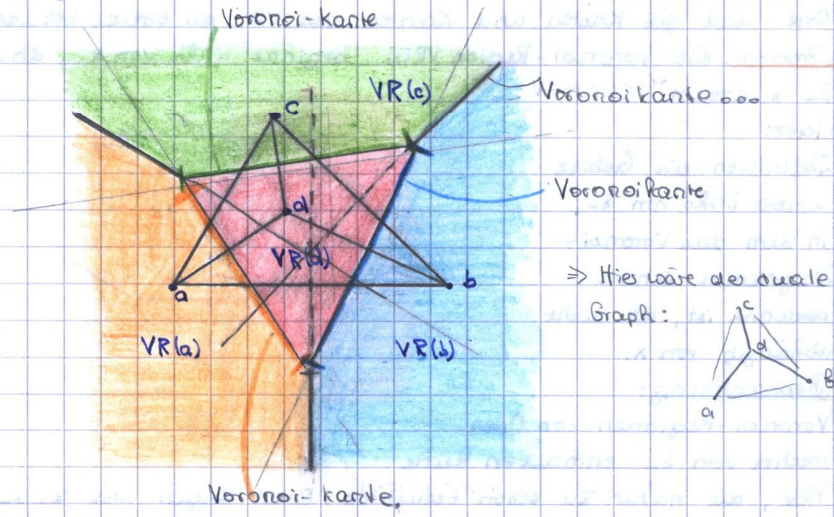


b). VD ist ein Graph, das \mathbb{R}^2 in Voronoi-Regionen unterteilt.

(\rightarrow Voronoi-Knoten + Voronoi-Kanten).

Sei $G=(V,E)$ der duale Graph zu VD(s), d.h.

$V=S$ (allg. Flächen (Regionen)) und $(x,y) \in E \Leftrightarrow VR(x)$ und $VR(y)$ haben gemeinsame Voronoi-Kante.



G ist ein planarer Graph und jede Kante $e \in E$ entspricht genau einer Voronoi-Kante (siehe Konstruktion von G).

(cd) entspricht grün, (a,d) entspricht orange und (b,d) entspricht blau.

Graphentheorie \Rightarrow Jeder planare Graph mit n Knoten hat maximal $3n-6$ Kanten.

\Rightarrow Voronoi-Kanten $\leq 3n-6$.

Außerdem hat jeder Voronoi-Knoten mind. Grad 3 (da er durch mind. drei Orte definiert wird, von denen er gleiche Distanz hat).

$\forall v \in V: \text{Grad}(v) \geq 3$

$\Rightarrow \forall v \in V, |v|=1: \text{Grad}(v) \geq 3$

$\Rightarrow \forall v \in V: 3 \cdot |v| \leq \text{Grad}(v)$

$\Rightarrow \sum_{v \in V} 3 \cdot |v| \leq \sum_{v \in V} \text{Grad}(v)$

$\Rightarrow 3 \cdot \# \text{Knoten} \leq \sum_{v \in V} \text{Grad}(v)$

\Rightarrow Es gilt: $\sum_{v \in V} \text{grad}(v) \geq 3 \cdot \# \text{V-Knoten} \wedge \sum_{v \in V} \text{grad}(v) = 2 \cdot |E|$

$\Rightarrow 3 \cdot \# \text{V-Knoten} \leq \sum \text{grad}(v) = 2 \cdot |E| \leq 2 \cdot (3n-6) = 6n-12$

$\Rightarrow \# \text{V-Knoten} \leq 2n-4$

3.4.2.12 Bemerkungen:

1). VD für n Orte hat lineare Größe in n .

2). Sei $G=(V,E)$ dualer Graph zu VD(s), d.h. $V=S$ und $(x,y) \in E \Leftrightarrow VR(x)$ und $VR(y)$ haben gemeinsame Voronoi-Kante. \checkmark

G heißt Delaunay-Triangulierung.

Eigenschaften: Jeder Umkreis eines Dreiecks enthält keinen Ort in seinem Inneren.

Bea: Gemeinsame Rand von zwei VR'nen heißt Voronoi-Kante

Und Endpunkte von Voronoi-Kanten sind die Voronoi-Knoten

$\Rightarrow v$ Vor. Knoten $\Rightarrow \exists$ Orte a, b, c mit v Mittelpunkt von Kreis durch a, b, c



\Rightarrow Besser: andere Definition als 3.4.2.5!

B4.3. Konstruktion von Voronoi-Diagrammen durch einen Plane Sweep Algorithmus.

Zunächst: allg. Lage der Orte

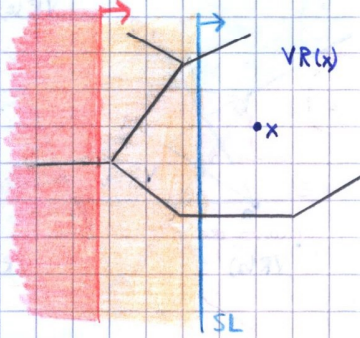
- keine 4 Orte liegen auf einem gemeinsamen Kreis
- paarweise verschiedene x-Koordinaten aller Orte und Events.

→ 3.4.3.1. Ziel: Bewege Senkrechte SL von links nach rechts über die Menge der Orte und gib Knoten und Kanten des VD der bereits besuchten Orte aus.

→ 3.4.3.2. Problem: Die Voronoi-Region $VR(x)$ beginnt links von x , d.h. bevor SL x erreicht.

→ 3.4.3.3. Idee:

Definieren ein Gebiet weiter links von SL, in dem das Voronoi-Diagramm schon bekannt ist, d.h. nicht abhängig von x .



→ 3.4.3.4. Beobachtung:

Voronoi-Regionen von Orten rechts von SL enthalten keine Pkte, die näher zu schon besuchten Orten liegen als zu SL. Denn sonst würde ein solcher Pkt (unabh. von SL) näher zu einem anderen Ort liegen. Abstand zu SL ist nicht größer als Abstand zum nächsten Ort.

→ 3.4.3.5. Frage:

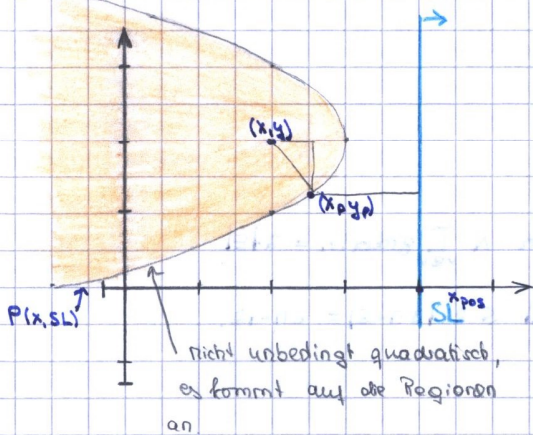
Betrachte das Gebiet $L := \{p \in \mathbb{R}^2 : \text{dist}(p, x) \leq \text{dist}(p, SL)\}$ für einen schon besuchten Ort x .

⇒ Voronoi-Diagramm von S im Gebiet L hängt nicht von Ort x rechts von SL ab.

Welche Form hat L ?

→ 3.4.3.6. Beispiele: $S' \leftarrow$ Menge der besuchten Orte.

1) S' besteht aus einem Ort x .



nicht unbedingt quadratisch, es kommt auf die Regionen an

→ Inneres der Parabel $P(x, SL)$

ist die Menge der Pkte mit gleicher Distanz zu x und SL .

(x, y) und SL bekannt

Wie sieht L aus?

→ Es muss gelten $\forall (x_p, y_p) \in L$:

$$(x_p - x_{pos})^2 \leq (x_p - x)^2 + (y_p - y)^2$$

weil es muss eigentlich gelten:

$$x_p - x_{pos} = \sqrt{(x_p - x)^2 + (y_p - y)^2}$$

→ $(x, y) = (2, 2)$, $SL \equiv 4$ bekannt

$$\Rightarrow (x_p - 4)^2 = (x_p - 2)^2 + (y_p - 2)^2$$

$$\Leftrightarrow x_p^2 - 8x_p + 16 = x_p^2 - 4x_p + 4 + y_p^2 - 4y_p + 4$$

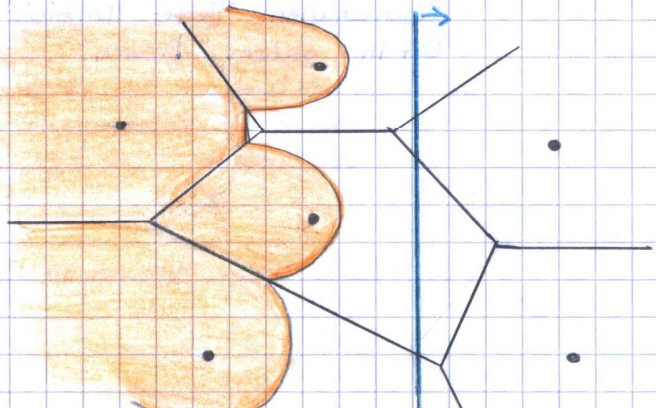
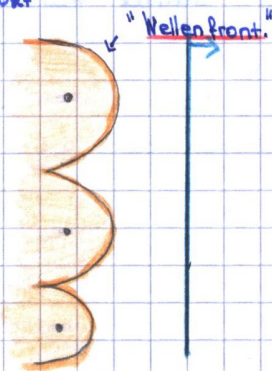
$$\Leftrightarrow -4x_p + 8 = y_p^2 - 4y_p$$

$$\Leftrightarrow 4x_p = -y_p^2 + 4y_p + 8$$

$$\Leftrightarrow x_p = -\frac{1}{4}y_p^2 + y_p + 2$$

→ dies ist eine Parabelgleichung mit der Variablen y

2) Im Allgemeinen wird L durch eine Folge von Parabelbögen nach rechts begrenzt



→ 3.4.2.10 Spezialfälle:

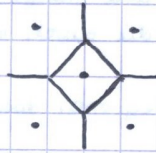
1) "normales" Voronoi-Diagramm: $VD(S) = VD_1(S)$. [closest point VD]

2) VD_{n-1} [farthest point VD]

↑ Voronoi-Regionen sind hier Mengen von Pkten, die von einem Ort weitest entfernt sind als von allen anderen.

Ab jetzt: $VD(S) = VD_1(S)$

Typisches Bsp:



→ 3.4.2.11 Lemma:

a) \forall Orte $x \in S$ gilt: $VR(x)$ ist unbeschränkt $\Leftrightarrow x$ ist Ecke von $CH(S)$ oder auf dem Rand von $CH(S)$

b) Voronoi-Diagramm für n Orte hat:

$\leq 2n-4$ Knoten

$\leq 3n-6$ Kanten.

(?)

Beweis:

a) \Rightarrow " sei $VR(x)$ unbeschränkt.

z.z. x ist Ecke von $CH(S)$ oder auf Rand von $CH(S)$

Ann.: nein.

$VR(x)$ konv u. unbeschr. n.V. $\Rightarrow \exists$ Strahl s , der in x startet

hier notwendig, dass x nicht auf Kante! \rightarrow und ganz in dieser Region $VR(x)$ verläuft.

\rightarrow Ann $\Rightarrow x$ im Inneren von $CH(S)$

S endlich \Rightarrow Strahl s schneidet den Rand von $CH(S)$ in einer Kante (y,z) oder in Pkt $z=y$. (da $CH(S)$ auch dann endlich)

$\exists p \in s$ (genügend weit entfernt von x), der näher zu y oder z ist als zu x

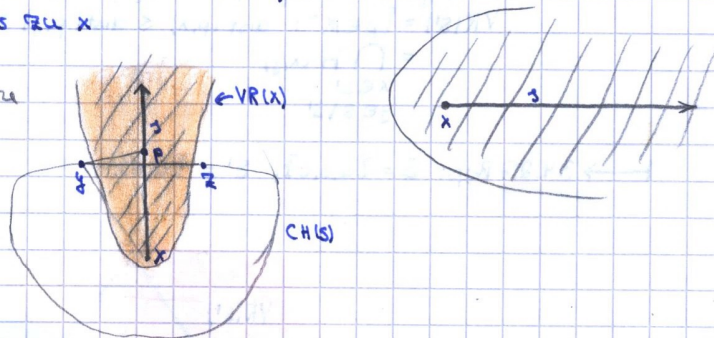
$\Rightarrow z$ zu $p \in VR(x)$

dh. z zu z : das orangefarbene

ist $VR(x)$

dh. z zu $VR(x)$ ist

unbeschränkt.



\Rightarrow Beh

" \Leftarrow Sei nun x Ecke von $CH(S)$.

Betrachte Kegel K zwischen den Senkrechten auf dem zu x betrachteten Kanten.

Alle Pkte in K liegen näher zu x als zu allen anderen Orten.

$\Rightarrow K \subseteq VR(x)$

$\Rightarrow VR(x)$ unbeschränkt

(da K unbeschränkt)

Sei nun x auf dem Rand von $CH(S)$

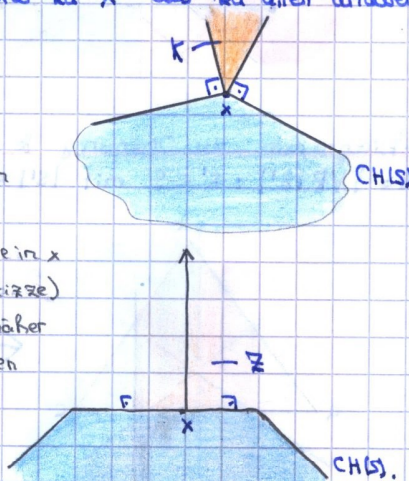
Betrachte senkrechte Gerade die in x startet und hoch zeigt (wie Skizze)

Alle Pkte auf Gerade G liegen näher zu x als zu allen anderen Orten

$\Rightarrow G \subseteq VR(x)$

$\rightarrow VR(x)$ unbeschränkt

(da K unbeschränkt)

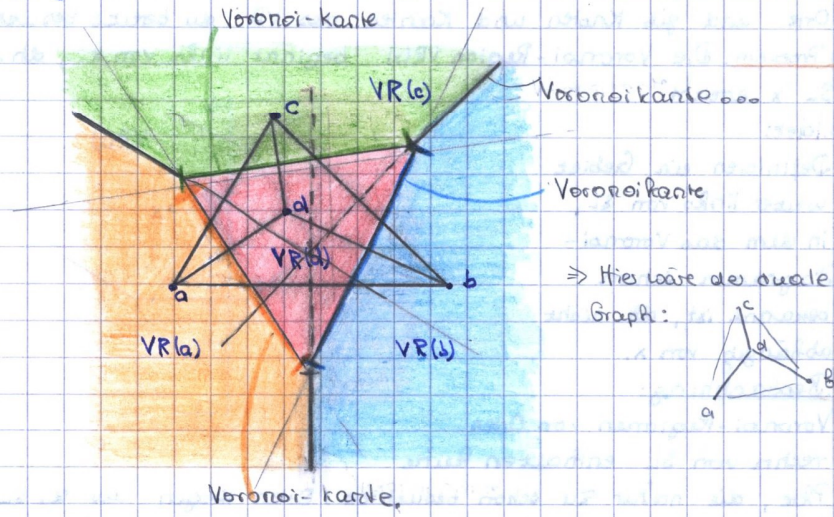


b). VD ist ein Graph, das \mathbb{R}^2 in Voronoi-Regionen unterteilt.

(\rightarrow Voronoi-Knoten + Voronoi-Kanten).

Sei $G=(V,E)$ der duale Graph zu VD(s), d.h.

$V=S$ (allg. Flächen (Regionen)) und $(x,y) \in E \Leftrightarrow VR(x)$ und $VR(y)$ haben gemeinsame Voronoi-Kante.



G ist ein planarer Graph und jede Kante $e \in E$ entspricht genau einer Voronoi-Kante (siehe Konstruktion von G).

(cd) entspricht grün, (a,d) entspricht orange und (b,d) entspricht blau.

Graphentheorie \Rightarrow Jeder planare Graph mit n Knoten hat maximal $3n-6$ Kanten.

\Rightarrow Voronoi-Kanten $\leq 3n-6$.

Außerdem hat jeder Voronoi-Knoten mind. Grad 3 (da er durch mind. drei Orte definiert wird, von denen er gleiche Distanz hat).

$\forall v \in V: \text{Grad}(v) \geq 3$

$\Rightarrow \forall v \in V, |v|=1: \text{Grad}(v) \geq 3$

$\Rightarrow \forall v \in V: 3 \cdot |v| \leq \text{Grad}(v)$

$\Rightarrow \sum_{v \in V} 3 \cdot |v| \leq \sum_{v \in V} \text{Grad}(v)$

$\Rightarrow 3 \cdot \# \text{Knoten} \leq \sum_{v \in V} \text{Grad}(v)$

\Rightarrow Es gilt: $\sum_{v \in V} \text{grad}(v) \geq 3 \cdot \# \text{V-Knoten} \wedge \sum_{v \in V} \text{grad}(v) = 2 \cdot |E|$

$\Rightarrow 3 \cdot \# \text{V-Knoten} \leq \sum \text{grad}(v) = 2 \cdot |E| \leq 2 \cdot (3n-6) = 6n-12$

$\Rightarrow \# \text{V-Knoten} \leq 2n-4$

3.4.2.12 Bemerkungen:

1). VD für n Orte hat lineare Größe in n .

2). Sei $G=(V,E)$ dualer Graph zu VD(s), d.h. $V=S$ und $(x,y) \in E \Leftrightarrow VR(x)$ und $VR(y)$ haben gemeinsame Voronoi-Kante. \checkmark

G heißt Delaunay-Triangulierung.

Eigenschaften: Jeder Umkreis eines Dreiecks enthält keinen Ort in seinem Inneren.

Bea: Gemeinsame Rand von zwei VR'nen heißt Voronoi-Kante

Und Endpunkte von Voronoi-Kanten sind die Voronoi-Knoten

$\Rightarrow v$ Vor. Knoten $\Rightarrow \exists$ Orte a, b, c mit v Mittelpunkt von Kreis durch a, b, c



\Rightarrow Besser: andere Definition als 3.4.2.5!

B4.3. Konstruktion von Voronoi-Diagrammen durch einen Plane Sweep Algorithmus.

Zunächst: allg. Lage der Orte

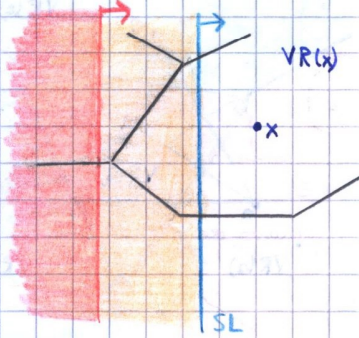
- keine 4 Orte liegen auf einem gemeinsamen Kreis
- paarweise verschiedene x-Koordinaten aller Orte und Events.

→ 3.4.3.1. Ziel: Bewege Senkrechte SL von links nach rechts über die Menge der Orte und gib Knoten und Kanten des VD der bereits besuchten Orte aus.

→ 3.4.3.2. Problem: Die Voronoi-Region $VR(x)$ beginnt links von x , d.h. bevor SL x erreicht.

→ 3.4.3.3. Idee:

Definieren ein Gebiet weiter links von SL, in dem das Voronoi-Diagramm schon bekannt ist, d.h. nicht abhängig von x .



→ 3.4.3.4. Beobachtung:

Voronoi-Regionen von Orten rechts von SL enthalten keine Pkte, die näher zu schon besuchten Orten liegen als zu SL. Denn sonst würde ein solcher Pkt (unabh. von SL) näher zu einem anderen Ort liegen. Abstand zu SL ist nicht größer als Abstand zum nächsten Ort.

→ 3.4.3.5. Frage:

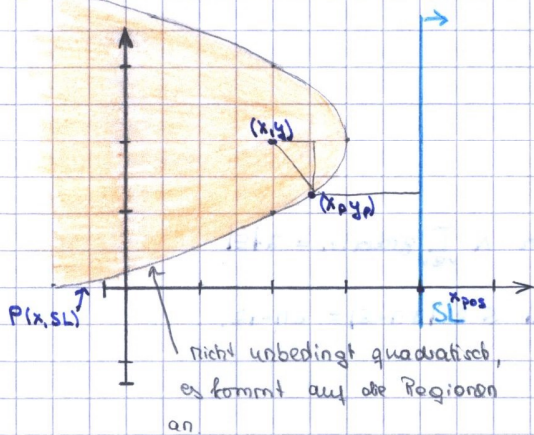
Betrachte das Gebiet $L := \{p \in \mathbb{R}^2 : \text{dist}(p, x) \leq \text{dist}(p, SL)\}$ für einen schon besuchten Ort x .

⇒ Voronoi-Diagramm von S im Gebiet L hängt nicht von Ort x rechts von SL ab.

Welche Form hat L ?

→ 3.4.3.6. Beispiele: $S' \leftarrow$ Menge der besuchten Orte.

1) S' besteht aus einem Ort x .



nicht unbedingt quadratisch, es kommt auf die Regionen an

→ Inneres der Parabel $P(x, SL)$

ist die Menge der Pkte mit gleicher Distanz zu x und SL .

(x, y) und SL bekannt

Wie sieht L aus?

→ Es muss gelten $\forall (x_p, y_p) \in L$:

$$(x_p - x_{pos})^2 \leq (x_p - x)^2 + (y_p - y)^2$$

weil es muss eigentlich gelten:

$$x_p - x_{pos} = \sqrt{(x_p - x)^2 + (y_p - y)^2}$$

→ $(x, y) = (2, 2)$, $SL \equiv 4$ bekannt

$$\Rightarrow (x_p - 4)^2 = (x_p - 2)^2 + (y_p - 2)^2$$

$$\Leftrightarrow x_p^2 - 8x_p + 16 = x_p^2 - 4x_p + 4 + y_p^2 - 4y_p + 4$$

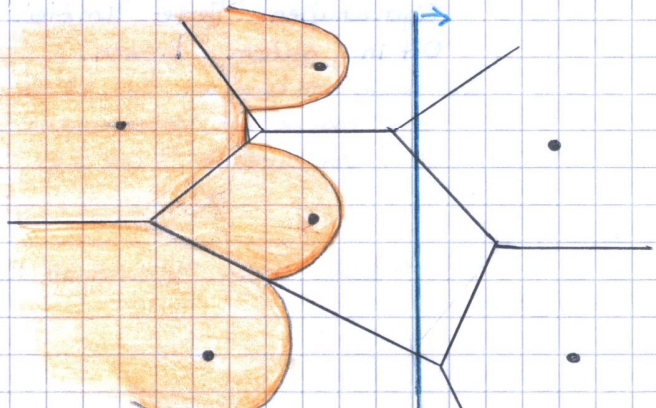
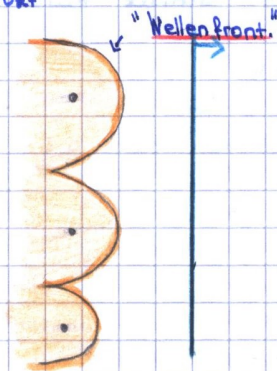
$$\Leftrightarrow -4x_p + 8 = y_p^2 - 4y_p$$

$$\Leftrightarrow 4x_p = -y_p^2 + 4y_p + 8$$

$$\Leftrightarrow x_p = -\frac{1}{4}y_p^2 + y_p + 2$$

→ dies ist eine Parabelgleichung mit der Variablen y

2) Im Allgemeinen wird L durch eine Folge von Parabelbögen nach rechts begrenzt



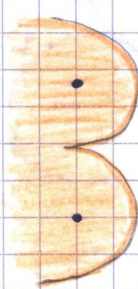
→ 3.4.3.7 Beobachtung: Schnittpunkte von benachbarten Parabeln in der Wellenfront überstreichen (33) die Kanten von V(DS).

→ 3.4.3.8 Lemma: Verwalte die Wellenfront der Parabelbögen in einer Y-Struktur.

→ 3.4.3.9 Fragen: An welchen Positionen (Transaktionspunkten | Events) der SL ändert sich die Y-Struktur strukturell?
→ Welche Events gibt es?

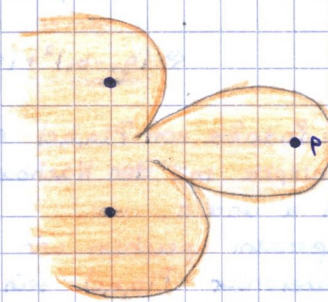
→ 3.4.3.10 Zwei Arten von Events:

1) SL überstreicht neuen Ort p vorher:



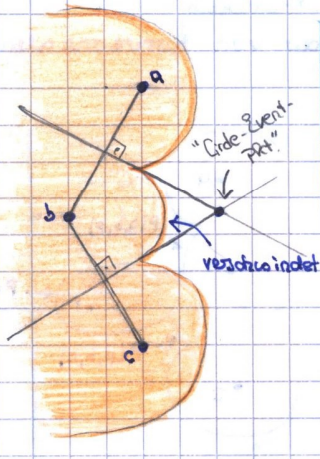
"Site Event"

nachher:



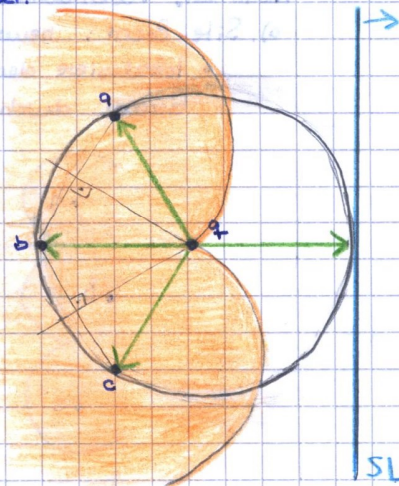
2) Ein Parabelbogen verschwindet aus der Wellenfront. "Circle Event"

vorher:



nachher:

bea: q gehört nicht zu S (i.d.)
Es ist nur ein Schnittpunkt von VR'en und heißt Circle-Eventpkt.



3) drei Parabeln schneiden sich in einem Pkt

↑ Hier entsteht ein neuer Voronoi-Knoten
q = Mittelpunkt des Kreises durch a, b, c
SL ist zu diesem Zeitpunkt Tangente an den Kreis (durch a, b, c).

→ 3.4.3.11 Lemma: Jeder Pkt auf der Kante von V(DS) kommt während des Sweep als Schnittpunkt zweier in der Y-Struktur benachbarter Parabelbögen vor.

(hier kontinuierlicher Sweep)

Beweis:

Sei e beliebige Voronoi-Kante von V(DS) und u ein beliebiger Pkt auf e. e trennt zwei Voronoi-Regionen $VR(p)$ und $VR(q)$
u liegt näher zu p und q (gleiche Distanz d) als zu allen anderen Orten.

Kreismittepunkt u enthält im Inneren keinen Ort.

Nun betrachte den Zeitpunkt des Sweep, in dem SL rechte Tangente an diesem Kreis K ist

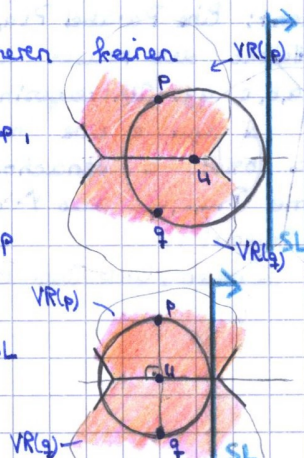
a) u hat den gleichen Abstand zu p und SL

⇒ u liegt auf Parabel von p

b) u hat gl. Abstand zu q und SL

⇒ u liegt auf Parabel von q

⇒ Beh.



3.4.3.12 Implementierungsdetails:

i). Darstellung der Parabelbögen:

Ein Parabelstück wird durch drei Orte a, b, c und die aktuelle Position x_{pos} der Sweepline definiert.

$P(a, b, c)$ bezeichnet Parabelstück von b , das an Parabeln von Ort a und von Ort c grenzt.

Gleichung der Parabel:

$$q \in P(a, b, c) \Leftrightarrow \text{dist}(q, b) = \text{dist}(q, SL)$$

auf Parabelstück, gemeint auf dem Rand $\Rightarrow "="$

$$\Leftrightarrow (q_x - b_x)^2 + (q_y - b_y)^2 = (q_x - x_{pos})^2$$

Die Endpunkte von $P(a, b, c)$ ergeben sich als Schnittpunkte mit den Nachbarparabeln, dh. von a und c .

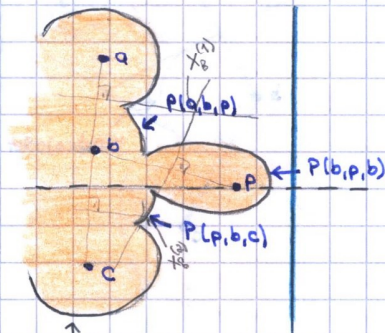
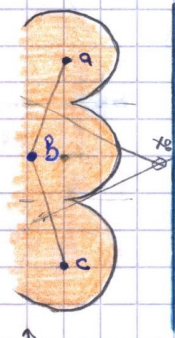
Außerdem speichern wir mit jedem Parabelstück $P(a, b, c)$ sein Circle-Event ab , dh. die Position von SL , bei der $P(a, b, c)$ aus Wellenfront verschwindet.

Aktionen: (Eventbehandlung).

a). Site-Event: neuer Ort p erreicht.

- lokalisieren den Parabelbogen $P(a, b, c)$, der von horizontalen Gerade durch p geschnitten wird.

i.d. Y-Struktur



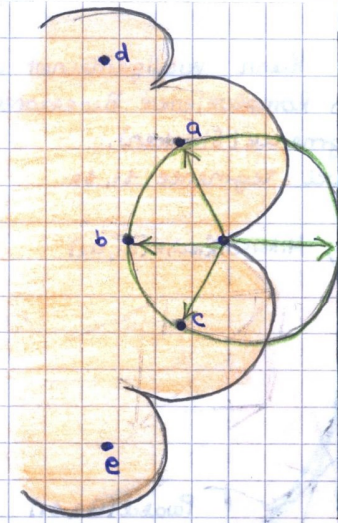
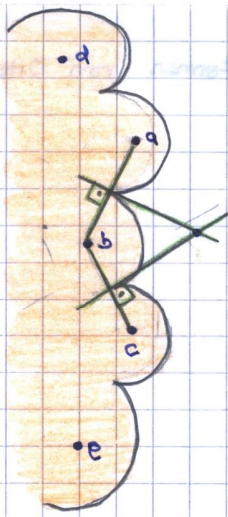
Y-Str.: In der Y-Str. $= \{P(-, a, b), P(a, b, c), P(b, c, -)\}$

$P(a, b, c)$ löschen aus Y-Str. und drei neue Bögen in die Y-Str. einfügen
 \Rightarrow Y-Str. $= \{P(-, a, b), P(a, b, p), P(b, p, b), P(p, b, c), P(b, c, -)\}$

- lösche $P(a, b, c)$ aus Y-Str.
- lösche Circle-Event ^{-PRt} von $P(a, b, c)$ aus X-Str.
- füge 3 neue Bögen in die Y-Str. ein
- berechne die Circle-Events ^{-PRt} der neuen Parabelstücke und füge sie in die X-Str. ein.

b). Circle-Event: Eine Parabel $P(a, b, c)$ verschwindet.

- Gib Mittelpkt des Kreises durch a, b, c als Voronoi-Knoten aus mit a, b, c gg. Uhrzeigersinn. (berechne zugleich Mittelpunkte von ab und bc und zeichne sie aus)
- Seien d und e Orte mit Parabelbögen, die mit Parabel von a bzw. c benachbart sind.
- Entferne $P(a, b, c)$ aus Y-Struktur und lösche den bearbeiteten Circle-EventPkt aus der X-Struktur
- berechne die neuen Circle-Event-Pkte



→ $P(d, a, b) \rightsquigarrow P(d, a, c)$ und $P(b, c, e) \rightsquigarrow P(a, c, e)$.

$X = \{C(d, a, b), C(a, b, c), C(b, c, e)\}$

$X = \{C(d, a, c), C(a, c, e)\}$

2) Initialisierung

3) Geometrische Primitive

a) Schnitt von Parabeln

b) Vergleichsoper für Ordnung der Parabeln in Y -Struktur für beliebigen Suchbaum

Y . locate(Y)

Y . insert($P(a, b, c)$)

Y . delete(...)

4) Konstruktion des Voronoi-Diagramms aus Folge der Circle-Events.

→ 2), 3), 4) das alles in Übungsaufgaben.

→ 3.4.3.13. Ausgabe:

Für jedes Circle-Event geben wir einen Mittelpunkt als Voronoi-Knoten v aus und die Orte auf dem Kreis a, b, c gegen Uhrzeigersinn.

(Können mehr als drei sein bei degenerierten Eingaben)

d.h. wir geben eigentlich die Dreiecke der Delaunay-Triangulierung aus (dualer Graph zum Voronoi-Diagramm).

→ 3.4.3.14. Übung:

1) Berechne aus dieser Ausgabe eine explizite Darstellung des Voronoi-Diagramms (d.h. Voronoi-Kanten)

2) Modifizieren sie den Alg. so, dass die Voronoi-Kanten direkt ausgegeben werden.

3) Degenerierte Eingaben

Circle-Event: mehr als drei Orte auf einem Kreis \Rightarrow mehr als ein Bogen verschwindet.

4) Alle geometrischen Primitive:

• Schnitt von Parabeln

• Vgl. von Parabeln in Y -Struktur.

\rightarrow können alle in 0(1) berechnet werden.

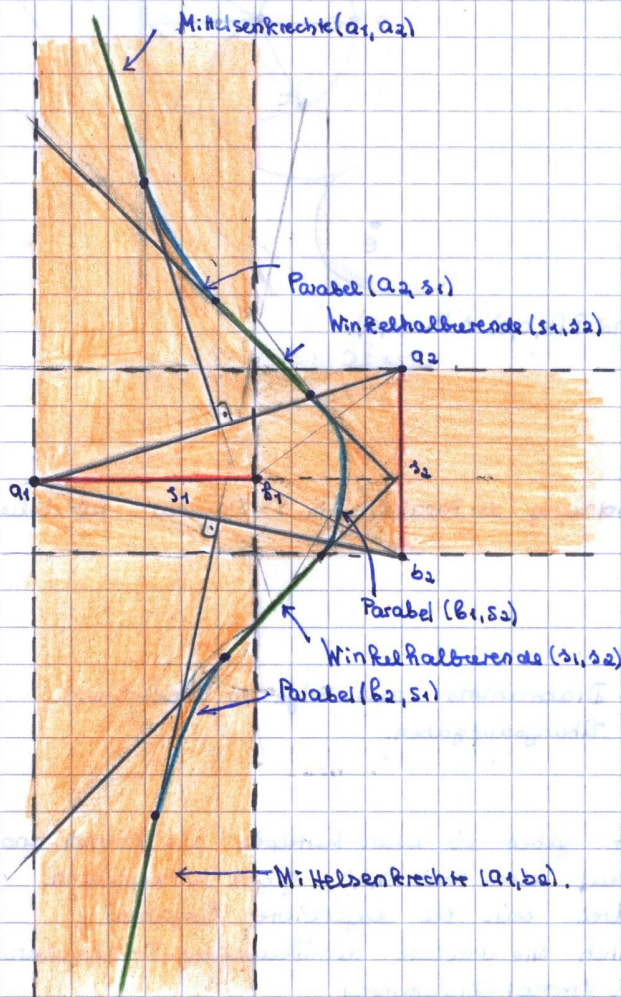
→ 3.4.3.15 Satz: Das Voronoi-Diagramm von n punktförmigen Orten kann durch plane-Sweep in Zeit $O(n \log n)$ berechnet werden.

Bew: Alle Operationen auf X - bzw. Y -Str. können in Zeit $O(\log n)$ ausgeführt werden, wenn sie durch binäre Suchbäume realisiert werden.

Außerdem hat VD lineare Größe in Zahl der Orte.

→ 3.4.3.16 Bem: Diese Alg. kann verallgemeinert werden für andere Formen von Orten, Dazu muss man komplexere Bisektoren betrachten.

→ 3.4.3.17 Bsp: Kurvensegmente (Strecken).
Bisektor für zwei Segmente s_1, s_2 :



Bisektor von zwei Strecken ist eine Kurve, die sich aus Parabelbögen, Mittelsenkrechten und Winkelhalbierenden zusammensetzt.

Je nach Lage und Länge der Strecken können Kurvenarten fehlen.

→ 3.4.3.18 Bemerkung: z.B. Winkelhalbierende oder so nicht vorhanden.

Anm. Segmente schneiden sich nicht (sonst Zerlegung an Schnittpunkten)

Prinzipiell funktioniert die Sweep-Alg. zur Berechnung des VD von Segmenten genauso wie für Pkte.

Lediglich geometrische Primitive sind komplexer: Schnitt & Ordnung von Bisektoren.

3.4.4 Planar point location:

→ 3.4.4.1 Aufgabe: Finde für beliebigen Pkt $p \in \mathbb{R}^2$ die Voronoi-Region, die p enthält. Dann ist der Ort dieser Region, der p am nächsten liegende Ort.

→ 3.4.4.2 Idee der Vorverarbeitung:

Verbrauche $O(n \log n)$ für Konstruktion von VD, um danach (viele) Anfragen effizient beantworten zu können.

→ 3.4.4.3 Ziel: Laufzeit $O(\log n)$ pro Frage.

Frage: ab wieviel Abfragen lohnt es sich VD zu konstruieren?

Abfragen: $= M < n \Rightarrow$ Konstruktion v. VD + anschließend Streifenmethode kostet für M Abfragen:

$$O(n \log n) + M \cdot O(\log n) = O(n \log n) + O(M \cdot \log n) = O(n \log n) \left. \vphantom{O(n \log n)} \right\} \text{ Falls } M < n, \text{ besser kein VD aufbauen!}$$

Suche nach Region durch lineare Suche (ohne VD) kostet für M Abfragen: $O(M \cdot n) = O(n^2)$

Für $M > n \Rightarrow$ 1 Mögl. Kostet: $O(n \log n) + O(M \log n) = O(M \log n) \Rightarrow$ Besser VD aufbauen! [weil $\log n < M$].
2 Mögl. Kostet: $O(Mn) = O(M^2)$

B4.3. Konstruktion von Voronoi-Diagrammen durch einen Plane Sweep Algorithmus.

Zunächst: allg. Lage der Orte

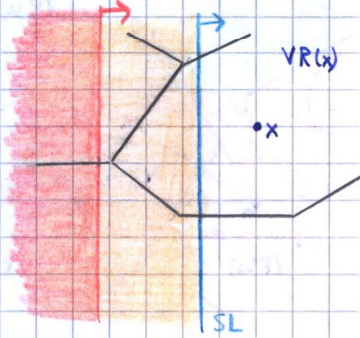
- keine 4 Orte liegen auf einem gemeinsamen Kreis
- paarweise verschiedene x-Koordinaten aller Orte und Events.

→ 3.4.3.1. Ziel: Bewege Senkrechte SL von links nach rechts über die Menge der Orte und gib Knoten und Kanten des VD ab bereits besuchten Orte aus.

→ 3.4.3.2. Problem: Die Voronoi-Region $VR(x)$ beginnt links von x , d.h. bevor SL x erreicht.

→ 3.4.3.3. Idee:

Definieren ein Gebiet weiter links von SL, in dem das Voronoi-Diagramm schon bekannt ist, d.h. nicht abhängig von x .



→ 3.4.3.4. Beobachtung:

Voronoi-Regionen von Orten rechts von SL enthalten keine Pkte, die näher zu schon besuchten Orten liegen als zu SL. Denn sonst würde ein solcher Pkt (unabh. von SL) näher zu einem anderen Ort liegen. Abstand zu SL ist nicht größer als Abstand zum nächsten Ort.

→ 3.4.3.5. Frage:

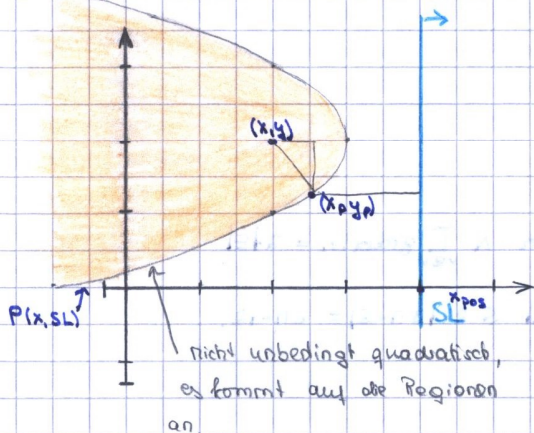
Betrachte das Gebiet $L := \{p \in \mathbb{R}^2 : \text{dist}(p, x) \leq \text{dist}(p, SL)\}$ für einen schon besuchten Ort x .

⇒ Voronoi-Diagramm von S im Gebiet L hängt nicht von Ort x rechts von SL ab.

Welche Form hat L ?

→ 3.4.3.6. Beispiele: $S' \leftarrow$ Menge der besuchten Orte.

1) S' besteht aus einem Ort x .



nicht unbedingt quadratisch, es kommt auf die Regionen an

→ Inneres der Parabel $P(x, SL)$

ist die Menge der Pkte mit gleicher Distanz zu x und SL .

(x, y) und SL bekannt

Wie sieht L aus?

→ Es muss gelten $\forall (x_p, y_p) \in L$:

$$(x_p - x_{pos})^2 \leq (x_p - x)^2 + (y_p - y)^2$$

weil es muss eigentlich gelten:

$$x_p - x_{pos} = \sqrt{(x_p - x)^2 + (y_p - y)^2}$$

→ $(x, y) = (2, 2)$, $SL \equiv 4$ bekannt

$$\Rightarrow (x_p - 4)^2 = (x_p - 2)^2 + (y_p - 2)^2$$

$$\Leftrightarrow x_p^2 - 8x_p + 16 = x_p^2 - 4x_p + 4 + y_p^2 - 4y_p + 4$$

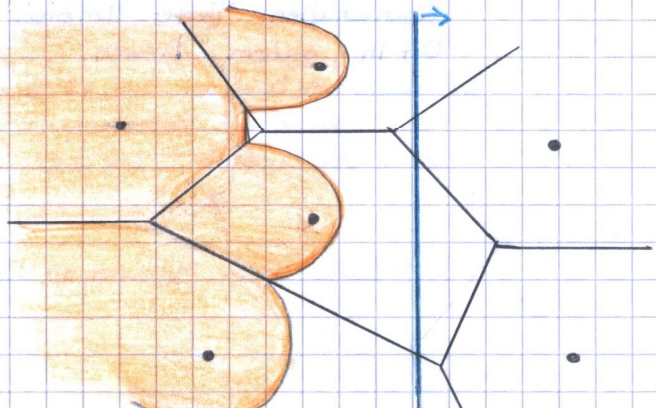
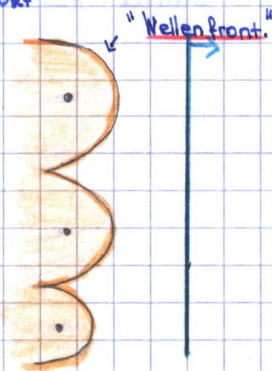
$$\Leftrightarrow -4x_p + 8 = y_p^2 - 4y_p$$

$$\Leftrightarrow 4x_p = -y_p^2 + 4y_p + 8$$

$$\Leftrightarrow x_p = -\frac{1}{4}y_p^2 + y_p + 2$$

→ dies ist eine Parabelgleichung mit der Variablen y

2) Im Allgemeinen wird L durch eine Folge von Parabelbögen nach rechts begrenzt



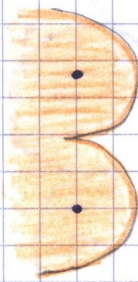
→ 3.4.3.7 Beobachtung: Schnittpunkte von benachbarten Parabeln in der Wellenfront überstreichen (33) die Kanten von V(DS).

→ 3.4.3.8 Lemma: Verwalte die Wellenfront der Parabelbögen in einer Y-Struktur.

→ 3.4.3.9 Fragen: An welchen Positionen (Transaktionspunkten | Events) der SL ändert sich die Y-Struktur strukturell?
→ Welche Events gibt es?

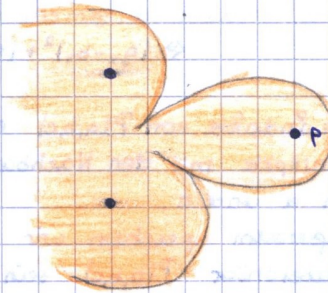
→ 3.4.3.10 Zwei Arten von Events:

1) SL überstreicht neuen Ort p vorher:

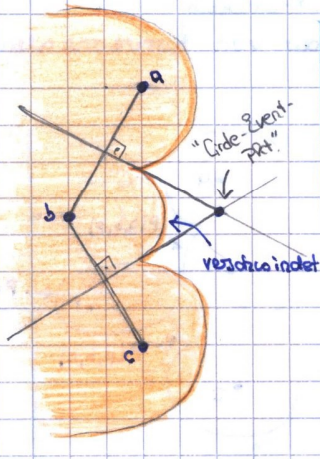


"Site Event"

nachher:

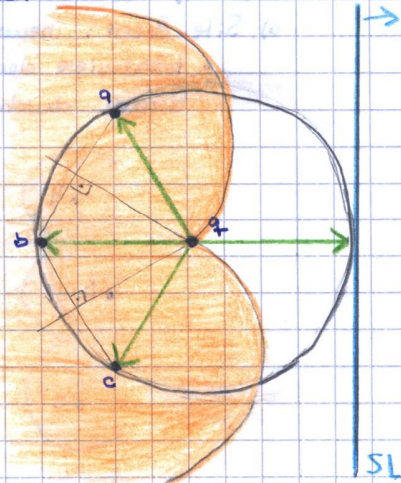


2) Ein Parabelbogen verschwindet aus der Wellenfront. "Circle Event" vorher:



bea: q gehört nicht zu S (i.d.) Es ist nur ein Schnittpunkt von VR'en und heißt Circle-Eventpkt.

nachher:



3) drei Parabeln schneiden sich in einem Pkt

↑ Hier entsteht ein neuer Voronoi-Knoten q = Mittelpkt des Kreises durch a, b, c SL ist zu diesem Zeitpunkt Tangente an den Kreis (durch a, b, c).

→ 3.4.3.11 Lemma: Jeder Pkt auf der Kante von V(DS) kommt während des Sweep als Schnittpunkt zweier in der Y-Struktur benachbarter Parabelbögen vor.

(hier kontinuierlicher Sweep)

Beweis:

Sei e beliebige Voronoi-Kante von V(DS) und u ein beliebiger Pkt auf e. e trennt zwei Voronoi-Regionen $VR(p)$ und $VR(q)$ u liegt näher zu p und q (gleiche Distanz d) als zu allen anderen Orten.

Kreismitelpkt u enthält im Inneren keinen Ort.

Nun betrachte den Zeitpunkt des Sweep, in dem SL rechte Tangente an diesem Kreis K ist

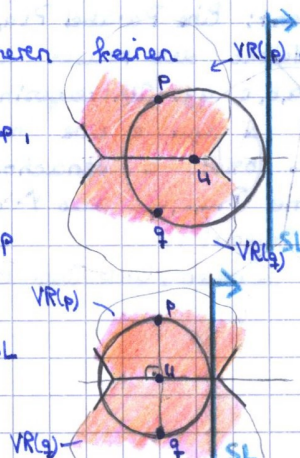
a) u hat den gleichen Abstand zu p und SL

⇒ u liegt auf Parabel von p

b) u hat gl. Abstand zu q und SL

⇒ u liegt auf Parabel von q

⇒ Beh.



3.4.3.12 Implementierungsdetails:

i). Darstellung der Parabelbögen:

Ein Parabelstück wird durch drei Orte a, b, c und die aktuelle Position x_{pos} der Sweepline definiert.

$P(a, b, c)$ bezeichnet Parabelstück von b , das an Parabeln von Ort a und von Ort c grenzt.

Gleichung der Parabel:

$$q \in P(a, b, c) \Leftrightarrow \text{dist}(q, b) = \text{dist}(q, SL) \\ \text{auf Parabelstück, gemeint auf dem Rand} \Rightarrow "=" \\ \Leftrightarrow (q_x - b_x)^2 + (q_y - b_y)^2 = (q_x - x_{pos})^2$$

Die Endpunkte von $P(a, b, c)$ ergeben sich als Schnittpunkte mit den Nachbarparabeln, dh. von a und c .

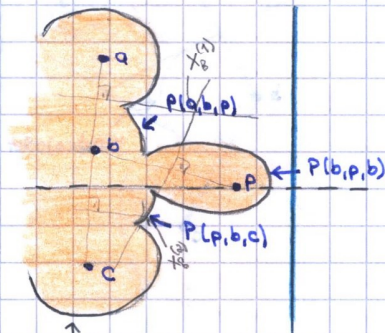
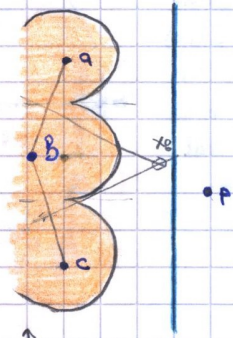
Außerdem speichern wir mit jedem Parabelstück $P(a, b, c)$ sein Circle-Event ab , dh. die Position von SL , bei der $P(a, b, c)$ aus Wellenfront verschwindet.

Aktionen: (Eventbehandlung).

a). Site-Event: neuer Ort p erreicht.

- lokalisieren den Parabelbogen $P(a, b, c)$, der von horizontalen Gerade durch p geschnitten wird.

i.d. Y-Struktur



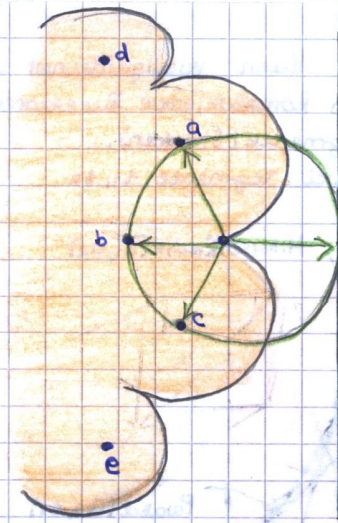
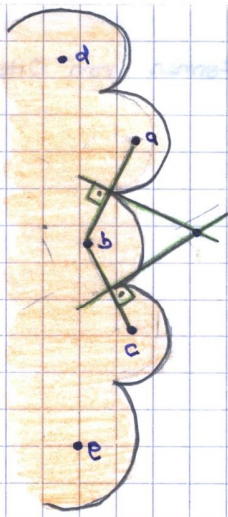
Y-Str.: In der Y-Str. $= \{P(-, a, b), P(a, b, c), P(b, c, -)\}$

$P(a, b, c)$ löschen aus Y-Str. und drei neue Bögen in die Y-Str. einfügen
 \Rightarrow Y-Str. $= \{P(-, a, b), P(a, b, p), P(b, p, b), P(p, b, c), P(b, c, -)\}$

- lösche $P(a, b, c)$ aus Y-Str.
- lösche Circle-Event ^{-PRt} von $P(a, b, c)$ aus X-Str.
- füge 3 neue Bögen in die Y-Str. ein
- berechne die Circle-Events ^{-PRt} der neuen Parabelstücke und füge sie in die X-Str. ein.

b). Circle-Event: Eine Parabel $P(a, b, c)$ verschwindet.

- Gib Mittelpkt des Kreises durch a, b, c als Voronoi-Knoten aus mit a, b, c gg. Uhrzeigersinn. (berechne zugleich Mittelpunkte von ab und bc und zeichne sie aus)
- Seien d und e Orte mit Parabelbögen, die mit Parabel von a bzw. c benachbart sind.
- Entferne $P(a, b, c)$ aus Y-Struktur und lösche den bearbeiteten Circle-EventPkt aus der X-Struktur
- berechne die neuen Circle-Event-Pkte



$\rightarrow P(d,a,b) \rightsquigarrow P(d,a,c)$ und $P(b,c,e) \rightsquigarrow P(a,c,e)$.

$X = \{C(d,a,b), C(a,b,c), C(b,c,e)\}$

$X = \{C(d,a,c), C(a,c,e)\}$

2) Initialisierung

3) Geometrische Primitive

a) Schnitt von Parabeln

b) Vergleichsoper für Ordnung der Parabeln in Y -Struktur für beliebigen Suchbaum

Y . locate(Y)

Y . insert($P(a,b,c)$)

Y . delete(...)

4) Konstruktion des Voronoi-Diagramms aus Folge der Circle-Events.

\rightarrow 2), 3), 4) das alles in Übungsaufgaben.

\rightarrow 3.4.3.13. Ausgabe:

Für jedes Circle-Event geben wir einen Mittelpunkt als Voronoi-Knoten v aus und die Orte auf dem Kreis a, b, c gegen Uhrzeigersinn.

(Können mehr als drei sein bei degenerierten Eingaben)

dh. wir geben eigentlich die Dreiecke der Delaunay-Triangulierung aus (dualer Graph zum Voronoi-Diagramm).

\rightarrow 3.4.3.14. Übung:

1) Berechne aus dieser Ausgabe eine explizite Darstellung des Voronoi-Diagramms (dh. Voronoi-Kanten)

2) Modifizieren sie den Alg. so, dass die Voronoi-Kanten direkt ausgegeben werden.

3) Degenerierte Eingaben

Circle-Event: mehr als drei Orte auf einem Kreis \Rightarrow mehr als ein Bogen verschwindet.

4) Alle geometrischen Primitive:

• Schnitt von Parabeln

• Vgl. von Parabeln in Y -Struktur.

\rightarrow können alle in 0(1) berechnet werden.

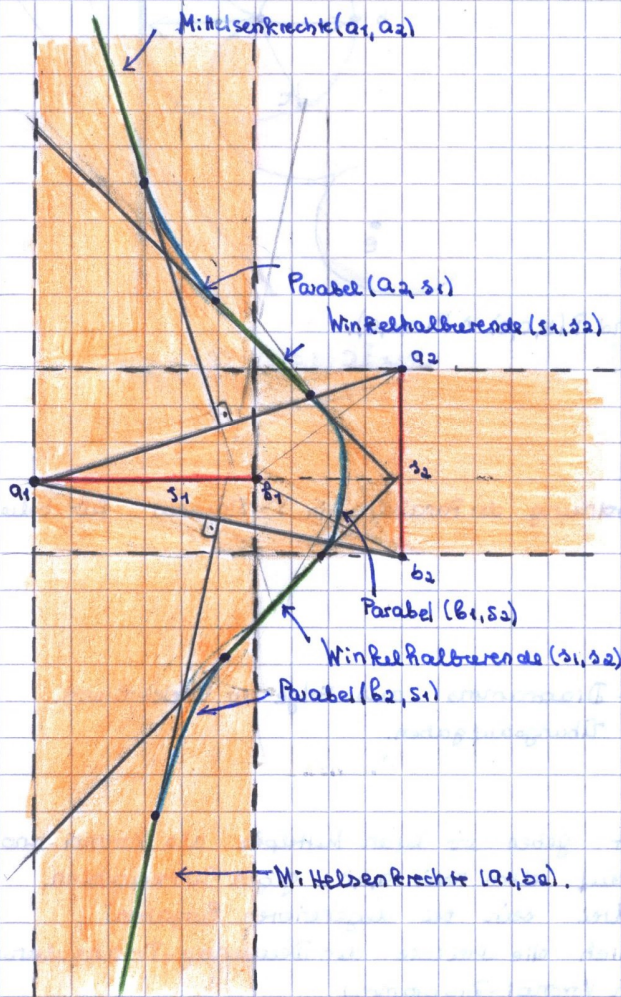
\rightarrow 3.4.3.15 Satz: Das Voronoi-Diagramm von n punktförmigen Orten kann durch plane-Sweep in Zeit $O(n \log n)$ berechnet werden.

Bew: Alle Operationen auf X - bzw. Y -Str. können in Zeit $O(\log n)$ ausgeführt werden, wenn sie durch binäre Suchbäume realisiert werden.

Außerdem hat VD lineare Größe in Zahl der Orte.

→ 3.4.3.16 Bem: Diese Alg. kann verallgemeinert werden für andere Formen von Orten, Dazu muss man komplexere Bisektoren betrachten.

→ 3.4.3.17 Bsp: Kurvensegmente (Strecken).
Bisektor für zwei Segmente s_1, s_2 :



Bisektor von zwei Strecken ist eine Kurve, die sich aus Parabelbögen, Mittelsenkrechten und Winkelhalbierenden zusammensetzt.

Je nach Lage und Länge der Strecken können Kurvenarten fehlen.

→ 3.4.3.18 Bemerkung: z.B. Winkelhalbierende oder so nicht vorhanden.

Anm. Segmente schneiden sich nicht (sonst Zerlegung an Schnittpunkten)

Prinzipiell funktioniert die Sweep-Alg. zur Berechnung des VD von Segmenten genauso wie für Pkte.

Lediglich geometrische Primitive sind komplexer: Schnitt & Ordnung von Bisektoren.

3.4.4 Planar point Location:

→ 3.4.4.1 Aufgabe: Finde für beliebigen Pkt $p \in \mathbb{R}^2$ die Voronoi-Region, die p enthält. Dann ist der Ort dieser Region, der p am nächsten liegende Ort.

→ 3.4.4.2 Idee der Vorverarbeitung:

Verbrauche $O(n \log n)$ für Konstruktion von VD, um danach (viele) Anfragen effizient beantworten zu können.

→ 3.4.4.3 Ziel: Laufzeit $O(\log n)$ pro Frage.

Frage: ab wieviel Abfragen lohnt es sich VD zu konstruieren?

Abfragen: $= M < n \Rightarrow$ Konstruktion v. VD + anschließend Streifenmethode kostet für M Abfragen:

$$O(n \log n) + M \cdot O(\log n) = O(n \log n) + O(M \cdot \log n) = O(n \log n) \left. \vphantom{O(n \log n)} \right\} \text{ Falls } M < n, \text{ besser kein VD aufbauen!}$$

Suche nach Region durch Lineare Suche (ohne VD) kostet für M Abfragen: $O(M \cdot n) = O(n^2)$

Für $M > n \Rightarrow$ 1 Mögl. Kostet: $O(n \log n) + O(M \log n) = O(M \log n) \Rightarrow$ Besser VD aufbauen! [weil $\log n < M$].
2 Mögl. Kostet: $O(Mn) = O(M^2)$

3.4.5. Point-Location allgemein (unabh. v. Vorvor-Diagramm).

→ 3.4.5.1. Problem:

Geg: beliebige planare Unterteilung der Ebene (Subdivision)

Ges: point location.

dh. finde für beliebigen Pkt p das Gebiet in dem p liegt.

⇒ finde die Kante der Unterteilung, die von einem vertikalen Strahl von p aus nach unten zuerst getroffen wird.

dh. die die man "sieht", wenn man von p nach unten schaut.

(→ vertikales Sichtbarkeitsproblem).

Schreibe den Namen (Nummer, ID, ...) jedes Gebiets an seine untere Folge von Kanten.

⇒ wenn untere Kante ausgeg. wird, so weiß man in welchem Gebiet p liegt

⇒ daher sind die Aussagen äquivalent

→ 3.4.5.2. Streifenmethode: allgemein:

die Streifenmethode zerlegt dieses 2-dim. Suchproblem in 2 1-dimensionale.

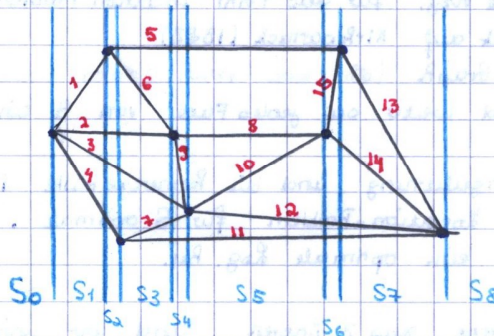
→ 3.4.5.2. Streifenmethode: Idee:

Zerlege die Ebene in vertikale Streifen S_0, S_1, \dots, S_n durch n vertikale Geraden jeweils durch einen Knoten von G .

G = planare Unterteilung

n = # Knoten von G .

Preprocessing: $\Theta(n^2)$ im schlechtesten Fall.



Speichere die Streifen in einem Feld $S[0..n]$.

Schritt 1: Finde den Streifen $S[i]$, der p enthält durch binäre Suche nach $p.x$ coord i in S

→ Kosten Zeit $O(\log n)$.

Darstellung jedes Streifens $S[i]$:

Eine Folge der Kanten von G , die S_i überqueren von unten nach oben (gemäß ihrer Lage in S_i) sortiert.

Bea: Kanten schneiden sich nicht innerhalb eines Streifens, dh. jeder Streifen ist wieder ein Feld von Kanten.

Ein Feld von 2 dim Pkten bzw. Intervalle

$x_0 := [-\infty, x_0], [x_0, x_1], [x_1, x_2], \dots, [x_{n-1}, \infty]$

Zweites Feld von Zeigern:

Zeiger zeigen auf Felder von ebenfalls 2 dim Pkten.



Schritt 2: Binärsuche auf Streifen $S[i]$ selbst.

genauer: sortiere p in Folge der Kanten ein.

liegt oberhalb, auf oder unterhalb einer Kante e

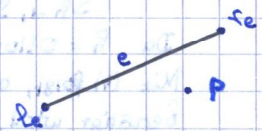
→ orientation $(p_e, t_e, p) = ?$

Da insgesamt $O(n)$ Kanten } ⇒ Kosten auch Zeit $O(\log n)$

(G ist planarer Graph)

Zu Laufzeit: binäre Suche ist $T(n) = T(\frac{n}{2}) + C_1 \Rightarrow f(n) = C_1, \log_2 a = \log_2 1 = 0$

$\Rightarrow f(n) = \Theta(n^{\log_2 a}) \Rightarrow T(n) = \Theta(n^{\log_2 a} \cdot \log n) = \Theta(\log n)$



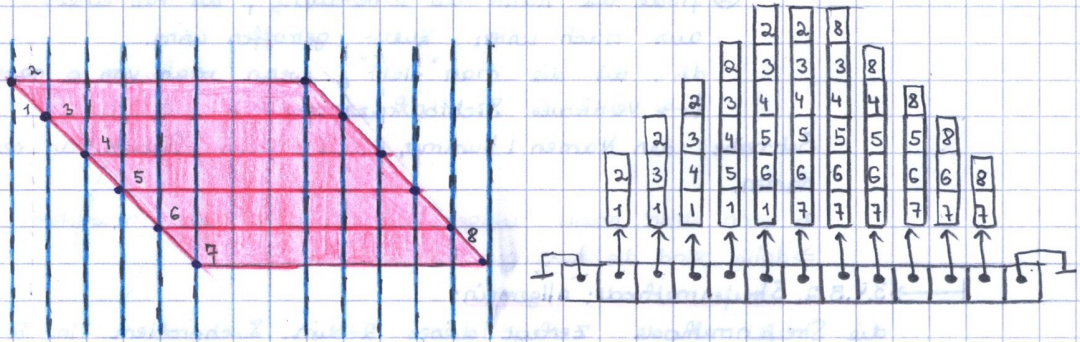
→ Streifenmethode: ergebnis:

Laufzeit: $O(\log n)$ (optimal)

Platzbedarf: $O(n^2)$ (unpraktisch für großen) $O(n) + O(n^2) = O(n^2)$

Ziel: $O(\log n)$ Suchzeit und $O(n)$ Platz.

Beispiel für quadratischen Platz:



Gesamt: n Knoten (hier $n=12$)

Jede der n/a Kanten ist in n/a Streifen gespeichert.

→ 3.4.5.1. Triangulierungsmethode: allgemein:

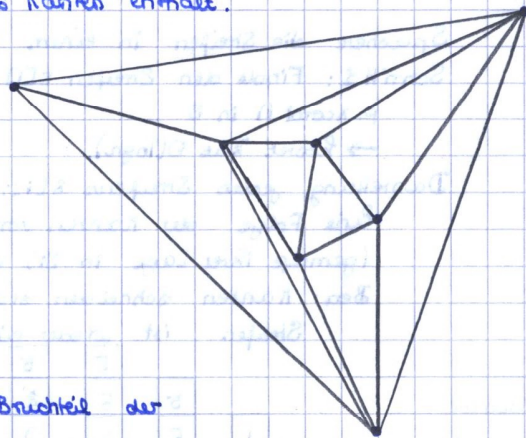
- Best. eine optimale Lsg. für das Point Location Problem.
- Methode geht zurück auf Kirkpatrick (1983)

Sei G ein planarer Graph (d.h. zwei versch. Kanten überschneiden sich nicht u. ungerichtet) auf n Knoten und weiter sei jedes Face von G ein Dreieck (auch das äußere Face)

⇒ G ist eine Triangulierung und die konvexe Hülle ist auch Dreieck. $|CH| = 3$.

Wir lösen das Point Location-Problem für G optimal. Später leiten wir für jede planare Unterteilung eine optimale Lsg. her.

Die konv. Hülle besteht aus 3 Knoten. Und wir wissen weiter, dass jede Triangulierung dieser n Knoten $2n-6$ Kanten enthält. ($2n-k-3$, $k=|CH|$).



→ 3.4.5.5 Triangulierungsmethode: Idee für

Algorithmus:

Konstruiere eine Folge S_1, S_2, \dots, S_R von Triangulierungen, so dass gilt:

- (1) $S_1 = G$
- (2) S_R ist das äußere Dreieck von G
- (3) $R = O(\log n)$
- (4) S_{i+1} besteht aus einem konstanten Bruchteil der Knoten von S_i
- (5) für jeden Query Point q , den wir mit S_{i+1} lokalisieren haben, können wir in Zeit $O(1)$ in S_i lokalisieren.

Geg: S_1, \dots, S_R

dann lösen wir das Point Location Problem wie folgt:

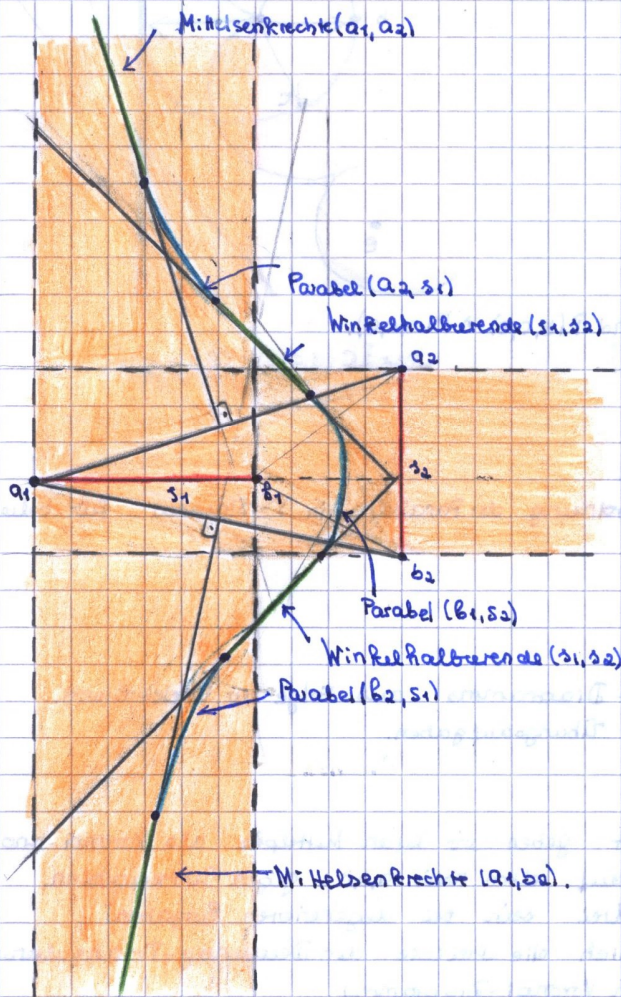
- in Zeit $O(1)$ lokalisieren wir q in S_R
- dann unter Benutzung von (5) lokalisieren wir nacheinander q in $S_{R-1}, S_{R-2}, \dots, S_1 = G$.

Da $R = O(\log n)$ haben wir eine Suchzeit von $O(\log n)$

Mit (4) folgt, dass für jede Folge der Triangulierung nur Platz $O(n)$ benötigt wird.

→ 3.4.3.16 Bem: Diese Alg. kann verallgemeinert werden für andere Formen von Orten, Dazu muss man komplexere Bisektoren betrachten.

→ 3.4.3.17 Bsp: Kurvensegmente (Strecken).
Bisektor für zwei Segmente s_1, s_2 :



Bisektor von zwei Strecken ist eine Kurve, die sich aus Parabelbögen, Mittelsenkrechten und Winkelhalbierenden zusammensetzt.

Je nach Lage und Länge der Strecken können Kurvenarten fehlen.

→ 3.4.3.18 Bemerkung: z.B. Winkelhalbierende oder so nicht vorhanden.

Anm. Segmente schneiden sich nicht (sonst Zerlegung an Schnittpunkten)

Prinzipiell funktioniert die Sweep-Alg. zur Berechnung des VD von Segmenten genauso wie für Pkte.

Lediglich geometrische Konstruktionen sind komplizierter: Schnitt & Ordnung von Bisektoren.

3.4.4 Planar point location:

→ 3.4.4.1 Aufgabe: Finde für beliebigen Pkt $p \in \mathbb{R}^2$ die Voronoi-Region, die p enthält. Dann ist der Ort dieser Region, der p am nächsten liegende Ort.

→ 3.4.4.2 Idee der Vorverarbeitung:

Verbrauche $O(n \log n)$ für Konstruktion von VD, um danach (viele) Anfragen effizient beantworten zu können.

→ 3.4.4.3 Ziel: Laufzeit $O(\log n)$ pro Frage.

Frage: ab wieviel Abfragen lohnt es sich VD zu konstruieren?

Abfragen: $= M < n \Rightarrow$ Konstruktion v. VD + anschließend Streifenmethode kostet für M Abfragen:

$$O(n \log n) + M \cdot O(\log n) = O(n \log n) + O(M \cdot \log n) = O(n \log n) \left. \begin{array}{l} \text{falls } M < n, \text{ besser kein VD} \\ \text{aufbauen!} \end{array} \right\}$$

Suche nach Region durch lineare Suche (ohne VD) kostet für M Abfragen: $O(M \cdot n) = O(n^2)$

Für $M > n \Rightarrow$ 1 Mögl. Kostet: $O(n \log n) + O(M \log n) = O(M \log n) \Rightarrow$ Besser VD aufbauen! [weil $\log n < M$].
2 Mögl. Kostet: $O(Mn) = O(M^2)$

3.4.5. Point-Location allgemein (unabh. v. Vorvor-Diagramm).

→ 3.4.5.1. Problem:

Geg: beliebige planare Unterteilung der Ebene (Subdivision)

Ges: point location.

dh. finde für beliebigen Pkt p das Gebiet in dem p liegt.

⇒ finde die Kante der Unterteilung, die von einem vertikalen Strahl von p aus nach unten zuerst getroffen wird.

dh. die die man "sieht", wenn man von p nach unten schaut.

(→ vertikales Sichtbarkeitsproblem).

Schreibe den Namen (Nummer, ID, ...) jedes Gebiets an seine untere Folge von Kanten.

⇒ wenn untere Kante ausgeg. wird, so weiß man in welchem Gebiet p liegt

⇒ daher sind die Aussagen äquivalent

→ 3.4.5.2. Streifenmethode: allgemein:

die Streifenmethode zerlegt dieses 2-dim. Suchproblem in 2 1-dimensionale.

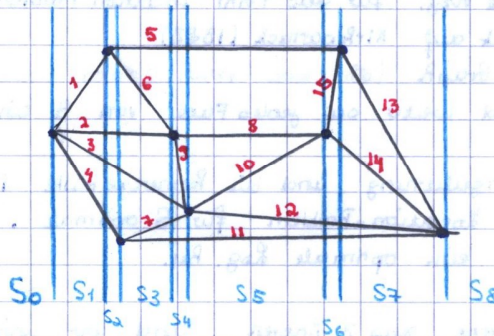
→ 3.4.5.2. Streifenmethode: Idee:

Zerlege die Ebene in vertikale Streifen S_0, S_1, \dots, S_n durch n vertikale Geraden jeweils durch einen Knoten von G .

G = planare Unterteilung

n = # Knoten von G .

Preprocessing: $\Theta(n^2)$ im schlechtesten Fall.



Speichere die Streifen in einem Feld $S[0..n]$.

Schritt 1: Finde den Streifen $S[i]$, der p enthält durch binäre Suche nach $p.x$ coord i in S

→ Kosten Zeit $O(\log n)$.

Darstellung jedes Streifens $S[i]$:

Eine Folge der Kanten von G , die S_i überqueren von unten nach oben (gemäß ihrer Lage in S_i) sortiert.

Bea: Kanten schneiden sich nicht innerhalb eines Streifens, dh. jeder Streifen ist wieder ein Feld von Kanten.

Ein Feld von 2 dim Pkten bzw. Intervalle

$x_0 := [-\infty, x_0], [x_0, x_1], [x_1, x_2], \dots, [x_{n-1}, \infty]$

Zweites Feld von Zeigern:

Zeiger zeigen auf Felder von ebenfalls 2 dim Pkten.



Schritt 2: Binärsuche auf Streifen $S[i]$ selbst.

genauer: sortiere p in Folge der Kanten ein.

liegt oberhalb, auf oder unterhalb einer Kante e

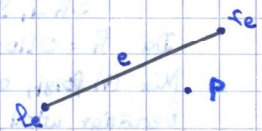
→ orientation $(p_e, t_e, p) = ?$

Da insgesamt $O(n)$ Kanten } ⇒ Kosten auch Zeit $O(\log n)$

(G ist planarer Graph)

Zu Laufzeit: binäre Suche ist $T(n) = T(\frac{n}{2}) + C_1 \Rightarrow f(n) = C_1, \log_2 a = \log_2 1 = 0$

$\Rightarrow f(n) = \Theta(n^{\log_2 a}) \Rightarrow T(n) = \Theta(n^{\log_2 a} \cdot \log n) = \Theta(\log n)$



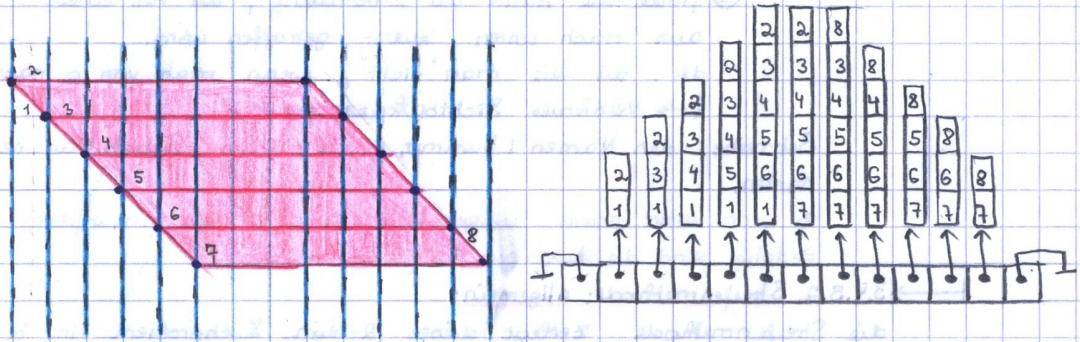
→ Streifenmethode: ergebnis:

Laufzeit: $O(\log n)$ (optimal)

Platzbedarf: $O(n^2)$ (unpraktisch für großen) $O(n) + O(n^2) = O(n^2)$

Ziel: $O(\log n)$ Suchzeit und $O(n)$ Platz.

Beispiel für quadratischen Platz:



Gesamt: n Knoten (hier $n=12$)

Jede der $n/2$ Kanten ist in $n/2$ Streifen gespeichert.

→ 3.4.5.1. Triangulierungsmethode: allgemein:

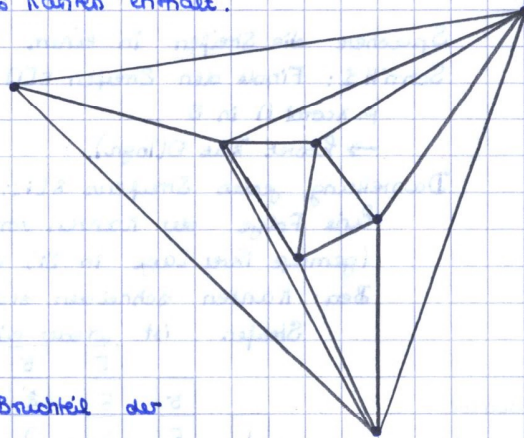
- Best. eine optimale Lsg. für das Point Location Problem.
- Methode geht zurück auf Kirkpatrick (1983)

Sei G ein planarer Graph (d.h. zwei versch. Kanten überschneiden sich nicht u. ungerichtet) auf n Knoten und weiter sei jedes Face von G ein Dreieck (auch das äußere Face)

⇒ G ist eine Triangulierung und die konvexe Hülle ist auch Dreieck. $|CH| = 3$.

Wir lösen das Point Location-Problem für G optimal. Später leiten wir für jede planare Unterteilung eine optimale Lsg. her.

Die konv. Hülle besteht aus 3 Knoten. Und wir wissen weiter, dass jede Triangulierung dieser n Knoten $2n-6$ Kanten enthält. ($2n-k-3$, $k=|CH|$).



→ 3.4.5.5 Triangulierungsmethode: Idee für

Algorithmus:

Konstruiere eine Folge S_1, S_2, \dots, S_R von Triangulierungen, so dass gilt:

- (1) $S_1 = G$
- (2) S_R ist das äußere Dreieck von G
- (3) $R = O(\log n)$
- (4) S_{i+1} besteht aus einem konstanten Bruchteil der Knoten von S_i
- (5) für jeden Query Point q , den wir mit S_{i+1} lokalisieren haben, können wir in Zeit $O(1)$ in S_i lokalisieren.

Geg: S_1, \dots, S_R

dann lösen wir das Point Location Problem wie folgt:

- in Zeit $O(1)$ lokalisieren wir q in S_R
- dann unter Benutzung von (5) lokalisieren wir nacheinander q in $S_{R-1}, S_{R-2}, \dots, S_1 = G$.

Da $R = O(\log n)$ haben wir eine Suchzeit von $O(\log n)$

Mit (4) folgt, dass für jede Folge der Triangulierung nur Platz $O(n)$ benötigt wird.

3.4.5.6 Triangulierungsmethode: Fragen & Antworten.

1) Frage: Wie konstruieren wir die Folge $S_1 \dots S_n$?

→ Beh. $S_1 = G$.

Wollen einen konst. Bruchteil der Knoten entfernen.

Sei v ein non-boundary Knoten von G , und sei d sein Grad, dh. in G sind d Kanten inzident zu v .

2) Frage: Was passiert, wenn wir v aus G entfernen?

→ wenn wir v entfernen, entfernen wir auch die d inzidenten Kanten.

⇒ wenn wir v entfernen, dann auch die d Dreiecke. Die d Dreiecke werden durch ein einfaches Polygon ersetzt.

Sei q ein beliebiger Pkt im d -gon, das wir durch Entfernen von v erhalten. Dann können wir in Zeit $O(d)$ bestimmen, welches der d Dreiecke von G q enthält.

Um Eig. (5) zu erhalten, sollten wir Knoten vom kleinen Grad entfernen.

Für die Eig. (4) sollten wir möglichst viele dieser Knoten (mit kleinem Grad) entfernen.

3) Frage: Ist es immer möglich viele Knoten mit kleinem Grad zu bestimmen?

3.4.5.7 Triangulierungsmethode: Def (unabh.):

Eine Teilmenge der Knotenmenge heißt unabhängig, wenn keine zwei Knoten durch eine Kante verbunden sind.

3.4.5.8 Lemma: Der Graph G enthält eine unabhängige Knotenmenge I mit der Größe von mindestens $\lfloor \frac{1}{12} (\frac{n}{2} - 3) \rfloor$, so dass jeder Knoten aus

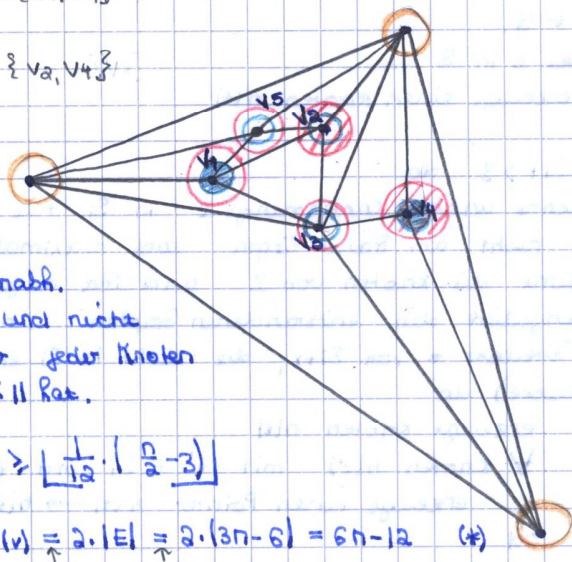
I höchstens Grad 11 hat und jeder Knoten ein nicht Hüll-Knoten ist. So eine Menge I kann in Zeit $O(n)$ gefunden werden.

Beweis: Betrachte folgenden Grady-Alg:

1. markiere alle drei Hüllknoten.
2. $I \leftarrow \emptyset$
3. repeat
4. wähle einen Knoten v mit Grad ≤ 11 , der nicht markiert ist
5. $I \leftarrow I \cup \{v\}$
6. markiere v und alle seine Nachbarn.
7. until es gibt keine unmarkierten Knoten mit Grad ≤ 11 .

a) $I \leftarrow \{v_1\} \cup I \Rightarrow I = \{v_1, v_4\}$
 $I \leftarrow \{v_4\} \cup I$

b) $I \leftarrow \{v_3\} \cup I \Rightarrow I = \{v_2, v_4\}$
 $I \leftarrow \{v_2\} \cup I$



- Klas:
- Alg. benötigt Zeit $O(n)$
 - & findet eine unabh. Knotenmenge I und nicht Hüllknoten, in der jeder Knoten höchstens Grad ≤ 11 hat.

Es bleibt z.z: $|I| \geq \lfloor \frac{1}{12} (\frac{n}{2} - 3) \rfloor$

Wissen: $\sum_{v \in V} \text{degree}(v) \stackrel{\text{allg.}}{=} 2 \cdot |E| \stackrel{\text{Hü 2.1.}}{=} 2 \cdot (3n - 6) = 6n - 12$ (*)



⇒ G enthält mind. $\frac{n}{2}$ Knoten vom Grad ≤ 11 .

Denn: Ann: rein.

⇒ mind. $\frac{n}{2}$ Knoten sind vom Grad > 11 bzw. dann ≥ 12 .

⇒ $\sum_{v \in V} \text{degree}(v) \geq \frac{n}{2} \cdot 12 = 6n$

⇒ \int zu (*)

// (*) sagt $\sum_{v \in V} \text{degree}(v) < 6n$!

Betrachte Algorithmus:

Alg. startet mit Markierung der drei begrenzten Knoten.

In diesem Moment gibt es mind. $\frac{n}{2} - 3$ unmarkierte Knoten mit Grad ≤ 11 .

Dann wählt der Alg. einen dieser Knoten und markiert ihn zusammen mit seinen höchstens 11 Nachbarn.

Das wird solange wiederholt bis es keine unmarkierten Knoten mit Grad ≤ 11 mehr gibt.

Deshalb werden während jeder Iteration höchstens 12 Knoten markiert.

Es gibt also mindestens $\lfloor \frac{1}{12} (\frac{n}{2} - 3) \rfloor$

Während jeder Iteration wird ein Knoten zu I hinzugefügt.

Ergebnis: \forall Triang. G gilt: G enthält unabh. Knotenmenge I , so dass

1) $|I| \geq \lfloor \frac{1}{12} (\frac{n}{2} - 3) \rfloor$

2) $\forall v \in I: \text{degree}(v) \leq 11$

3) I enthält keinen der drei Randknoten.

4) I kann in Zeit $O(n)$ berechnet werden.

→ 3.4.5.9 Lemma: Sei I eine unabh. Knotenmenge von G gemäß 3.4.5.8.

Sei G' der Graph, der durch Entfernen von I aus G entsteht

⇒ 1) Jede Fläche von G' ist ein 1-faches Polygon mit maximal 11 Knoten

2) Die äußeren Flächen (Dreiecke) von G und G' sind gleich.

→ 3.4.5.10 Alg. zur Konstruktion der Datenstruktur D zur Darstellung der Folge $S_1 \dots S_k$:

Datenstruktur D : Knoten + Pointer.

Knoten v speichert ein Dreieck t $v = n(t)$.

Triangulierung S : Pkte, Kanten, Flächen

$n_i = |S_i| = \#$ der Pkte.

1. $i \leftarrow 1, S_i \leftarrow G$.

2. \forall Dreiecke t in G do

3. erzeuge einen Knoten $n(t)$

4. od.

5. while $|S_i| > 3$ do

6. berechne unabh. Knotenmenge I in S_i mit mind. $\lfloor \frac{1}{12} (\frac{n}{2} - 3) \rfloor$ Knoten, die nicht am Rand liegen und maximal Grad 11 haben.

7. Entferne die Knoten von I und ihre angrenzten Kanten aus S_i

8. Trianguliere den entstandenen Graphen und nenne das Resultat S_{i+1} .

9. \forall Dreiecke t von S_{i+1} , die nicht in S_i enthalten sind (d.h. neue Dreiecke) do

10. erzeuge Knoten $n(t)$

11. \forall Knoten $n(t')$ mit $t' \in S_i$ und t' schneidet t do

12. erzeuge einen Pointer $n(t) \rightarrow n(t')$

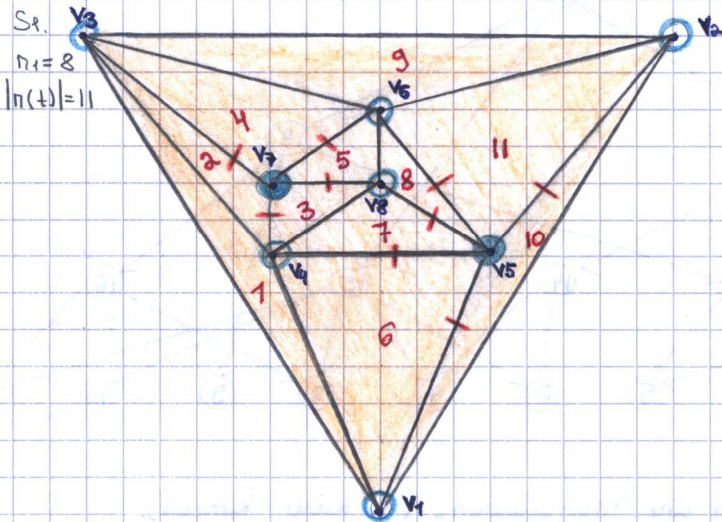
13. od.

14. od.

15. $i \leftarrow i+1$

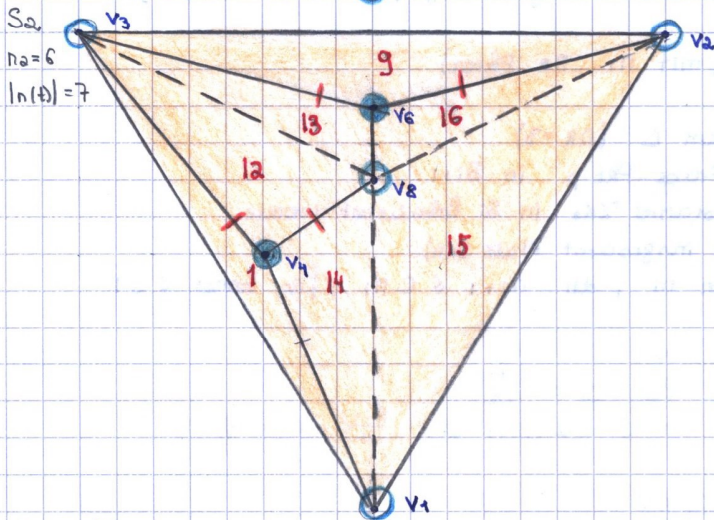
16. od.

3.4.5.11. Beispiel:



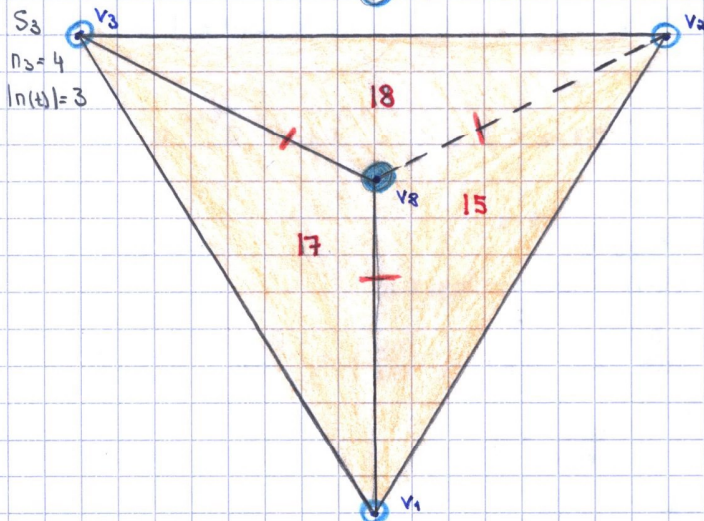
S_1
 $n_1 = 8$
 $|n(t)| = 11$

$i = 1$
 $I = \{v_5, v_7\}$
 $n(1) \dots n(11)$ $n(16)$
 new Dreiecke: $n(12), n(13), n(14), n(15)$
 $n(12) \rightarrow n(2), n(4), n(3), n(5)$
 $n(13) \rightarrow n(4), n(5)$
 $n(14) \rightarrow n(6), n(7)$
 $n(15) \rightarrow n(10), n(6), n(7), n(8), n(11)$
 $n(16) \rightarrow n(11), n(8)$



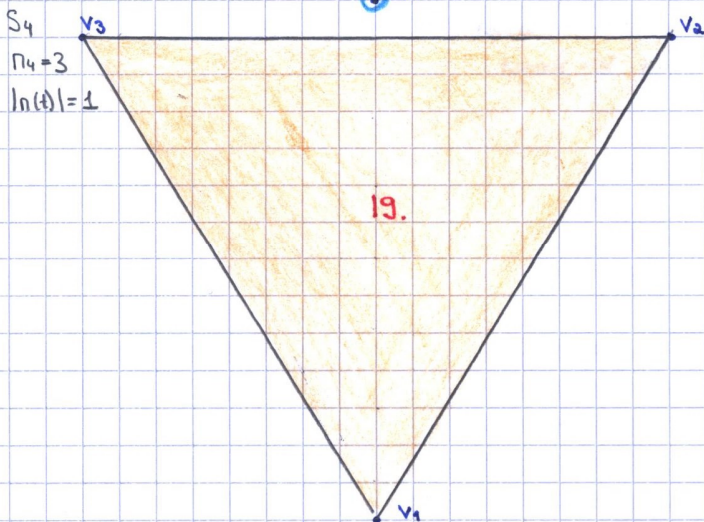
S_2
 $n_2 = 6$
 $|n(t)| = 7$

$i = 2$
 $I = \{v_6, v_4\}$
 new Dreiecke: $n(16), n(17), n(18)$
 $n(17) \rightarrow n(1), n(14), n(12)$
 $n(18) \rightarrow n(13), n(9), n(16)$
 $n(19) \rightarrow n(11)$



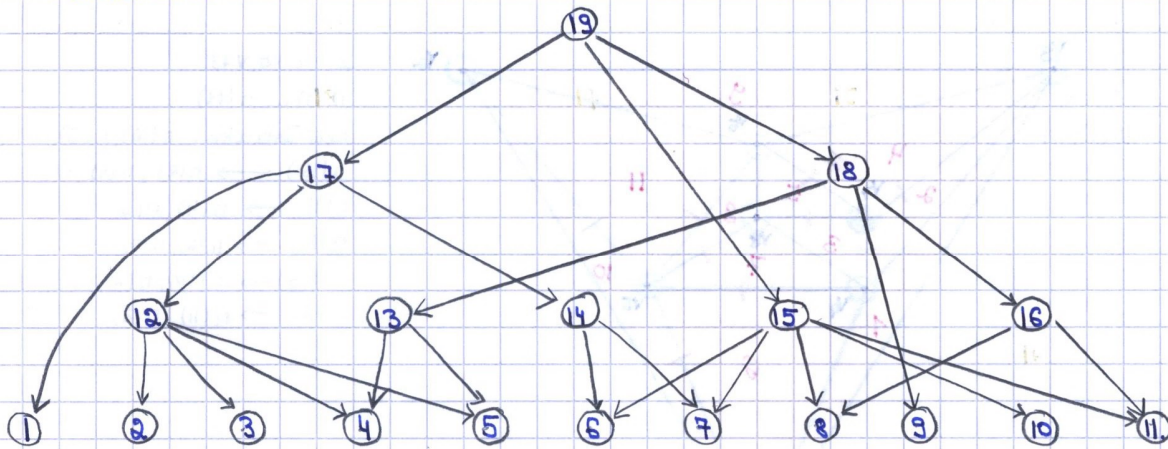
S_3
 $n_3 = 4$
 $|n(t)| = 3$

$i = 3$
 $I = \{v_8\}$
 neues Dreieck: $n(19)$
 $n(19) \rightarrow n(15), n(17), n(18)$



S_4
 $n_4 = 3$
 $|n(t)| = 1$

Datenstruktur D:



→ 3.4.5.12 Zusammenfassung:

Planare Unterteilung G ist eine Triangulierung (bei dieser Kettfolge).
(auch Rand ist Δ).

Ziel: Folge S_1, \dots, S_R (mit n_1, \dots, n_R Pkten)

- ✓ 1) $S_1 = G$
- ✓ 2) S_R besteht aus einem Δ ($n_R = 3$)
- 3) Lokalisierung von Frage-Pkt p in S_{i+1}
 $\Rightarrow p$ kann in konstanter Zeit in S_i lokalisiert werden.
- 4) S_1, \dots, S_R brauchen insgesamt Platz $O(n)$
- 5) n_{i+1} ist Bruchteil von n_i , d.h. $n_{i+1} < c \cdot n_i$ für konst $c < 1$
 $\Rightarrow R = O(\log n)$.

& gilt: $n_{i+1} < n_i \quad \forall i$

$\Rightarrow n_{i+1} < c_i \cdot n_i$ für $c_i > \frac{n_{i+1}}{n_i}$

Ferner: $\frac{n_{i+1}}{n_i} < 1 \Rightarrow c_i$ wählbar als $\frac{n_{i+1}}{n_i} < c_i < 1$

Gilt $\forall i$ und alle $c_i < 1$

\Rightarrow Wähle $c := c_R$ $[n_3 < \underbrace{c_3}_{<1} \cdot n_2 < \underbrace{c_3 \cdot c_2}_{<1} \cdot n_1 < c_3 \cdot n_1]$

$\Rightarrow n_{i+1} < c \cdot n_i$

$\Rightarrow 3 = n_R < c \cdot n_{R-1} < c^2 \cdot n_{R-2} < \dots < c^{R-1} \cdot n_1 = c^{R-1} \cdot n$

$\Rightarrow n > \frac{3}{c^{R-1}}$

$\Rightarrow \log_2 n > \log_2 3 + \log_2 \left(\frac{1}{c}\right)^{R-1}$

$\Rightarrow \log_2 n > \frac{\ln 3}{\ln 2} + (R-1) \cdot \underbrace{\left(\log_2 \frac{1}{c} - \log_2 c\right)}_{=0}$

$\Rightarrow R-1 < \frac{\log_2 n - \frac{\ln 3}{\ln 2}}{-\frac{\ln c}{\ln 2}} = \log_2 n \cdot \left(-\frac{\ln c}{\ln 2}\right) + \frac{\ln 3}{\ln 2}$

$\Rightarrow R < \underbrace{\frac{\ln c}{\ln 2} \cdot \log_2 n}_{>0 \text{ weil } c < 1, \text{ const}} + \underbrace{\frac{\ln 3}{\ln 2} + 1}_{\text{const}}$

$\Rightarrow R \leq M \cdot \log n$ mit $M = \text{const}$

$\Rightarrow R = O(\log n)$.

→ 3.4.5.13 Algorithmus für Point-Location:

Eingabe: Pkt q

Datenstruktur D .

$D.search(q)$ liefert Dreieck von G , das q enthält.

if q außerhalb Dreieck i.d. Wurzel then

Aussage: "äußeres Gebiet von G ".

else

$v \leftarrow$ Wurzel

while v kein Blatt (d.h. $D.outdeg(v) > 0$) do

forall Knoten u mit \exists Pointer $v \rightarrow u$ do

if q innerhalb Dreieck von u then

$v \leftarrow u$;

fi

od

od

Ausgabe: Dreieck von v

fi

Schleifeninvariante: Während der Ausführung der while-Schleife gilt stets, dass $q \in$ Dreieck von v .

Bemerkung: Platz:

$$\# \text{Knoten} = n_1 + n_2 + \dots + n_R \leq$$

$$\leq n_1 + c \cdot n_1 + \dots + c^{R-1} \cdot n_1 =$$

$$= n_1 \sum_{v=0}^{R-1} c^v = n_1 \cdot \frac{c^R - 1}{c - 1} = n \cdot \underbrace{\frac{c^R - 1}{c - 1}}_{\text{const}} = O(n)$$

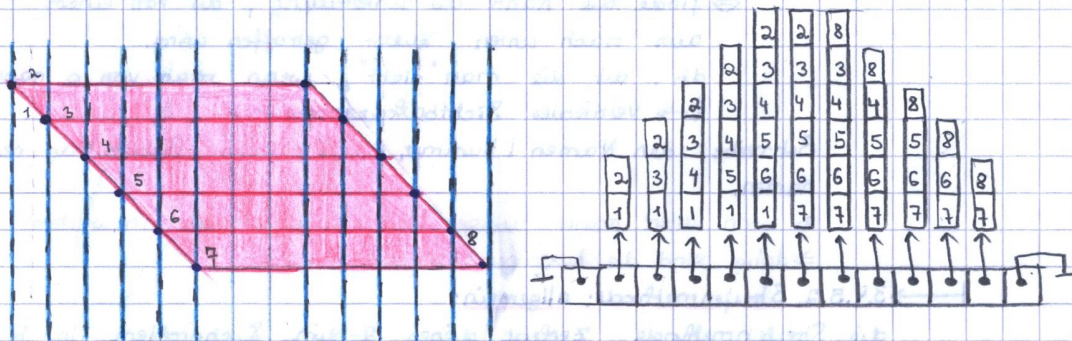
→ Streifenmethode: Ergebnis:

Laufzeit: $O(\log n)$ (optimal)

Platzbedarf: $O(n^2)$ (unpraktisch für großen) $O(n) + O(n^2) = O(n^2)$

Ziel: $O(\log n)$ Suchzeit und $O(n)$ Platz.

Beispiel für quadratischen Platz:



Gesamt: n Knoten (hier $n=12$)

Jede der $n/2$ Kanten ist in $n/2$ Streifen gespeichert.

→ 3.4.5.1. Triangulierungsmethode: allgemein:

• Best. eine optimale Lsg. für das Point Location Problem.

• Methode geht zurück auf Kirkpatrick (1983):

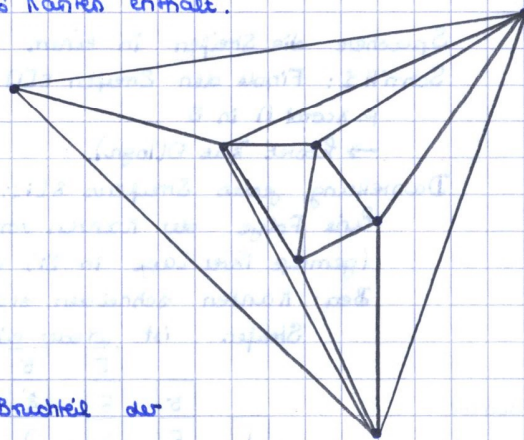
Sei G ein planarer Graph (d.h. zwei versch. Kanten überschneiden sich nicht u. ungerichtet) auf n Knoten und weiter sei jedes Face von G ein Dreieck (auch das äußere Face)

⇒ G ist eine Triangulierung und die konvexe Hülle ist auch Dreieck. $|CH| = 3$.

Wir lösen das Point Location-Problem für G optimal. Später leiten wir für jede planare Unterteilung eine optimale Lsg. her.

Die konv. Hülle besteht aus 3 Knoten. Und wir wissen weiter, dass jede Triangulierung dieser n Knoten $2n-6$ Kanten enthält.

$(2n - k - 3, k = |CH|)$.



→ 3.4.5.5 Triangulierungsmethode: Idee für

Algorithmus:

Konstruiere eine Folge S_1, S_2, \dots, S_R von Triangulierungen, so dass gilt:

(1) $S_1 = G$

(2) S_R ist das äußere Dreieck von G

(3) $R = O(\log n)$

(4) S_{i+1} besteht aus einem konstanten Bruchteil der Knoten von S_i

(5) für jeden Query Point q , den wir mit S_{i+1} lokalisieren haben, können wir in Zeit $O(1)$ in S_i lokalisieren.

Geg: S_1, \dots, S_R

dann lösen wir das Point Location Problem wie folgt:

• in Zeit $O(1)$ lokalisieren wir q in S_R

• dann unter Benutzung von (5) lokalisieren wir nacheinander q in $S_{R-1}, S_{R-2}, \dots, S_1 = G$.

Da $R = O(\log n)$ haben wir eine Suchzeit von $O(\log n)$

Mit (4) folgt, dass für jede Folge der Triangulierung nur Platz $O(n)$ benötigt wird.

3.4.5.6 Triangulierungsmethode: Fragen & Antworten.

1) Frage: Wie konstruieren wir die Folge $S_1 \dots S_n$?

→ Beh. $S_1 = G$.

Wollen einen konst. Bruchteil der Knoten entfernen.

Sei v ein non-boundary Knoten von G , und sei d sein Grad, dh. in G sind d Kanten inzident zu v .

2) Frage: Was passiert, wenn wir v aus G entfernen?

→ wenn wir v entfernen, entfernen wir auch die d inzidenten Kanten.

⇒ wenn wir v entfernen, dann auch die d Dreiecke. Die d Dreiecke werden durch ein einfaches Polygon ersetzt.

Sei q ein beliebiger Pkt im d -gon, das wir durch Entfernen von v erhalten. Dann können wir in Zeit $O(d)$ bestimmen, welches der d Dreiecke von G q enthält.

Um Eig. (5) zu erhalten, sollten wir Knoten vom kleinen Grad entfernen.

Für die Eig. (4) sollten wir möglichst viele dieser Knoten (mit kleinem Grad) entfernen.

3) Frage: Ist es immer möglich viele Knoten mit kleinem Grad zu bestimmen?

3.4.5.7 Triangulierungsmethode: Def (unabh.):

Eine Teilmenge der Knotenmenge heißt unabhängig, wenn keine zwei Knoten durch eine Kante verbunden sind.

3.4.5.8 Lemma: Der Graph G enthält eine unabhängige Knotenmenge I mit der Größe von mindestens $\lfloor \frac{1}{12} (\frac{n}{2} - 3) \rfloor$, so dass jeder Knoten aus I höchstens Grad 11 hat und jeder Knoten ein nicht Hüll-Knoten ist.

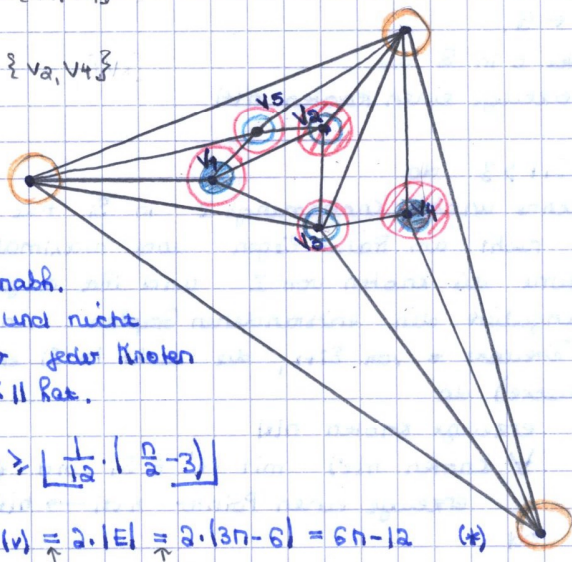
So eine Menge I kann in Zeit $O(n)$ gefunden werden.

Beweis: Betrachte folgenden Grady-Alg:

1. markiere alle drei Hüllknoten.
2. $I \leftarrow \emptyset$
3. repeat
4. wähle einen Knoten v mit Grad ≤ 11 , der nicht markiert ist
5. $I \leftarrow I \cup \{v\}$
6. markiere v und alle seine Nachbarn.
7. until es gibt keine unmarkierten Knoten mit Grad ≤ 11 .

a) $I \leftarrow \{v_1\} \cup I \Rightarrow I = \{v_1, v_4\}$
 $I \leftarrow \{v_4\} \cup I$

b) $I \leftarrow \{v_3\} \cup I \Rightarrow I = \{v_2, v_4\}$
 $I \leftarrow \{v_2\} \cup I$



- Klas:
- Alg. benötigt Zeit $O(n)$
 - & findet eine unabh. Knotenmenge I und nicht Hüllknoten, in der jeder Knoten höchstens Grad ≤ 11 hat.

Es bleibt z.z: $|I| \geq \lfloor \frac{1}{12} (\frac{n}{2} - 3) \rfloor$

Wissen: $\sum_{v \in V} \text{degree}(v) \stackrel{\text{allg.}}{=} 2 \cdot |E| \stackrel{\text{Hü 2.1.}}{=} 2 \cdot (3n - 6) = 6n - 12$ (*)



→ G enthält mind. $\frac{n}{2}$ Knoten vom Grad ≤ 11 .

Denn: Ann: rein.

→ mind. $\frac{n}{2}$ Knoten sind vom Grad > 11 bzw. dann ≥ 12 .

→ $\sum_{v \in V} \text{degree}(v) \geq \frac{n}{2} \cdot 12 = 6n$

→ \int zu (*)

// (*) sagt $\sum_{v \in V} \text{degree}(v) < 6n$!

Betrachte Algorithmus:

Alg. startet mit Markierung der drei begrenzten Knoten.

In diesem Moment gibt es mind. $\frac{n}{2} - 3$ unmarkierte Knoten mit Grad ≤ 11 .

Dann wählt der Alg. einen dieser Knoten und markiert ihn zusammen mit seinen höchstens 11 Nachbarn.

Das wird solange wiederholt bis es keine unmarkierten Knoten mit Grad ≤ 11 mehr gibt.

Deshalb werden während jeder Iteration höchstens 12 Knoten markiert.

Es gibt also mindestens $\left\lfloor \frac{1}{12} \left(\frac{n}{2} - 3 \right) \right\rfloor$

Während jeder Iteration wird ein Knoten zu I hinzugefügt.

Ergebnis: \forall Triang. G gilt: G enthält unabh. Knotenmenge I , so dass

1) $|I| \geq \left\lfloor \frac{1}{12} \left(\frac{n}{2} - 3 \right) \right\rfloor$

2) $\forall v \in I: \text{degree}(v) \leq 11$

3) I enthält keinen der drei Randknoten.

4) I kann in Zeit $O(n)$ berechnet werden.

→ 3.4.5.9 Lemma: Sei I eine unabh. Knotenmenge von G gemäß 3.4.5.8.

Sei G' der Graph, der durch Entfernen von I aus G entsteht

→ 1) Jede Fläche von G' ist ein 1-faches Polygon mit maximal 11 Knoten

2) Die äußeren Flächen (Dreiecke) von G und G' sind gleich.

→ 3.4.5.10 Alg. zur Konstruktion der Datenstruktur D zur Darstellung der Folge $S_1 \dots S_k$:

Datenstruktur D : Knoten + Pointer.

Knoten v speichert ein Dreieck t $v = n(t)$.

Triangulierung S : Pkte, Kanten, Flächen

$n_i = |S_i| = \#$ der Pkte.

1. $i \leftarrow 1, S_i \leftarrow G$.

2. \forall Dreiecke t in G do

3. erzeuge einen Knoten $n(t)$

4. od.

5. while $|S_i| > 3$ do

6. berechne unabh. Knotenmenge I in S_i mit mind. $\left\lfloor \frac{1}{12} \left(\frac{n}{2} - 3 \right) \right\rfloor$ Knoten, die nicht am Rand liegen und maximal Grad 11 haben.

7. Entferne die Knoten von I und ihre angrenzten Kanten aus S_i

8. Trianguliere den entstandenen Graphen und nenne das Resultat S_{i+1} .

9. \forall Dreiecke t von S_{i+1} , die nicht in S_i enthalten sind (d.h. neue Dreiecke) do

10. erzeuge Knoten $n(t)$

11. \forall Knoten $n(t')$ mit $t' \in S_i$ und t' schneidet t do

12. erzeuge einen Pointer $n(t) \rightarrow n(t')$

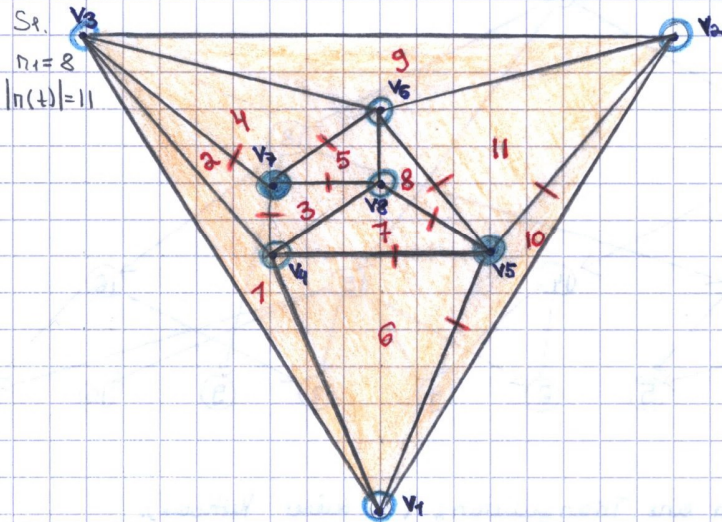
13. od.

14. od.

15. $i \leftarrow i+1$

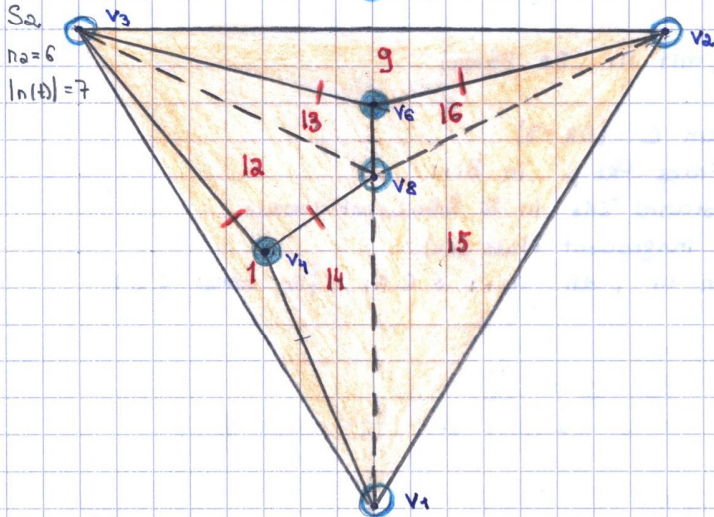
16. od.

→ 3.4.5.11. Beispiel:



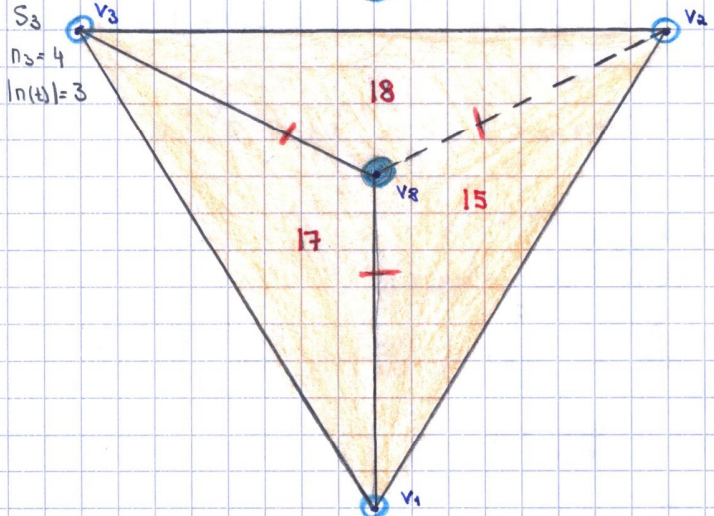
S_1
 $n_1 = 8$
 $|n(t)| = 11$

$i = 1$
 $I = \{v_5, v_7\}$
 $n(1) \dots n(11)$ $n(16)$
 neue Dreiecke: $n(12), n(13), n(14), n(15)$
 $n(12) \rightarrow n(2), n(4), n(3), n(5)$
 $n(13) \rightarrow n(4), n(5)$
 $n(14) \rightarrow n(6), n(7)$
 $n(15) \rightarrow n(10), n(6), n(7), n(8), n(11)$
 $n(16) \rightarrow n(11), n(8)$



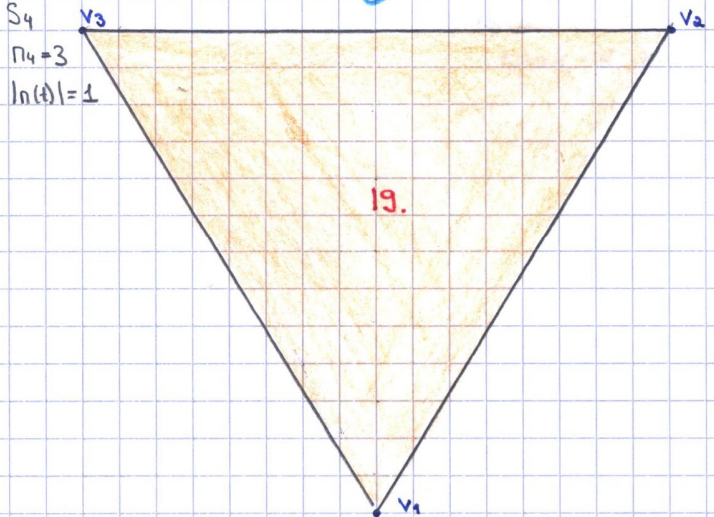
S_2
 $n_2 = 6$
 $|n(t)| = 7$

$i = 2$
 $I = \{v_6, v_4\}$
 neue Dreiecke: $n(16), n(17), n(18)$
 $n(17) \rightarrow n(1), n(14), n(12)$
 $n(18) \rightarrow n(13), n(9), n(16)$



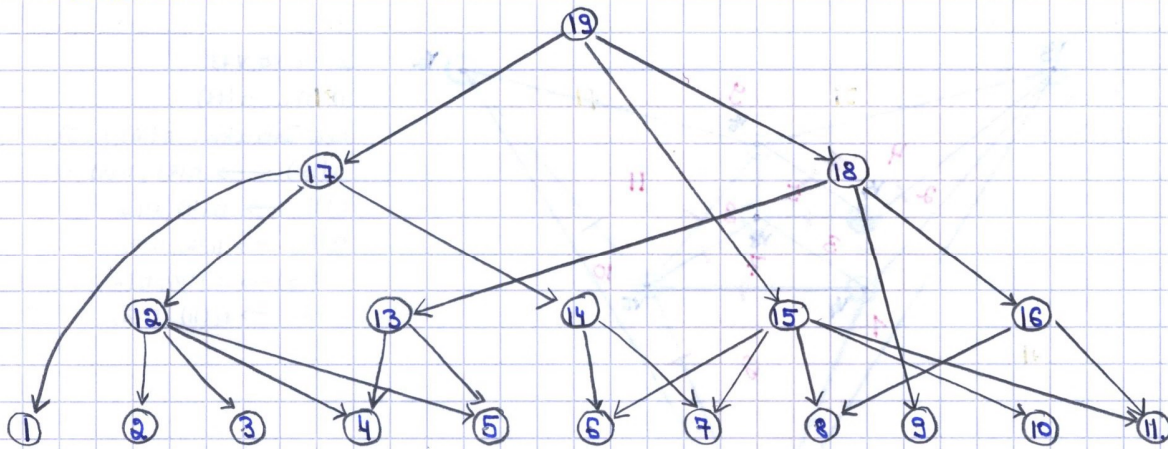
S_3
 $n_3 = 4$
 $|n(t)| = 3$

$i = 3$
 $I = \{v_8\}$
 neues Dreieck: $n(19)$
 $n(19) \rightarrow n(15), n(17), n(18)$



S_4
 $n_4 = 3$
 $|n(t)| = 1$

Datenstruktur D:



→ 3.4.5.12 Zusammenfassung:

Planare Unterteilung G ist eine Triangulierung (bei dieser Kettfolge).
(auch Rand ist Δ).

Ziel: Folge S_1, \dots, S_R (mit n_1, \dots, n_R Pkten)

- ✓ 1) $S_1 = G$
- ✓ 2) S_R besteht aus einem Δ ($n_R = 3$)
- 3) Lokalisierung von Frage-Pkt p in S_{i+1}
 $\Rightarrow p$ kann in konstanter Zeit in S_i lokalisiert werden.
- 4) S_1, \dots, S_R brauchen insgesamt Platz $O(n)$
- 5) n_{i+1} ist Bruchteil von n_i , d.h. $n_{i+1} < c \cdot n_i$ für konst $c < 1$
 $\Rightarrow R = O(\log n)$.

& gilt: $n_{i+1} < n_i \quad \forall i$

$\Rightarrow n_{i+1} < c_i \cdot n_i$ für $c_i > \frac{n_{i+1}}{n_i}$

Ferner: $\frac{n_{i+1}}{n_i} < 1 \Rightarrow c_i$ wählbar als $\frac{n_{i+1}}{n_i} < c_i < 1$

Gilt $\forall i$ und alle $c_i < 1$

\Rightarrow Wähle $c := c_R$ $\left[n_3 < \underbrace{c_3}_{<1} \cdot n_2 < \underbrace{c_3 \cdot c_2}_{<1} \cdot n_1 < c_3 \cdot n_1 \right]$

$\Rightarrow n_{i+1} < c \cdot n_i$

$\Rightarrow 3 = n_R < c \cdot n_{R-1} < c^2 \cdot n_{R-2} < \dots < c^{R-1} \cdot n_1 = c^{R-1} \cdot n$

$\Rightarrow n > \frac{3}{c^{R-1}}$

$\Rightarrow \log_2 n > \log_2 3 + \log_2 \left(\frac{1}{c}\right)^{R-1}$

$\Rightarrow \log_2 n > \frac{\ln 3}{\ln 2} + (R-1) \cdot \underbrace{\left(\log_2 \frac{1}{c} - \log_2 c\right)}_{=0}$

$\Rightarrow R-1 < \frac{\log_2 n - \frac{\ln 3}{\ln 2}}{-\frac{\ln c}{\ln 2}} = \log_2 n \cdot \left(-\frac{\ln c}{\ln 2}\right) + \frac{\ln 3}{\ln 2 \cdot \ln c}$

$\Rightarrow R < \underbrace{\frac{\ln c}{\ln 2} \cdot \log_2 n}_{>0 \text{ weil } c < 1, \text{ const}} + \underbrace{\frac{\ln 3}{\ln 2 \cdot \ln c} + 1}_{\text{const}}$

$\Rightarrow R \leq M \cdot \log n$ mit $M = \text{const}$

$\Rightarrow R = O(\log n)$.

→ 3.4.5.13 Algorithmus für Point-Location:

Eingabe: Pkt q

Datenstruktur D .

$D.search(q)$ liefert Dreieck von G , das q enthält.

if q außerhalb Dreieck i.d. Wurzel then

Aussage: "äußeres Gebiet von G ".

else

$v \leftarrow$ Wurzel

while v kein Blatt (d.h. $D.outdeg(v) > 0$) do

forall Knoten u mit \exists Pointer $v \rightarrow u$ do

if q innerhalb Dreieck von u then

$v \leftarrow u$;

fi

od

od

Ausgabe: Dreieck von v

fi

Schleifeninvariante: Während der Ausführung der while-Schleife gilt stets, dass $q \in$ Dreieck von v .

Bemerkung: Platz:

$$\# \text{Knoten} = n_1 + n_2 + \dots + n_R \leq$$

$$\leq n_1 + c \cdot n_1 + \dots + c^{R-1} \cdot n_1 =$$

$$= n_1 \sum_{v=0}^{R-1} c^v = n_1 \cdot \frac{c^R - 1}{c - 1} = n \cdot \underbrace{\frac{c^R - 1}{c - 1}}_{\text{const}} = O(n)$$

→ G enthält mind. $\frac{n}{2}$ Knoten vom Grad ≤ 11 .

Denn: Ann: rein.

→ mind. $\frac{n}{2}$ Knoten sind vom Grad > 11 bzw. dann ≥ 12 .

→ $\sum_{v \in V} \text{degree}(v) \geq \frac{n}{2} \cdot 12 = 6n$

→ \int zu (*)

// (*) sagt $\sum_{v \in V} \text{degree}(v) < 6n$!

Betrachte Algorithmus:

Alg. startet mit Markierung der drei begrenzten Knoten.

In diesem Moment gibt es mind. $\frac{n}{2} - 3$ unmarkierte Knoten mit Grad ≤ 11 .

Dann wählt der Alg. einen dieser Knoten und markiert ihn zusammen mit seinen höchstens 11 Nachbarn.

Das wird solange wiederholt bis es keine unmarkierten Knoten mit Grad ≤ 11 mehr gibt.

Deshalb werden während jeder Iteration höchstens 12 Knoten markiert.

Es gibt also mindestens $\left\lfloor \frac{1}{12} \left(\frac{n}{2} - 3 \right) \right\rfloor$

Während jeder Iteration wird ein Knoten zu I hinzugefügt.

Ergebnis: \forall Triang. G gilt: G enthält unabh. Knotenmenge I , so dass

1) $|I| \geq \left\lfloor \frac{1}{12} \left(\frac{n}{2} - 3 \right) \right\rfloor$

2) $\forall v \in I: \text{degree}(v) \leq 11$

3) I enthält keinen der drei Randknoten.

4) I kann in Zeit $O(n)$ berechnet werden.

→ 3.4.5.9 Lemma: Sei I eine unabh. Knotenmenge von G gemäß 3.4.5.8.

Sei G' der Graph, der durch Entfernen von I aus G entsteht

→ 1) Jede Fläche von G' ist ein 1-faches Polygon mit maximal 11 Knoten

2) Die äußeren Flächen (Dreiecke) von G und G' sind gleich.

→ 3.4.5.10 Alg. zur Konstruktion der Datenstruktur D zur Darstellung der Folge $S_1 \dots S_k$:

Datenstruktur D : Knoten + Pointer.

Knoten v speichert ein Dreieck t $v = n(t)$.

Triangulierung S : Pkte, Kanten, Flächen

$n_i = |S_i| = \#$ der Pkte.

1. $i \leftarrow 1, S_i \leftarrow G$.

2. \forall Dreiecke t in G do

3. erzeuge einen Knoten $n(t)$

4. od.

5. while $|S_i| > 3$ do

6. berechne unabh. Knotenmenge I in S_i mit mind. $\left\lfloor \frac{1}{12} \left(\frac{n}{2} - 3 \right) \right\rfloor$ Knoten, die nicht am Rand liegen und maximal Grad 11 haben.

7. Entferne die Knoten von I und ihre angrenzten Kanten aus S_i

8. Trianguliere den entstandenen Graphen und nenne das Resultat S_{i+1} .

9. \forall Dreiecke t von S_{i+1} , die nicht in S_i enthalten sind (d.h. neue Dreiecke) do

10. erzeuge Knoten $n(t)$

11. \forall Knoten $n(t')$ mit $t' \in S_i$ und t' schneidet t do

12. erzeuge einen Pointer $n(t) \rightarrow n(t')$

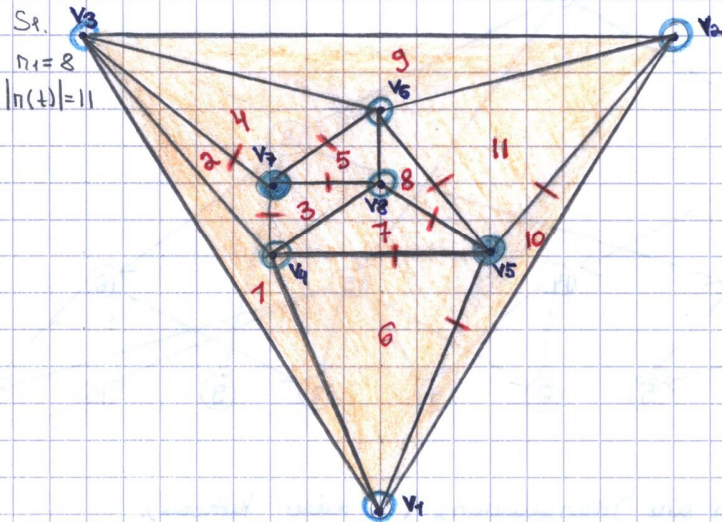
13. od.

14. od.

15. $i \leftarrow i+1$

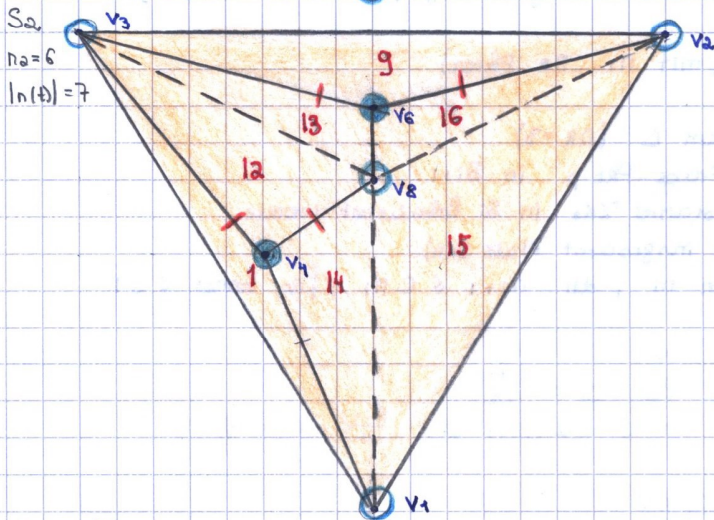
16. od.

3.4.5.11. Beispiel:



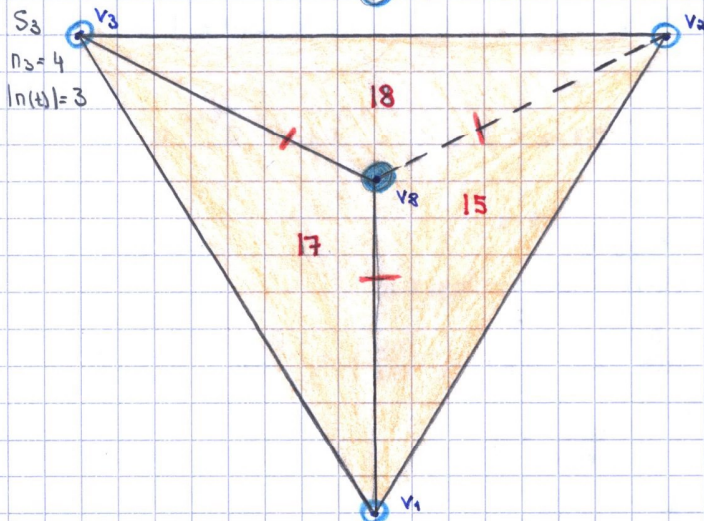
S_1
 $n_1 = 8$
 $|n(t)| = 11$

$i = 1$
 $I = \{v_5, v_7\}$
 $n(1) \dots n(11)$ $n(16)$
 new Dreiecke: $n(12), n(13), n(14), n(15)$
 $n(12) \rightarrow n(2), n(4), n(3), n(5)$
 $n(13) \rightarrow n(4), n(5)$
 $n(14) \rightarrow n(6), n(7)$
 $n(15) \rightarrow n(10), n(6), n(7), n(8), n(11)$
 $n(16) \rightarrow n(11), n(8)$



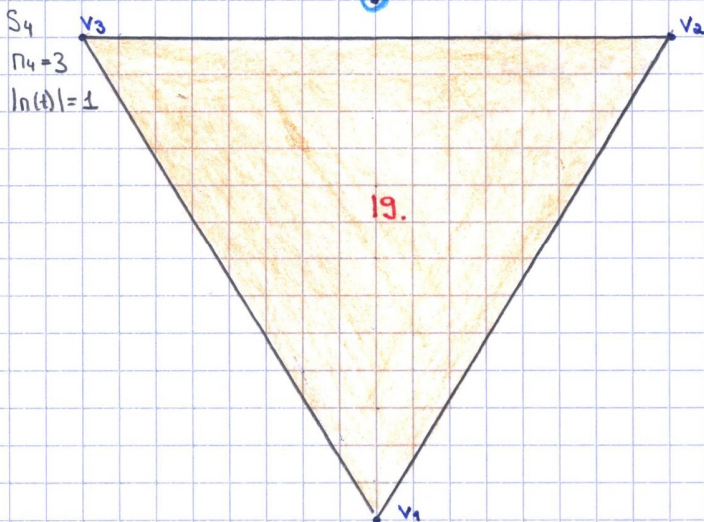
S_2
 $n_2 = 6$
 $|n(t)| = 7$

$i = 2$
 $I = \{v_6, v_4\}$
 new Dreiecke: $n(16), n(17), n(18)$
 $n(17) \rightarrow n(1), n(14), n(12)$
 $n(18) \rightarrow n(13), n(9), n(16)$
 $n(19) \rightarrow n(11)$



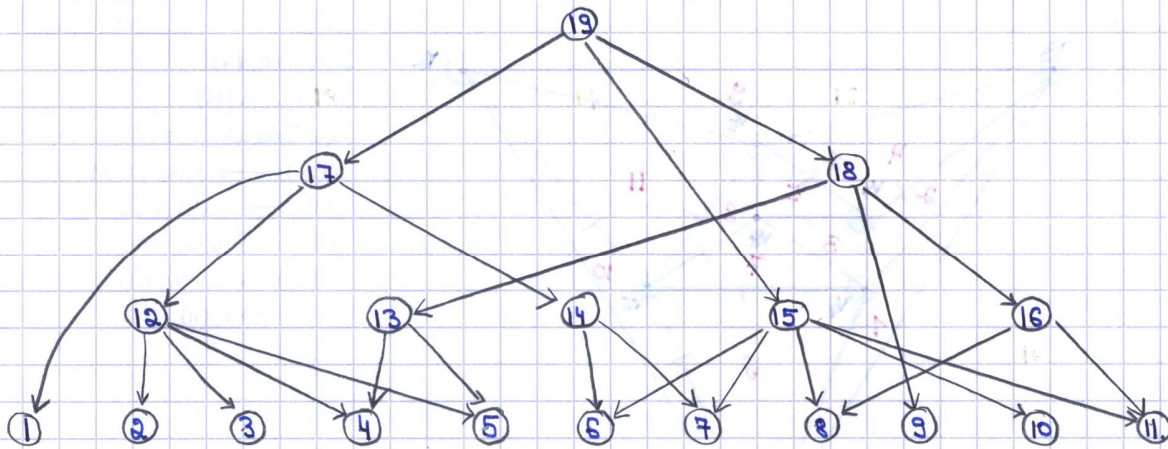
S_3
 $n_3 = 4$
 $|n(t)| = 3$

$i = 3$
 $I = \{v_8\}$
 neues Dreieck: $n(19)$
 $n(19) \rightarrow n(15), n(17), n(18)$



S_4
 $n_4 = 3$
 $|n(t)| = 1$

Datenstruktur D:



→ 3.4.5.12 Zusammenfassung:

Planare Unterteilung G ist eine Triangulierung (bei dieser Kettfolge).
(auch Rand ist Δ).

Ziel: Folge S_1, \dots, S_R (mit n_1, \dots, n_R Pkten)

- ✓ 1) $S_1 = G$
- ✓ 2) S_R besteht aus einem Δ ($n_R = 3$)
- 3) Lokalisierung von Frage-Pkt p in S_{i+1}
 $\Rightarrow p$ kann in konstanter Zeit in S_i lokalisiert werden.
- 4) S_1, \dots, S_R brauchen insgesamt Platz $O(n)$
- 5) n_{i+1} ist Bruchteil von n_i , d.h. $n_{i+1} < c \cdot n_i$ für konst $c < 1$
 $\Rightarrow R = O(\log n)$.

& gilt: $n_{i+1} < n_i \quad \forall i$

$\Rightarrow n_{i+1} < c_i \cdot n_i$ für $c_i > \frac{n_{i+1}}{n_i}$

Ferner: $\frac{n_{i+1}}{n_i} < 1 \Rightarrow c_i$ wählbar als $\frac{n_{i+1}}{n_i} < c_i < 1$

Gilt $\forall i$ und alle $c_i < 1$

\Rightarrow Wähle $c := c_R$ $[n_3 < \underbrace{c_3}_{<1} \cdot n_2 < \underbrace{c_3 \cdot c_2}_{<1} \cdot n_1 < c_3 \cdot n_1]$

$\Rightarrow n_{i+1} < c \cdot n_i$

$\Rightarrow 3 = n_R < c \cdot n_{R-1} < c^2 \cdot n_{R-2} < \dots < c^{R-1} \cdot n_1 = c^{R-1} \cdot n$

$\Rightarrow n > \frac{3}{c^{R-1}}$

$\Rightarrow \log_2 n > \log_2 3 + \log_2 \left(\frac{1}{c}\right)^{R-1}$

$\Rightarrow \log_2 n > \frac{\ln 3}{\ln 2} + (R-1) \cdot \underbrace{\left(\log_2 \frac{1}{c} - \log_2 c\right)}_{=0}$

$\Rightarrow R-1 < \frac{\log_2 n - \frac{\ln 3}{\ln 2}}{-\frac{\ln c}{\ln 2}} = \log_2 n \cdot \left(-\frac{\ln c}{\ln 2}\right) + \frac{\ln 3}{\ln 2}$

$\Rightarrow R < \underbrace{\frac{\ln c}{\ln 2} \cdot \log_2 n}_{>0 \text{ weil } c < 1, \text{ const}} + \underbrace{\frac{\ln 3}{\ln 2} + 1}_{\text{const}}$

$\Rightarrow R \leq M \cdot \log n$ mit $M = \text{const}$

$\Rightarrow R = O(\log n)$.

→ 3.4.5.13 Algorithmus für Point-Location:

Eingabe: Pkt q

Datenstruktur D .

$D.search(q)$ liefert Dreieck von G , das q enthält.

if q außerhalb Dreieck i.d. Wurzel then

Aussage: "äußeres Gebiet von G ".

else

$v \leftarrow$ Wurzel

while v kein Blatt (d.h. $D.outdeg(v) > 0$) do

forall Knoten u mit \exists Pointer $v \rightarrow u$ do

if q innerhalb Dreieck von u then

$v \leftarrow u$;

fi

od

od

Ausgabe: Dreieck von v

fi

Schleifeninvariante: Während der Ausführung der while-Schleife gilt stets, dass $q \in$ Dreieck von v .

Bemerkung: Platz:

$$\# \text{Knoten} = n_1 + n_2 + \dots + n_R \leq$$

$$\leq n_1 + c \cdot n_1 + \dots + c^{R-1} \cdot n_1 =$$

$$= n_1 \sum_{v=0}^{R-1} c^v = n_1 \cdot \frac{c^R - 1}{c - 1} = n \cdot \underbrace{\frac{c^R - 1}{c - 1}}_{\text{const}} = O(n)$$

→ 3.4.5.13 Algorithmus für Point Location.

43

Eingabe: Pkt q , Datenstruktur D .

$D.search(q)$ liefert Dreieck von G , das q enthält

if q außerhalb Dreieck in der Wurzel then

Aussage: äußeres Gebiet von G .

else

$v \leftarrow$ Wurzel

while v kein Blatt (d.h. $D.outdeg(v) > 0$) do

forall Knoten u mit \exists Pointer $v \rightarrow u$ do

if q innerhalb Dreieck von u then

$v \leftarrow u$;

fi

od

od

Ausgabe: Dreieck von v

fi.

Schleifen-Invariante: Während der Ausführung der while-Schleife gilt stets, dass $q \in$ Dreieck von v .

Knoten $\hat{=}$ Objekt einer Klasse "Dreieck".

→ mit orient. Tests ...

Kapitel IV: Bewegungsplanung i.d. Ebene.

4.1. Einführung:

4.1.1. Allgemeines Problem:

Geg: Eine Szene S von Hindernissen (Polygone, Segmente, ...), ein Roboter R (Polygon, Kreisscheibe, ...) und zwei Pkte A, B .

Aufgabe: Beantworte die Frage, ob R von A nach B bewegt werden kann, ohne mit Hindernissen aus S zu kollidieren bzw. gib einen kollisionsfreien Weg an.

→ Piano Moves Problem.

4.1.2. Bemerkungen:

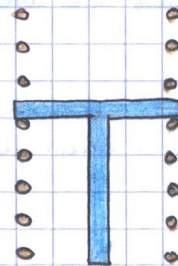
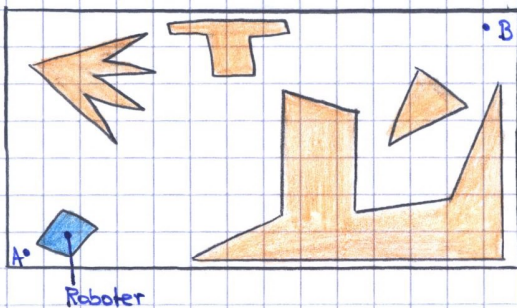
i) Wir behandeln zwei Spezialfälle:

- S ist Menge von Kurvensegmenten u. R ist eine Kreisscheibe.
- S ist Menge von konvexen Polygone, R ist konvexes Polygon.

ii) Bewegung: nur Translationen.

Es gibt Vielzahl weiterer Varianten:

- Rotationen erlaubt
- Kurzester Weg.
- Sicherster Weg.



4.2. Problem 1: R ist Kreis und S Menge von Segmenten.

4.2.1. Idee: Versuche den sichersten Weg zu finden, d.h. R hält immer max. möglichen Abstand zu den Segmenten.

4.2.2. Frage: Was sind die Orte mit maximalen Abstand zu allen Hindernissen?

4.2.3. Antwort: Alle Pkte auf (Knoten &) Kanten des Voronoi-Diagramms von S . $VD(S)$

4.2.4. Voronoi-Diagramm von Segmenten i.d. Praxis:

→ annäherung durch setzen von Hilfspunkten (genügend dicht) und Berechnung des VD 's dieser Pkte.

Anschließend Erzeugung aller Voronoi-Kanten, die von Segmenten geschnitten werden.

4.2.5. Definition: $\forall p \in \mathbb{R}^2$ ist

a) Freiheit (p): = minimaler Abstand von p zu allen Hindernissen.

b) p heißt frei \Leftrightarrow Freiheit(p) $\geq r$, wobei r = Radius von R .

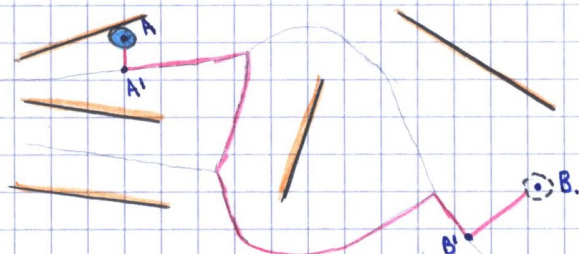
(d.h. Kreisscheibe R kann mit Mittelpunkt auf p platziert werden, ohne ein Segment zu schneiden).

c) FP := $\{p \in \mathbb{R}^2; p \text{ ist frei}\}$

4.2.6. Idee für Algorithmus:

- Bewege R von Anfangsposition A (Ann. frei Position) auf nächste Voronoi-Kante (\rightarrow Position A').
- Bewege R auf Voronoi-Kanten, die mindestens Freiheit r haben, so nah wie möglich an B heran. (\rightarrow Position B')
- Bewege R von B' nach B (Ann. B ist frei).

4.2.7. Beispiel:



4.2.10 Lemma:

- 1) falls A bzw. B frei ist $\Rightarrow \exists$ Bewegung von A nach A' bzw. von B nach B'.
- 2) \exists Bewegung von A nach B $\Leftrightarrow \exists$ Bewegung von A' nach B', die nur Voronoi-Kanten besitzt.

Beweis:

1) Sei $VR(S)$ die Voronoi-Region, die A enthält

$$\Rightarrow P_A \in S \cup \{S\}$$

Seien A, B frei $\Rightarrow \text{Freiheit}(A) \geq r \wedge \text{Freiheit}(B) \geq r$

$$\text{Freiheit}(A) := \min_{s \in S} |A-s|, \quad \text{Freiheit}(B) := \min_{s \in S} |B-s|$$

Es gilt: $r \leq \text{Freiheit}(A) \leq \text{Freiheit}(p) \forall p \in \overline{AA'}$

\Rightarrow Es gibt eine legale Bewegung von R von A nach A'

weil $\text{Freiheit}(p) \geq r \forall p \in \overline{AA'}$.

$B \rightarrow B'$ analog.

2) " \Leftarrow ": \exists Bewegung von A' nach B', die nur Voronoi-Kanten besitzt.

Beh folgt nach Teil 1), falls A und B frei sind.

" \Rightarrow ": z.z. \exists Bew. von A' nach B', die nur Vor. K. besitzt.

Eine beliebige legale Bewegung von A nach B wird durch eine Kurve $C \subset \mathbb{R}^2$ definiert. (obwohl eine einfache Kurve).

$\forall p \in C$ ist p frei, d.h. $\text{Freiheit}(p) \geq r$

Betr. Abb. $\mathcal{D}: FP \rightarrow VD(S)$ bea: $C \subset FP \quad (\mathcal{D}(C) = C)$

die durch Schritte 2 bis 3 des Algorithmus definiert ist.

$\mathcal{D}(p) = p'$. \mathcal{D} = Streckung o. Projektion

Betr. Lots von p auf Segmente (mit min. Abstand)

Schnittpt mit Vor. kante ist p'

Bea: Jetzt müssen wir noch nicht, dass C auf Vor.kanten liegt, wollen genau das zeigen

\Rightarrow a). \mathcal{D} ist stetig

$\Rightarrow \mathcal{D}(C)$ auch Kurve.

b) $\text{Freiheit}(\mathcal{D}(p)) \geq \text{Freiheit}(p) \geq r$

$\min_{s \in S} |\mathcal{D}(p)-s| \geq \min_{s \in S} |p-s|$ weil wir immer den Bl. Abstand nehmen.

p haben zuerst gesucht, $p \in C \Rightarrow$ Beh.

$\geq r$ auch klar da Bew. 1.

$\Rightarrow \forall p \in C: \mathcal{D}(p)$ ist frei und $\mathcal{D}(p) \in VD(S)$ weil $W(\mathcal{D}) = VD(S)$

$\Rightarrow \mathcal{D}$ ist eine legale Bewegung

Bea: $\mathcal{D}(A) = A' \wedge \mathcal{D}(B) = B'$ nach Alg.



4.2.11 Laufzeit:

Schritt 1: $O(n \log n)$ durch Plane Sweep.

Schritt 2: $O(n)$ lin. Suche in S

Schritt 3: $O(n)$ lin. Such auf $VD(S)$, P_A berechnen $\rightarrow O(1)$, A' berechnen $\rightarrow O(1)$, e_1, e_2 aufteilen und $\text{Freiheit}(e_1), \text{Freiheit}(e_2)$ berechnen $\rightarrow O(1)$

Überprüfen ob A' bzw B' Vor. Knoten $\rightarrow O(1)$, dann lin. Suche bei den gespeicherten Voronoi-Knoten.

Schritt 4: $O(n)$ Pfadsuche in $VD(S)$ (z.B. DFS)

Schritt 5: $O(n)$ Ausgabe des Pfades.

4.2.12 Satz: Bewegungsplanungsproblem für eine Kreisscheibe in einer Ebene von n Liniensegmenten in der Ebene kann in Zeit $O(n \log n)$ und Platz $O(n)$ gelöst werden.

Beweis: s.o.

weil in einzelnen 5 Schritten immer Platz $O(n)$.

Kapitel IV: Bewegungsplanung i.d. Ebene.

4.1. Einführung:

4.1.1. Allgemeines Problem:

Geg: Eine Szene S von Hindernissen (Polygone, Segmente, ...), ein Roboter R (Polygon, Kreisscheibe, ...) und zwei Pkte A, B .

Aufgabe: Beantworte die Frage, ob R von A nach B bewegt werden kann, ohne mit Hindernissen aus S zu kollidieren bzw. gib einen kollisionsfreien Weg an.

→ Piano Moves Problem.

4.1.2. Bemerkungen:

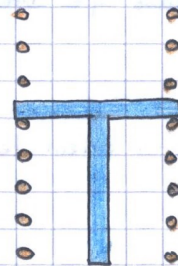
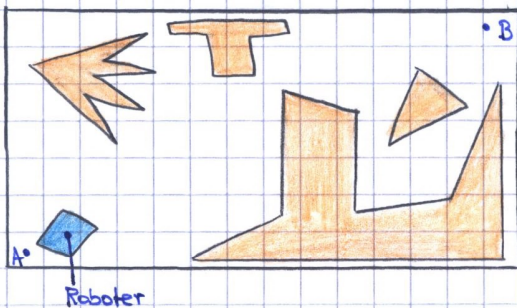
i) Wir behandeln zwei Spezialfälle:

- S ist Menge von Kurvensegmenten u. R ist eine Kreisscheibe.
- S ist Menge von konvexen Polygonen, R ist konvexes Polygon.

ii) Bewegung: nur Translationen.

Es gibt Vielzahl weiterer Varianten:

- Rotationen erlaubt
- Kurzester Weg.
- Sicherster Weg.



4.2. Problem 1: R ist Kreis und S Menge von Segmenten.

4.2.1. Idee: Versuche den sichersten Weg zu finden, d.h. R hält immer max. möglichen Abstand zu den Segmenten.

4.2.2. Frage: Was sind die Orte mit maximalen Abstand zu allen Hindernissen?

4.2.3. Antwort: Alle Pkte auf (Knoten &) Kanten des Voronoi-Diagramms von S . V(DS)

4.2.4. Voronoi-Diagramm von Segmenten i.d. Praxis:

→ annäherung durch setzen von Hilfpunkten (genügend dicht) und Berechnung des VD's dieser Pkte.

Anschließend Erzeugung aller Voronoi-Kanten, die von Segmenten geschnitten werden.

4.2.5. Definition: $\forall p \in \mathbb{R}^2$ ist

a) Freiheit (p): = minimaler Abstand von p zu allen Hindernissen.

b) p heißt frei \Leftrightarrow Freiheit(p) $\geq r$, wobei r = Radius von R .

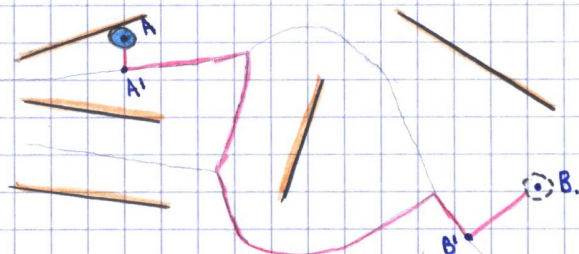
(d.h. Kreisscheibe R kann mit Mittelpunkt auf p platziert werden, ohne ein Segment zu schneiden).

c) FP := $\{p \in \mathbb{R}^2; p \text{ ist frei}\}$

4.2.6. Idee für Algorithmus:

- Bewege R von Anfangsposition A (Ann. frei Position) auf nächste Voronoi-Kante (\rightarrow Position A').
- Bewege R auf Voronoi-Kanten, die mindestens Freiheit r haben, so nah wie möglich an B heran. (\rightarrow Position B')
- Bewege R von B' nach B (Ann. B ist frei).

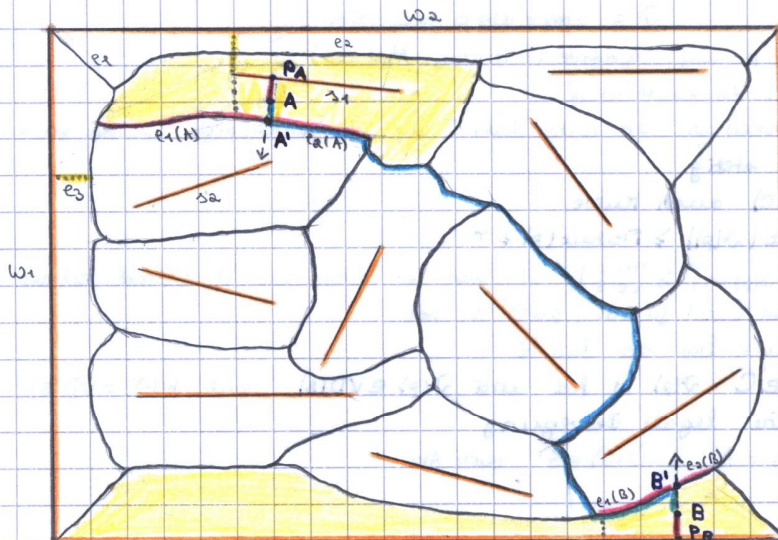
4.2.7. Beispiel:



4.2.8 Algorithmus:

1. Konstruiere $VD(S)$. Speichere für jede Kante die beiden Orte, die e definieren.
(entweder Segmentendpunkte oder Segmentrand).
Und $\text{Freiheit}(e) :=$ minimaler Abstand eines PKtes auf e zu einem Segment.
($\text{Freiheit}(e) \geq r \Rightarrow R$ kann über e bewegt werden).
↑ Preprocessing.
2. Bestimme für A und B jeweils den nächsten Pkt P_A bzw. P_B auf einem Segment durch lineare Suche auf S (\rightarrow Point Location)
(P_A, P_B sind Schnittpkte des Lots von A bzw. B auf nächstes Segment).
D.h. Betrachte Lot von A bzw. B auf alle Segmente in S , suche nach einem Lot, der eine Voronoi-Kante schneidet \rightarrow lin. Suche.
3. $A' \leftarrow$ erster Schnittpkt des Strahls $\overrightarrow{P_A A}$ mit $VD(S)$
 $B' \leftarrow$ erster Schnittpkt des Strahls $\overrightarrow{P_B B}$ mit $VD(S)$
Falls A' bzw. B' keine Voronoi-Knoten, dann mache sie zu künstlichen Knoten durch spalten der entsprechenden Kante e in e_1, e_2 .
 \rightarrow Berechne $\text{Freiheit}(e_1), \text{Freiheit}(e_2)$!
4. Suche einen Pfad P in $VD(S)$ von A' nach B' mit $\text{Freiheit}(e) \geq r \forall e \in P$.
 \approx B. durch DFS oder BFS.
Falls kein solcher Pfad existiert, melde "keine Lösung".
 \rightarrow STOP.
5. Der Weg $A \rightarrow P \rightarrow B$ ist eine mögliche Bewegung.

4.2.9 Bsp:



1. für e_1 speichere: (w_1, w_2) $\text{Freiheit}(e_1) = 0 \text{ cm}$
für e_2 speichere: (s_1, w_2) $\text{Freiheit}(e_2) = 0,5 \text{ cm}$
für e_3 speichere: (Endpkt von s_2, w_1) $\text{Freiheit}(e_3) = 0,5 \text{ cm}$ u.s.w. ...
2. Berechne Lots von A und B auf alle Segmente (incl. Ränder)
Von den berechneten suche die mit dem kleinsten Abstand aus (lin. Suche)
Dadurch wissen wir in welcher Region sich Ort A und B befinden (point location)
Im Bsp. sind die jeweiligen Regionen gelb.
3. Teile $e_1(A)$ und $e_1(B)$ und $e_2(B)$ in $e_1(A)$ und $e_2(B)$
 $\text{Freiheit}(e_1(A)) = 0,6 \text{ cm}$, $\text{Freiheit}(e_2(A)) = 0,7 \text{ cm}$
 $\text{Freiheit}(e_1(B)) = 0,3 \text{ cm}$, $\text{Freiheit}(e_2(B)) = 1 \text{ cm}$
4. $\forall e \in \text{blau}$ gilt: $\text{Freiheit}(e) \geq r$

4.2.10 Lemma:

- 1) falls A bzw. B frei ist $\Rightarrow \exists$ Bewegung von A nach A' bzw. von B nach B'.
- 2) \exists Bewegung von A nach B $\Leftrightarrow \exists$ Bewegung von A' nach B', die nur Voronoi-Kanten besitzt.

Beweis:

- 1) Sei $VR(S)$ die Voronoi-Region, die A enthält
 $\Rightarrow P_A \in S, \forall ES$
 Seien A, B frei $\Rightarrow \text{Freiheit}(A) \geq r \wedge \text{Freiheit}(B) \geq r$
 $\text{Freiheit}(A) := \min_{s \in S} |A-s|$, $\text{Freiheit}(B) := \min_{s \in S} |B-s|$

Es gilt: $r \leq \text{Freiheit}(A) \leq \text{Freiheit}(p) \forall p \in \overline{AA'}$
 \Rightarrow Es gibt eine legale Bewegung von R von A nach A'
 weil $\text{Freiheit}(p) \geq r \forall p \in \overline{AA'}$.

$B \rightarrow B'$ analog.

- 2) " \Leftarrow ": \exists Bewegung von A' nach B', die nur Voronoi-Kanten besitzt.

Beh folgt nach Teil 1), falls A und B frei sind.

- " \Rightarrow ": z.z. \exists Bew. von A' nach B', die nur Vor. K. besitzt.

Eine beliebige legale Bewegung von A nach B wird durch eine Kurve $C \subset \mathbb{R}^2$ definiert. (obwohl eine einfache Kurve).

$\forall p \in C$ ist p frei, d.h. $\text{Freiheit}(p) \geq r$

Betr. Abb. $\mathcal{D}: FP \rightarrow VD(S)$ bea: $C \subset FP$ ($\mathcal{D}(C) = C$)

die durch Schritte 2 bis 3 des Algorithmus definiert ist.

$\mathcal{D}(p) = p'$. $\mathcal{D} =$ Streckung o. Projektion

Betr. Lots von p auf Segmente (mit min. Abstand)

Schnittpkt mit Vor. kante ist p'

Bea: Jetzt müssen wir noch nicht, dass C auf Vor.kanten liegt, wollen genau das zeigen

- \Rightarrow a). \mathcal{D} ist stetig

$\Rightarrow \mathcal{D}(C)$ auch Kurve.

- b) $\text{Freiheit}(\mathcal{D}(p)) \geq \text{Freiheit}(p) \geq r$

$\min_{s \in S} |\mathcal{D}(p)-s| \geq \min_{s \in S} |p-s|$ weil wir immer den Bl. Abstand nehmen.

p haben zuerst gesucht, $p \in C \Rightarrow$ Beh.

$\geq r$ auch klar da Bew. \exists .

$\Rightarrow \forall p \in C: \mathcal{D}(p)$ ist frei und $\mathcal{D}(p) \in VD(S)$ weil $W(\mathcal{D}) = VD(S)$

$\Rightarrow \mathcal{D}$ ist eine legale Bewegung

Bea: $\mathcal{D}(A) = A' \wedge \mathcal{D}(B) = B'$ nach Alg.



4.2.11 Laufzeit:

Schritt 1: $O(n \log n)$ durch Plane Sweep.

Schritt 2: $O(n)$ lin. Suche in S

Schritt 3: $O(n)$ lin. Such auf $VD(S)$, P_A berechnen $\rightarrow O(1)$, A' berechnen $\rightarrow O(1)$, e_1, e_2 aufteilen und

$\text{Freiheit}(e_1), \text{Freiheit}(e_2)$ berechnen $\rightarrow O(1)$

Überprüfen ob A' bzw B' Vor. Knoten $\rightarrow O(1)$, dann lin. Suche bei den gespeicherten Voronoi-Knoten.

Schritt 4: $O(n)$ Pfadsuche in $VD(S)$ (z.B. DFS)

Schritt 5: $O(n)$ Ausgabe des Pfades.

4.2.12 Satz: Bewegungsplanungsproblem für eine Kreisscheibe in einer Szene von n Liniensegmenten in der Ebene kann in Zeit $O(n \log n)$ und Platz $O(n)$ gelöst werden.

Beweis: s.o.

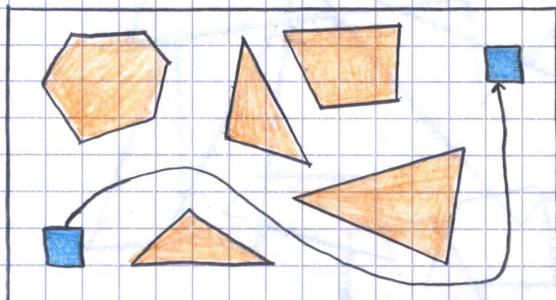
weil in einzelnen 5 Schritten immer Platz $O(n)$.

5.2	Range-Tree (Bereichsabfrage-Baum)	58
5.2.1	Definition (<i>Range-Tree</i>)	58
5.2.2	Beispiele	58
5.2.2.1	Dimension = 1	} jeweils mit Komplexitätsbehandlung
5.2.2.2	Dimension = 2	
5.2.3	Verallgemeinerung für beliebige Dimensionen	60
5.2.4	Bemerkungen	60
5.3	Priority-Search-Tree	61
5.3.1	Definition (<i>Priority-Search-Tree</i>)	61
5.3.2	Speichern der Punkte	61
5.3.3	Beispiel	61
5.3.4	Problem1 und Lösung	61
5.3.5	Problem2 und Lösung	62
5.3.6	Satz (<i>Zusammenfassung</i>)	62
5.3.7	Anwendung	62
5.4	Das Maßproblem für achsenparallele Rechtecke	63
5.4.1	Problem	63
5.4.2	Idee	63
5.4.3	Beispiel	64
5.4.4	Beobachtung	64
5.4.5	Genauere Betrachtung der Aktionen	65
5.4.6	Satz	65
6	Drei-dimensionale konvexe Hüllen	66
6.1	Einführung	66
6.1.1	Problem	66
6.1.2	Darstellung des planaren Oberflächengraphen	66
6.1.3	Beispiel	66
6.1.4	Geometrische Prädikate	66
6.2	Algorithmen	67
6.2.1	Inkrementeller Algorithmus	67
6.2.1.1	Algorithmus	67
6.2.1.2	Beispiel	67
6.2.1.3	Bemerkung	68
6.2.1.4	Laufzeit	68
6.2.1.5	Bemerkung	68
6.2.2	Divide & Conquer-Algorithmus	68
6.2.2.1	Algorithmus	68
6.2.2.2	Situation	69
6.2.2.3	Problem	69
6.2.2.4	Beobachtungen	69
6.2.2.5	Satz	70
6.3	Anwendung von 3-D konvexen Hülle (<i>Delaney-Triangulierung</i>)	70
6.3.1	Einführung	70
6.3.2	Idee	70
6.3.3	Umsetzung	70

4.3 Problem 2: R ist konv. Polygon und S Menge von konv. Polygonen.

4.3.1. Problemschilderung: S ist eine Szene von m konvexen Polygonen P_1, \dots, P_m mit $n := \sum_{i=1}^m \# \text{Ecken von } P_i$ und $P_i \cap P_j = \emptyset \quad \forall i \neq j$

R (Roboter) ist konvexes Polygon mit c Ecken ($c = \text{Konstante}$),
Bewegungen: Nur Translationen von R (Keine Rotationen).



4.3.2. Ann:

- S ist in einem Rechteck eingeschlossen, z.B. Dummi-Hindernisse.
- Sei p ein beliebiger Referenzpunkt im Inneren von R , dann ist die Position von R durch die Position von p im \mathbb{R}^2 definiert.

4.3.3. Idee:

Reduziere das Problem auf das Bewegungsplanungsproblem eines plattformigen Roboters (p) in einer komplizierten Szene S' .

Dazu blähen wir alle Hindernisse P_1, \dots, P_m auf.

D.h. alle Hindernisse werden um das Maß vergrößert, auf das der Roboter verkleinert werden muss, um ein Pfad zu werden.

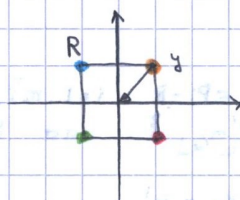
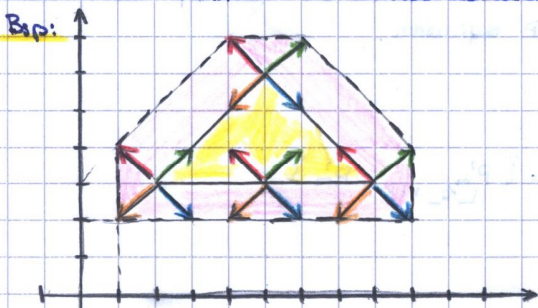
4.3.4. Konstruktion von P_i' (= aufgeblähtes Hindernis).

$P_i' = P_i - R =$ "Minkowski-Differenz".

$$= \{ x - y : x \in P_i \wedge y \in R \}$$

\uparrow \mathbb{R}^2 \uparrow im Koordinatensystem des Roboters.

Bsp:



orange $(2,3) - (1,1) = (1,2)$

blue $(2,3) - (-1,1) = (3,2)$

red $(2,3) - (1,-1) = (1,4)$

green $(2,3) - (-1,-1) = (3,4)$

pink kommt dazu

Betrachte die Szene $S' = \{P_1', \dots, P_m'\}$ mit $P_i' = P_i - R, i=1..m$.

Dann ist die Menge der freien Platzierungen von R in S' (bzgl. des Referenzpunktes p):
 $FP = \mathbb{R}^2 \setminus \bigcup_{i=1}^m P_i'$

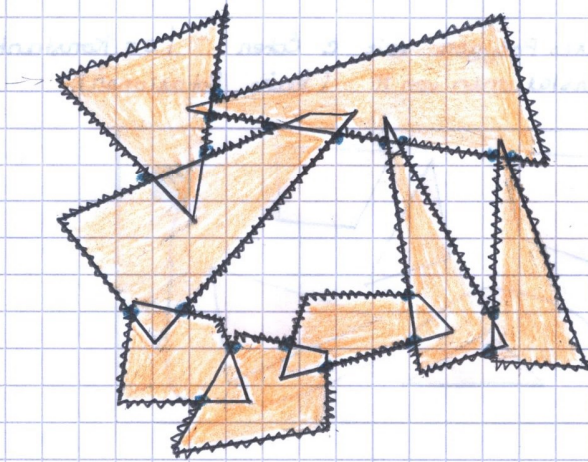
d.h. das Komplement der Vereinigung aller aufgeblähten Hindernisse.
FP ist i.a. nicht mehr zusammenh.

D.h. FP ist ein u.U. nicht zusammenhängendes Gebiet der Ebene, begrenzt durch Polygonzüge.

Es ist offensichtlich, dass eine Bewegung von A nach B genau dann möglich ist, wenn A und B in derselben Zusammenhangskomponente von FP liegen.

Übung 8.1.

4.3.5. Beispiel:



$n = \#$ alle Ecken
 Hier: $28 = n$
 Auf dem Rand dann: $19 < n$.

4.3.6. Wkt: der Rand oder die Kontur von FP hat Größe $O(n)$

Vermutung: $\#$ alle Ecken auf dem Rand der Vereinigung ist $O(n)$.

4.3.7. Satz: Seien P_1, \dots, P_m paarweise disjunkte, konvexe Polygone mit insgesamt n Ecken und R ein konvexes Polygon mit konstant vielen Ecken.

Dann hat $\text{Kontur} = K = \underbrace{\bigcup_{i=1}^m (P_i - R)}_{\text{Polygonfläche mit Höchern}} O(n)$ Ecken.

Bew. später.

4.3.8. Algorithmus:

Um Problem 2 zu lösen, müssen wir FP und seine Zusammenhangskomponenten berechnen. Dazu berechnen wir zunächst die Kontur (K) von FP, dh. die Menge der Kanten, die den Rand von FP definieren.

→ Divide & Conquer.

Algorithmus:

1) Berechne $S' = \{P_i' = P_i - R : i = 1..m\}$.

2) Sei $S_1 := \{P_1' \dots P_{\lfloor m/2 \rfloor}'\}$ und $S_2 := \{P_{\lfloor m/2 \rfloor + 1}' \dots P_m'\}$

Falls $|S_1| = 1 \Rightarrow K_1 = P_1'$

Falls $|S_2| = 1 \Rightarrow K_2 = P_{\lfloor m/2 \rfloor + 1}'$

sonst:

Berechne rekursiv:

$K_1 = \text{Kontur von } S_1$

$K_2 = \text{Kontur von } S_2$

3) Berechne $K = \text{Kontur von } S'$ durch Überlagerung von K_1 und K_2 .

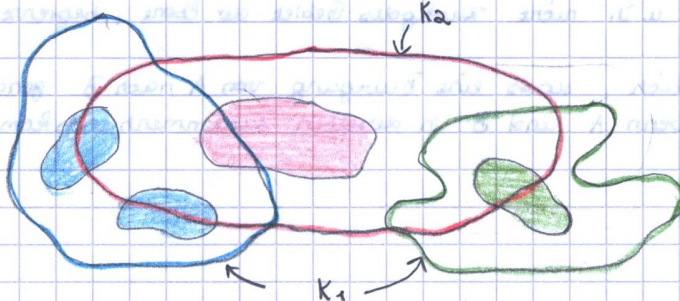
4.3.9. Laufzeit: Schritt 1: $O(n)$

Dazu nötig, dass Minkowski-Differenz von konvexen Polygonen in linearer Zeit.

→ Übung

Rest: $T(n) = 2 \cdot T(n/2) + \text{Zeit fürs Mischen}$

↑ Vereinigung von zwei Konturen K_1 und K_2 .



4.3.10. Plane Sweep Alg. zum Mischen von zwei Konturen A und B.

(49)

→ 4.3.10.1. Problemstellung:

Eingabe: Zwei Konturen A, B in den Ecken durch zwei Mengen von Liniensegmenten.

Ausgabe: Menge von Segmenten, die die Kanten von $A \cup B$ definieren.

→ 4.3.10.2. Definition: Ein Segment heißt sichtbar, wenn es zur Ausgabe gehört, d.h. auf Rand von $A \cup B$ liegt.

→ 4.3.10.3. Idee:

Wir modifizieren den Plane Sweep Alg. zum Linienschnitt.

Y-Struktur: Folge der von SL geschnittenen Segmenten (von unten nach oben sortiert). Wir speichern für jedes Segment in der Y-Struktur, ob es zur Zeit sichtbar oder unsichtbar ist.

Außerdem speichern wir für jedes Paar (s_1, s_2) von in Y benachbarten Segmenten, ob und von wem das Gebiet zwischen s_1 und s_2 zur Zeit überdeckt wird.

$$\text{cover}(s_1, s_2) = \begin{cases} \emptyset, & \text{nicht überdeckt} \\ \{A\}, & \text{von A} \\ \{B\}, & \text{von B} \\ \{A \cup B\}, & \text{von beiden.} \end{cases}$$

→ 4.3.10.4. Aktionen:

1. Linker Endpunkt $p \in A$ (B analog) d.h. linke Ecke von zwei Segmenten. $s_1, s_2 \in A$.

$$s' = Y.\text{succ}(s_1), s'' = Y.\text{pred}(s_2)$$

Falls $\text{cover}(s', s'') = \emptyset$ oder $\text{cover}(s', s'') = A$ dann

markiere s_1, s_2 als sichtbar

sonst unsichtbar

Falls $A \in \text{cover}(s', s'')$ (d.h. bei p beginnt ein Loch) dann:

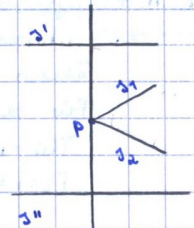
$$\text{cover}(s_1, s_2) \leftarrow \text{cover}(s', s'') \setminus \{A\}$$

sonst $\text{cover}(s_1, s_2) \leftarrow \text{cover}(s', s'') \cup \{A\}$.

$$\text{cover}(s_1, s_1) \leftarrow \text{cover}(s', s'')$$

$$\text{cover}(s_2, s_2) \leftarrow \text{cover}(s', s'')$$

$$Y \leftarrow Y \cup \{s_1, s_2\}$$

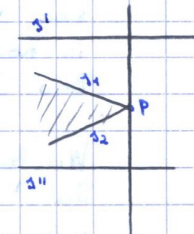


2. Rechter Endpunkt $p \in A$ (B analog)

Falls s_1 bzw. s_2 sichtbar, dann Ausgabe der betreffenden Segmente.

$$Y \leftarrow Y \setminus \{s_1, s_2\}$$

$$\text{cover}(s', s'') \leftarrow \text{cover}(s', s_1) \quad (= \text{cover}(s_2, s''))$$



3. Schnittpunkt $p = s_1 \cap s_2$

$$\text{oder } A \quad s_1 \in A, s_2 \in B$$

Falls s_1 (s_2) sichtbar \Rightarrow Ausgabe bis p (spalten!).

$$Y \leftarrow Y \setminus \{s_1, s_2\}, Y \leftarrow Y \cup \{s'_1, s'_2\}$$

in umgekehrter Reihenfolge mit negativer Sichtbarkeitsinformation

$$\text{cover}(s', s'_1) \leftarrow \text{cover}(s', s_1)$$

$$\text{cover}(s', s'_2) \leftarrow \text{cover}(s_2, s'')$$

Falls $A \in \text{cover}(s_1, s_2)$ dann

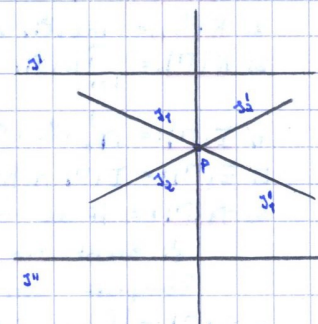
$$\text{cover}(s'_2, s'_1) \leftarrow \text{cover}(s_1, s_2) \setminus \{A\}$$

sonst $\text{cover}(s'_2, s'_1) \leftarrow \text{cover}(s_1, s_2) \cup \{A\}$

Falls $B \in \text{cover}(s_1, s_2)$ dann

$$\text{cover}(s'_2, s'_1) \leftarrow \text{cover}(s_1, s_2) \setminus \{B\}$$

sonst $\text{cover}(s'_2, s'_1) \leftarrow \text{cover}(s_1, s_2) \cup \{B\}$.



4. Durchgang $p \in A$ (B analog)

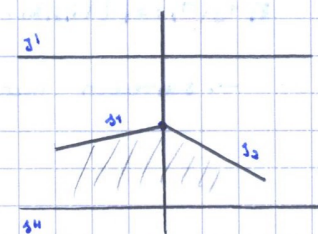
s_1 endet und s_2 beginnt

$$Y \leftarrow Y \setminus \{s_1\}, Y \leftarrow Y \cup \{s_2\}$$

Falls s_1 sichtbar \Rightarrow Ausgabereihenfolge

$$\text{sichtbarkeit}(s_2) \leftarrow \text{sichtbarkeit}(s_1)$$

$$\text{cover}(s', s_2) \leftarrow \text{cover}(s', s_1); \text{cover}(s_2, s'') \leftarrow \text{cover}(s_1, s'')$$



→ 4.3.10.5 Bem:

- Es gibt nur Schnittpunkte zwischen Segmenten aus verschiedenen Kurven.
- Segmente werden an Schnittpunkten gespalten (→ entweder ganz sichtbar oder ganz unsichtbar.)
- Die Sichtbarkeitsinformation ändert sich nur bei Schnittpunkten (wechselt von sichtbar zu unsichtbar oder umgekehrt).

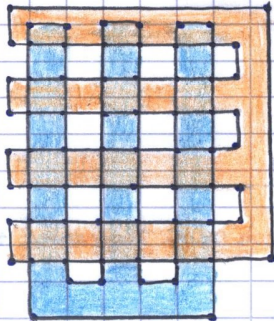
→ 4.3.10.6 Lemma:

Zwei Kurven A und B mit insgesamt n Ecken können in Zeit $O((n+s)\log n)$ berechnet werden, wobei $s = \#$ Schnittpunkte zw. Segmenten in A und B.

Beweis: siehe Segmenteschnitt.

→ 4.3.10.7 Bem: Im Allg. ist $s = O(n^2)$...

→ 4.3.10.8 Bsp:



z.z.: $T(n) = O(n \log^2 n)$.

Indann: Beh. gelte für $2B \frac{n}{2}$

Indschritt: dann gilt sie auch für n !

$$\begin{aligned}
 T(n) &\leq c_1 n \log n + 2T\left(\frac{n}{2}\right) \leq c_1 n \log n + 2 \cdot c_2 \frac{n}{2} \cdot \log^2\left(\frac{n}{2}\right) = \\
 &= c_1 n \log n + c_2 n (\log n - \log 2)^2 = c_1 n \log n + c_2 n (\log n - 1)^2 = \\
 &= c_1 n \log n + c_2 n \log^2 n - 2c_2 n \log n + c_2 n = \\
 &= n \log^2 n \left[c_1 \cdot \frac{1}{\log n} + c_2 - \frac{2c_2}{\log n} + \frac{c_2}{\log n} \right] = \\
 &= n \log^2 n \cdot \left[\underbrace{c_1 - 2c_2}_{\xrightarrow{n \rightarrow \infty} 0} + c_2 + \underbrace{\frac{c_2}{\log n}}_{\xrightarrow{n \rightarrow \infty} 0} \right] \leq \\
 &\leq M \cdot n \log^2 n \quad \forall n \geq n_0
 \end{aligned}$$

4.3.11. Analyse der Laufzeit:

→ 4.3.11.1. Idee: Wir zeigen nun, dass bei unserer Anwendung $s = O(n)$

Dann kostet der Merschritt $O(n \log n)$

Für die Gesamtlaufzeit $T(n)$:

$T(1) = 1$

$T(n) = O(n \log n) + 2T\left(\frac{n}{2}\right) \Rightarrow T(n) = O(n \log^2 n)$

Übung 8.

Um die $O(n)$ Schranke für s zu zeigen, verwenden wir die Tatsache, dass sich die Ränder von jeweils zwei aufgetrennten Hindernissen Q_i und Q_j in höchstens zwei Punkten schneiden.

Bew. Übung.

Wir betrachten ein etwas allgemeineres Problem:

Sei $\Gamma = \{ \delta_1, \dots, \delta_m \}$ eine Menge einfacher geschlossener Kurven (= Jordankurven) mit $|\delta_i \cap \delta_j| \leq 2 \quad \forall i \neq j$. d.h. zwei Kurven schneiden sich höchstens zweimal.

→ 4.3.11.2 Definitionen:

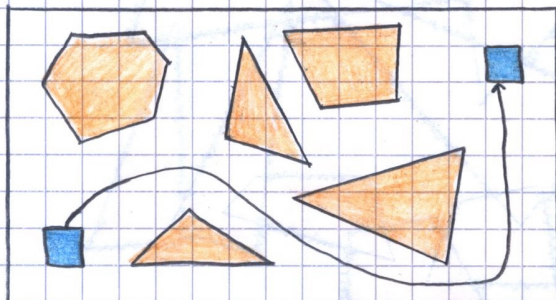
- $\text{Inn}(\delta_i)$: = Innere Regionen von δ_i
- $K(\delta_i)$: = $\text{Inn}(\delta_i) \cup \delta_i$ (also Abschluss)
- $K(\Gamma)$: = $\bigcup_{i=1}^m K(\delta_i)$
- $I(\Gamma)$: = $\bigcup_{i \neq j} (\delta_i \cap \delta_j)$ (alle Schnittpunkte)
- $E(\Gamma)$: = $I(\Gamma) \cap \text{Rand}(K(\Gamma))$
- $r_1(\Gamma)$: = # der redundanten Kurven in Γ , wobei: δ_i heißt redundant, falls $\delta_i \subset \bigcup_{i \neq k} K(\delta_k)$, d.h. δ_i wird komplett von anderen Kurvenflächen überdeckt. also $\Rightarrow E(\Gamma \setminus \{\delta_i\}) = E(\Gamma)$
- $r_2(\Gamma)$: = $|\{ (i,j) : i \neq j \wedge \delta_i \cap \delta_j \neq \emptyset \}|$
- $r_3(\Gamma)$: = $|\{ (i,j,k) : i,j,k \text{ paarw. versch.}, K(\delta_i) \cap K(\delta_j) \cap K(\delta_k) \neq \emptyset \}|$.

→ schreiben nun einfacher r_i statt $r_i(\Gamma)$ für $i=1,2,3$.

4.3 Problem 2: R ist konv. Polygon und S Menge von konv. Polygonen.

4.3.1. Problemschilderung: S ist eine Szene von m konvexen Polygonen P_1, \dots, P_m mit $n := \sum_{i=1}^m \# \text{Ecken von } P_i$ und $P_i \cap P_j = \emptyset \quad \forall i \neq j$

R (Roboter) ist konvexes Polygon mit c Ecken ($c = \text{Konstante}$).
Bewegungen: Nur Translationen von R (Keine Rotationen).



4.3.2. Ann:

- S ist in einem Rechteck eingeschlossen, z.B. Dummi-Hindernisse.
- Sei p ein beliebiger Referenzpunkt im Inneren von R , dann ist die Position von R durch die Position von p im \mathbb{R}^2 definiert.

4.3.3. Idee:

Reduziere das Problem auf das Bewegungsplanungsproblem eines plattformigen Roboters (p) in einer komplizierten Szene S' .

Dazu blähen wir alle Hindernisse P_1, \dots, P_m auf.

D.h. alle Hindernisse werden um das Maß vergrößert, auf das der Roboter verkleinert werden muss, um ein Pfad zu werden.

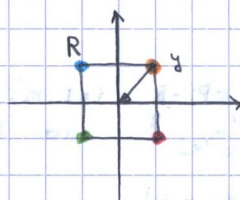
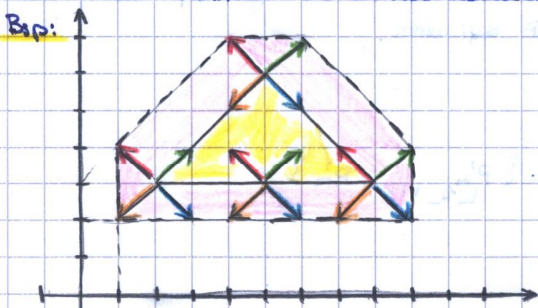
4.3.4. Konstruktion von P_i' (= aufgeblähtes Hindernis).

$P_i' = P_i - R =$ "Minkowski-Differenz".

$$= \{x - y : x \in P_i \wedge y \in R\}$$

\uparrow \mathbb{R}^2 \uparrow im Koordinatensystem des Roboters.

Bsp:



orange $(2,3) - (1,1) = (1,2)$

blau $(2,3) - (-1,1) = (3,2)$

rot $(2,3) - (1,-1) = (1,4)$

grün $(2,3) - (-1,-1) = (3,4)$

rosa kommt dazu

Betrachte die Szene $S' = \{P_1', \dots, P_m'\}$ mit $P_i' = P_i - R, i=1..m$.

Dann ist die Menge der freien Platzierungen von R in S' (bzgl. des Referenzpunktes p):
 $FP = \mathbb{R}^2 \setminus \bigcup_{i=1}^m P_i'$

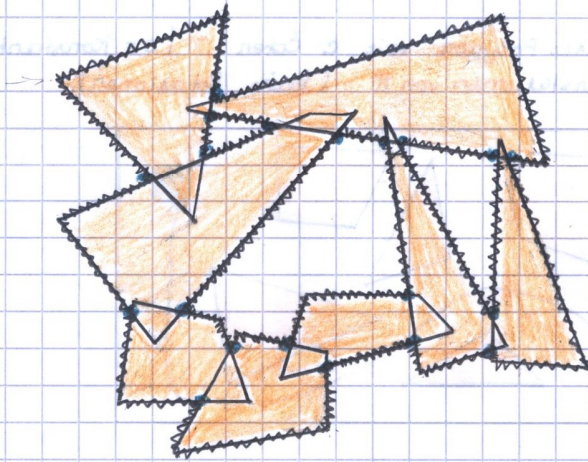
d.h. das Komplement der Vereinigung aller aufgeblähten Hindernisse.
FP ist i.a. nicht mehr zusammenhängend.

D.h. FP ist ein u.U. nicht zusammenhängendes Gebiet der Ebene, begrenzt durch Polygonzüge.

Es ist offensichtlich, dass eine Bewegung von A nach B genau dann möglich ist, wenn A und B in derselben Zusammenhangskomponente von FP liegen.

Übung 8.1.

4.3.5. Beispiel:



$n = \#$ alle Ecken
 Hier: $28 = n$
 Auf dem Rand dann: $19 < n$.

4.3.6. Wkt: der Rand oder die Kontur von FP hat Größe $O(n)$

Vermutung: $\#$ alle Ecken auf dem Rand der Vereinigung ist $O(n)$.

4.3.7. Satz: Seien P_1, \dots, P_m paarweise disjunkte, konvexe Polygone mit insgesamt n Ecken und R ein konvexes Polygon mit konstant vielen Ecken.

Dann hat $\text{Kontur} = K = \bigcup_{i=1}^m (P_i - R)$ $O(n)$ Ecken.
 Polygonfläche mit Höchern.

Bew. später.

4.3.8. Algorithmus:

Um Problem 2 zu lösen, müssen wir FP und seine Zusammenhangskomponenten berechnen. Dazu berechnen wir zunächst die Kontur (K) von FP, dh. die Menge der Kanten, die den Rand von FP definieren.

→ Divide & Conquer.

Algorithmus:

1) Berechne $S' = \{P_i' = P_i - R : i = 1..m\}$.

2) Sei $S_1 := \{P_1' \dots P_{\lfloor m/2 \rfloor}'\}$ und $S_2 := \{P_{\lfloor m/2 \rfloor + 1}' \dots P_m'\}$

Falls $|S_1| = 1 \Rightarrow K_1 = P_1'$

Falls $|S_2| = 1 \Rightarrow K_2 = P_{\lfloor m/2 \rfloor + 1}'$

sonst:

Berechne rekursiv:

$K_1 = \text{Kontur von } S_1$

$K_2 = \text{Kontur von } S_2$

3) Berechne $K = \text{Kontur von } S'$ durch Überlagerung von K_1 und K_2 .

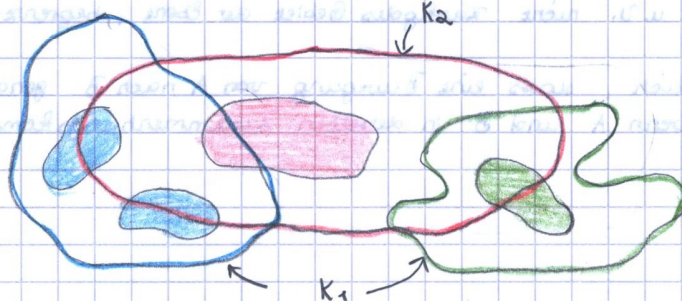
4.3.9. Laufzeit: Schritt 1: $O(n)$

Dazu nötig, dass Minkowski-Differenz von konvexen Polygonen in linearer Zeit.

→ Übung

Rest: $T(n) = 2 \cdot T(n/2) + \text{Zeit für Mischen}$

↑ Vereinigung von zwei Konturen K_1 und K_2 .



4.3.11.3 Satz: Für $n \geq 3$ gilt: $E(\Gamma) \leq 6n - 12$

Beweis:

1. Vorbemerkungen:

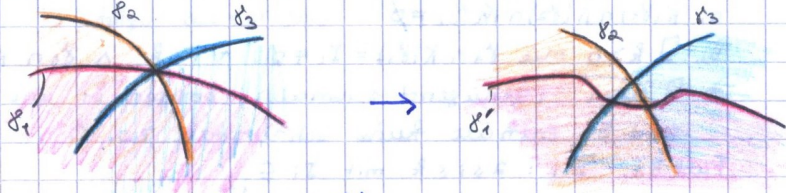
Wir nehmen an, dass sich die Kurven in allgemeiner Lage befinden:

- a) Keine drei Kurven schneiden sich in einem Pkt.
- b) Zwei Kurven schneiden sich entweder in zwei Pkten oder gar nicht. (d.h. keine Berührungspkte).

Dies sind keine echten Einschränkungen, da sich jede Menge Γ durch minimale lokale Verfeinerungen in allgemeine Lage versetzen lässt ohne die Zahl der äußeren Ecken $E(\Gamma)$ zu ändern.

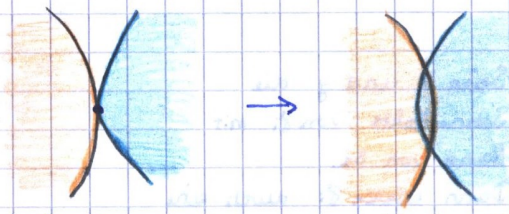
Beispiel Kurve:

Zu a): Seien $\delta_1, \delta_2, \delta_3 \in \Gamma$ mit $\delta_1 \cap \delta_2 \cap \delta_3 = \{p\}$



ersetze δ_1 durch δ_1'
 vollkommen verdrängt.

Zu b):



Berührungspkt p Zwei Schnittpkte.

2. Wir zeigen nun den Satz durch Induktion über die Tripel (r_1, r_2, r_3) in lexikographischer Ordnung. Die Idee für den Induktionsschritt besteht darin, dass eine der Zahlen r_1, r_2, r_3 durch Streichen oder Verfeinern einer Kurve δ_i vermindert wird, so dass $E(\Gamma)$ höchstens wächst. (sich nicht verkleinert also).

Induktion: Wir zeigen die Beh für $r_1 = r_2 = 0, r_3 \geq 0$.

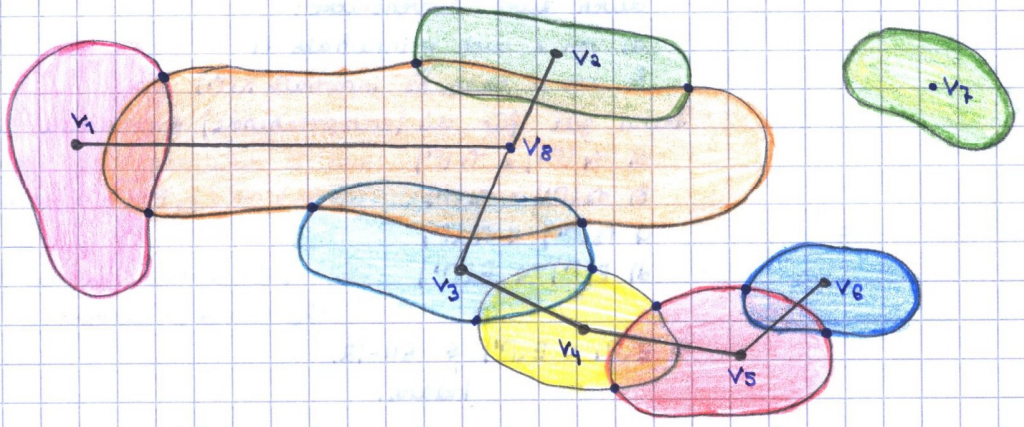
- Es gilt: a) keine redundanten Kurven
- b) $K(\delta_i) \cap K(\delta_j) \cap K(\delta_k) = \emptyset \quad \forall 1 \leq i < j < k \leq n$.
- c) $E(\Gamma) = I(\Gamma)$ (folgt aus b)).

$\forall \delta_i$: sieht die Situation wie folgt aus:

Wir konstruieren einen planaren Graphen $G = (V, E)$ mit $V = \{v_1, \dots, v_n\}$, wobei v_i beliebiger Pkt in $K(\delta_i) \setminus \bigcup_{i \neq j} K(\delta_j)$ und $E = \{(v_i, v_j) : \delta_i \cap \delta_j \neq \emptyset\}$

Planarität: Zeichne Kanten als Kurven durch Schnittflächen $K(\delta_i) \cap K(\delta_j)$.

- \Rightarrow a) G ist planar
- b) jede Kante werden genau zwei Schnittpkte aus $E(\Gamma)$ zugeordnet.
- $\Rightarrow |E(\Gamma)| = 2 \cdot |E| \leq 2 \cdot (3n - 6) = 6n - 12$.



Induktion: Sei Γ eine beliebige Menge von n Jordankurven, die sich paarw. nicht oder zweimal schneiden.

Sei $R(\Gamma) := (r_1, r_2, r_3)$.

Induktion: Beh. gilt $\forall \Gamma'$ mit $R(\Gamma') \leq_L R(\Gamma)$

Fall 1: $r_1 > 0$

$\Rightarrow \exists \delta_i \in \Gamma$ mit δ_i redundant

hier nur r_1 verdeckert $\rightarrow <_L$

Sei $\Gamma' := \Gamma \setminus \{\delta_i\} \Rightarrow E(\Gamma') = E(\Gamma) \wedge R(\Gamma') <_L R(\Gamma), |\Gamma'| = n-1$

$\Rightarrow E(\Gamma) = E(\Gamma') \leq 6(n-1) - 12 = 6n - 6 - 12 \leq 6n - 12$.

Induktion

Fall 2: $r_1 = 0 \wedge r_3 > 0$ (Beh: Fall $r_1 = r_3 = 0$ was Ind.anf.)

Wir können oBdA annehmen (durch geeignete Nummerierung der δ_i):

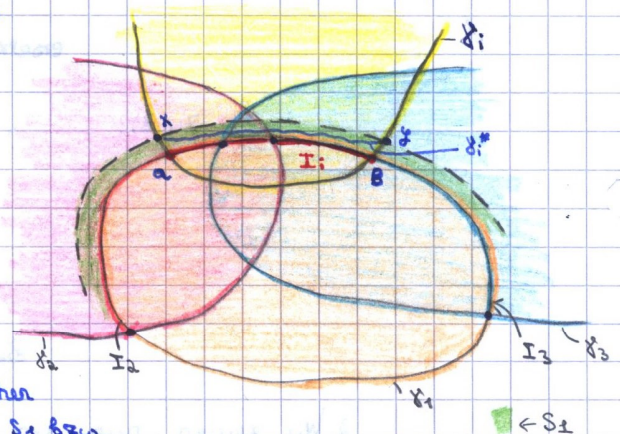
a) $K(\delta_1) \cap K(\delta_2) \cap K(\delta_3) \neq \emptyset$ weil $r_3 > 0 \Rightarrow$ möglich

b) $\exists k \geq 0$ mit $\delta_1 \cap K(\delta_i) = I_i \neq \emptyset \forall i \leq k \wedge \delta_1 \cap K(\delta_j) = \emptyset \forall j > k$.

$\Rightarrow \exists$ einen (genügend schmalen) Streifen S_1 um die Kurve δ_1 mit $S_1 \cap \delta_j = \emptyset \forall j > k$ und S_1 enthält keine Schnittpkte. zw. δ_i 's.

Fall 2.1: $\exists i: 2 \leq i \leq k$ mit $I_i \subseteq \bigcup_{\substack{j=2 \\ j \neq i}}^k I_j$

Bsp:



Seien x und y die Schnittpkte von δ_i mit Rand von S_1 .

Dann ersetze δ_i durch eine Kurve δ_i^* .

Ersetze das Stück von δ_i zwischen x und y , das innerhalb von S_1 bzw. $K(\delta_i)$ verläuft, durch eine Kurve, die x und y im Inneren von S_1 verbindet.

Dann gilt für $\Gamma' := (\Gamma \setminus \{\delta_i\}) \cup \{\delta_i^*\}$:

a) $r_1(\Gamma') = r_1(\Gamma)$ (δ_i redundant $\Leftrightarrow \delta_i^*$ redundant).

b) $r_2(\Gamma') < r_2(\Gamma)$ da $\delta_i \cap \delta_j \neq \emptyset$ aber $\delta_i^* \cap \delta_j = \emptyset$ und alle anderen Schnittpkte bleiben erhalten.

$\Rightarrow E(\Gamma) = E(\Gamma')$ da die Schnittpkte a, b von δ_i verdeckt waren

$\Rightarrow E(\Gamma) = E(\Gamma') \leq 6n - 12$

Induktion.

Fall 2.2: $\forall 2 \leq i \leq k: I_i \not\subseteq \bigcup_{\substack{j=2 \\ j \neq i}}^k I_j$

bei entspr. Nummerierung

$\Rightarrow \exists p \in I_3$ mit $p \notin \Gamma_j$ für $j \neq 3$ wg

Sei $I_3 = (a_3, b_3)$ und x, y Schnittpkte von δ_3 mit Rand von S_1

Verfeinere δ_3 zu δ_3^* wie folgt:

ersetze das Stück zwischen x und b_3 durch zwei Kurvenstücke:

a) von x nach p innerhalb S_1

b) von p nach b_3 innerhalb $K(\delta_3)$

Dann gilt für die (entsprechende) erkrankene Menge Γ' :

a) $r_1(\Gamma') = r_1(\Gamma)$ weil δ_3 redundant $\Leftrightarrow \delta_3^*$ redundant.

b) $r_2(\Gamma') = r_2(\Gamma)$ ($(a_3, b_3) \rightsquigarrow (p, b_3)$, sonst nix wandert \Rightarrow # Schnittpkte Gleich.

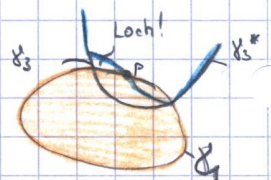
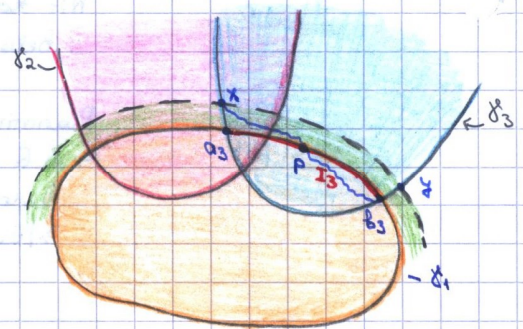
c) $r_3(\Gamma') < r_3(\Gamma)$

d) $E(\Gamma) < E(\Gamma')$ weil: p ist ein neuer externer Schnittpkt!

(wg Loch ist p Randpkt!)

$\Rightarrow E(\Gamma) < E(\Gamma') \leq 6n - 12$.

Induktion.



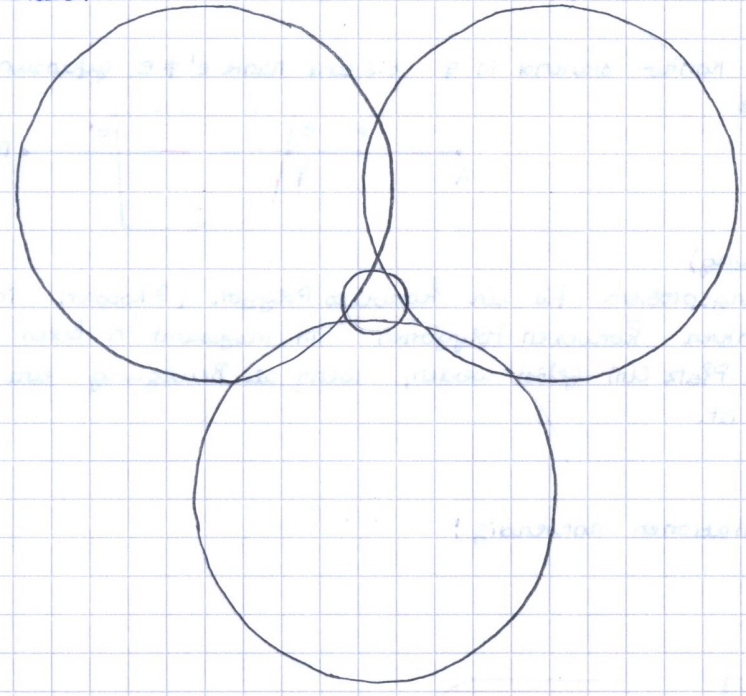
4.3.11.4. Bem:

$E(n) \leq 6n - 12$ ist eine obere Schranke für Komplexität des Konzurs.

Es ex. Baple, bei denen tatsächlich $6n - 12$ äußere Schnittpkte vorkommen.

4.3.11.5 Bsp:

n Kreise:



Die ersten drei Kreise haben 6 Schnittpkte. Jeder weitere Kreis erzeugt nochmals 6 Schnittpkte. $\rightarrow 6 + 6(n-3) = 6n - 12$

die ersten \exists noch $n-3$ Kreis, pro Kreis 6 Schnittpkte $\Rightarrow 6 \cdot (n-3)$

\Rightarrow Schnittpkte = $O(n)$!

4.3.11.6. Satz: Die Kontur von FP hat Größe $O(n)$ und kann in Zeit $O(n \log^2 n)$ berechnet werden.

4.3.12. Lösung des Bewegungsplanungsproblems:

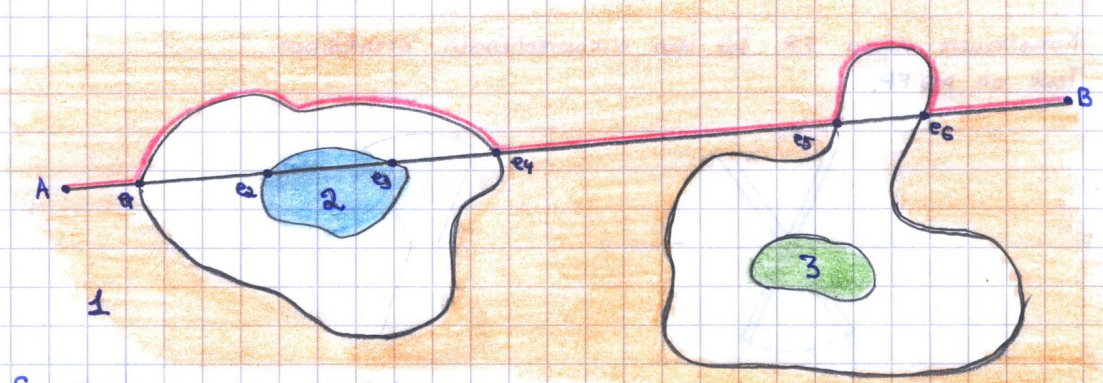
1. Berechne die Zusammenhangskomponenten des Konzurs in Zeit $O(n)$.

Konzur: besteht aus geschlossenen Polygonzügen (evtl. ineinander verschachtelt), die sich nicht schneiden

\rightarrow planarer Graph.

2. Berechne die Schnittpkte der Strecke AB mit allen Konturkanten (nur echte Schnittpkte, keine Berührptkte).

$ZHK(e_1) = 1$	$ZHK(e_4) = 1$
$ZHK(e_2) = 2$	$ZHK(e_5) = 1$
$ZHK(e_3) = 2$	$ZHK(e_6) = 1$



1 und 2 kommen gerade oft vor!

Sei $F = e_1, e_2, \dots, e_6$ die Folge der geschnittenen Kanten entlang AB sortiert.

Zeit: $O(n \log n)$ $O(n)$ [für Finden der Kanten] + $O(P \log P)$ [für sortieren der gefundenen Kanten] = $O(n \log n)$

3. Dann gilt: A und B liegen in derselben Komponente von FP

\Leftrightarrow In der Folge der ZHK's $ZHK(e_1) \dots ZHK(e_6)$ kommt jedes Element gerade oft vor.

Suche e_i in 1, 2, 3 \Rightarrow Zeit $O(n) \Rightarrow$ Zeit $\forall i: O(p \cdot n) \stackrel{p < n}{=} O(n)$

4.3.13 Grober Algorithmus zur Lösung des Bewegungsproblems:

Eine mögliche Bewegung des Roboters kann nun wie folgt konstruiert werden:

```

p ← A
while p ≠ B do
  sei e nächste Kante von p aus in der Folge F
  q ← e ∩ AB
  durchlaufe die Kontur absteigend in q bis eine Kante e' ≠ e gefunden wird
  mit: e' ∩ AB ≠ ∅
  p ← e' ∩ AB
  
```



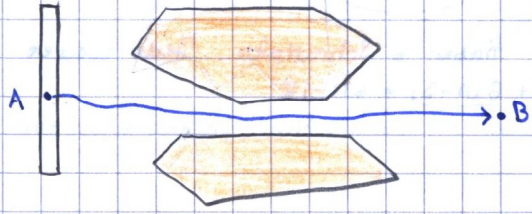
4.3.14 Satz: (Zusammenfassung)

Das Bewegungsplanungsproblem für ein konvexes Polygon (\cong Roboter) in einer Szene von paarweise disjunkten konvexen Polygonen mit insgesamt n Ecken kann in Zeit $O(n \log^2 n)$ und Platz $O(n)$ gelöst werden, wenn als Bewegung eine Folge von Translationen erlaubt ist.

Bew. s.o.

4.3.15 Bemerkung:

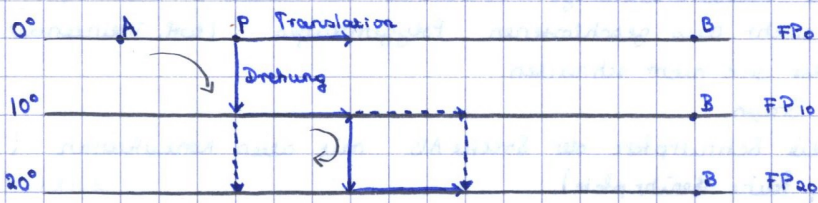
In der Praxis sind Rotationen notwendig!



Idee: Diskretisierung

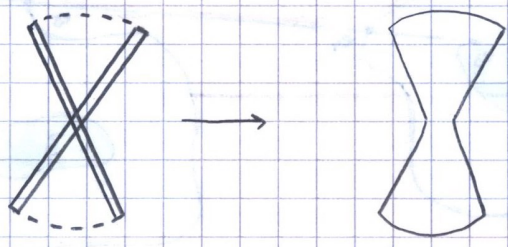
d.h. erlaube nur eine konstante Zahl von möglichen Winkeln (d.h. Orientierung des Roboters). z.B. $0^\circ, 10^\circ, 20^\circ, \dots, 360^\circ$

Nun konstruiere "Schichten" von FP-Konturen für jeden Winkel



Wichtig: Test, ob Drehung möglich ist!

Konstruiere dazu FP für den entsprechenden Drehkörper
 Teste ob $p \in FP$.



4.3.10. Plane Sweep Alg. zum Mischen von zwei Konturen A und B.

4.3.10.1. Problemstellung:

Eingabe: Zwei Konturen A, B in den Ebenen durch zwei Mengen von Liniensegmenten.

Ausgabe: Menge von Segmenten, die die Kanten von A u B aufzweigen.

4.3.10.2 Definition: Ein Segment heißt sichtbar, wenn es zur Ausgabe gehört, dh. auf Rand von A u B liegt.

4.3.10.3. Idee:

Wir modifizieren den Plane Sweep Alg. zum Kurvenschnitt.

Y-Struktur: Folge der von SL geschnittenen Segmenten (von unten nach oben sortiert). Wir speichern für jedes Segment in der Y-Struktur, ob es zur Zeit sichtbar oder unsichtbar ist.

Außerdem speichern wir für jedes Paar (s1, s2) von in Y benachbarten Segmenten, ob und von wem das Gebiet zwischen s1 und s2 zur Zeit überdeckt wird.

$$cover(s_1, s_2) = \begin{cases} \emptyset, & \text{nicht überdeckt} \\ \{A\}, & \text{von A} \\ \{B\}, & \text{von B} \\ \{A \cup B\}, & \text{von beiden.} \end{cases}$$

4.3.10.4. Aktionen:

1. Linker Endpunkt p ∈ A (B analog) dh. linke Ecke von zwei Segmenten. s1, s2 ∈ A.

s' = Y.succ(s1), s'' = Y.pred(s2)

Falls cover(s', s'') = ∅ oder cover(s', s'') = A dann markiere s1, s2 als sichtbar

sonst unsichtbar

Falls A ∈ cover(s', s'') (dh. bei p beginnt ein Loch) dann:

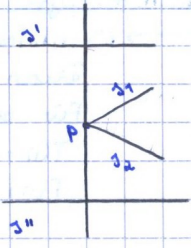
cover(s1, s2) ← cover(s', s'') \ {A}

sonst cover(s1, s2) ← cover(s', s'') ∪ {A}

cover(s', s1) ← cover(s', s'')

cover(s2, s'') ← cover(s', s'')

Y ← Y ∪ {s1, s2}

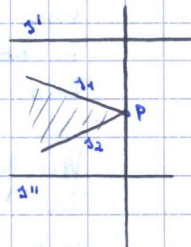


2. Rechter Endpunkt p ∈ A (B analog)

Falls s1 bzw. s2 sichtbar, dann Ausgabe der betreffenden Segmente.

Y ← Y \ {s1, s2}

cover(s', s'') ← cover(s', s1) (= cover(s2, s''))



3. Schnittpunkt p = s1 ∩ s2

oBd A s1 ∈ A, s2 ∈ B

Falls s1 (s2) sichtbar ⇒ Ausgabe bis p (spalten!)

Y ← Y \ {s1, s2}, Y ← Y ∪ {s1', s2'}

Reihenfolge mit negativer Sichtbarkeitsinformation

cover(s1', s2') ← cover(s1', s1)

cover(s1', s2'') ← cover(s2, s2')

Falls A ∈ cover(s1, s2) dann

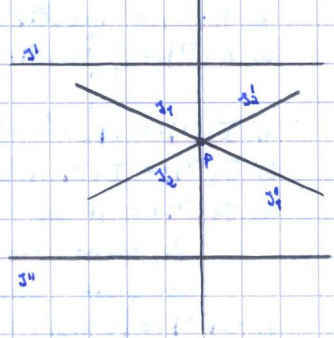
cover(s2', s1') ← cover(s1, s2) \ {A}

sonst cover(s2', s1') ← cover(s1, s2) ∪ {A}

Falls B ∈ cover(s1, s2) dann

cover(s2', s2') ← cover(s1, s2) \ {B}

sonst cover(s2', s2') ← cover(s1, s2) ∪ {B}



4. Durchgang p ∈ A (B analog)

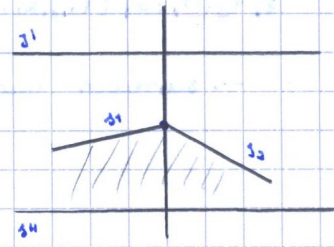
s1 endet und s2 beginnt

Y ← Y \ {s1}, Y ← Y ∪ {s2}

Falls s1 sichtbar ⇒ Ausgabe

sichtbarkeit(s2) ← sichtbarkeit(s1)

cover(s1', s2) ← cover(s1', s1); cover(s2, s2'') ← cover(s1, s2)



→ 4.3.10.5 Bem:

- a) Es gibt nur Schnittpunkte zwischen Segmenten aus verschiedenen Kurven.
- b) Segmente werden an Schnittpunkten gespalten (→ entweder ganz sichtbar oder ganz unsichtbar.)
- c) Die Sichtbarkeitsinformation ändert sich nur bei Schnittpunkten (wechselt von sichtbar zu unsichtbar oder umgekehrt).

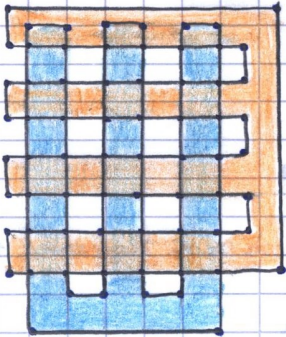
→ 4.3.10.6 Lemma:

Zwei Konturen A und B mit insgesamt n Ecken können in Zeit $O((n+s)\log n)$ berechnet werden, wobei $s = \#$ Schnittpunkte zw. Segmenten in A und B.

Beweis: siehe Segmentsticht.

→ 4.3.10.7 Bem: Im Allg. ist $s = O(n^2)$...

→ 4.3.10.8 Bsp:



z.z: $T(n) = O(n \log^2 n)$.

Indans: Beh. gelte für $\frac{n}{2}$

Indschritt: dann gilt sie auch für n !

$$\begin{aligned}
 T(n) &\leq c_1 n \log n + 2T\left(\frac{n}{2}\right) \leq c_1 n \log n + 2 \cdot c_2 \frac{n}{2} \cdot \log^2\left(\frac{n}{2}\right) \\
 &= c_1 n \log n + c_2 n (\log n - \log 2)^2 = c_1 n \log n + c_2 n (\log n - 1)^2 \\
 &= c_1 n \log n + c_2 n \log^2 n - 2c_2 n \log n + c_2 n \\
 &= n \log^2 n \left[c_1 \cdot \frac{1}{\log n} + c_2 - \frac{2c_2}{\log n} + \frac{c_2}{\log^2 n} \right] = \\
 &= n \log^2 n \cdot \left[\underbrace{c_1 - 2c_2}_{\xrightarrow{n \rightarrow \infty} 0} + c_2 + \underbrace{\frac{c_2}{\log^2 n}}_{\xrightarrow{n \rightarrow \infty} 0} \right] \leq \\
 &\leq M \cdot n \log^2 n \quad \forall n \geq n_0
 \end{aligned}$$

4.3.11. Analyse der Laufzeit:

→ 4.3.11.1. Idee: Wir zeigen nun, dass bei unserer Anwendung $s = O(n)$

Dann kostet der Merschritt $O(n \log n)$

Für die Gesamtlaufzeit $T(n)$:

$T(n) = 1$
 $T(n) = O(n \log n) + 2 \cdot T\left(\frac{n}{2}\right) \Rightarrow T(n) = O(n \log^2 n)$

Übung 8.

Um die $O(n)$ Schranke für s zu zeigen, verwenden wir die Tatsache, dass sich die Ränder von jeweils zwei aufgetragenen Hindernissen Q_i und Q_j in höchstens zwei Punkten schneiden.

Bew. Übung.

Wir betrachten ein etwas allgemeineres Problem:

Sei $\Gamma = \delta_1 \dots \delta_m$ eine Menge einfacher geschlossener Kurven (= Jordankurven) mit $| \delta_i \cap \delta_j | \leq 2 \quad \forall i \neq j$. d.h. zwei Kurven schneiden sich höchstens zweimal.

→ 4.3.11.2 Definitionen:

1) $\text{Int}(\delta_i) :=$ Innere Regionen von δ_i

2) $K(\delta_i) := \text{Int}(\delta_i) \cup \delta_i$ (also Abschluss)

3) $K(\Gamma) := \bigcup_{i=1}^m K(\delta_i)$

4) $I(\Gamma) := \bigcup_{i \neq j} (\delta_i \cap \delta_j)$ (alle Schnittpkte)

5) $E(\Gamma) := I(\Gamma) \cap \text{Rand}(K(\Gamma))$

6) $r_1(\Gamma) := \#$ der redundanten Kurven in δ , wobei:
 δ_i heißt redundant, falls $\delta_i \subset \bigcup_{j \neq i} K(\delta_j)$, d.h. δ_i wird komplett von anderen Kurvenflächen überdeckt. also $\Rightarrow E(\Gamma \setminus \{\delta_i\}) = E(\Gamma)$

7) $r_2(\Gamma) := | \{ (i,j) : i \neq j \wedge \delta_i \cap \delta_j \neq \emptyset \} |$

8) $r_3(\Gamma) := | \{ (i,j,k) : i,j,k \text{ paarw. versch.}, K(\delta_i) \cap K(\delta_j) \cap K(\delta_k) \neq \emptyset \} |$

→ schreiben nun einfacher r_i statt $r_i(\Gamma)$ für $i=1,2,3$.

5.1. Segmentbaum

5.1.1. Definitionen + Bemerkungen

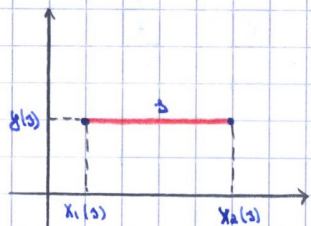
Sei $S = \{s_1, \dots, s_n\}$ Menge von n horizontalen Liniensegmenten in der Ebene.

Wir bezeichnen mit:

$x_1(s_i)$: die x -Koord. des linken Endpunkts von s_i

$x_2(s_i)$: die x -Koord. des rechten Endpunkts von s_i

$y(s_i)$: die y -Koord. von s_i .



Wir nehmen zunächst an, dass alle x -Koord. ganze Zahlen aus $\{1..N\}$ sind und die y -Koord. beliebige reelle Zahlen sind.

(\rightarrow sog. Halbdynamischer Fall).

Ein Segmentbaum T zur Speicherung von S ist ein Blattknotenreife, binärer Suchbaum für die x -Koord. $\{1..N\}$ der Höhe $\log N$.

Jeder Knoten enthält zusätzlich eine Liste $NL(v)$ von Segmenten nach y -Koord. sortiert, die Knotenliste von v .

Bea: Beim Segmentbaum müssen die Blätter nicht vertikal sein.

Segmente von S werden wie folgt abgespeichert:

Sei $s \in S$.

$P_1(s)$ = Suchpfad nach $x_1(s)$ / Suchpfad nach $x_2(s)$

$P_2(s)$ = Suchpfad nach $x_2(s)$ / Suchpfad nach $x_1(s)$

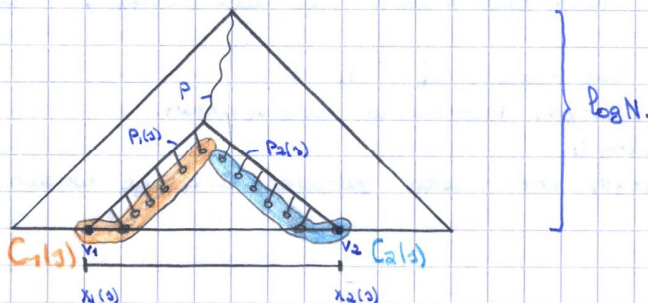
$C_1(s) = \{v : v \text{ rechtes Kind eines Knotens von } P_1(s) \text{ und } v \notin P_1(s)\} \cup \{v\}$

$C_2(s) = \{v : v \text{ linkes Kind eines Knotens von } P_2(s) \text{ und } v \notin P_2(s)\} \cup \{v\}$

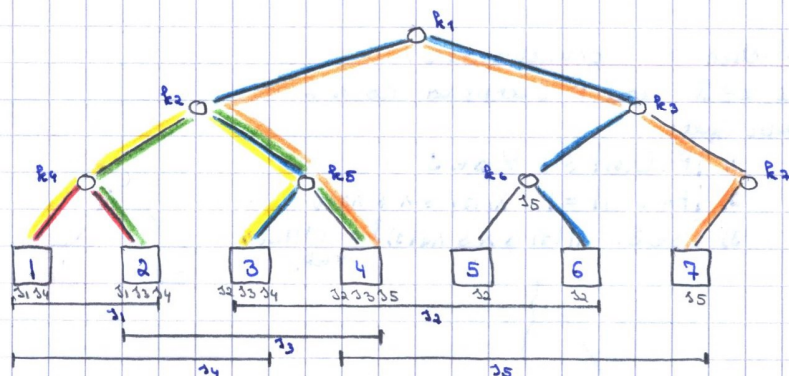
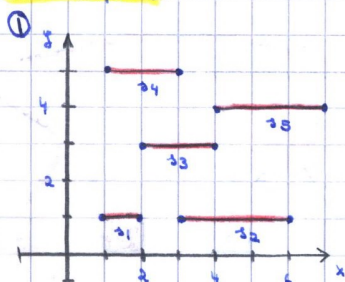
$C(s) = C_1(s) \cup C_2(s)$.

Dann wird $s_i, 1 \leq i \leq n$ in alle Knotenlisten $NL(v)$ mit $v \in C(s)$ abgespeichert.

Skizze:



5.1.2. Beispiele:



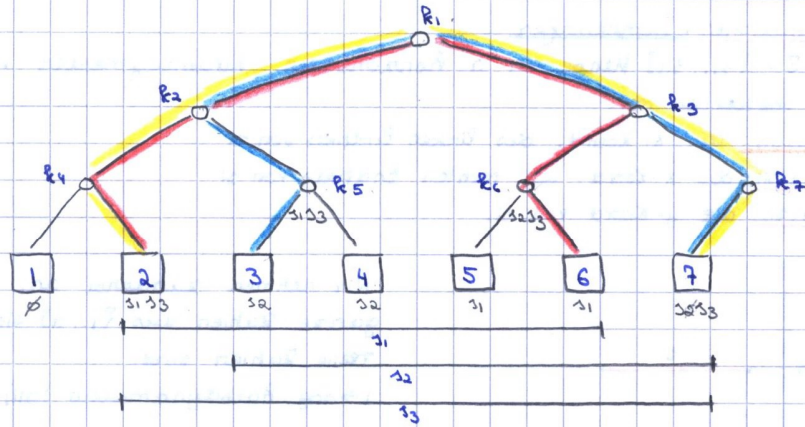
$P_1(s_1)$ =	$P_1(s_5)$ =	$C_1(s_1) = \{1\}$	$C_1(s_5) = \{4\}$	$NL(k_1) = \{s_1, s_4\}$	$NL(k_1, k_5) = \emptyset$
$P_2(s_1)$ =	$P_2(s_5)$ =	$C_2(s_1) = \{2\}$	$C_2(s_5) = \{k_6, 7\}$	$NL(k_2) = \{s_1, s_3, s_4\}$	$NL(k_6) = \{s_5\}$
$P_1(s_2)$ =		$C_1(s_2) = \{4, 3\}$		$NL(k_3) = \{s_2, s_3, s_4\}$	$NL(k_7) = \emptyset$
$P_2(s_2)$ =		$C_2(s_2) = \{5, 6\}$		$NL(k_4) = \{s_2, s_3, s_5\}$	
$P_1(s_3)$ =		$C_1(s_3) = \{2\}$		$NL(k_5) = \{s_2\}$	
$P_2(s_3)$ =		$C_2(s_3) = \{3, 4\}$		$NL(k_6) = \{s_2\}$	
$P_1(s_4)$ =		$C_1(s_4) = \{2, 1\}$		$NL(k_7) = \{s_5\}$	
$P_2(s_4)$ =		$C_2(s_4) = \{3\}$			

② $S = \{s_1, s_2, s_3\}$

$x_1(s_1) = 2, x_2(s_1) = 6$

$x_1(s_2) = 3, x_2(s_2) = 7$

$x_1(s_3) = 2, x_2(s_3) = 7$



$P_1(s_1)$ (red)

$P_2(s_1)$ (red)

$P_1(s_2)$ (blue)

$P_2(s_2)$ (blue)

$P_1(s_3)$ (yellow)

$P_2(s_3)$ (yellow)

$C_1(s_1) = \{R_5, R_7\}$

$C_2(s_1) = \{5, 6\}$

$C_1(s_2) = \{3, 4\}$

$C_2(s_2) = \{R_6, R_7\}$

$C_1(s_3) = \{R_5, R_7\}$

$C_2(s_3) = \{R_6, R_7\}$

$NL(1) = \emptyset$

$NL(2) = \{s_1, s_2\}$

$NL(3) = \{s_2\}$

$NL(4) = \{s_2\}$

$NL(5) = \{s_1\}$

$NL(6) = \{s_1\}$

$NL(7) = \{s_2, s_3\}$

$NL(R_1), \dots, NL(R_4) = \emptyset$

$NL(R_5) = \{s_1, s_3\}$

$NL(R_6) = \{s_2, s_3\}$

$NL(R_7) = \emptyset$

5.3 Lemma:

- 1) $|C(s)| \leq 2 \cdot \log N \quad \forall s \in S$
- 2) T hat Platzbedarf $O(N + n \cdot \log N)$
- 3) Einfügen eines Segmentes s kostet $O(\log N \cdot f(n))$, wobei $f(n)$ Kosten für Einfügen in Knotenliste der Länge n .
- 4) Streichen eines Segmentes s kostet $O(\log N \cdot g(n))$, wobei $g(n)$ Kosten für Streichen aus Knotenliste der Länge n .

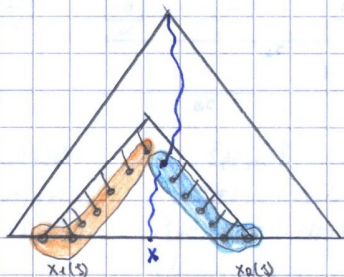
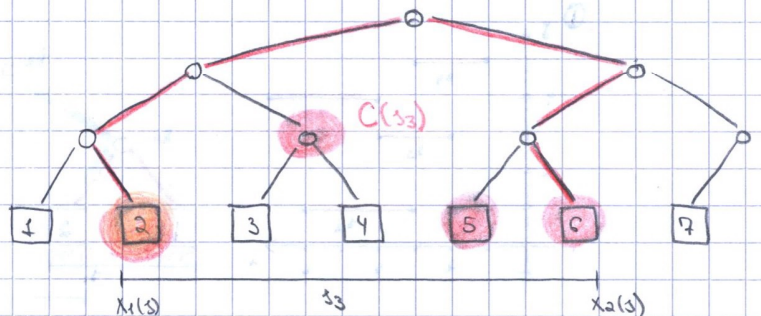
Beweis:

- 1) Jeder Knoten $v \in C(s)$ ist Kind eines Knotens auf dem Suchpfad nach $x_1(s)$ bzw. $x_2(s)$. im schlimmsten Fall: $|C_1(s)| = \log N = |C_2(s)| \Rightarrow |C(s)| \leq 2 \log N$.
 - 2) Das Gerüst des Baums hat Platzbedarf $O(N) \leftarrow$ Großer Baum nur
 - 1) \Rightarrow Jedes Segment ist in $O(\log N)$ Knotenlisten abgespeichert. denn s ist nur in den Knoten $v \in C(s)$ gespeichert \Rightarrow Platzbedarf: $O(N + n \cdot \log N) \leftarrow$ Großer Baum $|C(s)| \leq 2 \log N \Rightarrow s$ ist in $O(\log N)$ Knoten gespeichert.
 - 3) 4) s muss aus $\log N$ Knotenlisten gelöscht/eingefügt werden. $f(n) \hat{=}$ Kosten für $\overset{\text{ein}}$ Einfügen im kleinen Baum } $2 \cdot \log N \cdot f(n)$ Kosten, um s in alle kleinen insgesamt in $\leq 2 \cdot \log N$ Bäume einzufügen } (erforderlichen (gesamt $2 \log N$) Bäume einzufügen) $\Rightarrow O(\log N \cdot f(n))$
- Für Streichen analog: $O(\log N \cdot g(n))$.

5.4 Suchen in Segmentbäumen:

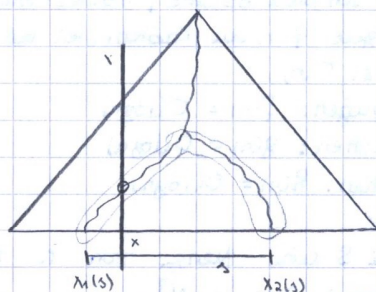
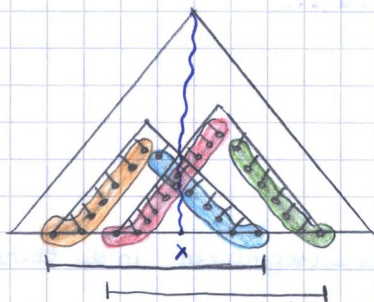
Sei $x \in \mathbb{R}$ und P Suchpfad nach x
Dann gilt:

- 1) $|P \cap C(s)| \leq 1 \quad \forall s \in S$
- 2) $|P \cap C(s)| = 1 \quad x_1(s) \leq x \leq x_2(s)$
- 3) $\{s \in S: x_1(s) \leq x \leq x_2(s)\} = \text{UNL}(v)$
verp.



Bew: Ein Pfad ist eindeutig bestimmt
 $\forall s \in S$ gilt: jedes x mit $x_1(s) \leq x \leq x_2(s)$ liegt unterhalb $C(s)$ und der Pfad von der Wurzel bis zu x geht durch genau einen Knoten von $C(s)$. $\Rightarrow |P \cap C(s)| = 1$
falls $x > x_2(s)$ oder $x < x_1(s)$ so schneidet der Pfad von der Wurzel bis zu x keinen Knoten aus $C(s)$
 $\Rightarrow |P \cap C(s)| = 0$

dh. die Knotenkosten auf dem Suchpfad nach x enthalten die Segmente, die von der vertikalen Wurden durch x geschnitten werden.

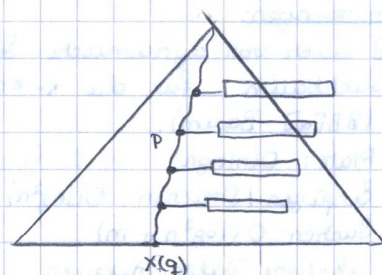
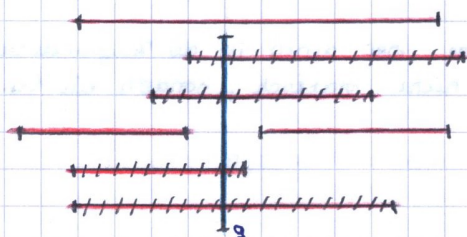


5.1.5. Laufzeit: $S(x) := \{s \in S : x_1(s) \leq x \leq x_2(s)\}$ kann in Zeit $O(\log N + m)$ berechnet werden, wobei $m := |S(x)|$, dh. die Größe der Ausgabe.

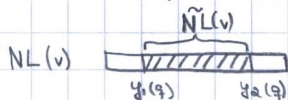
den Pfad in jedem Knoten in den kleineren Baum gehen und alle Knoten des kleineren Baumes (= die gesuchten Segmente) ausgeben. Für jede Ausgabe Const. Zeit
Gesamt m Ausgaben $\Rightarrow O(\log N + m)$

5.1.6. Problem:

Geg: das vertikale Segment q
Ges: berechne $S(q) = \{s \in S : s \cap q \neq \emptyset\}$.

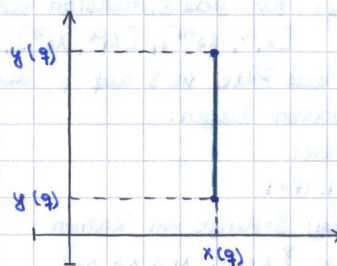


$\tilde{NL}(v) := \{s \in NL(v) : y_1(s) \leq y_2(s) \leq y_2(q)\}$
Dann ist $S(q) = \{s \in S : x_1(s) \leq x(q) \leq x_2(s) \text{ und } y_1(s) \leq y_2(s) \leq y_2(q)\} = \bigcup_{v \in P} \tilde{NL}(v)$



5.1.7 Algorithmus zur Berechnung des Problems:

1. $P \leftarrow$ Suchpfad nach $x(q)$
2. Forall $v \in P$ do
3. lokalisiere $y_1(q)$ und $y_2(q)$ in $NL(v)$
4. gib alle Segmente dazu aus
5. od.



5.1.8. Laufzeit:

Damit kostet die Berechnung von $S(q)$: $O(\log N \cdot f(n) + m)$ Zeit, wobei $f(n)$ die Suchzeit in einer Knotenliste der Länge n ist.

Unterschied:

- 1) Man wandert den Pfad entlang und bei jedem Knoten gibt man seine Knotenliste $NL(v)$ aus.
 \Rightarrow Kosten für Ausgabe im Knoten 1: $C \cdot |NL(v_1)|$
Kosten für Ausgabe im Knoten 2: $C \cdot |NL(v_2)|$
usw.
Gesamt m Ausgaben $\Rightarrow C \cdot |NL(v_1)| + C \cdot |NL(v_2)| + \dots =$
 $= C \cdot (|NL(v_1)| + |NL(v_2)| + \dots) = C \cdot m$
 $= m$ weil alle ausgeg. werden!

- 2) Man wandert den Pfad entlang und bei jedem Knoten sucht man nach entspr. Segmenten in Zeit $f(n)$ (= die größte Zeit, die es geben kann)
Höhe $\log N$, in jedem Knoten $f(n)$
 $\Rightarrow \log N \cdot f(n)!$

$\Rightarrow O(\log N + m)$

// Bea: nicht trennen!!!

// Anzahl der Elemente i.d. Knotenlist i.a. verschieden

// $\Rightarrow \log N \cdot C \cdot |NL(v)|$ geht nicht!!! geht nur wenn

// $=: f(n)$ Dann aber nicht mehr genau und

nicht mehr output sensitiv und viel größere obere Schranke!!!

5.1.9 Realisierung der Knotenlisten.

→ durch Binäre balancierte Suchbäume. (Keine Gitterbäume!)

z.B. rot-schwarz Bäume, B[B(x)]-Bäume, AVL-Bäume, ...

Dann gilt für die Knotenlisten der Länge n :

- Platz: $O(n)$
- Einfügen: $f(n) = O(\log n)$
- Streichen: $g(n) = O(\log n)$
- Suchen: $k(n) = O(\log n)$

5.1.10 Satz: Sei S eine Menge von n horizontalen Liniensegmenten in der Ebene mit x -Koord. aus $\{1..N\}$.

Dann gilt:

- Ein Segmentbaum für S braucht Platz $O(N + n \log N)$.
- Einfügen / Streichen eines Segments kostet: $O(\log n \log N)$
- Suchen nach allen von einem vertikalen Suchsegmente geschnittenen Segmenten kostet $O(\log n \cdot \log N + m)$
Suchen in Knotenliste Pfad Ausgabe

5.1.11 Bemerkungen:

- 1) \exists auch voll dynamische Segmentbäume. Bei denen ist der zugrundeliegende Suchbaum für die x -Koordinaten nicht statisch, sondern ein bel. Baum (B[B(x)]-Baum).
 Platz: $O(n \log n)$ ← Da keine Gitterbäume mehr \Rightarrow Höhe: $\log n$
 Einfügen / Streichen: $O(\log^2 n)$
 Suchen: $O(\log^2 n + m)$
- 2) \exists ähnliche Datenstrukturen für bel. (nicht notwendig horizontale) Segmente
 → Partition Tree.

5.2 Range-Tree (Bereichsabfragebaum).

5.2.1 Def: Range-Tree speichert Menge von Pkten im \mathbb{R}^d

Query: für jede Dimension ein Intervall.

$[x_1^{(1)}, x_2^{(1)}], [x_1^{(2)}, x_2^{(2)}], \dots, [x_1^{(d)}, x_2^{(d)}]$.

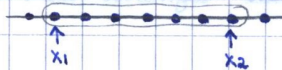
Liste alle Pkte in S auf, dessen Koordinaten jeweils in den entsprechenden Intervallen liegen.

5.2.2 Beispiele:

→ 5.2.2.1. $d=1$

Geg: $S =$ Menge von Zahlen

Ges: $\{x \in S : x_1 \leq x \leq x_2\}$



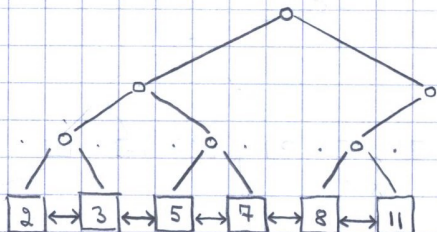
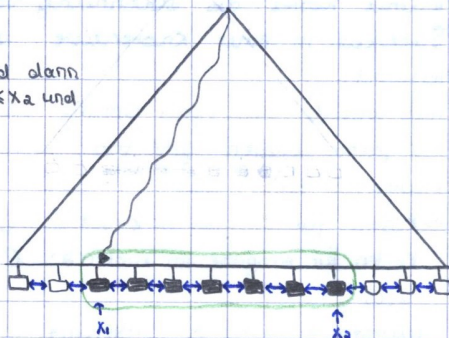
Datenstruktur: blatt orientierter Suchbaum, wobei Blätter verkettet. (Hier kein Gitterbaum!)
 (= 1-dim. Range-Tree).

Platz: $O(n)$ weil bin. Baum.

Zeit Query: $O(\log n + k)$ wandere Pfad nach x_1 ($\log n$) und dann wandere über die verketteten Blätter solange $x \leq x_2$ und gebe sie aus (k).

Insert / Delete: $O(\log n)$ ✓

Bsp: $S = \{2, 5, 3, 8, 11, 7\}$



5.2.2.2. d=2.

Geg: $S \subset \mathbb{R}^2$ von n Pkten.

Ges: $\{q \in S : x_1 \leq q_x \leq x_2 \wedge y_1 \leq q_y \leq y_2\}$

Datenstruktur: blattorientierter Suchbaum, wobei Blätter verkett.

Zunächst x -Koord. aus $\{1..N\}$ \Rightarrow Gitterbaum.

Ein 2-dim. Range-Tree besteht aus einem blattorientierten Suchbaum T für $\{1..N\}$.

Jeder Knoten v speichert eine nach y -Koord. sortierte Folge $NL(v)$ (Knotenliste) von Pkten.

Die Pkte aus S werden wie folgt in einen anfangs leeren Baum T eingefügt:

Sei $p \in S$ mit $p = (p_x, p_y)$, dann wird p in jede Knotenliste $NL(v)$ auf dem

Suchpfad nach p_x gespeichert.

↑
Hier auch: blattorientierte Suchbäume, aber keine Gitterbäume!

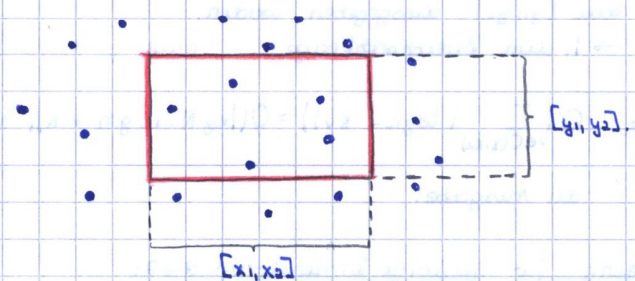
Platz: $O(N + n \log N)$

Insert/Delete: $O(\log N \cdot \log n)$

↑ jedes $NL(v)$ ist balancierter Baum (1-dim. Range Tree).

Jeder Pkt wird in $\log N$ Knoten gespeichert.
 $|S| = n \Rightarrow n \cdot \log N$.

2-dim. Range Query:



gib alle Pkte $p \in S$ aus mit:

$$x_1 \leq p_x \leq x_2 \wedge y_1 \leq p_y \leq y_2$$

Vorgehen:

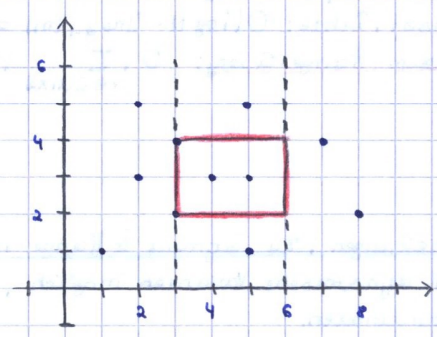
1. Schritt: Betrachte Pkte im unendlichen Streifen zw. x_1, x_2 .

Beh: Die Knotenlisten $NL(v)$ mit $v \in C(x_1, x_2)$ enthalten genau die gesuchten Pkte.

Bsp. zu Veranschaulichung:

$$S = \left\{ \begin{pmatrix} 1 \\ 1 \end{pmatrix}, \begin{pmatrix} 2 \\ 3 \end{pmatrix}, \begin{pmatrix} 3 \\ 2 \end{pmatrix}, \begin{pmatrix} 4 \\ 2 \end{pmatrix}, \begin{pmatrix} 5 \\ 5 \end{pmatrix}, \begin{pmatrix} 6 \\ 4 \end{pmatrix}, \begin{pmatrix} 7 \\ 7 \end{pmatrix}, \begin{pmatrix} 8 \\ 2 \end{pmatrix} \right\}$$

$$x_1 = 3, x_2 = 6, y_1 = 2, y_2 = 4.$$



$$R_1 = S$$

$$R_2 = \left\{ \begin{pmatrix} 1 \\ 1 \end{pmatrix}, \begin{pmatrix} 2 \\ 3 \end{pmatrix}, \begin{pmatrix} 3 \\ 2 \end{pmatrix}, \begin{pmatrix} 4 \\ 2 \end{pmatrix} \right\}$$

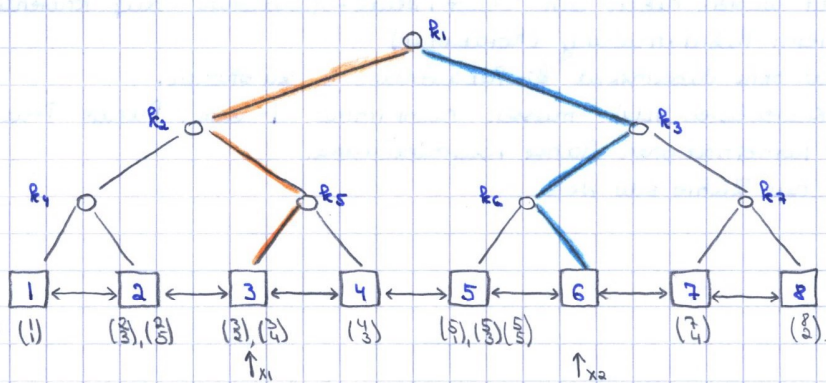
$$R_3 = \left\{ \begin{pmatrix} 5 \\ 5 \end{pmatrix}, \begin{pmatrix} 6 \\ 4 \end{pmatrix}, \begin{pmatrix} 7 \\ 7 \end{pmatrix}, \begin{pmatrix} 8 \\ 2 \end{pmatrix} \right\}$$

$$R_4 = \left\{ \begin{pmatrix} 1 \\ 1 \end{pmatrix}, \begin{pmatrix} 2 \\ 3 \end{pmatrix}, \begin{pmatrix} 3 \\ 2 \end{pmatrix} \right\}$$

$$R_5 = \left\{ \begin{pmatrix} 3 \\ 2 \end{pmatrix}, \begin{pmatrix} 4 \\ 2 \end{pmatrix}, \begin{pmatrix} 5 \\ 5 \end{pmatrix} \right\}$$

$$R_6 = \left\{ \begin{pmatrix} 5 \\ 5 \end{pmatrix}, \begin{pmatrix} 6 \\ 4 \end{pmatrix}, \begin{pmatrix} 7 \\ 7 \end{pmatrix} \right\}$$

$$R_7 = \left\{ \begin{pmatrix} 3 \\ 2 \end{pmatrix}, \begin{pmatrix} 4 \\ 2 \end{pmatrix} \right\}$$



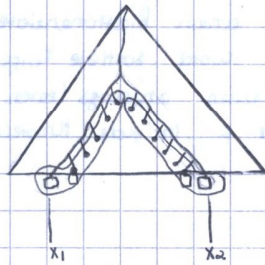
$$C(x_1, x_2) = \{3, 4, 5, 6\}$$

$\Rightarrow NL(3), NL(4), NL(5), NL(6)$ enthalten die gesuchten Pkte

$$\Rightarrow \left\{ \begin{pmatrix} 3 \\ 2 \end{pmatrix}, \begin{pmatrix} 4 \\ 2 \end{pmatrix}, \begin{pmatrix} 5 \\ 5 \end{pmatrix}, \begin{pmatrix} 6 \\ 4 \end{pmatrix} \right\}$$

Begründung für die Behauptung:

für beliebigen Knoten v enthält $NL(v)$ genau die Pkte, deren Suchpfad (nach x -Koord.) durch v geht, d.h. alle Pkte im Bereich der Blätter des Unterbaumes von v .



Die Bereiche der Knoten $v \in C(x_1, x_2)$ bilden eine Partition des Intervalls $[x_1, x_2]$.

2. Schritt: Zur Beantwortung der eigentlichen Bereichsabfrage müssen wir nun die Knotenlisten $NL(v) \forall v \in C(x_1, x_2)$ filtern, so dass nur Pkte mit y -Koord. aus $[y_1, y_2]$ ausgegeben werden.

→ 1. dim. Bereichsabfrage. nach y -Koord.!

⇒ Laufzeit: $O\left(\sum_{v \in C(x_1, x_2)} (\log n + K_v)\right) = O(\log N \cdot \log n + K)$, wobei $K := \sum_{v \in C(x_1, x_2)} K_v =$ Gesamtgröße der Ausgabe.

5.2.3 Verallgemeinerung für beliebige Dimensionen $d \geq 2$:

d -dim. Range-Tree besteht aus einem blattorientierten Suchbaum T für die erste Koordinate. Jeder Knoten v speichert $NL(v)$ als $(d-1)$ -dim. Range-Tree. (Bzgl. Koord. 2.. d).

Jeder Pkt $p \in S$ wird in allen $NL(v)$ für v auf dem Suchpfad nach 1. Koord. von p gespeichert.

Zuerst: Jede Dimension hat Koord. $\{1..N\}$ außer der letzten.

Platzbedarf: $O(\log N \cdot \text{Platz}_{d-1}(n) + N) = O(n \cdot \log^{d-1} N + N)$ ✓

Insert/Delete: $O(\log N \cdot \text{In}_{d-1}(n)) = O(\log^{d-1} N \cdot \log n)$

d -dim Range-Query: $O\left(\sum_{v \in C(x_1, x_2)} (\text{Query}_{d-1}(n) + K_v)\right) = O(\log^{d-1} N \cdot \log n + K)$ ✓

5.2.4 Bemerkungen (zu Segment & Range-Trees)

1. Voll dynamische Varianten möglich, d.h. kein Gitter $\{1..N\}$ sondern beliebige, feste Koordinaten.

Dazu: dynamischer Gerüstbaum T , d.h. beim Einfügen und Löschen von Pkten (Segmenten) muss eventuell Blatt (mit entsprechender x -Koordinate) in T eingefügt oder entfernt werden, neben den Insert/Delete-Operationen auf Knotenlisten.

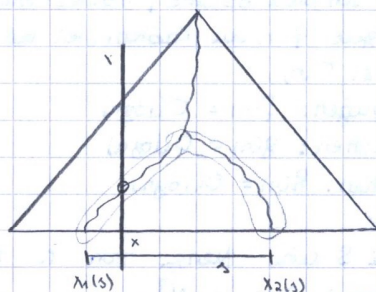
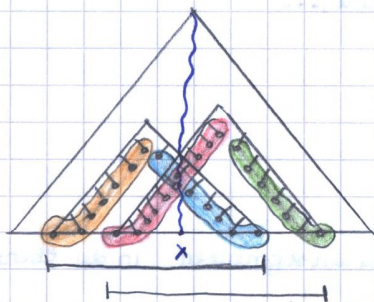
Problem: Rebalancing (Rotationen)

Lösbar ohne Gesamtzeit für Rebalancing zu erhöhen.

2. Die Knotenlisten $NL(v)$ müssen nicht immer 1-dim. Range-Trees (Suchbäume) sein.

- Kombinationen Range / Segmentebäume.
- nur Zähler oder Werte

dh. die Knotenkosten auf dem Suchpfad nach x enthalten die Segmente, die von der vertikalen Wurden durch x geschnitten werden.

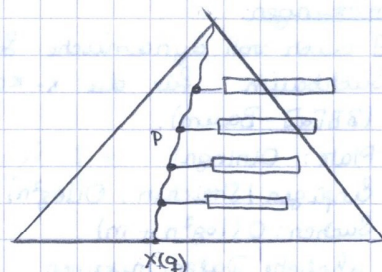
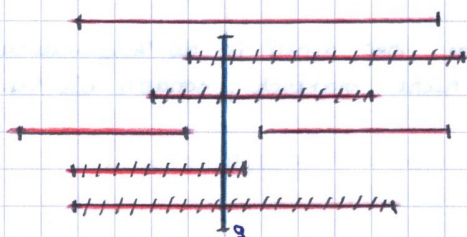


5.1.5. Laufzeit: $S(x) := \{s \in S : x_1(s) \leq x \leq x_2(s)\}$ kann in Zeit $O(\log N + m)$ berechnet werden, wobei $m := |S(x)|$, dh. die Größe der Ausgabe.

den Pfad in jedem Knoten in den kleineren durchlaufen Baum gehen und alle Knoten des kleineren Baumes (= die gesuchten Segmente) ausgeben. Für jede Ausgabe Const. Zeit
Gesamt m Ausgaben $\Rightarrow O(\log N + m)$

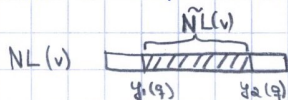
5.1.6. Problem:

Geg: das vertikale Segment q
Ges: berechne $S(q) = \{s \in S : s \cap q \neq \emptyset\}$.



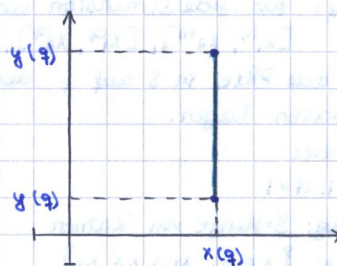
$\tilde{NL}(v) := \{s \in NL(v) : y_1(s) \leq y(q) \leq y_2(s)\}$

Dann ist $S(q) = \{s \in S : x_1(s) \leq x(q) \leq x_2(s) \text{ und } y_1(s) \leq y(q) \leq y_2(s)\} = \bigcup_{v \in P} \tilde{NL}(v)$



5.1.7 Algorithmus zur Berechnung des Problems:

1. $P \leftarrow$ Suchpfad nach $x(q)$
2. Forall $v \in P$ do
3. lokalisiere $y_1(q)$ und $y_2(q)$ in $NL(v)$
4. gib alle Segmente dazwischen aus
5. od.



5.1.8. Laufzeit:

Damit kostet die Berechnung von $S(q) : O(\log N \cdot f(n) + m)$ Zeit, wobei $f(n)$ die Suchzeit in einer Knotenliste der Länge n ist.

Unterschied:

- 1) Man wandert den Pfad entlang und bei jedem Knoten gibt man seine Knotenliste $NL(v)$ aus.
 \Rightarrow Kosten für Ausgabe im Knoten 1: $C \cdot |NL(v_1)|$
 Kosten für Ausgabe im Knoten 2: $C \cdot |NL(v_2)|$
 usw.
 Gesamt m Ausgaben $\Rightarrow C \cdot |NL(v_1)| + C \cdot |NL(v_2)| + \dots =$
 $= C \cdot (|NL(v_1)| + |NL(v_2)| + \dots) = C \cdot m$
 $= m$ weil alle ausgeg. werden!

- 2) Man wandert den Pfad entlang und bei jedem Knoten sucht man nach entspr. Segmenten in Zeit $f(n)$ (= die größte Zeit, die es geben kann)
 Höhe $\log N$, in jedem Knoten $f(n)$
 $\Rightarrow \log N \cdot f(n)!$

$\Rightarrow O(\log N + m)$

// Bea: nicht trennen!!!

// Anzahl der Elemente i.d. Knotenlist i.a. verschieden

// $\Rightarrow \log N \cdot C \cdot |NL(v)|$ geht nicht!!! geht nur wenn

// $=: f(n)$ Dann aber nicht mehr genau und

nicht mehr output sensitiv und viel größere obere Schranke!!!

5.1.9 Realisierung der Knotenlisten.

→ durch Binäre balancierte Suchbäume. (Keine Gitterbäume!)

z.B. rot-schwarz Bäume, B[B(x)]-Bäume, AVL-Bäume, ...

Dann gilt für die Knotenlisten der Länge n :

- Platz: $O(n)$
- Einfügen: $f(n) = O(\log n)$
- Streichen: $g(n) = O(\log n)$
- Suchen: $k(n) = O(\log n)$

5.1.10 Satz: Sei S eine Menge von n horizontalen Liniensegmenten in der Ebene mit x -Koord. aus $\{1..N\}$.

Dann gilt:

- Ein Segmentbaum für S braucht Platz $O(N + n \log N)$.
- Einfügen / Streichen eines Segments kostet: $O(\log n \log N)$
- Suchen nach allen von einem vertikalen Suchsegmente geschnittenen Segmenten kostet $O(\log n \cdot \log N + m)$
Suchen in Knotenliste Pfad Ausgabe

5.1.11 Bemerkungen:

- 1) \exists auch voll dynamische Segmentbäume. Bei denen ist der zugrundeliegende Suchbaum für die x -Koordinaten nicht statisch, sondern ein bel. Baum (B[B(x)]-Baum).
 Platz: $O(n \log n)$ ← Da keine Gitterbäume mehr \Rightarrow Höhe: $\log n$
 Einfügen / Streichen: $O(\log^2 n)$
 Suchen: $O(\log^2 n + m)$
- 2) \exists ähnliche Datenstrukturen für bel. (nicht notwendig horizontale) Segmente
 → Partition Tree.

5.2 Range-Tree (Bereichsabfragebaum).

5.2.1 Def: Range-Tree speichert Menge von Pkten im \mathbb{R}^d

Query: für jede Dimension ein Intervall.

$[x_1^{(1)}, x_2^{(1)}], [x_1^{(2)}, x_2^{(2)}], \dots, [x_1^{(d)}, x_2^{(d)}]$.

Liste alle Pkte in S auf, dessen Koordinaten jeweils in den entsprechenden Intervallen liegen.

5.2.2 Beispiele:

→ 5.2.2.1. $d=1$

Geg: $S =$ Menge von Zahlen

Ges: $\{x \in S : x_1 \leq x \leq x_2\}$



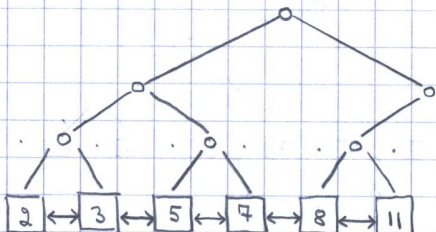
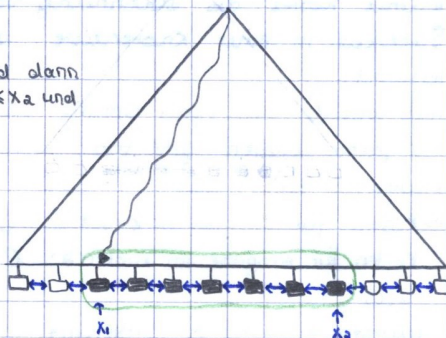
Datenstruktur: blatt orientierter Suchbaum, wobei Blätter verkettet. (Hier kein Gitterbaum!)
 (= 1-dim. Range-Tree).

Platz: $O(n)$ weil bin. Baum.

Zeit Query: $O(\log n + k)$ wandere Pfad nach x_1 ($\log n$) und dann wandere über die verketteten Blätter solange $x \leq x_2$ und gebe sie aus (k).

Insert / Delete: $O(\log n)$ ✓

Bsp: $S = \{2, 5, 3, 8, 11, 7\}$



5.2.2.2. d=2.

Geg: $S \subset \mathbb{R}^2$ von n Pkten.

Ges: $\{q \in S : x_1 \leq q_x \leq x_2 \wedge y_1 \leq q_y \leq y_2\}$

Datenstruktur: blattorientierter Suchbaum, wobei Blätter verkett.

Zunächst x -Koord. aus $\{1..N\}$ \Rightarrow Gitterbaum.

Ein 2-dim. Range-Tree besteht aus einem blattorientierten Suchbaum T für $\{1..N\}$.

Jeder Knoten v speichert eine nach y -Koord. sortierte Folge $NL(v)$ (Knotenliste) von Pkten.

Die Pkte aus S werden wie folgt in einen anfangs leeren Baum T eingefügt:

Sei $p \in S$ mit $p = (p_x, p_y)$, dann wird p in jede Knotenliste $NL(v)$ auf dem

Suchpfad nach p_x gespeichert.

↑
Hier auch: blattorientierte Suchbäume, aber keine Gitterbäume!

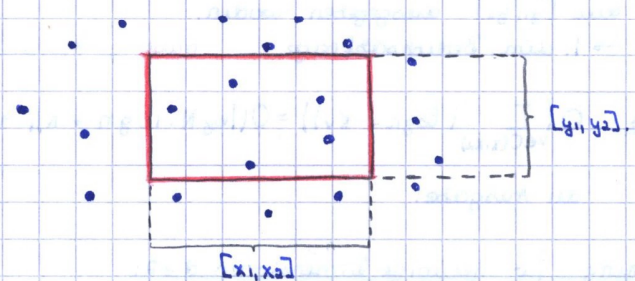
Platz: $O(N + n \log N)$

Insert/Delete: $O(\log N \cdot \log n)$

↑ jedes $NL(v)$ ist balancierter Baum (1-dim. Range Tree).

Jeder Pkt wird in $\log N$ Knoten gespeichert.
 $|S| = n \Rightarrow n \cdot \log N$.

2-dim. Range Query:



gib alle Pkte $p \in S$ aus mit:

$$x_1 \leq p_x \leq x_2 \wedge y_1 \leq p_y \leq y_2$$

Vorgehen:

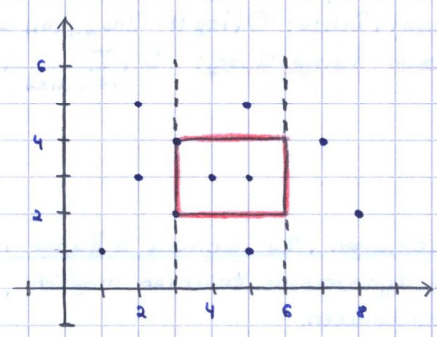
1. Schritt: Betrachte Pkte im unendlichen Streifen zw. x_1, x_2 .

Beh: Die Knotenlisten $NL(v)$ mit $v \in C(x_1, x_2)$ enthalten genau die gesuchten Pkte.

Bsp. zu Veranschaulichung:

$$S = \left\{ \begin{pmatrix} 1 \\ 1 \end{pmatrix}, \begin{pmatrix} 2 \\ 3 \end{pmatrix}, \begin{pmatrix} 2 \\ 5 \end{pmatrix}, \begin{pmatrix} 3 \\ 2 \end{pmatrix}, \begin{pmatrix} 3 \\ 4 \end{pmatrix}, \begin{pmatrix} 4 \\ 3 \end{pmatrix}, \begin{pmatrix} 5 \\ 5 \end{pmatrix}, \begin{pmatrix} 5 \\ 8 \end{pmatrix}, \begin{pmatrix} 7 \\ 7 \end{pmatrix}, \begin{pmatrix} 8 \\ 2 \end{pmatrix} \right\}$$

$$x_1 = 3, x_2 = 6, y_1 = 2, y_2 = 4.$$



$$R_1 = S$$

$$R_2 = \left\{ \begin{pmatrix} 1 \\ 1 \end{pmatrix}, \begin{pmatrix} 2 \\ 3 \end{pmatrix}, \begin{pmatrix} 2 \\ 5 \end{pmatrix}, \begin{pmatrix} 3 \\ 2 \end{pmatrix}, \begin{pmatrix} 3 \\ 4 \end{pmatrix} \right\}$$

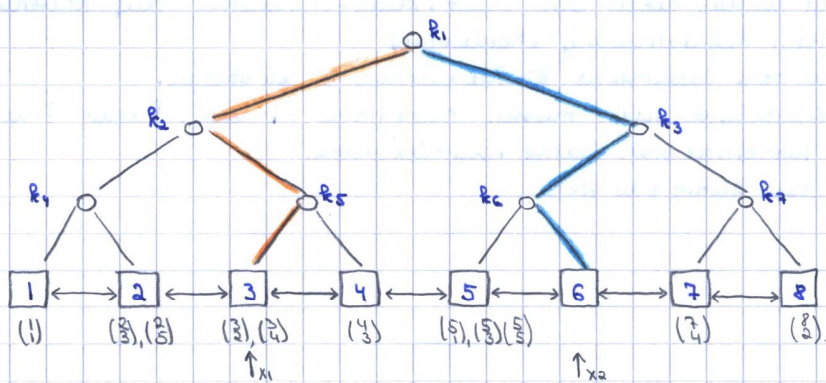
$$R_3 = \left\{ \begin{pmatrix} 5 \\ 5 \end{pmatrix}, \begin{pmatrix} 5 \\ 8 \end{pmatrix}, \begin{pmatrix} 7 \\ 7 \end{pmatrix}, \begin{pmatrix} 8 \\ 2 \end{pmatrix} \right\}$$

$$R_4 = \left\{ \begin{pmatrix} 1 \\ 1 \end{pmatrix}, \begin{pmatrix} 2 \\ 3 \end{pmatrix}, \begin{pmatrix} 2 \\ 5 \end{pmatrix} \right\}$$

$$R_5 = \left\{ \begin{pmatrix} 2 \\ 3 \end{pmatrix}, \begin{pmatrix} 2 \\ 5 \end{pmatrix}, \begin{pmatrix} 3 \\ 4 \end{pmatrix} \right\}$$

$$R_6 = \left\{ \begin{pmatrix} 5 \\ 5 \end{pmatrix}, \begin{pmatrix} 5 \\ 8 \end{pmatrix}, \begin{pmatrix} 7 \\ 7 \end{pmatrix} \right\}$$

$$R_7 = \left\{ \begin{pmatrix} 7 \\ 7 \end{pmatrix}, \begin{pmatrix} 8 \\ 2 \end{pmatrix} \right\}$$



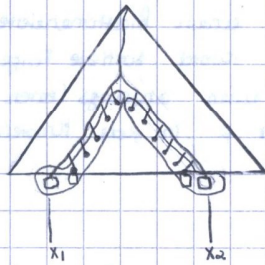
$$C(x_1, x_2) = \{3, 4, 5, 6\}$$

$\Rightarrow NL(3), NL(4), NL(5), NL(6)$ enthalten die gesuchten Pkte

$$\Rightarrow \left\{ \begin{pmatrix} 2 \\ 3 \end{pmatrix}, \begin{pmatrix} 2 \\ 5 \end{pmatrix}, \begin{pmatrix} 3 \\ 4 \end{pmatrix}, \begin{pmatrix} 5 \\ 5 \end{pmatrix}, \begin{pmatrix} 5 \\ 8 \end{pmatrix} \right\}$$

Begründung für die Behauptung:

für beliebigen Knoten v enthält $NL(v)$ genau die Pkte, deren Suchpfad (nach x -Koord.) durch v geht, d.h. alle Pkte im Bereich der Blätter des Unterbaumes von v .



Die Bereiche der Knoten $v \in C(x_1, x_2)$ bilden eine Partition des Intervalls $[x_1, x_2]$.

2. Schritt: Zur Beantwortung der eigentlichen Bereichsabfrage müssen wir nun die Knotenlisten $NL(v) \forall v \in C(x_1, x_2)$ filtern, so dass nur Pkte mit y -Koord. aus $[y_1, y_2]$ ausgegeben werden.

→ 1. dim. Bereichsabfrage. nach y -Koord.!

⇒ Laufzeit: $O\left(\sum_{v \in C(x_1, x_2)} (\log n + K_v)\right) = O(\log N \cdot \log n + K)$, wobei $K := \sum_{v \in C(x_1, x_2)} K_v =$ Gesamtgröße der Ausgabe.

5.2.3 Verallgemeinerung für beliebige Dimensionen $d \geq 2$:

d -dim. Range-Tree besteht aus einem blattorientierten Suchbaum T für die erste Koordinate. Jeder Knoten v speichert $NL(v)$ als $(d-1)$ -dim. Range-Tree. (Bzgl. Koord. 2.. d).

Jeder Pkt $p \in S$ wird in allen $NL(v)$ für v auf dem Suchpfad nach 1. Koord. von p gespeichert.

Zuerst: Jede Dimension hat Koord. $\{1..N\}$ außer der letzten.

Platzbedarf: $O(\log N \cdot \text{Platz}_{d-1}(n) + N) = O(n \cdot \log^{d-1} N + N)$ ✓

Insert/Delete: $O(\log N \cdot \text{In}_{d-1}(n)) = O(\log^{d-1} N \cdot \log n)$

d -dim Range-Query: $O\left(\sum_{v \in C(x_1, x_2)} (\text{Query}_{d-1}(n) + K_v)\right) = O(\log^{d-1} N \cdot \log n + K)$ ✓

5.2.4 Bemerkungen (zu Segment & Range-Trees)

1. Voll dynamische Varianten möglich, d.h. kein Gitter $\{1..N\}$ sondern beliebige, feste Koordinaten.

Dazu: dynamischer Gerüstbaum T , d.h. beim Einfügen und Löschen von Pkten (Segmenten) muss eventuell Blatt (mit entsprechender x -Koordinate) in T eingefügt oder entfernt werden, neben den Insert/Delete-Operationen auf Knotenlisten.

Problem: Rebalancing (Rotationen)

Lösbar ohne Gesamtzeit für Rebalancing zu erhöhen.

2. Die Knotenlisten $NL(v)$ müssen nicht immer 1-dim. Range-Trees (Suchbäume) sein.

- kombinatorische Range / Segmentebäume.
- nur Zähler oder Werte

5.3. Priority-Search-Tree:

5.3.1. Def: Sei $S \subset \mathbb{R}^2$

Ein Priority-Search-Tree (PST) T ist kantenorientierter Suchbaum nach den x -Koord. der Pkte aus S .

5.3.2. Speicherung der Pkte:

Ann: paarw. verschiedene x -Koordinaten.

$p \in S$ wird in einem Knoten auf Suchpfad nach p_x gespeichert und zwar so, dass T bzgl. des y -Koord. einen Maximumheap bildet.

→ Auf jedem Pfad werden y -Koord. kleiner

→ Wurzel enthält Knoten mit max. y -Koord.

PST hat zwei Eigenschaften: • Suchbaum nach x -Koord. der Pkte
• Heap nach y -Koord. der Pkte.

Aufbau (rekursiv):

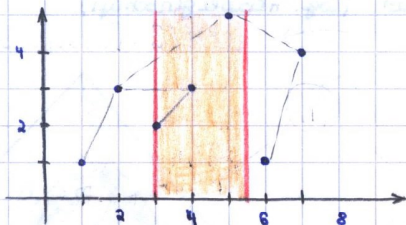
Wurzel w speichert $p \in S$ mit max. y -Koord.

• linker Unterbaum T_L von w ist PST für $\{q \in S: q_x < p_x\}$

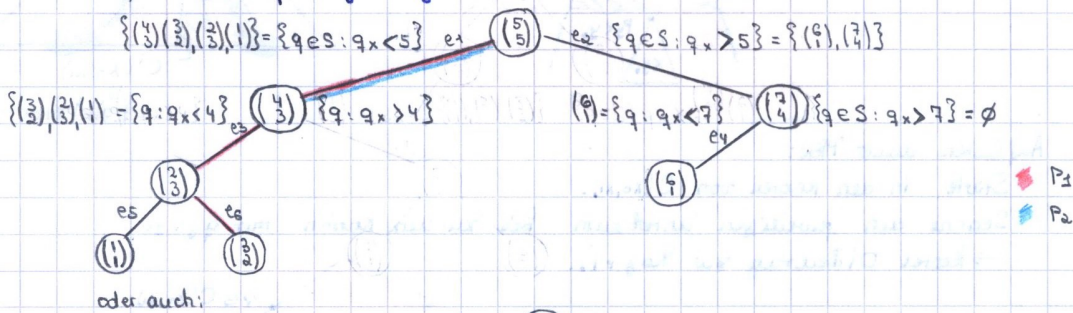
• rechter Unterbaum T_R von w ist PST für $\{q \in S: q_x > p_x\}$.

5.3.3. Beispiel:

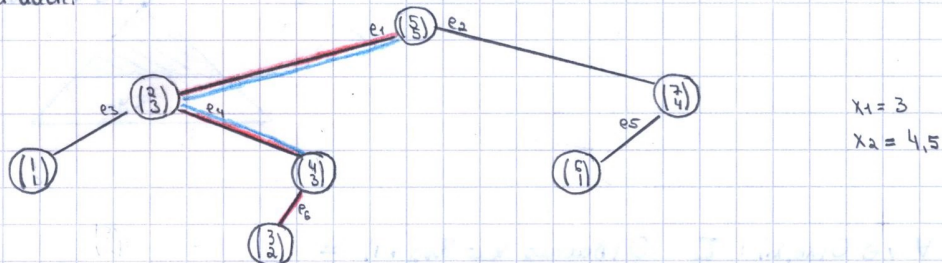
$$S = \{(1), (2), (3), (4), (6), (8), (7)\}$$



Im Streifen: $(3), (4), (5)$



oder auch:



5.3.4. Problem und Lösung:

Wo liegen alle Pkte aus einem vertikalen Streifen?

Antwort: auf P_1, P_2, P und allen Knoten zwischen P_1 und P_2 !

Achtung: Auf den Pfaden P_1, P_2 können auch andere Pkte liegen.

Berechnung der Pkte:

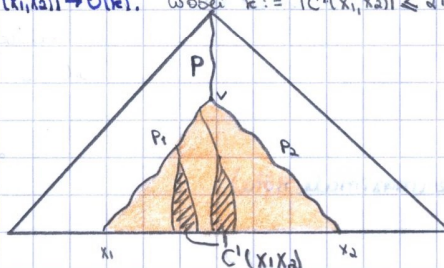
• Filtere die Pkte auf Pfaden nach $[x_1, x_2]$ in Zeit $2 \log n + k$.

• Gib alle Pkte, die in Knoten zwischen P_1, P_2 gespeichert sind, aus

$$C(x_1, x_2) \rightarrow O(\tilde{k}), \text{ wobei } \tilde{k} := |C(x_1, x_2)| \leq 2 \log n$$

$$\begin{aligned} & 2 \cdot (\text{Höhe}(w) + 1 + O(k_1) + 1 + O(k_2) + \dots) = \\ & = 2 \cdot (\text{Höhe}(w) + O(k_1) + O(k_2) + \dots) = \\ & = 2 \cdot (\log n + \tilde{k}) \end{aligned}$$

\tilde{k} : # Knoten in orange.



Im Bsp: 1. Bild $\Rightarrow \{(5), (4), (3), (2)\}$ gesuchte Menge
2. Bild $\Rightarrow \{(5), (3), (4), (3)\}$ gesuchte Menge

Platz: $O(n)$!

$$\begin{aligned} \text{Gesamtlaufzeit: } & 2 \log n + k + O(\log n + \tilde{k}) = \\ & = O(\log n + k) \end{aligned}$$

$$k = \# \text{ Ausgaben. } (= k + \tilde{k})$$

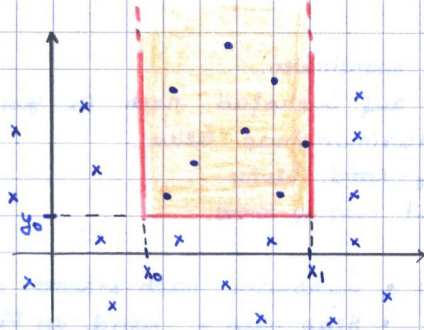
5.3.5 Problem 2 + Lösung:

Wozu Heap-Eigenschaft nach y -Koordinaten?

→ $1\frac{1}{2}$ -dimensionale Range-Abfragen
(halb offene oder 3-seitige).

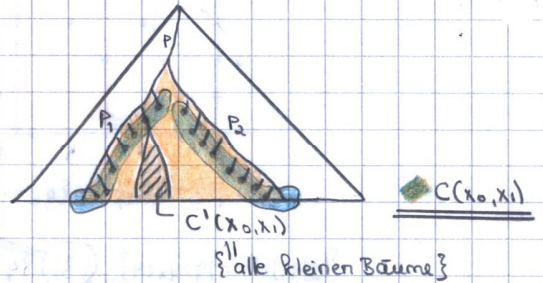
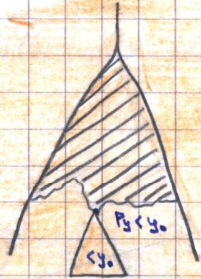
Gegeben: x_0, x_1, y_0, SCR^2

Gesucht: alle $p \in S$ mit
 $x_0 \leq p_x \leq x_1$ und
 $p_y \geq y_0$



Lösung:

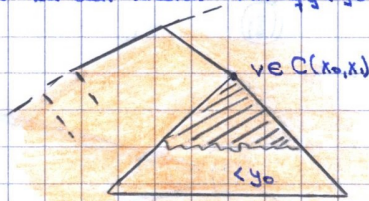
- Filtern der Pfade: \forall Knoten $v \in P_1 \cup P_2 \cup P$ gilt enthaltenen Pkt p aus, falls $x_0 \leq p_x \leq x_1 \wedge p_y \geq y_0$
→ Kosten Zeit $O(\log n)$. Mit Ausgabe kostet dies $O(\log n + k)$
- Rest der Ausgabe (normalerweise müssen alle $v \in P_1 \cup P_2 \cup P$ und zwischen P_1 und P_2 betrachtet werden. Oben nur $v \in P_1 \cup P_2$ hier also die restlichen, d.h. also: v zwischen P_1 und P_2) ist im oberen Bereich von $C(x_0, x_1)$ gespeichert (wg. Heapeigenschaft)



Aufleiten dieser Pkte:

Starte in den Knoten von $C(x_0, x_1)$.

Scanne den jeweiligen Unterbaum bis zu den Knoten mit $p_y < y_0$
→ kostet $O(\text{Beitrag zu } \log + 1)$.



Laufzeit: $\forall v \in C(x_0, x_1): \sum_{v \in C(x_0, x_1)} O(\text{Beitrag zu } \log + 1) =$

$= O(\log n + k')$, wobei $k' = \text{Beitrag zur Gesamtlösung von } C(x_0, x_1)$

$\text{Höhe}(v) + 1 + O(\text{Beitrag zu } \log(n) + 1) + 1 + O(\dots) + \dots + \text{Höhe}(v) + 1 + O(\dots) + \dots = 2 \cdot \log n + \sum_{v \in C(x_0, x_1)} O(\text{Beitrag zu } \log + 1) = O(\log n + k')$

5.3.6 Satz (Zusammenfassung):

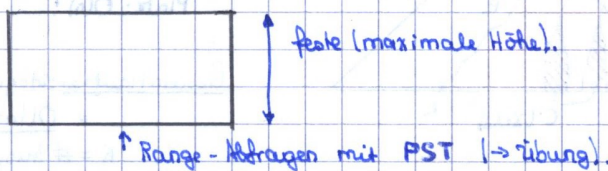
⇒ Gesamtlaufzeit: $2 \log n + R + O(\log n + k') = O(\log n + \tilde{K})$

Der Priority-Search Tree verwaltet eine Menge von n Pkten im \mathbb{R}^2 unter folgenden $\tilde{K} = R + k'$, # Ausgaben.

Operationen und Laufzeiten:

- Insert / Delete: $O(\log n)$
- Drei-seitige Bereichsabfrage: $O(\log n + k)$, $k = \#$ Ausgaben.
- und benötigt Speicherplatz: $O(n)$.

5.3.7 Anwendung:



5.3. Priority-Search-Tree:

5.3.1. Def: Sei $S \subset \mathbb{R}^2$

Ein Priority-Search-Tree (PST) T ist kantenorientierter Suchbaum nach den x -Koord. der Pkte aus S .

5.3.2. Speichern der Pkte:

Ann: paarw. verschiedene x -Koordinaten.

$p \in S$ wird in einem Knoten auf Suchpfad nach p_x gespeichert und zwar so, dass T bzgl. des y -Koord. einen Maximumheap bildet.

→ Auf jedem Pfad werden y -Koord. kleiner

→ Wurzel enthält Knoten mit max. y -Koord.

PST hat zwei Eigenschaften: • Suchbaum nach x -Koord. der Pkte
• Heap nach y -Koord. der Pkte.

Aufbau (rekursiv):

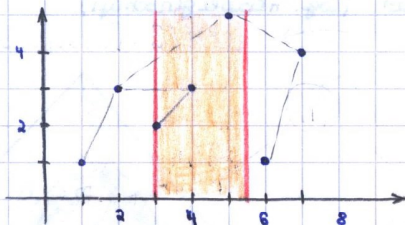
Wurzel w speichert $p \in S$ mit max. y -Koord.

• linker Unterbaum T_L von w ist PST für $\{q \in S: q_x < p_x\}$

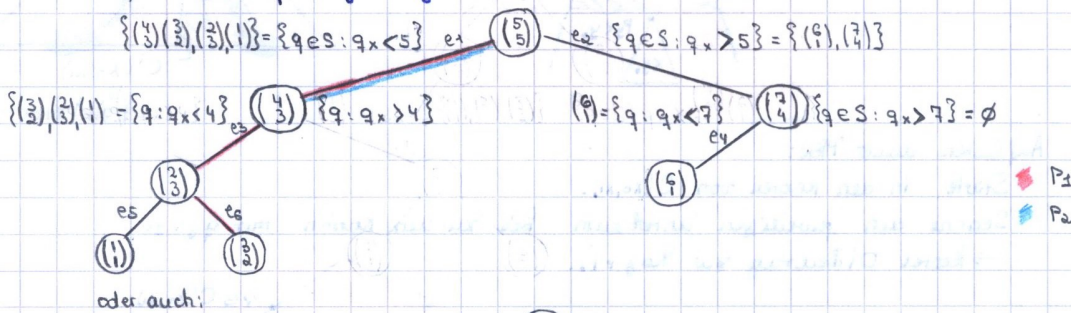
• rechter Unterbaum T_R von w ist PST für $\{q \in S: q_x > p_x\}$.

5.3.3. Beispiel:

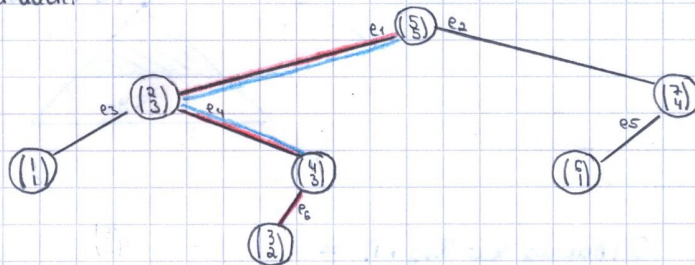
$$S = \{(1), (2), (3), (4), (6), (8), (7)\}$$



Im Streifen: $(3), (4), (5)$



oder auch:



$$x_1 = 3$$

$$x_2 = 4,5$$

5.3.4. Problem und Lösung:

Wo liegen alle Pkte aus einem vertikalen Streifen?

Antwort: auf P_1, P_2, P und allen Knoten zwischen P_1 und P_2 !

Achtung: Auf den Pfaden P_1, P_2 können auch andere Pkte liegen.

Berechnung der Pkte:

• Filtere die Pkte auf Pfaden nach $[x_1, x_2]$ in Zeit $2 \log n + k$.

• Gib alle Pkte, die in Knoten zwischen P_1, P_2 gespeichert sind, aus

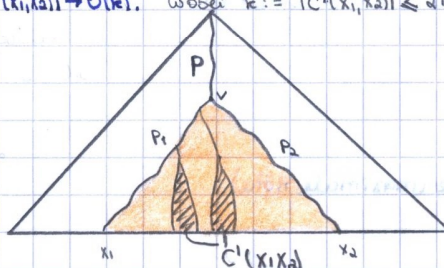
$$C(x_1, x_2) \rightarrow O(\tilde{k}), \text{ wobei } \tilde{k} := |C(x_1, x_2)| \leq 2 \log n$$

$$2 \cdot (\text{Höhe}(w) + 1 + O(k_1) + 1 + O(k_2) + \dots) =$$

$$= 2 \cdot (\text{Höhe}(w) + O(k_1) + O(k_2) + \dots) =$$

$$= 2 \cdot (\log n + \tilde{k})$$

$\tilde{k} := \# \text{ Knoten in orange.}$



Im Bsp: 1. Bild $\Rightarrow \{(5), (4), (3), (2)\}$ gesuchte Menge
2. Bild $\Rightarrow \{(5), (3), (4), (3)\}$ gesuchte Menge

Platz: $O(n)$!

$$\text{Gesamtlaufzeit: } 2 \log n + k + O(\log n + \tilde{k}) =$$

$$= O(\log n + k)$$

$$k = \# \text{ Ausgaben. } (= k + \tilde{k})$$

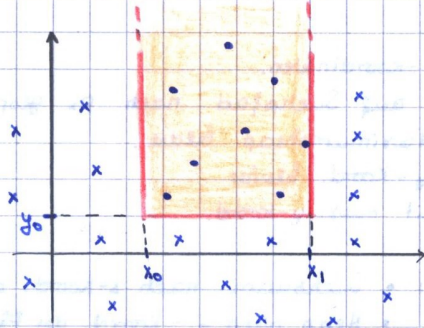
5.3.5 Problem 2 + Lösung:

Wozu Heap-Eigenschaft nach y -Koordinaten?

→ $1\frac{1}{2}$ -dimensionale Range-Abfragen
(halb offene oder 3-seitige).

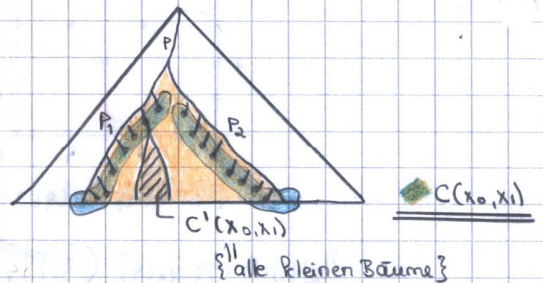
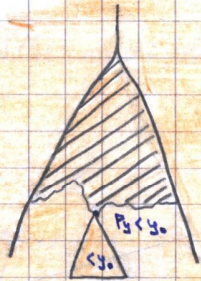
Gegeben: x_0, x_1, y_0, SCR^2

Gesucht: alle $p \in S$ mit
 $x_0 \leq p_x \leq x_1$ und
 $p_y \geq y_0$



Lösung:

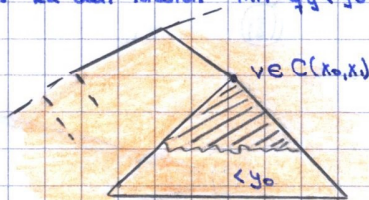
- Filtern der Pfade: \forall Knoten $v \in P_1 \cup P_2 \cup P$ gilt enthaltenen Pkt p aus, falls $x_0 \leq p_x \leq x_1 \wedge p_y \geq y_0$
→ Kosten Zeit $O(\log n)$. Mit Ausgabe kostet dies $O(\log n + k)$
- Rest der Ausgabe (normalerweise müssen alle $v \in P_1 \cup P_2 \cup P$ und zwischen P_1 und P_2 betrachtet werden. Oben nur $v \in P_1 \cup P_2 \cup P$ also die restlichen, d.h. also: v zwischen P_1 und P_2) ist im oberen Bereich von $C(x_0, x_1)$ gespeichert (wg. Heapeigenschaft)



Aufleiten dieser Pkte:

Starte in den Knoten von $C(x_0, x_1)$.

Scanne den jeweiligen Unterbaum Bis zu den Knoten mit $y_v < y_0$
→ kostet $O(\text{Beitrag zu } \log + 1)$.



Laufzeit: $\forall v \in C(x_0, x_1): \sum_{v \in C(x_0, x_1)} O(\text{Beitrag zu } \log + 1) =$

$= O(\log n + k')$, wobei $k' = \text{Beitrag zur Gesamtlösung von } C(x_0, x_1)$

$\text{Höhe}(v) + 1 + O(\text{Beitrag zu } \log(n) + 1) + 1 + O(\dots) + \dots + \text{Höhe}(v) + 1 + O(\dots) + \dots = 2 \cdot \log n + \sum_{v \in C(x_0, x_1)} O(\text{Beitrag zu } \log + 1) = O(\log n + k')$

5.3.6 Satz (Zusammenfassung):

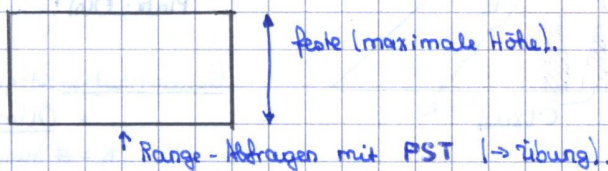
⇒ Gesamtlaufzeit: $2 \log n + k + O(\log n + k') = O(\log n + \tilde{k})$

Der Priority-Search Tree verwaltet eine Menge von n Pkten im \mathbb{R}^2 unter folgenden $\tilde{k} = k + k'$, # Ausgaben.

Operationen und Laufzeiten:

- Insert / Delete: $O(\log n)$
- Drei-seitige Bereichsabfrage: $O(\log n + k)$, $k = \#$ Ausgaben.
- und benötigt Speicherplatz: $O(n)$.

5.3.7 Anwendung:



5.4. Das Mapproblem für achsenparallele Rechtecke.

(63)

5.4.1. Problem:

Geg: n achsenparallele Rechtecke R_1, \dots, R_n .

Ges: Fläche von $\bigcup_{i=1}^n R_i$

→ Anwendung von Plane Sweep und einer vereinfachten Form von Segmentbäumen.

5.4.2. Idee:

Schnitt von SL mit Vereinigung.

→ Menge von disjunkten vertikalen Segmenten.

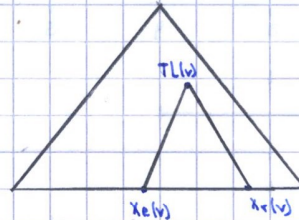
Sei \mathcal{V} Menge dieser Segmente.

- an Event-Punkten (linker/rechter Rand von Rechtecken) kann sich \mathcal{V} ändern.
- eigentlich brauchen wir nur $L =$ Summe der Längen aller Segmente in \mathcal{V} .

Dann können wir die gesuchte Fläche A durch Multiplizieren des aktuellen L -Wertes mit der zw. zwei Events zurückgelegten Distanz und Aufsummieren auf A berechnen.

Zur Verwaltung der Segmente und der Länge L verwenden wir einen Segmentbaum \forall Segmente $s_i = R_i \cap SL$.

Sei $TL(v)$ die Länge der Vereinigung aller Segmente geschnitten mit $x_{range}(v)$, wobei $x_{range}(v) := [x_l(v), x_r(v)]$ mit $x_l(v)$ x -Koord. des linken Blattes im UB und $x_r(v)$ die x -Koord. des rechten Blattes im UB.



Dann gilt:

$$1. \quad L = TL(v)$$
$$2. \quad TL(v) = \begin{cases} x_r(v) - x_l(v), & NL(v) \neq \emptyset, v \text{ kein Blatt} \\ 0, & v \text{ Blatt} \\ TL(v_l) + TL(v_r), & NL(v) = \emptyset, v \text{ kein Blatt}, NL(v_l) \cap NL(v_r) = \emptyset \\ TL(v_l) + TL(v_r) + 1, & NL(v) = \emptyset, v \text{ kein Blatt}, NL(v_l) \cap NL(v_r) \neq \emptyset \end{cases}$$

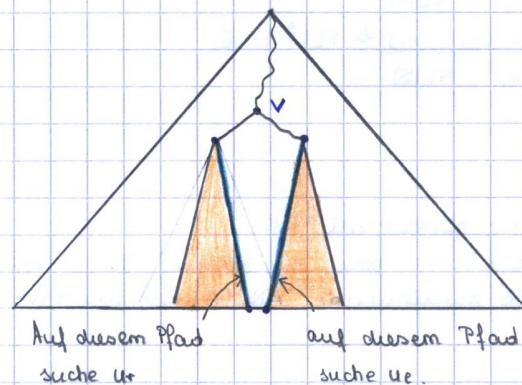
wobei $NL(v_r)$ wie folgt definiert ist:

Betrachte Pfad von v nach dem rechtensten Blatt vom dem UB von dem linken Sohn von v . $\forall u \in$ diesem Pfad kontrolliere jeweils $NL(u)$ angefangen mit dem linken Sohn von v .

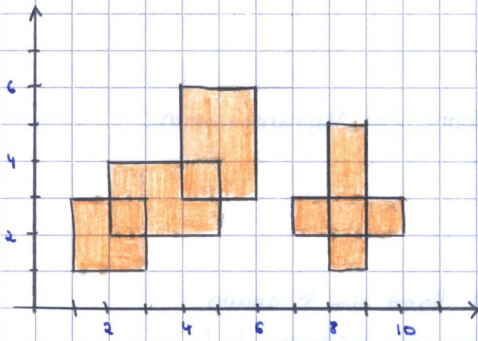
$NL(v_r) := NL(u)$, wobei u der erste Knoten auf dem Pfad, welches erfüllt: $NL(u) \neq \emptyset$

Falls $\forall u \in$ Pfad gilt: $NL(u) = \emptyset \Rightarrow NL(v_r) := NL(\text{rechtstes Blatt vom dem linken UB von } v)$ (das dann auch leer sein).

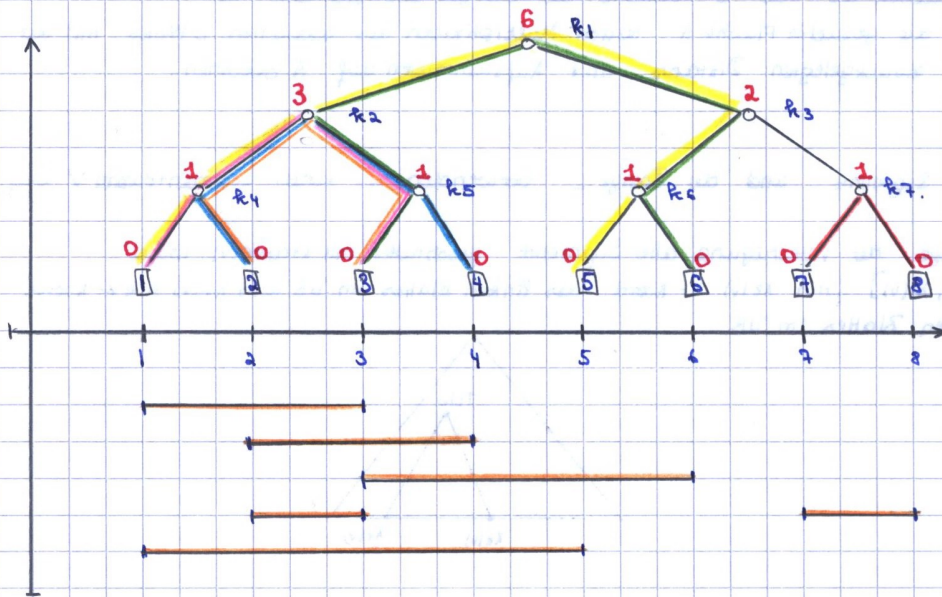
$NL(v_l)$ analog



5.4.3. Beispiel:



- $P_i(1,3)$
- $P_i(2,4)$
- $P_i(3,6)$
- $P_i(2,3)$
- $P_i(1,5)$
- $P_i(7,8)$



- $C(1,3) = \{1,2,3\}$
- $C(2,4) = \{2,3,4\}$
- $C(3,6) = \{3,4,5,6\}$
- $C(2,3) = \{2,3\}$
- $C(1,5) = \{1,2, k_5, 5\}$
- $C(7,8) = \{7,8\}$

- $NL(1) = \{(1,3), (1,5)\}$
- $NL(2) = \{(1,3), (2,4), (2,3), (1,5)\}$
- $NL(3) = \{(1,3), (2,4), (2,6), (2,3)\}$
- $NL(4) = \{(2,4), (3,6)\}$
- $NL(5) = \{(1,5), (3,6)\}$
- $NL(6) = \{(3,6)\}$

- $NL(7) = \{(7,8)\}$
- $NL(8) = \{(7,8)\}$
- $NL(k_5) = \{(1,5)\}$
- $NL(k_1, k_4) = \emptyset$

$k_4: (1,3) \in NL(1) \cap NL(2) \Rightarrow TL(k_4) = 0 + 0 + 1 = 1$
 $k_5: (2,4) \in NL(3) \cap NL(4) \Rightarrow TL(k_5) = 1$
 $k_6: (3,6) \in NL(5) \cap NL(6) \Rightarrow TL(k_6) = 1$
 $k_7: (7,8) \in NL(7) \cap NL(8) \Rightarrow TL(k_7) = 1$
 $k_2: (1,5) \in NL(k_5) \cap \underbrace{NL(u_1)}_{NL(2)} \Rightarrow TL(k_2) = 1 + 1 + 1 = 3$
 $k_3: \emptyset = \frac{NL(u_1) \cap NL(u_2)}{NL(6) \cap NL(7)} \Rightarrow TL(k_3) = 2$
 $k_1: (1,5) \in \frac{NL(u_1) \cap NL(u_2)}{NL(k_6) \cap NL(5)} \Rightarrow TL(k_1) = 6.$

5.4.4. Beobachtung:

$NL(v)$ zu speichern nimmt viel Platz
 \Rightarrow Idee: definiere $TL(v)$ ohne die genaue Menge von $NL(v)$ zu kennen und speichere nur die Kardinalität $|NL(v)| =: \text{count}(v)$.

5.4.5. Genaue Betrachtung der Aktionen:

a) linker Rand von R_i :

1) Füge $s_i = R_i \cap SL$ ein.

statt Einfügen von $NL(v)$: $\text{count}(v)++$;

\forall Knoten $e \in C(s_i)$, die schon vorher einen Zähler $\text{count}(v) > 0$ hatten, brauchen wir nichts zu tun.

2) Falls $\text{count}(v)$ von 0 auf 1 erhöht wird, dann:

• $TL(v) \leftarrow x_r(v) - x_l(v)$

• Laufe von v nach oben und korrigiere die TL-Werte.

→ Laufzeit: $O(\log n)$, da wir Suchpfade von $C(s_i)$ zweimal durchlaufen.
(Laufzeit f. Insert)

b) rechter Rand von R_i :

1) entferne $s_i = R_i \cap SL$ aus Baum: $\text{count}(v) --$; $\forall v \in C(s_i)$

2) Falls nun $\text{count}(v) = 0$, dann müssen TL-Werte von v und seinen Vorfahren geändert werden.

→ Laufzeit: $O(\log n)$ (s. Insert)

c) Bei jedem Event-Pkt x : $A \leftarrow A + TL(\text{Wurzel}) \cdot (x - x_{old})$.

5.4.6 Satz: Das Map-Problem von n achsenparallelen Rechtecken kann in Zeit $O(n \log n)$ und Platz $O(n)$ gelöst werden.

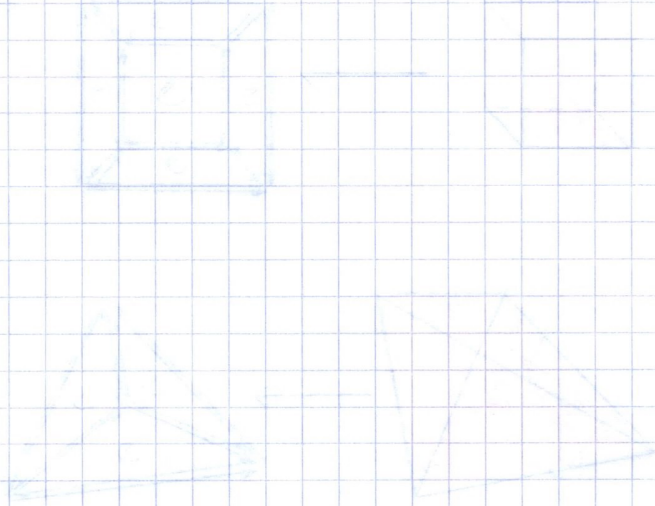
Beweis: 1. Platzbedarf ist $O(n)$, da keine Knotenlisten gespeichert werden, sondern in jedem Knoten zwei Zahlen $\text{count}(v)$ und $TL(v)$.

2. Rechtecke sortieren (nach linkem/rechtem Rand) nach x -Koord. also

→ X -Struktur: $O(n \log n)$

Pro Event Zeit $O(\log n)$ für Operationen im Segmentbaum.

In unserem Bsp:



Kapitel III: Drei-dimensionale Konvexe Hüllen.

6.1. Einführung:

6.1.1. Problem:

Geg: Menge S von n Pkten im \mathbb{R}^3 , $p \in S, p = (x, y, z)$ (kart. Koordin.)

Ges: CH(S) (= kleinste konvexe Menge, die S enthält).

Analog zum Gummiband-Modell: Gummiband-Fläche

\Rightarrow CH(S) ist ein konvexes Polyeder.

Ausgabe: Oberfläche des Polyeders.

- besteht aus Ecken, Kanten und Flächen (Euler-Formel)
- kann beschrieben werden durch einen planaren Graphen.

6.1.2. Darstellung des (planaren) Oberflächengraphen:

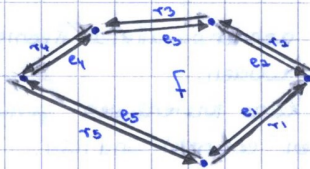
als zweifach gerichteten (bidirected) Graphen.

1. Für jeden Knoten (Ecke) v ordnen wir die ausgehenden Kanten gg. den Uhrzeigersinn (bei Ansicht von außen)

2. Jede Kante $e = (u, v)$ hat einen Verweis auf ihre Gegenkante $\bar{e} = (v, u) =: \text{rev}(e)$

3. Die Flächen sind dann implizit definiert
 $e_2 = \text{Vorgänger}(\text{rev}(e_1))$ (in der Adjazenzliste)

Das definiert einen Kantenzyklus für jede Fläche f .

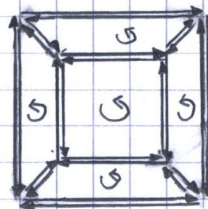
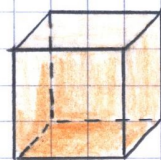


$$e_2 = G.\text{face_cycle_successor}(e_1) \\ G.\text{cyclic_pred}(G.\text{reversal}(e_1))$$

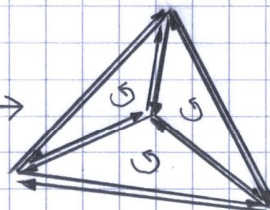
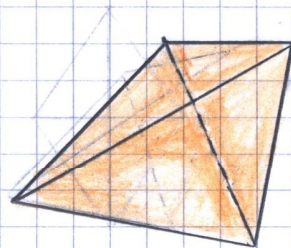
4. In den CH-Algorithmen werden zunächst alle Flächen Dreiecke sein.

Bei allg. eingebetteten planaren Graphen ist u.U. die äußere Fläche kein Dreieck.

6.1.3. Beispiel:



← nach außen gegen den Uhrzeigersinn besser !!



6.1.4. Geometrische Prädikate:

Für $a, b, c, d \in \mathbb{R}^3$:

$$\text{orientation}(a, b, c, d) := \text{sign det} \begin{pmatrix} a_x & a_y & a_z & 1 \\ b_x & b_y & b_z & 1 \\ c_x & c_y & c_z & 1 \\ d_x & d_y & d_z & 1 \end{pmatrix}$$

Diese Determinante heißt Spatprodukt.

= Vielfaches des Volumens (mit Vorzeichen) des Simplex (a, b, c, d)

d.h. $\text{orientation}(a, b, c, d)$ sagt, auf welcher Seite der Ebene durch a, b, c (a, b, c nicht kollinear) der Pkt d liegt.



Kapitel III: Drei-dimensionale Konvexe Hüllen.

6.1. Einführung:

6.1.1. Problem:

Geg: Menge S von n Pkten im \mathbb{R}^3 , $p \in S, p = (x, y, z)$ (kart. Koordin.)

Ges: CH(S) (= kleinste konvexe Menge, die S enthält).

Analog zum Gummiband-Modell: Gummiband-Fläche

\Rightarrow CH(S) ist ein konvexes Polyeder.

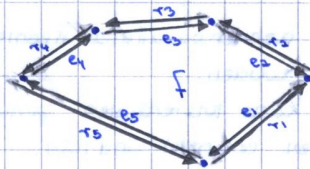
Ausgabe: Oberfläche des Polyeders.

- besteht aus Ecken, Kanten und Flächen (Euler-Formel)
- kann beschrieben werden durch einen planaren Graphen.

6.1.2. Darstellung des (planaren) Oberflächengraphen:

als zweifach gerichteten (bidirected) Graphen.

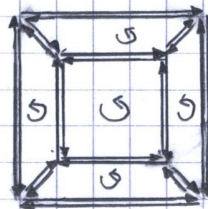
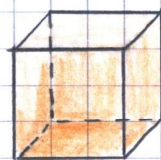
1. Für jeden Knoten (Ecke) v ordnen wir die ausgehenden Kanten gg. den Uhrzeigersinn (bei Ansicht von außen)
2. Jede Kante $e = (u, v)$ hat einen Verweis auf ihre Gegenkante $\bar{e} = (v, u) =: \text{rev}(e)$
3. Die Flächen sind dann implizit definiert
 $e_2 = \text{Vorgänger}(\text{rev}(e_1))$ (in der Adjazenzliste)
Das definiert einen Kantenzyklus für jede Fläche f .



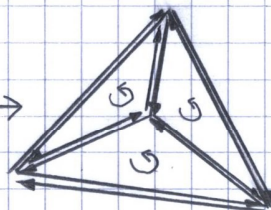
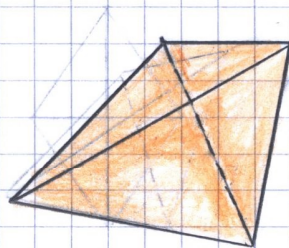
$$e_2 = G.\text{face_cycle_succ}(e_1) \\ G.\text{cyclic_pred}(G.\text{reversal}(e_1))$$

4. In den CH-Algorithmen werden zunächst alle Flächen Dreiecke sein.
Bei allg. eingebetteten planaren Graphen ist u.U. die äußere Fläche kein Dreieck.

6.1.3. Beispiel:



← nach außen gegen den Uhrzeigersinn besser !!



6.1.4. Geometrische Prädikate:

Für $a, b, c, d \in \mathbb{R}^3$:

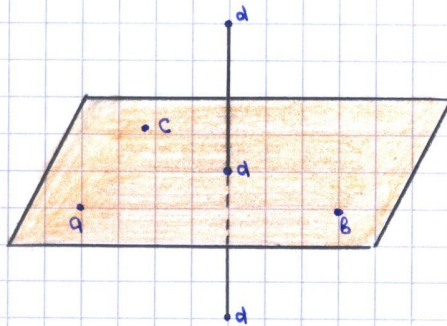
$$\text{orientation}(a, b, c, d) := \text{sign det} \begin{pmatrix} a_x & a_y & a_z & 1 \\ b_x & b_y & b_z & 1 \\ c_x & c_y & c_z & 1 \\ d_x & d_y & d_z & 1 \end{pmatrix}$$

Diese Determinante heißt Spatprodukt.

= Vielfaches des Volumens (mit Vorzeichen) des Simplex (a, b, c, d)

d.h. $\text{orientation}(a, b, c, d)$ sagt, auf welcher Seite der Ebene durch a, b, c (a, b, c nicht kollinear) der Pkt d liegt.





> 0

= 0 (linabh., d.h. in einer gemeinsamen Ebene).

< 0

6.2 Algorithmen:

6.2.1. Inkrementeller Alg. (Variante von Graham's Scan)

→ 6.2.1.1. Alg. (analog zu \mathbb{R}^2 -Alg.)

1. Sortiere Pkte nach x-Koord. (bei Gleichheit nach y, z, d.h. lexikografisch).

2. Baue Simplex aus ersten vier Pkten.

(Sonderfall: coplanar) dann suche solange bis linabh.

3. Allg. Situation:

Füge p_i hinzu, Hülle $CH(p_{i-1}, \{p_1, \dots, p_{i-1}\})$ liegt als Oberflächengraph vor.

Startend im Knoten p_{i-1} durchsuchen wir den Graphen und besuchen alle Dreiecke (Flächen) (a, b, c) mit Orientierung $(a, b, c, p_i) \geq 0$.

(Alle von der Sichtquelle p_i beleuchteten Dreiecke oder alle von p_i sichtbaren Dreiecke).

Dann entfernen wir alle Kanten von Besuchten, sichtbaren (beleuchteten) Dreiecken und alle danach isolierten Knoten.

→ Am Rand entstehen Kanten ohne Gegenkanten.

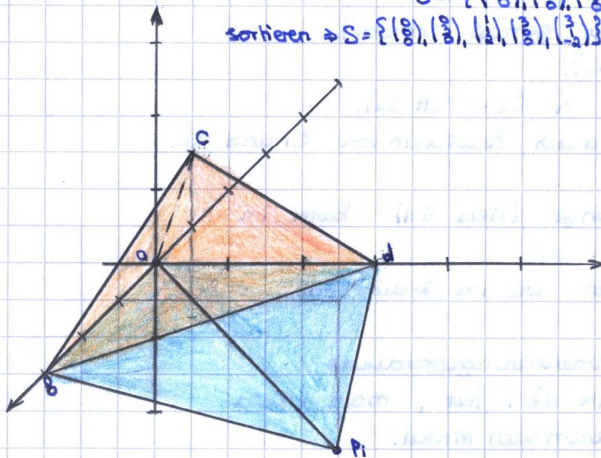
Für jede Kante (v, w) auf dem Rand füge ein neues Dreieck (v, w, p_i) hinzu.

→ Tangentialer Kegel mit Spitze p_i .

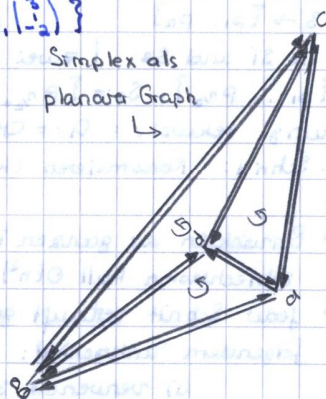
→ 6.2.1.2 Bsp:

$$S = \left\{ \begin{pmatrix} 0 \\ 0 \\ 0 \end{pmatrix}, \begin{pmatrix} 1 \\ 0 \\ 0 \end{pmatrix}, \begin{pmatrix} 0 \\ 1 \\ 0 \end{pmatrix}, \begin{pmatrix} 1 \\ 1 \\ 0 \end{pmatrix}, \begin{pmatrix} 1 \\ 1 \\ 1 \end{pmatrix} \right\}$$

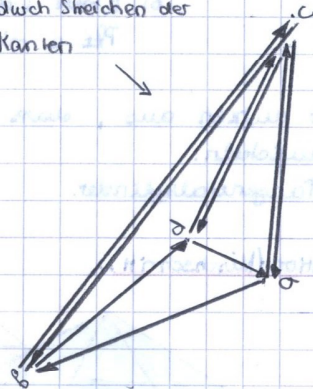
sortieren $\Rightarrow S = \left\{ \begin{pmatrix} 0 \\ 0 \\ 0 \end{pmatrix}, \begin{pmatrix} 1 \\ 0 \\ 0 \end{pmatrix}, \begin{pmatrix} 1 \\ 1 \\ 0 \end{pmatrix}, \begin{pmatrix} 0 \\ 1 \\ 0 \end{pmatrix}, \begin{pmatrix} 1 \\ 1 \\ 1 \end{pmatrix} \right\}$



Simplex als planarer Graph



durch Streichen der Kanten



$orient(a, c, b, p_i) \leq 0$

$orient(d, b, a, p_i) \geq 0$

$orient(d, c, a, p_i) \leq 0$

$orient(c, b, a, p_i) \leq 0$

Es entstehen neue Dreiecke:

$\Delta dbp_i, \Delta dap_i, \Delta abp_i$

Δbda verschwindet.

→ 6.2.1.3 Bem:

Am Ende bleibt also:



→ 6.2.1.4 Laufzeit:

im \mathbb{R}^2 :



werden nur einmal entfernt + Kosten für zwei Tangenten.

im \mathbb{R}^3 :

Rand ist nicht konstant (\Rightarrow mehr als zwei Tangenten)

$O(n)$ möglich!

Im schlechtesten Fall: Laufzeit: $O(n^2)$.

In der Praxis wird der Alg. dennoch eingesetzt, da es für viele Eingaben doch relativ schnell ist.

→ 6.2.1.5 Bem:

⊕ einfach, praktisch, effizient (für bel. Eingaben)

⊖ im schlechtesten Fall: $O(n^2)$.

→ Randomisierung: Sweep in zufällige Richtung

⊕ Drehung der Pktmenge in zufälligen Winkel.

Resultat: Erwartete Laufzeit: $O(n \log n)$.

6.2.2. Divide & Conquer - Alg:

→ 6.2.2.1. Algorithmus:

1. Sortiere $S \rightarrow \{p_1, \dots, p_n\}$

2. Zerlege in S_1 und S_2 (zwei Hälften gemäß sortieren)

$S_1 := \{p_1, \dots, p_{n/2}\}$, $S_2 := \{p_{n/2+1}, \dots, p_n\}$.

3. Berechnung rekursiv: $C_1 := CH(S_1) \wedge C_2 := CH(S_2)$.

4. Misch-Schritt: Konstruieren $CH(S)$ durch Einwickeln von C_1 und C_2 .

Bem:

• Einwickeln der ganzen Pktmenge (siehe 2d) kostet im schlechtesten Fall $O(n^2)$. log. S. 0

• Jeder Schritt verläuft genauso wie im 2-dim. Fall mit folgendem Unterschied:

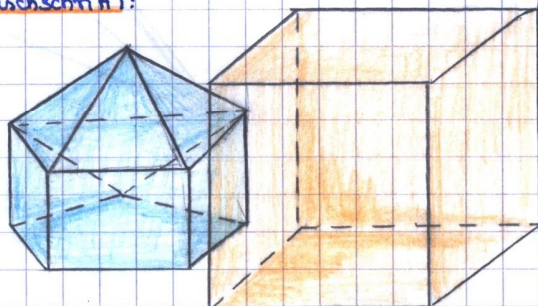
a) verwendet 3d-Ordnungsprodukt

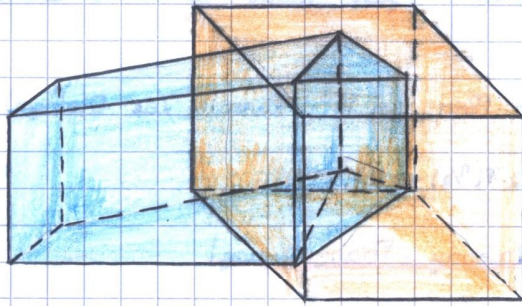
b) 2 Pkte (d.h. Kante \overline{ab}) fest, man sucht Pkt c mit minimalen Winkel.

Wir nutzen aus, dass wir zwei konvexe Polyeder C_1 und C_2 einwickeln.

→ Tangentialzylinder.

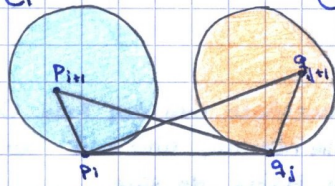
→ 6.2.2.2. Situation (Mischschritt):





Sei $p_i \in C_1$ und $q_j \in C_2$ so, dass die Kante $\overline{p_i q_j}$ der aktuellen Rand des Einwickelzylinders darstellt.

Initialisierung: $\overline{p_i q_j}$ durch Berechnung der Tangente in den Projektionen C_1 C_2

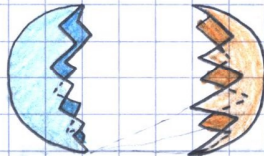


- Zwei Mögl:
- a) Nächster Berührungspunkt der Einwickel Ebene p_{i+1} liegt in C_1 .
 \Rightarrow füge $\Delta p_i q_j p_{i+1}$ hinzu. (zum Zylinder) und die Drehachse der Ebene geht nun durch $\overline{p_{i+1} q_j}$
 - b) Nächster Berührungspunkt q_{j+1} in C_2
 (analog wie oben)

Auf diese Weise entstehen auf jeder Seite zwei Berührungsebene $p_1 \dots p_k$ und $q_1 \dots q_k$. Nach Konstruktion des Zylinders (Gleichzeitig) müssen die abgedeckten Teile von C_1 bzw. C_2 entfernt werden.

Diese Änderungen der Datenstruktur kosten $O(n)$ Zeit $\Rightarrow ok$.

\rightarrow 6.2.2.3 Problem: Wie findet man die Berührungsebene $p_1 \dots p_k$ und $q_1 \dots q_k$ in Zeit $O(n)$?

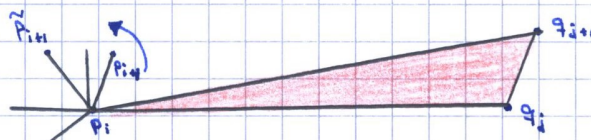


\rightarrow 6.2.2.4 Beobachtung:

- 1) Die Kandidaten für p_{i+1} und q_{j+1} müssen Nachbarn von p_i bzw. q_j sein. Dies folgt aus Konvexität von C_1 und C_2 .
 \Rightarrow Es genügt in jedem Schritt die Nachbarknoten von p_i und q_j anzuschauen.
 Bea: Darauf folgt aber noch nicht $O(n)$ Laufzeit, denn:
 - a) der Grad eines Knotens kann $O(n)$ sein.
 - b) p_i oder q_j kann für eine große Zahl von Schritten beibehalten werden.

Dann müsste man in jedem dieser Schritte immer wieder alle $O(n)$ Nachbarn untersuchen.

- 2) Es liegt jedoch eine Monotonie-Eigenschaft vor:
 Wenn z.B. p_i in einem Schritt festgehalten wird (d.h. Minimum der beiden Kandidaten p_{i+1} und q_{j+1} was q_{j+1}), dann folgt der neue Kandidat \tilde{p}_{i+1} (bzgl. der neuen Drehachse) nach dem Knoten p_{i+1} in der Adjazenzliste von p_i oder ist gleich p_{i+1} . (ohne Beweis).



1) + 2) \Rightarrow Insgesamt wird im Nachschritt jede Kante höchstens einmal betrachtet.
 \Rightarrow Laufzeit: $O(n)$

6.2.2.5. Satz: Die Konv. Hülle von n Pkten im \mathbb{R}^2 kann in Zeit $O(n \log n)$ berechnet werden.

Bew: a) sortieren $\rightarrow O(n \log n)$

b) Divide & Conquer $\rightarrow T(n) = 2 \cdot T(n/2) + O(n)$.

6.3 Anwendung von 3d-Konvexe Hülle (Delaunay - Triangulierung).

6.3.1. Einführung:

Ziel: Berechnung des Voronoi-Diagramms (bzw. Delaunay-Triangulierung) im \mathbb{R}^2 .
dualer Graph zum Voronoi-Diagramm.

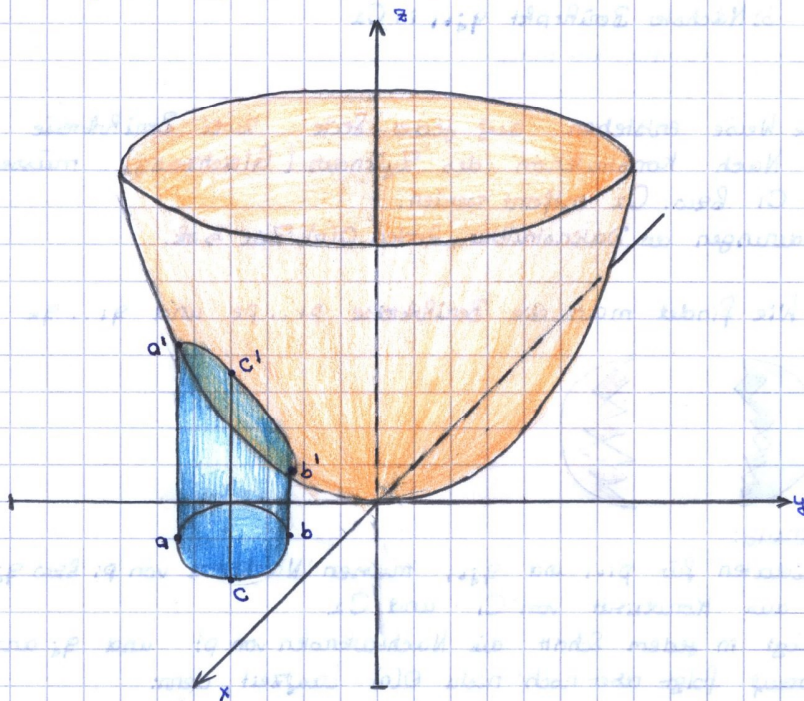
Trianguliere eine Menge $S \subset \mathbb{R}^2$ so, dass $\forall \Delta abc$ gilt:

Der Umkreis von Δabc enthält im Inneren keinen Pkt aus S .

Verbindung zw Konvexer Hülle im \mathbb{R}^3 :

6.3.2. Idee: Übersetze die Tatsache, dass alle Pkte außerhalb oder auf Kreis $O(a,b,c)$ liegen, in die Eigenschaft der konvexen Hülle, dass alle Pkte auf einer Seite der Ebene durch drei Pkte liegen. Diese drei Pkte definieren eine Fläche der Hülle.

6.3.3. Umsetzung: Projektiere jeden Pkt $p \in S \subset \mathbb{R}^2$, $p = (x,y)$ auf einen Paraboloiden, d.h. bilde p ab auf $p' = (x,y,z)$ mit $z = x^2 + y^2$.



Betrachte nun Delaunay - Eigenschaft:

Beh. beliebigen Kreis im \mathbb{R}^2 durch 3 Pkte a, b, c

Dann definieren die gelifteten Pkte a', b', c' eine Ebene $E(a,b,c)$ im \mathbb{R}^3 , die den Paraboloiden schneidet. (in einer Ellipse).

Dann gilt:

- 1) Alle Pkte auf dem Rand des Kreises $O(a,b,c)$ werden abgebildet aus diese Ellipse.
- 2) Alle Pkte im Inneren werden auf die positive Seite der Ebene $E(a,b,c)$ abgebildet.
- 3) Alle Pkte außen " " negative " "